

وزارت صنایع و معادن

سازمان صنایع و معادن استان خراسان

طرح اکتشاف جیوه شوراب کاشمر

گزارش نهائی

## اکتشاف نیمه تفصیلی جیوه شوراب کاشمر

مجری طرح :

مهندس احمدی

کارشناس ناظر :

مهندس عباس نیا



مشاور:

شرکت مهندسی کاوش کانسار

خرداد ۱۳۸۱

وزارت صنایع و معدن

سازمان صنایع و معدن استان خراسان

طرح اکتشاف جیوه شوراب کاشمر

گزارش نهائی

## اکتشاف نیمه تفصیلی جیوه شوراب کاشمر

جري طرح :

مهندس احمدی

کارشناس ناظر :

مهندس عباس نیا

مشاور:

شرکت مهندسی کاوش کانسار



<b>مجرى طرح : مهندس احمدی</b> <b>ناظر طرح : مهندس عباس نیا</b>	<b>سازمان صنایع و معادن استان خراسان</b> <b>طرح اکتشاف نیمه تفصیلی جیوه شوراب کاشمر</b>
---	--

## گزارش نهائی اکتشاف نیمه تفصیلی جیوه شوراب کاشمر

### در استان خراسان

شماره گزارش : Kav-Kash-02	مرحله : نهائی
کنترل : مسعود زاهدی	تهییه کنندگان به ترتیب حروف الفبا :
مدیر پژوه : کیامرث شیرخانی	۱- بهرام بیضائی
مشاورین : دکتر لطفی - مهندس صمیمی	۲- مسعود زاهدی
	۳- کیامرث شیرخانی
تایپ : خانم ملا جعفر	۴- کیوان شیعیان
	۵- زینب کرمی
شماره فنی : CH 1-6-Kash	۶- هومن کریمی
تاریخ: خرداد ۱۳۸۱	۷- محمود صادقیان
	

۱	طرح اکتشاف نیمه تفصیلی جیوه شوراب کاشمر چکیده	 کاوش کانسر
---	--	---

## چکیده

در سال ۱۳۶۷ با مشاهده جیوه در مسیر یک آبراهه و کانال انتقال آب در شمال روستای

شوراب کاشمر در استان خراسان، بحث وجود جیوه در منطقه مذکور مطرح گردید. پس از این

واقعه و انتشار خبر آن، فعالیتهایی به منظور اکتشاف جیوه در منطقه صورت گرفت که از آن جمله

می‌توان به فعالیتهای تحقیقاتی شرکت توسعه علوم زمین، گروه کارشناسان طرح اکتشاف

سراسری فلات غیرآهنی، تنی چند از کارشناسان خارجی از کشورهای چکسلواکی، کانادا و

آذربایجان و تعدادی از کارشناسان داخلی اشاره نمود. سپس شرکت مهندسین مشاور کاوش

کانسار نمونه برداری های ژئوشیمیایی به کمک دستگاه جیوه سنج را در مقیاسهای ۱:۵۰۰۰ و

سپس در مقیاس ۱:۱۰۰۰ را در سال ۱۳۷۹ انجام داده و به آنومالی های دست یافت و متعاقباً

مرحله دوم طرح اکتشاف نیمه تفصیلی جیوه شوراب کاشمر اجرا گردید. در این مرحله بر مبنای

محل آنومالیهای بدست آمده از مرحله قبلی با استفاده از اطلاعات دستگاه جیوه سنج تعداد ۶

حلقه چاه، در مجموع ۳۵۰ متر حفاری صورت گرفت. به موازات عملیات حفاری، تعدادی چاهک

نیز حفر شد تا مکمل کارهای مطالعاتی باشد. در ضمن مجدداً بررسیهای صحرایی صورت گرفت و

اصلاحاتی در نظریات ارائه شده قبلی اعمال گردید. در مجموع، یک سری سنگهای اسلیتی،

اسلیتی - ماسه ای و ماسه سنگ دگرگون شده به رنگ سیاه، قرمز و خاکستری متمایل به سبز در

منطقه رخمنون دارند که درجه دگرگونی آنها در حد رخساره شیست سبز می باشد. در اثر

عملکرد تنشهای وارد و انجام واکنشهای آبزدایی و ته نشینی سیلیس در درزه ها و فضاهای به

وجود آمده، تعداد زیادی رگه های سیلیسی با منشاء دگرگونی در این سنگها به وجود آمده اند که

با مقادیری اکسید آهن و منگنز و در مواردی نادر با کانه زایی پیریت همراه می باشند و در مجموع

این رگه ها فاقد پتانسیل معدنی در خور توجهی می باشند. بررسی و مطالعه مغره ها، نتایج آنالیز

شیمیایی XRF و XRD، مقاطع نازک و صیقلی همگی مؤید آنند که شواهد روشی از کانه

زایی جیوه در منطقه وجود ندارد. این موضوع در گزارشها قبلي نیز اشاره شده است. باید

ب	<b>طرح اکتشاف نیمه تفصیلی جیوه شوراب کاشمر چکیده</b>	
---	--	--

اذعان داشت که علیرغم مشاهده و روان شدن جیوه در گذشته های دور در منطقه و همچنین

دستیابی به آنومالی های جیوه توسط دستگاه جیوه سنج، تمامی تلاشهای صورت گرفته تاکنون،

هیچگونه شواهد و مدارک زمین شناسی دال بر وجود جیوه در منطقه دیده نمی شود. از طرف

دیگر مشاهده جیوه فلزی و جمع آوری آن توسط افراد محلی و برخی کارشناسان معتبر را نیز نمی

توان انکار کرد. هر چند اظهارات ضد و نقیض زیادی درباره بود یا نبود جیوه در منطقه ارائه شده

است. ولی هیچیک مستند و مستدل و بر مبنای اصول علمی نیستند و صرفاً بر مبنای تشابهات و

فرضهایی بنا شده و ارائه گردیده اند. آنچه مسلم است شواهد موجود زمین شناسی، احتمال وجود

جیوه در ناحیه مورد نظر را منتفی می سازند لذا باید فرض کرد که عواملی غیر از موضوعات مطرح

شده تاکنون که هنوز برایمان ناشناخته هستند کانه زایی جیوه را در منطقه کنترل می نمایند.

برای دستیابی و نیل به این هدف با توجه به مستندات موجود از جمله مشاهده جیوه فلزی

توسط افرادی در منطقه و همچنین وجود آنومالی های جیوه توسط دستگاه جیوه سنج، مسیر

مطالعات زمین شناسی و ژئوشیمیایی انجام یافته تاکنون باید تغییر یابد. همچنین به موازات آن

کانسارهای جیوه در مناطق همچوار و کشورهای همسایه مورد مطالعه قرار گیرد و با تخصیص

اعتباری که چندان قبل ملاحظه نخواهد بود دستگاه جیوه سنج توسط شرکت مشاور و توسط یکی

از کارشناسان کارفرما به کشور سازنده آن حمل و مجدداً کالیبره و مورد آموزش کامل قرار گیرد و

اطلاعات واصله از پارامترها و حساسیت دستگاه در محیطهای مختلف و در چند معنی جیوه در

کشور سازنده یا کشورهای همچوار آزمایش شوند و با اطلاعات موجود طرح تحقیقاتی اکتشاف

جیوه مجدداً در حوضه منطقه کاشمر و سپس در سراسر ایران مورد بررسی قرار گیرد و در نهایت

اطلاعات موجود و پارامترها در مناطقی از ایران که وجود جیوه از دیر باز گزارش شده از جمله

منطقه کاشمر و آذربایجان غربی مورد مطالعه آزمایشگاهی و تحقیقاتی تکمیلی قرار گیرد.

I	طرح اکتشاف نیمه تفصیلی جیوه شوراب کاشمر فهرست مطالب	 کاوش کاسمار KASHMAR KANAR
---	--	---

## فهرست مطالب

### شماره صفحه

### عنوان

#### فصل اول - کلیات منطقه

- |     |                                    |
|-----|------------------------------------|
| ۱-۱ | ۱-۱-۱- مقدمه                       |
| ۱-۱ | ۱-۱-۲- جغرافیا و اقلیم منطقه       |
| ۱-۱ | ۱-۱-۳- موقعیت جغرافیایی منطقه      |
| ۱-۱ | ۱-۲-۱- توپوگرافی و مورفوژوژی منطقه |
| ۱-۱ | ۱-۲-۲- آب و هواي منطقه             |
| ۱-۱ | ۱-۲-۳- پوشش گیاهی و رودخانهای      |
| ۱-۱ | ۱-۳- پویش گیاهی و رودخانهای        |
| ۱-۱ | ۱-۴- وضعیت معيشی و ویژگیهای فرهنگی |
| ۱-۱ | ۱-۵- مطالعات و فعالیتهای گذشته     |

#### فصل دوم - زمین‌شناسی عمومی

- |     |                       |
|-----|-----------------------|
| ۲-۱ | ۲-۱-۱- مقدمه          |
| ۲-۱ | ۲-۱-۲- زون‌بندی منطقه |

#### فصل سوم - زمین‌شناسی مورد مطالعه

- |      |  |
|------|--|
| ۲-۳  | ۳-۱- بررسی سنگ‌شناسی منطقه مورد مطالعه                                   |
| ۲-۳  | ۳-۱-۱- اسلیت‌ها و ماسه‌سنگهای دگرگون شده، سیلورین                        |
| ۲۷-۳ | ۳-۱-۲- کنگلومرا و رسوبات مارنی گچ‌دار نیوزن                              |
| ۲۷-۳ | ۳-۱-۳- رسوبات آبرفتی جوان  |
| ۳۳-۳ | ۳-۲- زمین‌شناسی منطقه(با توجه به نتایج مطالعه تیغه‌های نازک)             |
| ۳۳-۳ | ۳-۲-۱- رگه‌های کوارتزی   |
| ۴۲-۳ | ۳-۲-۲- اسلیت‌ها و میکلاشیست‌ها   |
| ۴۶-۳ | ۳-۲-۳- متابیلتستون‌ها و متاسندرستون‌ها(سیلیتسنونها و ماسه‌سنگهای دگرگون) |
| ۵۶-۳ | ۳-۴- واحد کنگلومراپی نیوزن   |
| ۵۶-۳ | ۴- آهک فسیل دار دولومیتی   |
| ۵۹-۳ | ۴-۱- داسیت پروپلیتی شده  |
| ۶۰-۳ | ۴-۲- نتایج مطالعه مقاطع صیقلی  |

#### فصل چهارم- کانه‌زائی

- |      |   |
|------|---|
| ۴-۱  | ۴-۱- نگاهی اجمالی به معدن جیوه المعدن (به عنوان یک معدن جیوه نمونه) |
| ۴-۴  | ۴-۲- کانه‌زائی جیوه و مشاهده آن در روستای شوراب کاشمر               |
| ۵-۴  | ۴-۳- عدم دسترسی به تکنولوژی آموزشی و کالیبره نبودن دستگاه           |
| ۴-۴  | ۴-۴- کانه‌زائی جیوه و مشاهده آن در روستای شوراب کاشمر               |
| ۵-۴  | ۴-۵- عدم دسترسی به تکنولوژی آموزشی و کالیبره نبودن دستگاه           |
| ۶-۴  | ۴-۶- تکمیل برداشت‌ها و نتایج جدید                                   |
| ۷-۴  | ۴-۷- رسوبات غنی از منگنز همراه با رسوبات تخریبی نیوزن               |
| ۱۳-۴ | ۴-۸- کانه‌زائی مس در حوالی شوراب                                    |
| ۱۵-۴ | ۴-۹- کانه‌زائی مس در غار کفتاری                                     |



## فصل پنجم-عملیات حفاری

۲-۵	-۱-۵ مقدمه
۲-۵	-۲-۵ حفاری گمانهها
۲۵-۵	-۳-۵ حفاری چاهکها
	<b>فصل ششم-ژئوشیمی</b>
۲-۶	-۴-۶ ژئوشیمی

## فهرست اشکال

### عنوان شماره صفحه

۴-۱	شکل شماره(۱-۱)-موقعیت جغرافیایی منطقه مطالعاتی و راههای دسترسی به آن
۶-۱	شکل شماره(۱-۲)-وضعیت جوی(متوسط درجه حرارت) در ایستگاههای هواشناسی
۷-۱	شکل شماره(۱-۳)-وضعیت جوی(میزان بارندگی) در ایستگاههای هواشناسی
۴-۲	شکل شماره(۲-۱)-زون های رسویی-ساختاری ایران(تبوی،۱۳۵۵)
۵-۲	شکل شماره(۲-۲)-گسلهای اصلی ایران(تبوی،۱۳۵۵)
۴-۳	شکل شماره(۳-۱)-بخشی از نقشه زمین شناسی ۱:۲۵۰۰۰۰ کاشمر
۵-۳	شکل شماره(۳-۲)-بخشی از نقشه زمین شناسی ۱:۱۰۰۰۰ کاشمر
۷-۳	شکل شماره(۳-۳)-بیرون زدگی شیستهای پسامنی که توسط رگههای کوارتز قطع شده اند
۸-۳	شکل شماره(۴-۳)-منحنی تعادلی فازهای مایع و گاز: اقتباس از ویل و فایت، آندرون و بورنهام
۵۲-۳	شکل شماره(۴-۴)-نمودار طبقه بندی و نامگذاری سنگهای آواری دانه متوسط
۵۳-۳	شکل شماره(۴-۵)-نمودار نشان دهنده تغییرات کانی شناسی پیشرونده
۵۳-۳	شکل شماره(۷-۳)-واکنشهای فشار پائین-دمای بالا و روابط فازی متالپلیتها و دگرگونی در سیستم KFASH
۵۴-۳	شکل شماره(۸-۳)-توالی مجموعه های سیستم KFASH که از مسکوویت، کوارتز و آب بر روی سیستم Fe <sub>2</sub> O <sub>3</sub>
۵۴-۳	شکل شماره(۹-۳)-واکنشهایی که میکافا در آنها مشارکت دارند
۵۵-۳	شکل شماره(۱۰-۳)-محدوده ها با طیفهای دما-فشار تقریبی رخسارهای دگرگونی
۶۱-۳	شکل شماره(۱۱-۳)-رزدیاگرامهای مربوط به چگونگی توزیع درزهای(الف) و رگه های کوارتزی(ب)
۲-۴	شکل شماره(۱-۴)-موقعیت جغرافیایی کاسار جیوه المعدن(اقتباس از گیلبرت و پارک ۱۹۸۵)
۳-۴	شکل شماره(۲-۴)-توزیع جهانی ذخایر جیوه بر اساس مهمترین تقسیمات ژئوگرافی و اقتصادی
۳-۵	شکل شماره(۱-۵)-نمودار نشان دهنده موقعیت چاههای حفاری شده در منطقه شوراب کاشمر
۲۵-۵	شکل شماره(۲-۵)-موقعیت قرار گیری چاهکها نسبت به چاه شماره ۱
۲۸-۵	شکل شماره(۳-۵)-موقعیت قرار گیری چاهکها نسبت به چاه شماره ۲
۳۰-۵	شکل شماره(۴-۵)-موقعیت قرار گیری چاهکها نسبت به چاه شماره ۴
۳۱-۵	شکل شماره(۵-۵)-موقعیت قرار گیری چاهکها نسبت به چاه شماره ۵
۱۱-۶	شکل شماره(۱-۶)-نمودار نشان دهنده تغییرات مقادیر As برای ۱۵۰ نمونه
۱۲-۶	شکل شماره(۲-۶)-نمودار نشان دهنده تغییرات مقادیر Sb در مقابل As برای ۱۵۰ نمونه
۱۶-۶	شکل شماره(۳-۶)-نمودارهای آنالیز XRD بعضی از نمونه های انتخاب شده از مغزه های بدست آمده از چاهکهای حفاری شده



## فهرست تصاویر

### شماره صفحه

### عنوان

- عکس شماره(۱-۳)- تصویری از تناوب اسلیت و ماسه سنگهای دگرگون شده تقریباً قائم
- عکس شماره(۲-۳)- تصویری از تپه‌های کم ارتفاع اسلیتی ماسه سنگی
- عکس شماره(۳-۳)- شمای کلی تناوب اسلیت‌های خاکستری و قرمز و ماسه سنگها
- عکس شماره(۴-۳)- نمای نزدیک از اسلیت‌های قرمز رنگ تخریب شده
- عکس شماره(۵-۳)- تناوی از اسلیت و ماسه سنگهای دگرگون شده سرق-جنوبی BH-6
- عکس شماره(۶-۳)- نمای نزدیک از اسلیت‌های قرمز رنگ کاملاً متورق
- عکس شماره(۷-۳)- نمای نزدیک از ماسه سنگهای دگرگون شده در منطقه شوراب
- عکس شماره(۸-۳)- تصویری از ریپل مارکهای موجود سطح طبقات ماسه سنگی دگرگون شده
- عکس شماره(۹-۳)- فولیاسیون بارز اسلیت‌ها با شبیه تقریباً قائم در منطقه شوراب
- عکس شماره(۱۰-۳)- اسلیت‌های ماسه‌ای دگرگون شده فولیاسیون دار با تورق کم
- عکس شماره(۱۱-۳)- اسلیت‌های دارای فولیاسیون بارز
- عکس شماره(۱۲-۳)- شبیه لایه‌ها تقریباً قائم، اختلاف جنس طبقات با اختلاف نزخ فرسایش
- عکس شماره(۱۳-۳)- اسلیت‌های قرمز- صورتی رنگ دگرسان شده
- عکس شماره(۱۴-۳)- شمای بخشی از منطقه با تناوب اسلیت‌ها و ماسه سنگهای دگرگون شده
- عکس شماره(۱۵-۳)- تناوی از اسلیت‌ها و ماسه سنگهای دگرگون شده
- عکس شماره(۱۶-۳)- تناوی از اسلیت‌ها و ماسه سنگهای دگرگون شده دارای شبیه قائم
- عکس شماره(۱۷-۳)- تصویر درزهای سیستماتیک پرشده توسط سیلیس
- عکس شماره(۱۸-۳)- تصویری از لایه ماسه سنگ دگرگون شده
- عکس شماره(۱۹-۳)- تصویری از تناوب اسلیت ماسه سنگ دگرگون شده
- عکس شماره(۲۰-۳)- تصویری از درزهای ان‌اشلان سیگموئیدال پر شده توسط سیلیس
- عکس شماره(۲۱-۳)- تناوی از اسلیت و ماسه سنگ دگرگون شده
- عکس شماره(۲۲-۳)- تناوی از اسلیت‌ها و ماسه سنگهای دگرگون شده
- عکس شماره(۲۳-۳)- تصویری از درزهای متقاطع پرشده توسط سیلیس
- عکس شماره(۲۴-۳)- تصویری از درزهای سیلیسی چین و موازات یکدیگر
- عکس شماره(۲۵-۳)- تصویری از رگهای کوارتری با معرف دو نسل
- عکس شماره(۲۶-۳)- نمای نزدیک رگهای سیلیسی با گسترشی در جهات مختلف رگهای
- عکس شماره(۲۷-۳)- تصویری از رگهای سیلیسی و قطع آن توسط سنگهای اسلیتی و ماسه سنگی
- عکس شماره(۲۸-۳)- تصویری از یک توده سیلیسی
- عکس شماره(۲۹-۳)- تصویری از رگهای کوارتری تقریباً چین خورده
- عکس شماره(۳۰-۳)- تصویر رگه سیلیسی چین خورده با سنگ میزان ماسه سنگ کمی متورق
- عکس شماره(۳۱-۳)- تصویری از رگهای سیلیسی ان‌اشلان
- عکس شماره(۳۲-۳)- تصویری از رگهای کوارتر و کلسیت
- عکس شماره(۳۳-۳)- شمای نزدیکی از دگرگشی
- عکس شماره(۳۴-۳)- تصویری از دگرگشی بین کنگلومرای نشوژن، اسلیت و ماسه سنگهای دگرگون شده نیور(سیلورین)
- عکس شماره(۳۵-۳)- شمای کلی رخمنون رسوبات گچ دار نشوژن



- عکس شماره(۳۶-۳)- تصویری از رسوبات مارنی گچ دار زنگ تقریباً سفید
- عکس شماره(۳۷-۳)- شمای کلی دشت آبرفتی حاشیه روستای شوراب
- عکس شماره(۳۸-۳)- تصویری از یک کانال قدیمی پرشده از رسوبات غنی
- عکس شماره(۳۹-۳)- تصویر میکروسکوپی ماسه سنگ دگرگون شده
- عکس شماره(۴۰-۳)- تصویر میکروسکوپی ماسه سنگ دگرگون شده
- عکس شماره(۴۱-۳)- تصویر میکروسکوپی ماسه سنگ دگرگون شده مسکویت دار
- عکس شماره(۴۲-۳)- تصویر میکروسکوپی ماسه سنگ دگرگون شده مسکویت دار
- عکس شماره(۴۳-۳)- تصویر میکروسکوپی یک رگه کوارتزی
- عکس شماره(۴۴-۳)- تصویر میکروسکوپی یک رگه کوارتزی
- عکس شماره(۴۵-۳)- تصویری از چند شکستگی پرشده توسط اکسیدهای آهن از نوع هماتیت
- عکس شماره(۴۶-۳)- تصویری از چند شکستگی پرشده توسط اکسیدهای آهن از نوع هماتیت
- عکس شماره(۴۷-۳)- تصویر میکروسکوپی شکستگیهای پرشده توسط اکسید آهن و رگهای کوارتزی
- عکس شماره(۴۸-۳)- تصویر میکروسکوپی یک رگه کوارتزی برشی شده
- عکس شماره(۴۹-۳)- تصویر میکروسکوپی یک رگه کوارتزی شدیداً برشی شده
- عکس شماره(۵۰-۳)- تصویر میکروسکوپی یک رگه کوارتزی شدیداً برشی شده
- عکس شماره(۵۱-۳)- تصویر میکروسکوپی یک رگه کوارتزی
- عکس شماره(۵۲-۳)- تصویر میکروسکوپی یک نمونه اسلیت با بلورهای ریز کوارتز
- عکس شماره(۵۳-۳)- تصویر میکروسکوپی یک نمونه سنگ اسلیتی با پروفیروبلاست کردبریتی
- عکس شماره(۵۴-۳)- تصویر میکروسکوپی یک نمونه اسلیت با رگهای کوارتزی بسیار کوچک
- عکس شماره(۵۵-۳)- تصویر میکروسکوپی یک میکاشیست با بیزچینها و رشد پروفیروبلاست کردبریت
- عکس شماره(۵۶-۳)- تصویر میکروسکوپی یک میکاشیست در نور عادی
- عکس شماره(۵۷-۳)- تصویر میکروسکوپی نشان دهنده مز تماش بین ماسه سنگ دگرگون شده مسکوویت دار و رگه سیلیسی
- عکس شماره(۵۸-۳)- تصویر میکروسکوپی یک ماسه سنگ دگرگون
- عکس شماره(۵۹-۳)- تصویر میکروسکوپی یک ماسه سنگ دگرگون شده با درجه دگرگونی حد مسکوویت زایی
- عکس شماره(۶۰-۳)- تصویر میکروسکوپی یک ماسه سنگ دگرگون شده مسکوویت دار در نور عادی
- عکس شماره(۶۱-۳)- تصویر میکروسکوپی یک ماسه سنگ دگرگون شده
- عکس شماره(۶۲-۳)- تصویر میکروسکوپی یک ماسه سنگ دگرگون شده حاوی اکسیدهای آهن
- عکس شماره(۶۳-۳)- تصویر میکروسکوپی یک ماسه سنگ دگرگون شده
- عکس شماره(۶۴-۳)- تصویر میکروسکوپی یک ماسه سنگ دگرگون شده
- عکس شماره(۶۵-۳)- تصویر میکروسکوپی یک ماسه سنگ دگرگون شده
- عکس شماره(۶۶-۳)- تصویر میکروسکوپی آهک ماسه ای
- عکس شماره(۶۷-۳)- تصویر میکروسکوپی آهک دولومیتی
- عکس شماره(۶۸-۳)- تصویر شماره ۶۷-۳ در نور عادی
- عکس شماره(۶۹-۳)- تصویر میکروسکوپی نشان دهنده اجتماع بلورهای دولومیت

V	<b>طرح اکتشاف نیمه تخصصی جیوه شوراب کاشمر</b> <b>فهرست مطالب</b>	 <b>KASHMAR KAVOSH</b>
---	---	---------------------------

- ۵۹-۳ عکس شماره(۳-۷۰)- تصویر میکروسکوپی یک نمونه داسیت پروپلیتی شده
- ۹-۴ عکس شماره(۱-۱۴)- تصویری از رسوبات منگنز واقع در غرب جاده آسفالته-جنوب کاهه نزدیک کلاته بلبل
- ۹-۴ عکس شماره(۲-۴)- تصویری از تجمع اکسیدهای منگنز و هیدروکسیدهای آهن در رسوبات کنگلومرایی نژوژن
- ۱۰-۴ عکس شماره(۳-۴)- تصویری از رسوبات ناهمگن، کنگلومرائی نژوژن با تمکریافتگی اکسیدهای آهن و منگنز در بعضی از نقاط آن
- ۱۰-۴ عکس شماره(۴-۴)- تصویر افق غنی از منگنز دارای رنگ تیره
- ۱۱-۴ عکس شماره(۵-۴)- تصویری از توالی رسوبی رسوبات مارنی و کنگلومرایی نژوژن
- ۱۲-۴ عکس شماره(۶-۴)- تصویر واحد کنگلومرایی بر روی رسوبات مارنی-مامادی نژوژن
- ۱۳-۴ عکس شماره(۷-۴)- تصویری از معدن چاه مس
- ۱۶-۴ عکس شماره(۸-۴)- دورنمای معدن مس غار کفتاری
- ۱۶-۴ عکس شماره(۹-۴)- تصویری از دهانه غار کفتاری
- ۱۷-۴ عکس شماره(۱۰-۴)- آثار حفر ماده معدنی در امتداد گسل
- ۱۷-۴ عکس شماره(۱۱-۴)- تصویری از کنتاكت بین سنگهای آهکی- دولومیتی و سنگهای آتشفسانی آندزیتی در جنوب غار کفتاری
- ۵-۵ عکس شماره(۱-۵)- مغزهای حفاری شده از چاه شماره ۲
- ۹-۵ عکس شماره(۲-۵)- تصویری از عملیات حفاری در محل BH-3
- ۹-۵ عکس شماره(۳-۵)- تصویر چند جعبه از مغزهای چاه شماره ۳
- ۱۴-۵ عکس شماره(۴-۵)- تصاویر مغزهای بدست آمده از چاه شماره ۵
- ۱۶-۵ عکس شماره(۵-۵)- تصاویر مغزهای بدست آمده از چاه شماره ۶
- ۱۹-۵ عکس شماره(۶-۵)- سایت حفاری چاه شماره ۶
- ۱۹-۵ عکس شماره(۷-۵)- مغزهای سیمانی حفاری در چاه شماره ۶
- ۲۴-۵ عکس شماره(۸-۵)- در این تصاویر بخش قابل توجهی از مغزهای حفاری شده به علت خردشگی زیاد، به حالت گل سیاه رنگ فضای داخلی لولهها را پر کرده است
- ۲۶-۵ عکس شماره(۹-۵)- تصاویری از گل شویی خاکهای خارج شده از چاهک حفر شده در نزدیکی BH-1
- ۲۷-۵ عکس شماره(۱۰-۵)- نمایی از چاهک حفاری شده در کنار گمانه BH-1

## فهرست جداول

### شماره صفحه

### عنوان

- ۳۱-۳ جدول شماره(۳-۱)- فهرست نمونه‌ها جهت تهیه و مطالعه تیغه نازک و مقاطع صیقلی
- ۳-۵ جدول شماره(۲-۵)- مختصات جغرافیایی چاههای حفر شده
- ۲۷-۵ جدول شماره(۳-۵)- مقادیر جذب اندازه‌گیری شده توسط دستگاه جیوه سج
- ۲۸-۵ جدول شماره(۴-۵)- مقدار جذب ارائه شده توسط دستگاه جیوه سج
- ۲۹-۵ جدول شماره(۵-۵)- عمق اولیه و ثانویه، نوع سنگ و مقدار جذب شده
- ۳۰-۵ جدول شماره(۶-۵)- مقادیر جذب ارائه شده توسط دستگاه جیوه سنج
- ۳-۶ جدول شماره(۱-۶)- نتایج آنالیز XRD نمونه‌های برداشت شده از منطقه شوراب کاشمر



- جدول شماره (۲-۶)- نتایج آنالیز اکسیدهای اصلی نمونه‌های برداشت شده از مغزه‌های چاههای حفاری شده در منطقه شوراب
- جدول شماره (۳-۶)- نتایج آنالیز عناصر کمیاب و خاکی نادر نمونه‌های برداشت شده
- جدول شماره (۴-۶)- نمونه‌های آنالیز شده به روش XRD,XRF
- جدول شماره (۵-۶)- نتایج آنالیز ۱۵ Sb,Hg,As نمونه
- جدول شماره (۶-۶)- نتایج بررسی ۳۰ نمونه جهت شناخت کالینهای سنگین



# فصل اول

## کلیات منطقہ



## فصل اول - کلیات منطقه

### ۱-۱- مقدمه

در تاریخ ۸۰/۸/۲۷ طی فرادراد شماره ۴۴۷۹۶ طرح اکتشاف نیمه تفصیلی جیوه شوراب

کاشمر جهت اجرا به مهندسین مشاور کالوش کانسار واگذار گردید و این مشاورین پس از عقد

فرادراد، اقدام به تهیه مقدمات کار نمود. پس از مشخص شدن محل کمپ، وسائل حفاری

از منطقه چلپو در هوایی کاشمر توسط کامیون به روستای شوراب منتقل گردید. از طرف دیگر

دستگاه حفاری از سازمان صنایع و معادن استان خراسان به منطقه انتقال داده شد، سپس کار

حفاری در نقاط تعیین شده از تاریخ ۸۰/۱۰/۱ آغاز گردید. اگر چه عملیات حفاری با مشکلات

زیادی همراه بود ولی در نهایت در طی مدت حدود ۲ ماه حفاری خاتمه یافت. در همین اثناء

مطالعه مغزه‌ها، حفر چاهک‌های اکتشافی، نمونه گیری از آنها و آزمایشات به وسیله دستگاه جیوه

سنج انجام شد و نمونه‌هایی نیز برای تهیه مقاطع نازک و صیقلی برداشت گردید و همچنین

تعدادی نمونه جهت آنالیز XRD و جذب اتمی به آزمایشگاه فرستاده شد که نتایج حاصله در

گزارش ارائه شده است. اهداف اجرای این طرح عبارتند از:

(۱) انجام عملیات حفاری و مغزه گیری به طول ۳۵۰ متر، برداشت زمین‌شناسی و لاجینگ مغزه‌ها

(۲) عملیات نمونه برداری جهت آزمایشات مختلف:

الف) انجام آنالیز XRD برای تعداد ۱۰ نمونه

ب) انجام آنالیز XRF برای تعداد ۴۰ نمونه جهت تشخیص عناصر Mn,W,Mo,Sb,As,Zn,Hg

پ) تهیه و مطالعه مقاطع صیقلی و تیغه نازک به تعداد ۲۰ نمونه

ت) تجزیه ژئوشیمیابی و اندازه گیری مقدار Ag, Au, Sb, As, Hg با روش انحلال اسیدی برای ۲۰ نمونه

ث) تعبیر و تفسیر اطلاعات و ارائه گزارش نهایی

۳ - ۱	طرح اکتشاف نیمه تفصیلی جیوه شوراب کاشمر فصل اول - کلیات منطقه	
-------	--	---

## ۱-۲- جغرافیا و اقلیم منطقه

### ۱-۱- موقعیت جغرافیایی منطقه

این منطقه در فاصله ۲۵۰ کیلومتری جنوب شهر مشهد و ۴۷ کیلومتری جنوب غربی شهرستان کاشمر قرار دارد (شکل شماره ۱-۱). برای دستیابی به این منطقه، ابتدا باید از جاده مشهد - تربت حیدریه (۱۰۰ کیلومتر) و تربت حیدریه - کاشمر (۱۰۰ کیلومتر) و کاشمر- شوراب (۴۶ کیلومتر) حرکت نمود. تمامی این مسیر به جز ۷ کیلومتر از آن آسفالت می باشد.

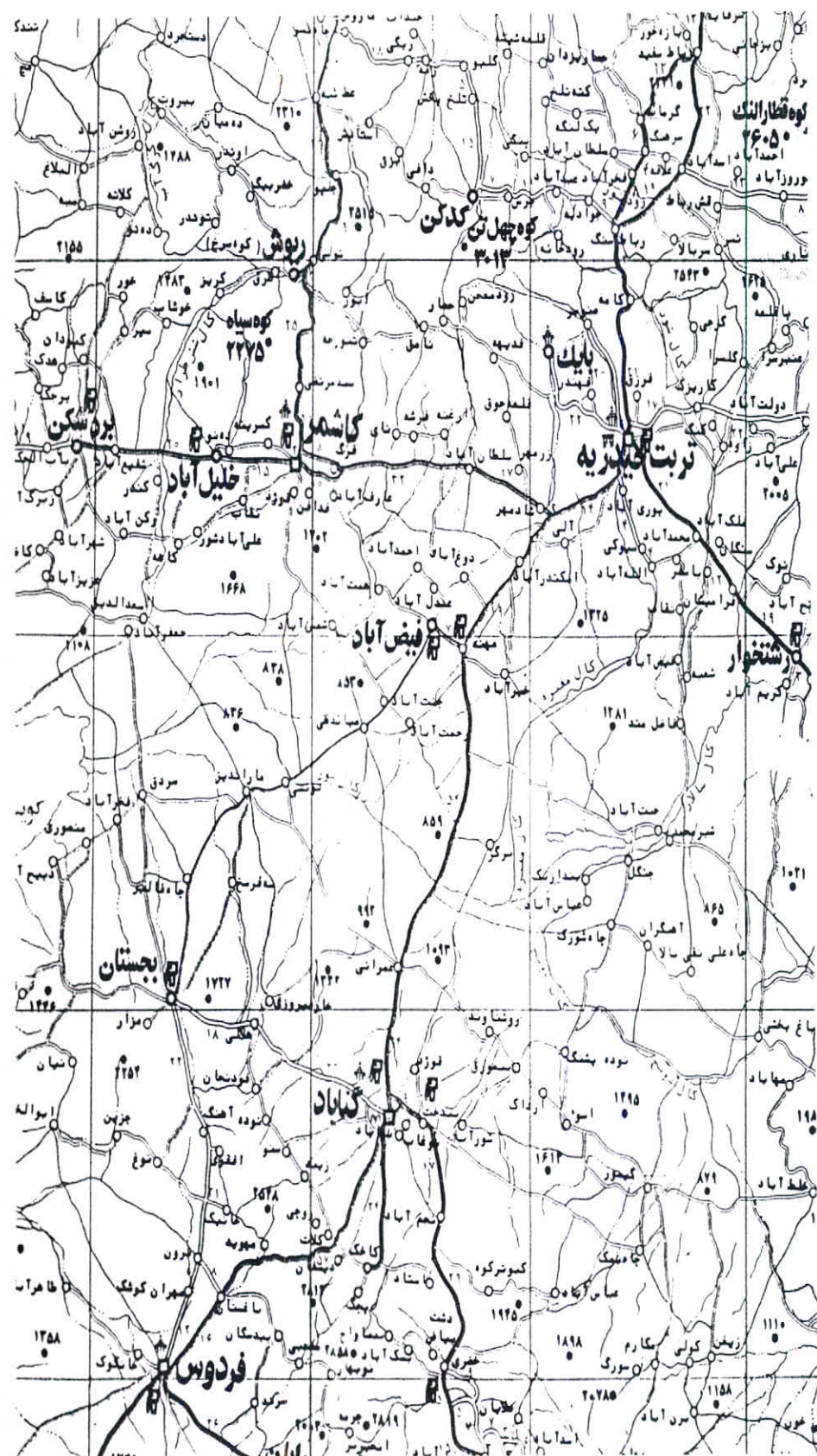
این محدوده به طور کلی در طول شرقی  $58^{\circ} ۰۵'$  و عرض شمالی  $۳۵^{\circ} ۰۰'$  با ارتفاع متوسط ۸۶۰ متر از سطح دریا واقع میباشد.

برای دسترسی به منطقه مورد مطالعه، باید از شهرستان کاشمر، از جاده آسفالت کاشمر - بردهنکن به سمت غرب حرکت کرده و پس از گذشتن از روستای ارغ و نرسیده به پل رودخانه شش تراز (کندر) به سمت جنوب تغییر مسیر داد. سپس به روستای تکماز و پس از آن به روستای کاهه و متعاقباً با عبور از این روستا، از طریق روستای جعفرآباد، جاده مخصوص روستای شوراب که یک جاده شوشه می باشد، شروع می شود. تمامی جاده تا روستای جعفر آباد آسفالت می باشد.

### ۱-۲-۱- توپوگرافی و مورفولوژی منطقه

مورفولوژی محدوده به صورت تپه ماهورهایی با شب ملایم می باشد و بطور کلی کوههای مرتفع در منطقه مطالعاتی مشاهده نمی شود. سیستم آبراهه ای به صورتی است که آبراهه های جنوبی و شمالی به همدیگر می پیوندند و جهت مشروب ساختن زمینهای کشاورزی روستاهای شوراب، جعفر آباد، مهدی آباد و سعد الدین جاری می گردند.

ارتفاع متوسط این منطقه ۸۶۰ متر از سطح دریاست که بلندترین نقطه در شرق محدوده با ارتفاع ۹۰۰ متر و پست ترین نقطه در قسمت جنوبی و در اطراف روستای شوراب با ارتفاع ۸۲۰ متر



شکل شماره (۱-۱) - موقعیت جغرافیایی منطقه مطالعه و راههای دسترسی به آن



می باشد. از جمله روستاهای حاشیه این منطقه می توان به روستاهای شوراب، جعفرآباد، مهدی

آباد، سعدالدین، سلطان آباد و ... اشاره کرد.

#### ۱-۲-۳- آب و هوای منطقه

اغلب شهرها و روستاهای شهرستان کاشمر در دشتها واقع شده اند و به علت قرارگیری

این دشت‌های وسیع در کنار کوههای مرنخ و مناطق کوهستانی و اختلاف فشار هوا بادهای

شدیدی در منطقه تولید می گردد. در نتیجه توده های هوای در حال جریان این منطقه را به

راحتی تحت تاثیر قرار می دهند و همین امر باعث می شود تا این شهرستان جزو مناطق بادخیز

کشور محسوب گردد. به علت واقع شدن این شهرستان در نزدیکی کویر ایران مرکزی، درجه

حرارت هوا در تابستان به شدت بالا می رود و اختلاف دما در شب و روز بسیار زیاد است. همچنین

دارای زمستانهای سرد همراه با بارش برف و باران می باشد.

متوسط سالیانه بارندگی حدود ۱۰۰ میلی متر بوده و امکان فعالیتهای اکتشافی و

صحراوی در بیشتر فصول سال وجود دارد. میانگین وضعیت دمایی و بارندگی استان خراسان در

شکلهای شماره ۱-۲ و ۱-۳ نشان داد: شده اند.

#### ۱-۲-۴- پوشش گیاهی و رودخانه ای

به علت کویری بودن منطقه، پوشش گیاهی در منطقه وجود ندارد و بیشتر دشت‌های خالی

از درخت و درختچه هستند و بوته زارهای پراکنده در دامنه کوهها وجود دارند. به همین علت

اداره منابع طبیعی شهرستان کاشمر حبظ بیابان زدائی، به کاشتن درختان طاق که یک درخت

سازگار با شرایط بیابانی و سخت می بشد، اقدام نموده است که قسمت های شمال غربی منطقه

را پوشش داده است.

اکثر رودخانه های منطقه بدون آب بوده و به جز در فصول بارندگی، آبی در آنها جاری

نمی باشد. همین امر باعث می شود که منطقه حالت خشک و بیابانی داشته باشد. در این منطقه

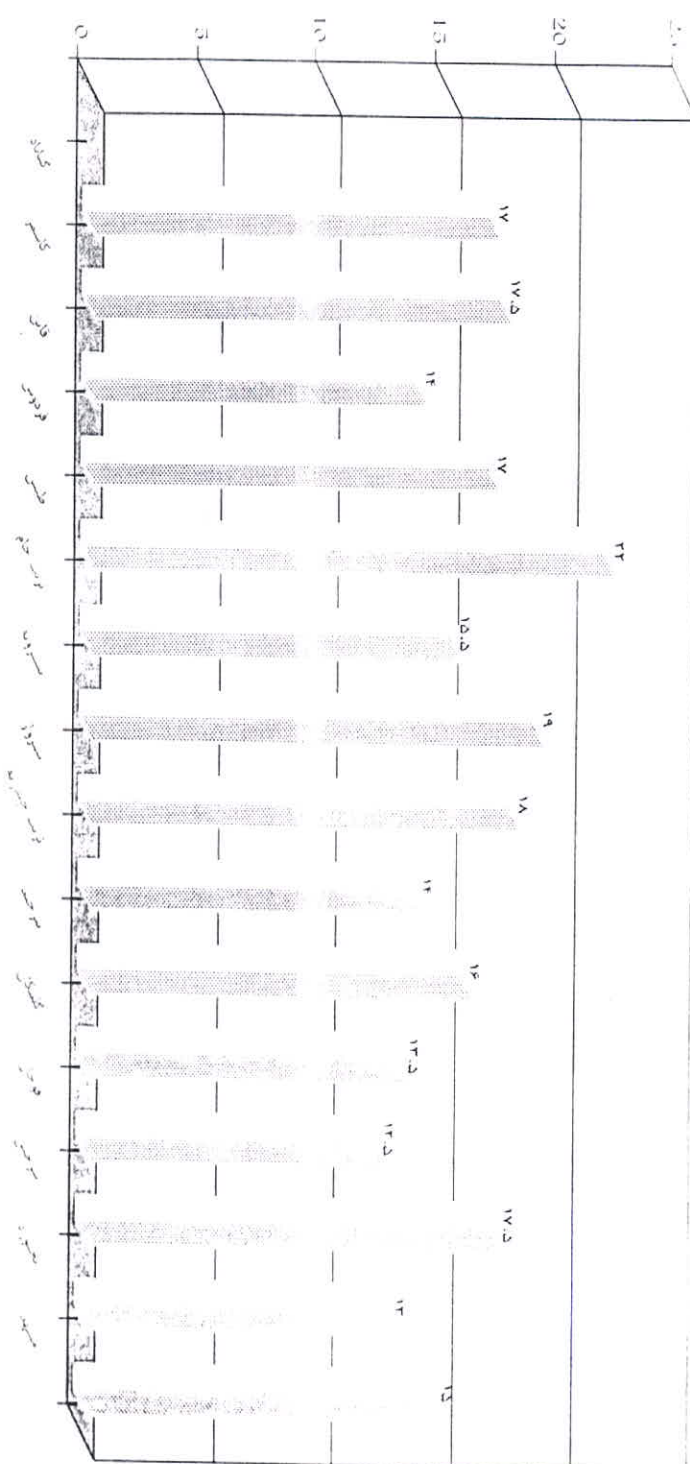
جهت امور کارهای کشاورزی و آبیاری از قنوات استفاده می کنند. به تازگی کاشت درخت پسته در



منطقه رونق بسیاری گرفته و با گسترش این کشت و مکانیزه نمودن آن کمک شایانی به بیابان

زادئی منطقه خواهد شد.

متوجه درجه حرارت بر حسب سانتیگراد



شکل شماره (۱-۲) - وضعیت جوی (متوجه درجه حرارت) در ایستگاه های هواشناسی استان خراسان



پیمانه بارندگی به حسب میلیمتر



شکل شماره (۱-۳) - وضعیت جوی (هزار بارندگی) در ایستگاه های هواشناسی استان خراسان

۸-۱	طرح اکتشاف نیمه تفصیلی جبوه شوراب کاشمر فصل اول - کلیات منطقه	
-----	--	---

## ۵-۲-۱- وضعیت معيشتی و ویژگیهای فرهنگی

تا همین دو دهه اخیر وضعیت اقتصادی، اجتماعی منطقه را اقتصادی معيشتی با زیر بنای کشاورزی تشکیل می داد که کشاورزی خود از آبهای سطحی و قنوات تغذیه می نمود. با ظهور و پیدایش عوامل تغییر دهنده جدید، چهره منطقه به تدریج روند تحول به خود گرفت و با حفر چاههای عمیق (که اکنون تعداد آنها در دشت کاشمر بیش از یک هزار حلقه می باشد) کشاورزی توسعه یافت، ولی با افت سطح آبهای زیر زمینی بدلیل استفاده بی رویه از سفره های زیرزمینی، کاهش نزولات جوی و غیره و همچنین افزایش جمعیت بنظر می رسد که این مرحله باید جای خود را به استفاده بهینه از منابع آبی و اصلاح روشهای آبیاری و توجه به توانمندیهای دیگر منطقه بویژه پتانسیل معدنی آن بسپارد.

در بخش کشاورزی کشمکش بدست آمده از تاکستانهای وسیع کاشمر از جمله مهمترین محصولات است. سطح زیر کشت باغات انگور حدود ۱۰۰۰ هکتار است، از محصولات خشکبار این منطقه می توان از برگه زردآلو، آلو، انجیر، پسته و ... یاد کرد که بیشتر از ناحیه بردسکن و کوهسرخ تامین می شود.

در سالهای اخیر کشت و توسعه درختهای بادام در منطقه کوهستانی و کشت درختان پسته در منطقه کاشمر و بردسکن و مخصوصاً در اطراف منطقه مطالعاتی این گزارش به اقتصاد کشاورزی آن ناحیه رونق خاصی بخشیده است. در تابستان میوه های زیادی شامل انگور، طالبی، هندوانه و ... از این منطقه به مرکز استان و دیگر شهرستانها صادر می شود. بافت فرشتهای مرغوب از کرک و پشم و ابریشم توسط فرشبافان و هنرمندان محلی وجه دیگری از اقتصاد منطقه است. قالی کاشمر از جمله فرشتهای مرغوب و صادراتی ایران است.

۹-۱

طرح اکتساف نیمه تفصیلی جیوه شوراب کاشمر  
فصل اول - کلیات منطقه



پنبه کاشمر جزء مرغوبترین پنهه های ایران است و کارخانجات نساجی عزفه وافری به خرید آن دارند. تخم پنبه این منطقه به مراکز مصرف این محصول در دیگر نقاط توزیع می شود. دامداری در این منطقه از رونق خوبی برخوردار است و کمک شایانی به اقتصاد این منطقه می نماید. معادن فعال منطقه شامل، آهر ده زمان (جنوب بردسکن)، کائولن مکی (کوهسرخ) و معدن سنگ مرمریت (غرب کوهسرخ) می باشند.



### ۳-۱- مطالعات و فعالیتهای گذشته

سابقه مطالعه در مورد جیوه در ایران محدود به منطقه شوراب کاشمر نمی شود.

سابقه مطالعات زمین شناسی معدنی در ناحیه شوراب بسیار کوتاه و به یکی دو دهه اخیر محدود می گردد. در طی چند سال گذشته مشاهده جیوه فلزی در ناحیه شوراب کاشمر، توجه مسئولین بخش معدنی استان و پژوهشگران زیادی را در دانشگاهها و سایر موسسات دولتی به خود جلب کرده است تا جایی که جهت مطالعات از متخصصین خارج از کشور در چند نوبت دعوت بعمل آمده و یک پژوهه مطالعاتی نیز به اجرا در آمده است. سابقه موضوع وجود جیوه و کانی سازی آن در ناحیه شوراب بشرح ذیل می باشد.

اثرات کانی سازی جیوه در این ناحیه نخستین بار طی یک رویداد اتفاقی در حالی که کارکنان جهاد سازندگی در سال ۱۳۶۷ کانالی برای انتقال آب به روستای جعفر آباد حفر می نمودند، مشاهده شد. در این واقعه پس از یک بارندگی در حالیکه کانال فوق رسوبات رسی کواترنر را قطع کرده بود، توسط افراد محلی، تجمع مقادیری جیوه طبیعی مشاهده گردید که به اطلاع مقامات ذیربیط رسید.

این اولین آثار وجود جیوه بود که باعث شروع مطالعات در منطقه گردید. متعاقب این واقعه موضوع توسط مقامات مسئول اداره کل معدن و فلزات استان خراسان پیگیری گردید. تعدادی چاهک در منطقه حفر شد و نتیجه تجزیه یک نمونه از رسوبات حوالی محل مشاهده جیوه، ۱۲ گرم در تن جیوه طبیعی را در خاک نشان داد.

در پی آن پروانه موافقت اصولی اکتشاف توسط اداره کل معدن و فلزات استان خراسان برای منطقه اخذ و این اداره مجری مطالعات زمین شناسی با نگرشی ویژه به جیوه در ناحیه شد. در سال ۱۳۶۸ بودری و طاهری در رساله دوره لیسانس خود تحت سرپرستی دکتر کریم پور چند بازدید از ناحیه بعمل آوردند لیکن هیچ اثری از سینایر یا سایر کانیهای جیوه مشاهده نکردند. در سالهای ۱۳۷۰-۷۱ شرکت توسعه علوم زمین با مشارکت کارشناسان آکادمی علوم آذربایجان

۱۱-۱	طرح اکتشاف نیمه تفصیلی جیوه شوراب کاشمر فصل اول - کلیات منطقه	 کارخانه توسعه حوزه های نفتی کاشمر
------	--	--

شوروی مطالعات سیستماتیک را در ناحیه آغاز کردند. طی این پروژه نقشه زمین شناسی

۱:۲۰۰۰ ناحیه تهیه و بیش از ۳۰۰ نمونه نیز جهت مطالعات ژئوشیمیابی جمع آوری گردید.

نمونه های فوق برای حدود ۸ عنصر آنالیز گردید و نقشه های ژئوشیمیابی عناصر فوق ترسیم

شد. گروه متخصصین فوق الذکر به آنومالیهای قابل توجهی از جیوه یا سایر عناصر برخورد نکردند،

فقط چند نمونه در حوالی نقطه ای که اولین اثرات جیوه توسط مردم محلی مشاهده شده بود

قدادیری در حدود ۱/۵ گرم در تن جیوه را نشان داد که با مقدار مشاهده شده اولیه بسیار

متغیر است.

در خلال سالهای فوق پژوهشگران دیگری از جمله دکتر مومن زاده از سازمان زمین شناسی

کشور، متخصصان ژئوشیمی از کشورهای چکسلواکی، کانادا و نیز گروه ژئوشیمی سازمان زمین

شناسی چین از این ناحیه بازدید کردند و گروه اخیر نمونه هایی نیز جهت آنالیز برداشت کرده که

نتیجه ای در برنداشته است.

دانشجویانی نیز جهت گذراندن رساله فوق لیسانس از منطقه بازدید نمودند و پیماشیدهای در

آن انجام داده اند، لیکن بدلا لیل نا معلوم کار مطالعات را در ناحیه شروع نکردند.

گروه کارشناسان فلزات غیر آهنی نیز طی انجام یک پروژه ژئوشیمیابی، منطقه را مورد

طالعه قرار دادند، که نتایجی را در برنداشت. شرکت مهندسی کاوش کاسار در سال ۱۳۷۹

منطقه را در گستره وسیعی به وسیله دستگاه جیوه سنج مورد ارزیابی قرار داد و به آنومالیهای

دست یافت. ولی متأسفانه به علت خطای دستگاه و کالیبراسیون آن، آنومالیهای بدست آمده، بطور

کامل قبل اعتماد نبودند.



## فصل دوم

# زمین شناسی عمومی



## ۱-۲ - مقدمه

در تقسیم‌بندی زونهای ساختاری ایران، این ناحیه در محدوده ایران مرکزی فرار گرفته است. براساس اطلاعات موجود، ایران مرکزی خود از بلوکهای لوت، طبس و یزد تشکیل شده که این محدوده در منتهی‌الیه شمال بلوک طبس و در ادامه کوههای زبر کوه قرار می‌گیرد. تقسیم‌بندی فوق به روشنی در نقشه تکتونیک خاورمیانه (م علوی، ۱۹۹۱) مشاهده می‌گردد. با این مقدمه و با توجه به جایگاه عمومی منطقه در زمین‌شناسی کشور به روندهای حاکم بر منطقه، چینه‌شناسی و مباحث مربوط به آن می‌پردازم.

روندهای تقریباً شمالی - جنوبی حاکم بر ازبک کوه بتدریج و با حرکت به سمت شمال در کوههای سرهنگی و زبر کوه به روندهای شمال شرقی - جنوب غربی در منطقه مطالعاتی تبدیل می‌شود و در ادامه به سمت شرق (کوه برگو و کوه سیاه) این روند تقریباً وضعیت شرقی - غربی دارد. حد شمال و جنوب ادامه ارتفاعات منطقه را گسلهای بسیار مشخصی تشکیل می‌دهند که سن فعالیت آنها بسیار جوان بوده و حتی نهشته‌های کواترنر را نیز جابجا کرده‌اند.

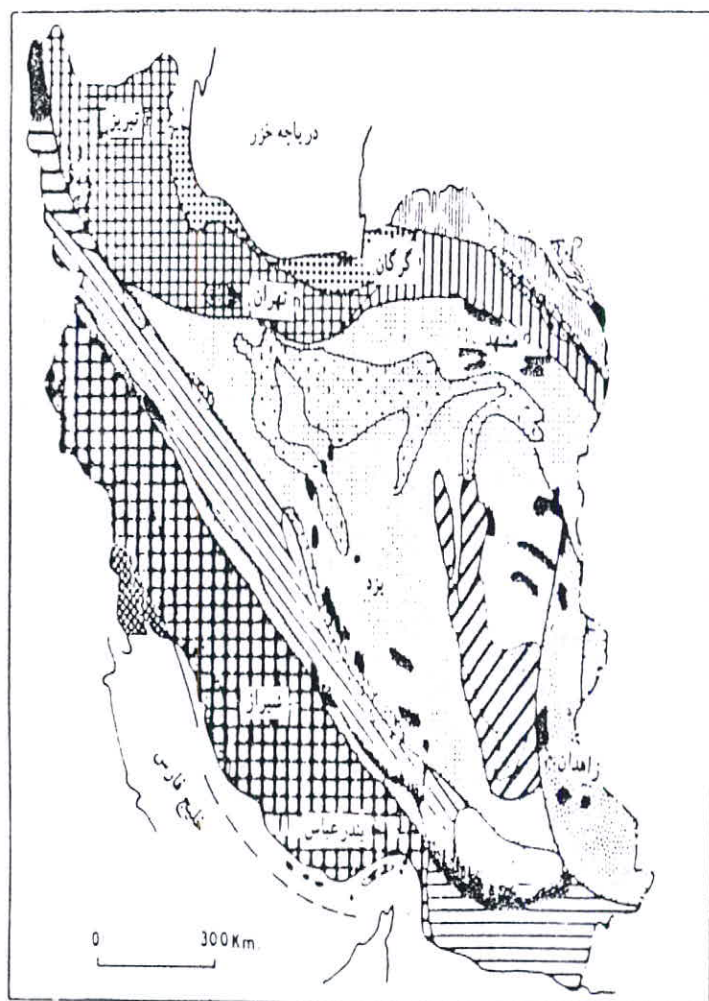
## ۲-۲ - زون‌بندی منطقه

از نظر زمین‌شناسی ساختمانی و ریخت زمین‌ساختی، منطقه مورد مطالعه در شمال بلوک لوت و در بخش شمال خاوری زون ایران مرکزی و حاشیه‌ای زون بینالود (البرز شرقی) قرار دارد (شکل شماره ۱-۲). این بخش روند شرقی - غربی دارد و به سمت شرق (مرز ایران با افغانستان) دارای جهت شمال غربی - جنوب شرقی و به سمت غرب (شاہرود) روند آن بطرف شمال شرقی - جنوب غربی گرایش پیدا می‌کند. محدوده این بخش بین گسلهای درونه (کویر بزرگ) و میامی - عطاری یا سمنان جای دارد (شکل شماره ۲-۲).

در ناحیه سمنان - شاهرود (غرب منطقه مورد مطالعه) گسلهای عطاری و سمنان که نسبت به هم ۱۰-۲۵ کیلومتر فاصله دارند و در دشت آهوان - قوشه به همدیگر می‌پیوندند، به عنوان جدا کننده زونهای ایران مرکزی و البرز معرفی شده‌اند. بطرف شرق (منطقه مورد مطالعه)، گسل

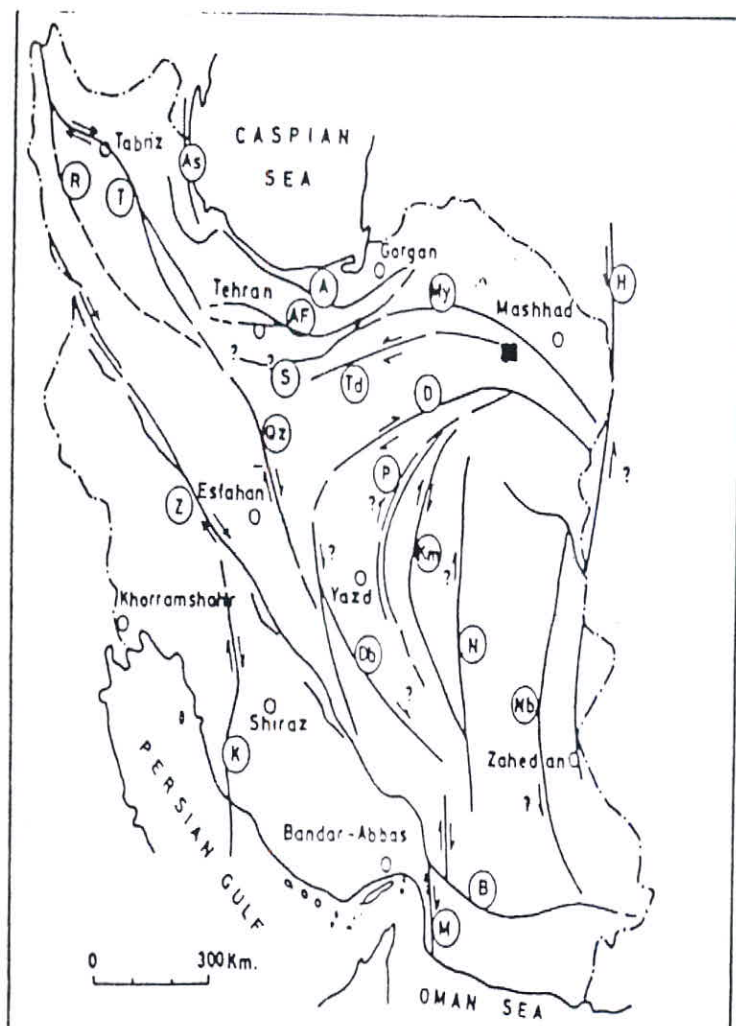
۳-۲	طرح اکتشاف نیمه تفصیلی جبوه شوراب کاشمر فصل دوم - زمین‌شناسی عمومی	
-----	---	--

میامی در ادامه گسلهای مزبور به عنوان مرز بین زون ایران مرکزی و زون بینالود معرفی شده است. زون بینالود ( البرز شرقی ) در واقع یک زون دندریتی در شمال گسل میامی بین زون ایران مرکزی و البرز است. از سوی دیگر وجود رسبات نوع فلیش که یکی از ویژگیهای عمدۀ زون نهیندان - خاش می باشد، در منطقه مورد مطالعه موجب شد تا برخی از محققین آنرا جزء این زون بشمار آورند ولی بطور اجمالی با زون نهیندان خاش تفاوت‌هایی دارد و با توجه به تقسیم بندی نبوی (۱۳۵۵)، این منطقه جزء زون ایران مرکزی قرار داده شده است.



	زون آمبار رنگین		خوی - مهاباد		کور گاک - رست
	بلوک همدان		مکران		لهیز - لریابان
	بلانفام عربی		گودالها		زون بینالود
	اهار مرکزی		سراچ - سبزه خان		بلوک لوت
	زاکروس جین خورفا		بلت توران		نهباندان - غاصی
	زاکروس مرناخ				

شکل شماره (۱-۲)- زونهای رسوبی - ساختاری ایران (نبوی، ۱۳۵۵).



— Faults of unknown horizontal displacement

→ Strike-slip faults, dextral

← Strike-slip faults, sinistral

Letters inside of circles indicate names of faults:

A) Alborz ; AF) Abyek-Firuzkuh ; As) Astara ; D) Doruneh ; Db) Dehshir-Baf

M) Minab ; H) Hari Rud ; K) Kazerun ; Km) Kalmard ; B) Beshagerd

My) Mayamey ; N) Nayband ; Mb) Nehbandan ; P) Poshl-e-Badam ; Qz) Qom-Zefreh

R) Rezaieh ; S) Semnan ; T) Tabriz ; Td) Torud ; Z) Zagros;



## فصل سوم

### زمین شناسی

### منطقه مورد مطالعه

۲-۳	طرح اکتشاف نیمه تفصیلی حبشه شوراب کاشمر فصل سوم - زمین شناسی منطقه مورد مطالعه	
-----	---	--

### فصل سوم - زمین شناسی منطقه مورد مطالعه

#### ۱-۳- بررسی سنگ شناسی منطقه مورد مطالعه

در منطقه مورد مطالعه سه رده سنی از سنگها و رسوبات وجود دارد که عبارتند از: ۱- اسلیت ها و ماسه سنگهای دگرگون شده سیلورین معروف به سازند نیور، ۲- کنگلومرا و لایه های گچ دار نیوزن و ۳- رسوبات آبرفتی آبراهه های کواترنر ( به شکل های شماره ۱-۳ و ۲-۳ رجوع شود).

#### ۱-۱-۳- اسلیت ها و ماسه سنگهای دگرگون شده سیلورین

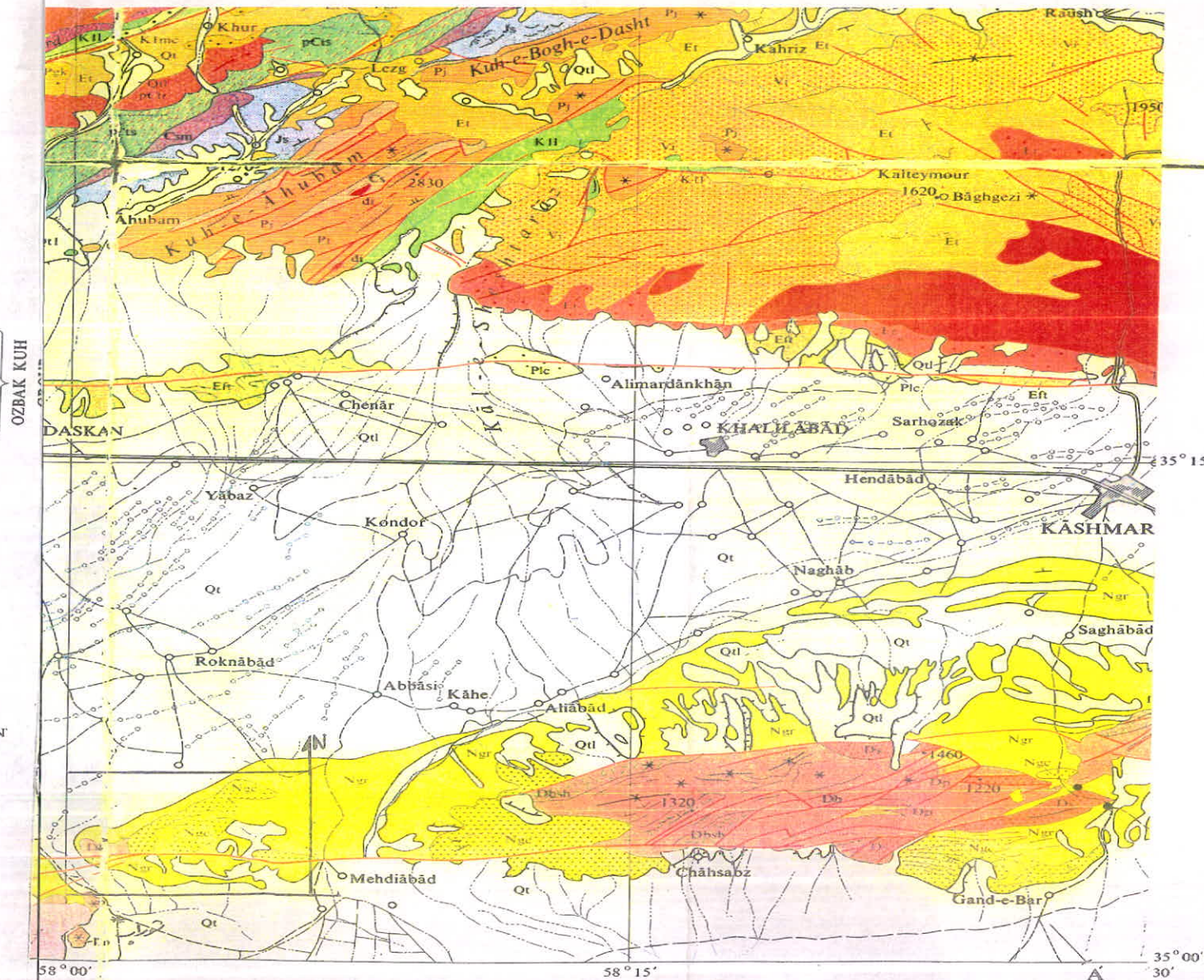
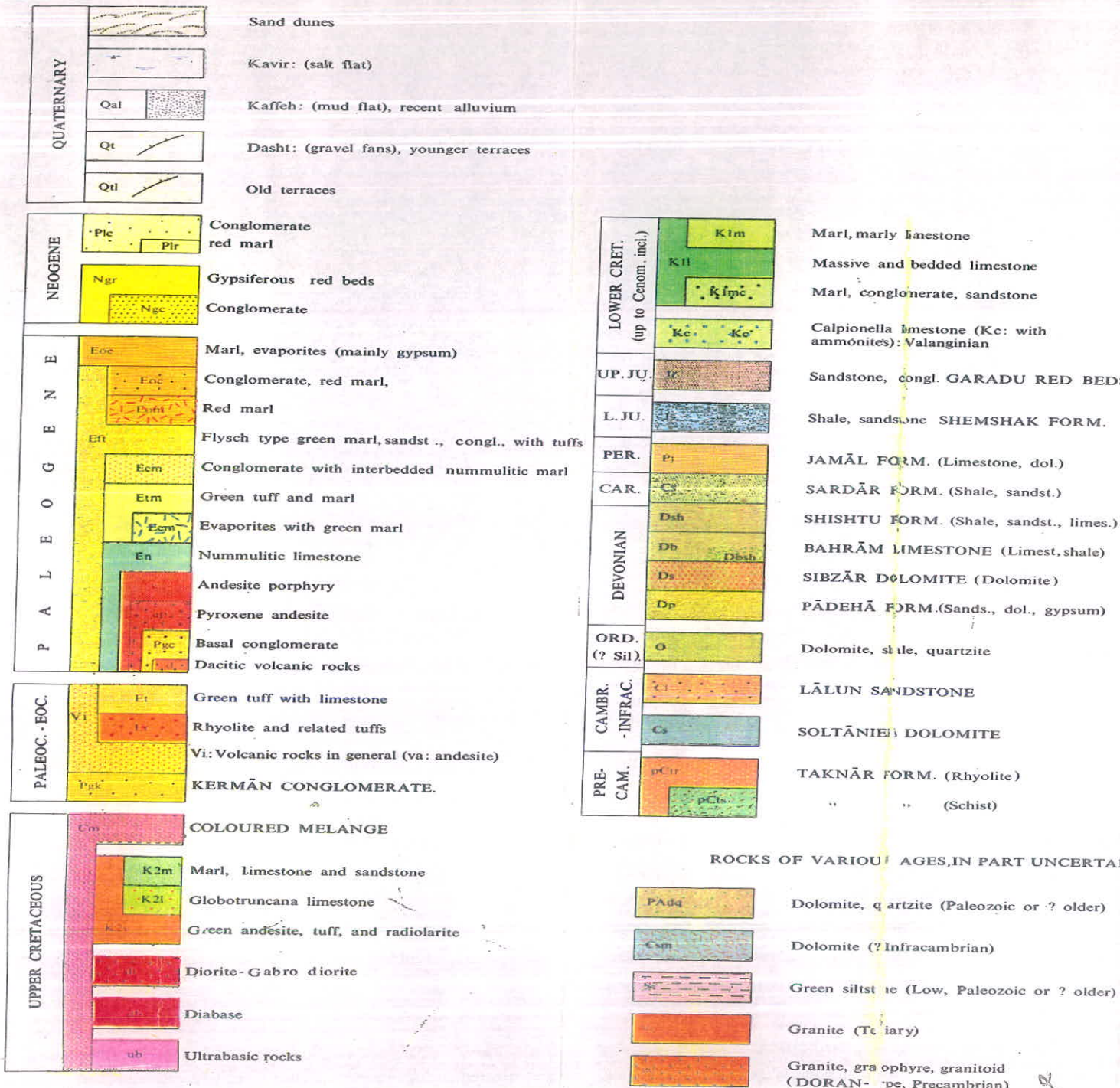
قدیمی ترین سنگهای رخمنون یافته موجود در منطقه به صورت تنابی از شیل و ماسه سنگ دگرگون شده در منطقه رخمنون دارد. این مجموعه به ویژه در بخش اسلیتی دگرگون شده تنوع رنگی سیاه ، سبز و قرمز را نشان می دهد. این تنوع رنگی به محتویات این سنگها، محیط تشکیل و درجه اکسیداسیون - احیا محیط رسوبگذاری اولیه این سنگها بستگی دارد. اسلیت های سیاه رنگ معمولاً حاوی انکی مواد کربنی هستند، رسوبگذاری اسلیتهاي سبز یا کمی متمایل به سبز حاصل دگرگونی شیلهايی هستند که در محیطی تقریباً احیا رسوب نموده اند؛ اسلیت های قرمز یا متمایل به قرمز که معمولاً با ماسه سنگها و سیلتستونهای قرمز رنگ همراه هستند، شیل و

ماسه سنگهایی بوده اند که در محیط اکسیدان رسوب کرده اند و در ضمن حاوی مقادیری اکسیدهای آهن هستند. در این بین لایه های ماسه سنگی دگرگون شده ای وجود دارد که معمولاً دارای رنگ تیره ای هستند، هرچند لایه های ماسه سنگی دگرگون شده را می توان در گستره ای وسیع دنبال کرد، ولی با این وجود، قطع شدگی، تغییر ضخامت، تغییر روند و تغییر رنگ در امتداد

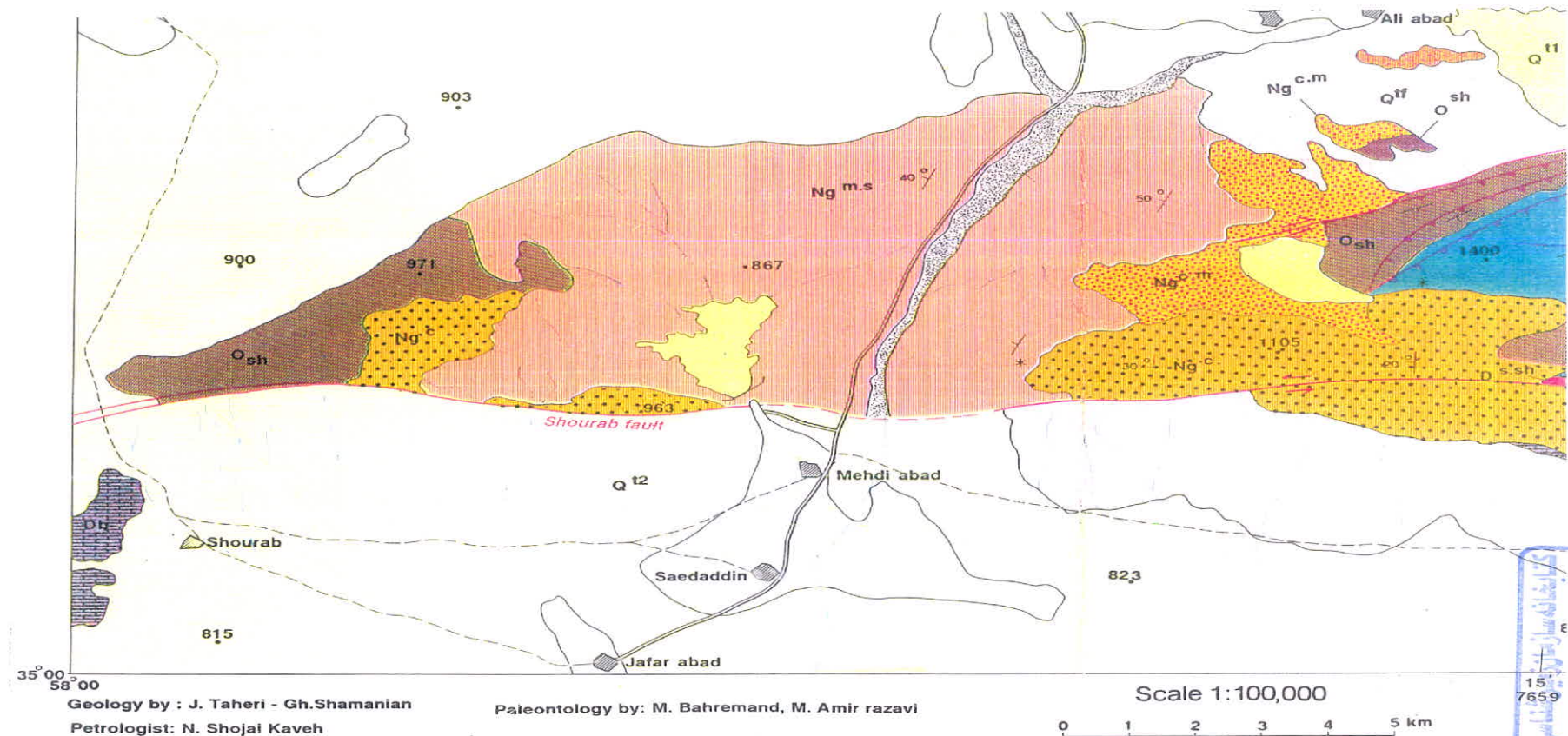
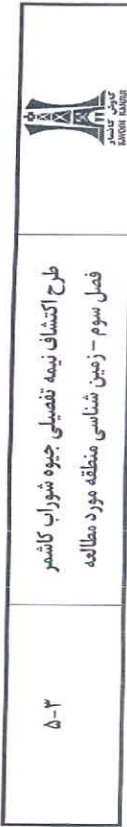
این لایه ها امری متداول می باشد. این مجموعه تحت تاثیر افزایش دما و فشار در منطقه دگرگون شده اند و به اسلیت ها و ماسه سنگهای دگرگون شده تبدیل گردیده اند. اسلیت ها فولیاسیون بازی نشان می دهند که البته دارای شدت و ضعف است. در نقاطی که ترکیب اسلیتها کمی ماسه ای می شود، فولیاسیون کاهش می یابد. در نقاطی که میزان فشارهای واردہ بیشتر بوده ، ماسه



سنگهای دگرگون شده نیز فولیاپیون نسبتاً بارزی را نشان می‌دهند. پدیده مشهود در این مجموعه، حضور رگه‌ها و رگچه‌های سیلیسی می‌باشد. این رگه‌ها عمدتاً در واحدهای ماسه سنگی دگرگون شده و به مقدار کمتر در واحدهای اسلیتی مشاهده می‌شوند. این سیلیس‌ها در گزارش قبلی به عنوان سیلیس با منشا گرمابی (هیدروترمال) معرفی شده‌اند اما به دلایلی که در ادامه همین مبحث ارائه می‌گردد این سیلیس‌ها دارای منشا گرمابی نبوده، بلکه دارای منشا دگرگونی هستند و با پدیده‌های دگرگونی در ارتباط می‌باشند.



شکل شماره (۱-۳) - بخشی از نقشه زمین‌شناسی ۱:۲۵۰۰۰۰ (افتخار نژاد، ۱۹۶۷) و



شکل شماره (۳-۲) - بخشی از نقشه زمین شناسی ۱:۱۰۰۰۰۰ کاشمر(طاهری و همکار، ۱۳۸۰) و موقعیت محدوده مورد مطالعه بر روی آن

۶-۳	طرح اکتشاف نیمه تفصیلی جیوه شوراب کاشمر فصل سوم - زمین شناسی منطقه مورد مطالعه	 اینستیتو جیوه و معدن جمهوری اسلامی ایران
-----	---	--

تشکیل رگه های سیلیسی در این منطقه با آزاد شدن سیالات و تغییر شکل سنگها در ارتباط است. چگونگی تشریح این پدیده بدینقرار است:

بکی از گسترده ترین خصوصیات در تمام سنگهای دگرگونی ناحیه ای درجه پایین، وجود رگه های از کانیهای کوارتز فراوانتر است و در مجاورت سنگ دیواره نیز وجود دارند. طبق اظهار نظر برخی از محققین، این رگه ها همزمان با دگرگونی در نتیجه گسیختگی ناشی از کشش در سنگ بوجود آمده اند و در واقع این گسیختگی در اثر فشار سیال منفذی و همگام با پیشرفت واکنشهای آزاد شدن مواد فرار به وجود می آید. هر چند مواد تشکیل دهنده این رگه ها همیشه از محاورت بلا فصل رگه مشتق نمی شوند ولی اکثراً محلی بوده و متعلق به حول و حوش رگه ها می باشند. در دگرگونی پیش رونده، فشار سیال تقریباً مساوی فشار لیتواستاتیک و یا بیشتر است. بنابراین سیال تمایل دارد که دانه ها را کنار زده و تخلخل و تراوایی را حفظ کند. اگر از طریق انجام واکنش مقدار سیال بیشتری آزاد شود و سرعت تولید سیال از سرعت خروج آن بیشتر باشد، فشار سیال بالاتر از فشار لیتواستاتیک شده، تا اینکه سنگ در اثر فرآیند شکستگی هیدرولیکی، شکافته و گسیخته شود. مقدار اضافه فشار سیالی که برای تحقق این عمل لازم است، احتمالاً کم می باشد و این فرایند، گسترده ترین نوع گسیختگی شکننده در سنگهای حرارت بالا است. شکستگیهایی که در اثر اضافه فشار سیال تولید می شوند به عنوان مسیری برای مهاجرت سیال از سنگهای دگرگونی عمل می کنند. این اضافه فشارها، در دگرگونی پیشرونده عادی هستند. در خاتمه عمل، فشار سیال کاهش یافته، شکستگیها دوباره بسته می شوند و قبل از برقراری مجدد فشار سیال و تکرار این فرآیندها یک دوره سکون خواهیم داشت. به این ترتیب، مواد موجود در محلولها که در شکافها رسوب کرده اند، یک رگه را تشکیل می دهند (اتریج، ۱۹۸۳؛ یاردلی، ۱۹۸۶). تشکیل رگه در رسوبات دگرگون شده، امری عادی است (به شکل ۳-۳ رجوع شود).

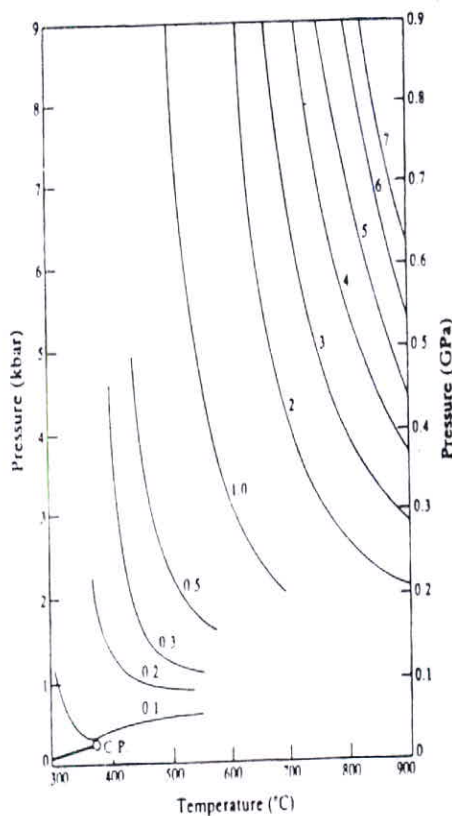


شکل شماره (۳-۳) - بیرون زدگی شیسته‌ی پسامیتی که توسط رگه‌های کوارتز قطع شده اند. توجه نمائید که چگونه قسمتی از رگه، شبستوزیته سنگ میزان را قطع کرده است. در حالی که رگه‌های کوچکتر، موازی شبستوزیته هستند. منطقه کانمارای ایرلند (نقل از یاردلی، ۱۹۸۶).

واضح است که غالباً کالک سیلیکاتها در جریان از دست دادن مواد فرار خود، مقدار زیادی خل و فرج بزرگ تولید می‌کنند و سیال خارج شده از آنها بدون ایجاد شگستگی، با جریان نافذ از داخل لایه فرار می‌کند (به رامبل<sup>۱</sup> و همکاران، ۱۹۸۲، رجوع کنید). از آنجایی که استرس‌های انحرافی، حد آستانه شکستگی را کاهش می‌دهند، وجود آنها برای ایجاد شکستگی‌های ضرورت دارد. در بسیاری از هاله‌های گرمابی، رگه‌ها کمیاب هستند. در اینجا در مبحثی تحت عنوان نقطه بعرانی، سیالات آبدار فوق بحرانی و حلابت کوارتز در  $H_2O$ ، مسئله رگه‌های کوارتزی را از دیدگاهی دقیقتر مورد بررسی قرار می‌گیرند. در دماها و فشارهای نسبتاً کم سیالات بصورت مایع و گاز از همدیگر قابل تفکیک می‌باشند. خط ضخیم نشان داده شده در شکل شماره (۴-۳)،



معرف منحنی تعادلی فاز های گازی و مایع همزیستی است که هر دو دارای ترکیب  $H_2O$  خالص می باشند. منحنی در نقطه بحرانی که در  $0/22$  کیلوبار و  $374$  درجه سانتیگراد، خاتمه می یابد. سیالات آبدار طبیعی از لحاظ زمین شناسی مهم و معمولاً حاوی مقادیر قابل ملاحظه ای  $NaCl$  هستند.



شکل شماره (۴-۳)- خط ضخیم منحنی تعادلی فازهای مایع و گاز (بخار) همزیست دارای ترکیب  $H_2O$  خالص را نشان می دهد، این منحنی تعادلی در نقطه بحرانی (C.p.) خاتمه می یابد. خطوط نازک میزان حلایت(بر حسب درصد وزنی) کوارتر در  $H_2O$  را نشان میدهند. اقتباس از ویل و فایف (۱۹۶۴) و آندرسون و بورنهام (۱۹۶۵).

۹-۳	طرح اکتشاف نیمه تفصیلی جیوه شوراب کاشمر فصل سوم - زمین‌شناسی منطقه مورد مطالعه	 کاوش‌دانش KASHMAR OILFIELD DEVELOPMENT ORGANIZATION
-----	---	---

نقطه بحرانی محلولهای  $\text{NaCl}$ - $\text{H}_2\text{O}$  در موقعیت بالاتری قرار می‌گیرد به طوری که برای ۲ درصد وزنی  $\text{NaCl}$  در نقطه‌ای معرف فشار نزدیک به یک کیلو بار در دمای  $60^{\circ}\text{C}$  درجه سانتیگراد واقع می‌شود. (سوریراجان و کندی، ۱۹۶۲). نقطه بحرانی  $\text{CO}_2$  در  $0^{\circ}\text{C}$  کیلوبار و  $31^{\circ}\text{C}$  درجه سانتیگراد قرار می‌گیرد.

در فشارها و دماهای بالاتر از نقطه بحرانی، بین مایع و گاز هیچ تمایزی وجود ندارد و در واقع تنها یک نوع سیال وجود دارد که سیال بحرانی نامیده می‌شود. دگرگونی ناحیه‌ای در طیف دما- فشار سیالات آبدار فوق بحرانی صورت می‌گیرد.

معمولًا با افزایش دما و فشار، مقدار حلالیت کوارتز در  $\text{H}_2\text{O}$  افزایش می‌یابد. بنابراین سیال آبداری که در درون پوسته صعود می‌نماید، تمایل دارد سیلیس حل شده در خود را به صورت کوارتز ته نشین نماید. با وجود این، تحت شرایط دما- فشار نزدیک به نقطه بحرانی، کوارتز از نظر حلالیت در  $\text{H}_2\text{O}$  رفتاری غیرعادی نشان می‌دهد. بنابراین، در فشار نزدیک به یک کیلوبار یا کمتر از یک کیلوبار و در طیف دمای حدود  $35^{\circ}\text{C}$  تا  $700^{\circ}\text{C}$  درجه سانتیگراد با کاهش دما مقدار حلالیت کوارتز در  $\text{H}_2\text{O}$  افزایش می‌یابد (پترولوژی دگرگونی، میاشیرو، ۱۹۹۴). در ادامه توضیح اینکه سنگهای رسوبی نظیر شیلهای اغلب حاوی مقادیر بسیار زیادی از کانیهای آبدار می‌باشند و در حقیقت، رسوباتی که تحت شرایط تعادلی در محیطهای دریابی نهشته شده را می‌توان به عنوان یک مجموعه کانی شناسی در نظر گرفت که با وضعیت دارای حداکثر کانیهای آبدار مطابقت می‌نماید. گرم شدن مجموعه‌های کانی شناسی آبدار (رسها) رسوبات طی حادثه دگرگونی به انجام واکنشهایی منجر می‌شود که دارای حالت کلی زیر می‌باشند:

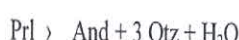
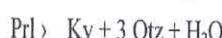


این مطالعه توصیفی از فرایندهای آبدایی است که در طی دگرگونی پیشرونده صورت می‌گیرند. ویژگی عمدۀ واکنشهای آبدایی، آزاد شدن  $\text{H}_2\text{O}$  است. تعدادی از واکنشهایی که

۱۰-۳	طرح اکتشاف نیمه تفصیلی جبوه شوراب کاشر فصل سوم - زمین شناسی منطقه مورد مطالعه	
------	--	--

علاوه بر آبزدایی با سیلیس زدایی همراه هستند و با شرایط دگرگونی دما- فشار متوسط سازگار

می باشند عبارتند از:



=Prl =And=آندالوزیت، Bio=بیوتیت، Chl=Cld=کلریت، Ky=کیانیت، Mus=موسکویت.

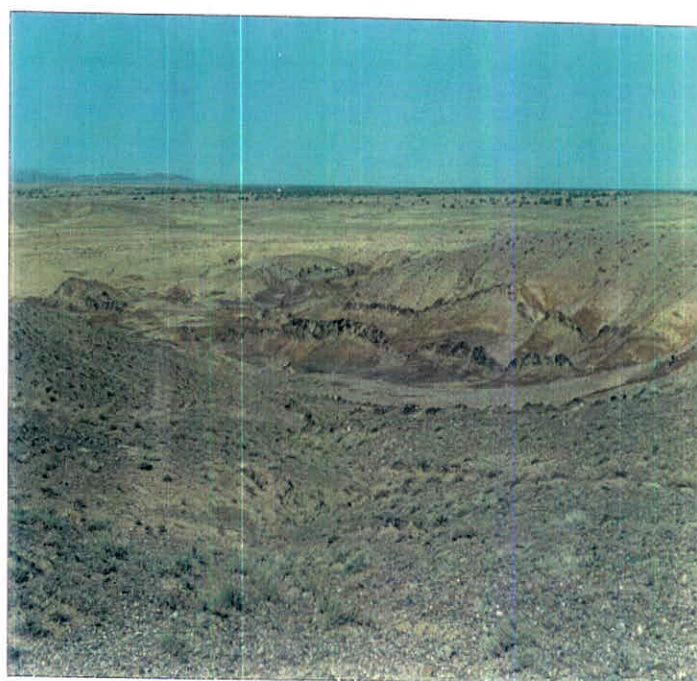
پیروفلیت، Qtz=کوارتز.

آب و سیلیس آزاد شده از طریق این واکنشها، در نهایت می تواند به تشکیل رگه های

کوارتزی با منشا دگرگونی منجر شود) از کتاب پتروژئن سنگهای دگرگونی، کورت بوخر و مارتین  
فری، ۱۹۹۴ اقتباس شده است).

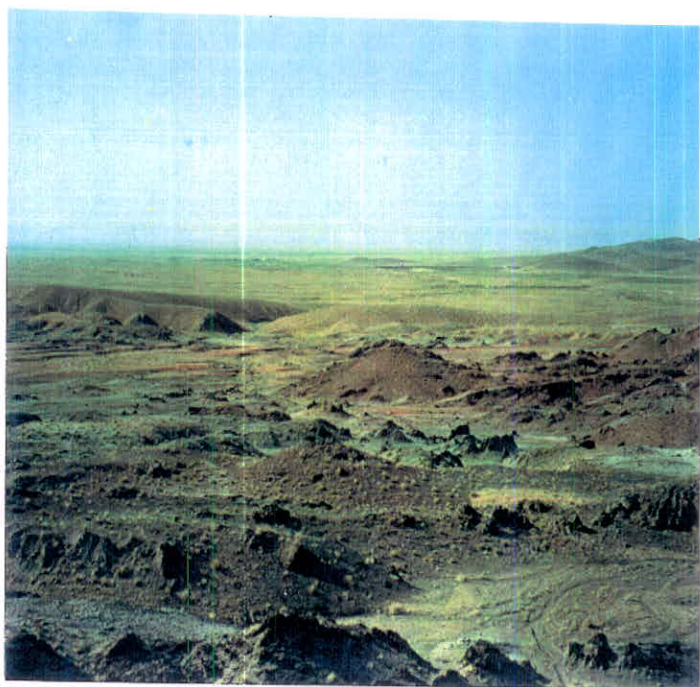
در ادامه این مبحث تصاویری از پدیده های مرتبط با این موضوع در عکس های شماره ۳-۱-۳ الی ۳-۰-۳

ارائه شده اند.

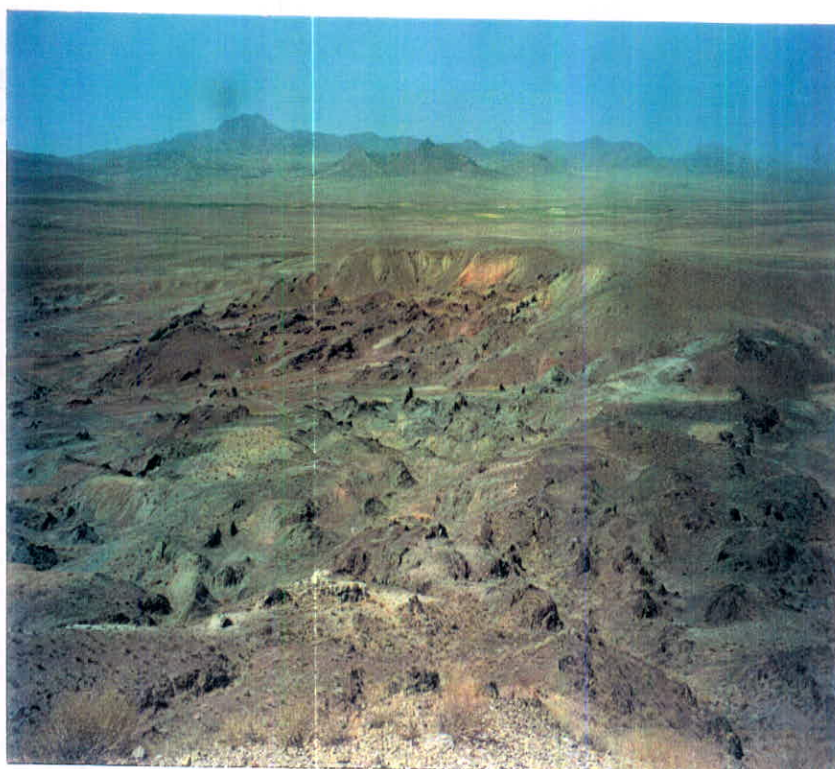


عکس شماره (۳)-۱) - تصویری از تناب و ماسه سنگهای دگرگون شده تقریباً قائم در منطقه شوراب

۱۱-۳	طرح اکتشاف نیمه تفضیلی جیوه شوراب کاشمر فصل سوم - زمین‌شناسی منطقه مورد مطالعه	 کاوش پالایش KASHMAR OILFIELD
------	---	--



شکل شماره (۲-۳) - تصویری از تپه های کم ارتفاع اسلیتی و ماسه سنگی دگرگون شده خاکستری و قرمز رنگ در جنوب منطقه اکتشافی



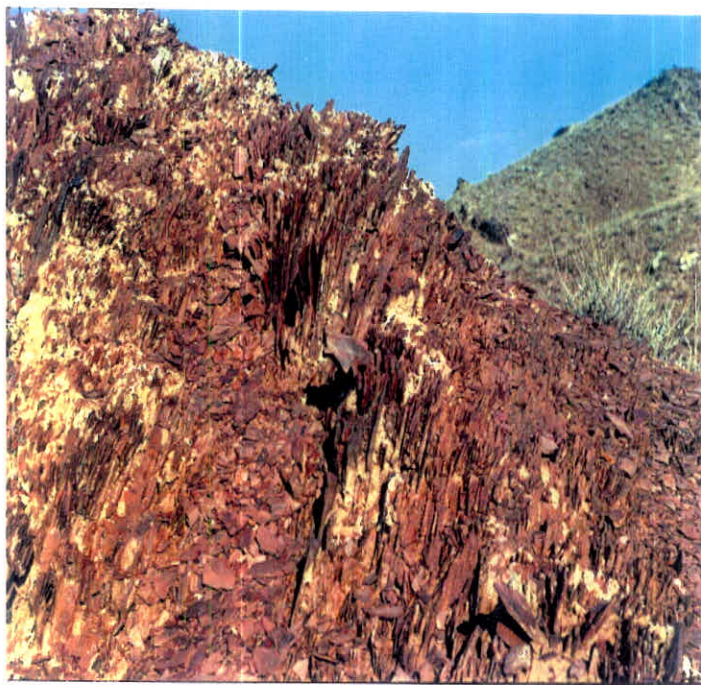
عکس شماره (۳-۳)- شمای کلی تناب اسلیت های خاکستری و قرمز و ماسه سنگها توجه اینکه رنگ قرمز اسلیت ها و ماسه سنگها به حضور مقادیر قابل توجهی اکسید آهن در زمینه آنها مربوط می گردد.  
این سنگها در بعضی نقاط توسط پوشش کنگلومرا یی نهودن و رسوبات مارنی گچ دار پوشیده شده اند.



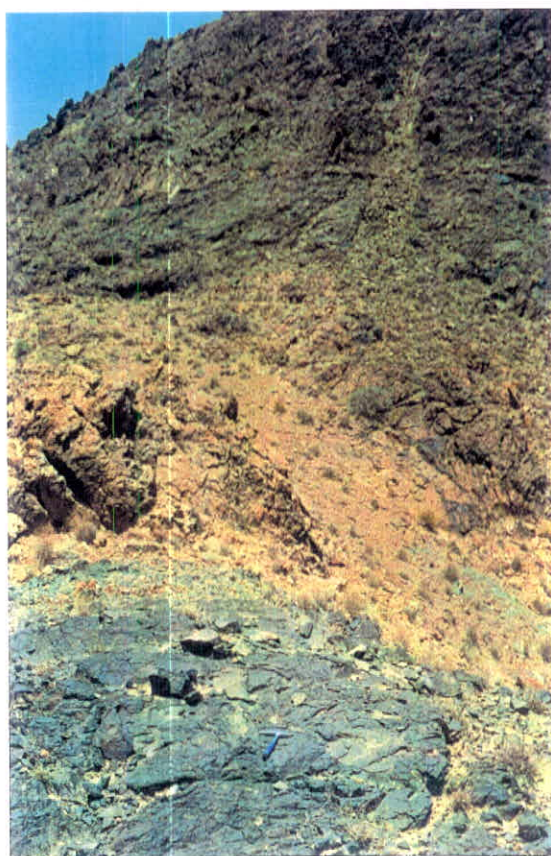
عکس شماره (۴-۳) - نمای نزدیک از اسلیتهای قرمز رنگ تخریب شده در اثر هوازدگی این سنگها و بوجود آمدن هیدروکسیدهای آهن از جمله لیمونیت، خاک قرمز متمایل به زرد در سطح این مناطق بوجود آمده است.



عکس شماره (۵-۳) - تنایی از اسلیت و ماسه سنگهای دگرگون شده شرق - جنوب شرق ۶-BH



عکس شماره (۶-۳) - نمای نزدیکی از اسلیت های قرمز رنگ کاملاً متورق. (فولیاسیون باز این سنگها)  
(جنوب چاه شماره ۶) منطقه شوراب کاشمر



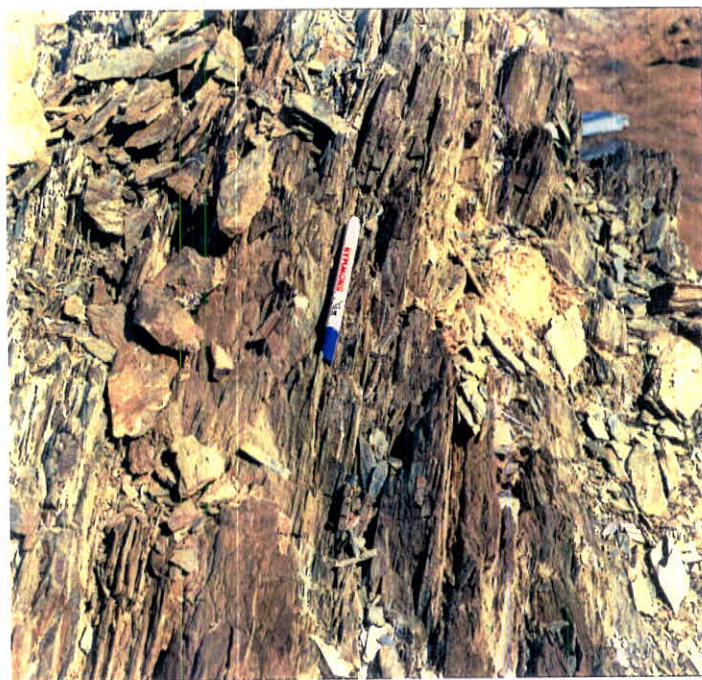
عکس شماره (۷-۳) - نمایی نزدیک از ماسه سنگهای دگرگون شده در منطقه شوراب کاشمر



عکس شماره (۸-۳) - تصویری از ریپل مارکهای موجود بر سطح طبقات ماسه سنگی دگرگون شده در جنوب BH\_4. این ریپل مارکها از نوع نامتقارن می‌باشند. در هر حال حفظ این آثار پس از میلیونها سال امری جالب و شگفت‌انگیز می‌باشد.



عکس شماره (۹-۳) - فولیاسیون بارز اسلیت‌ها با شیب تقریباً قائم در منطقه شوراب کاشر



عکس شماره (۱۰-۳) - اسلیت های ماسه ای دگرگون شده فولیاسیون دار با تورق کم



عکس شماره (۱۱-۳) - اسلیت های دارای فولیاسیون بسیار باز و وجود فولیاسیون عامل مهمی در تخریب سریعتر آنها در سطح می باشد.



عکس شماره (۱۲-۳) - شبیه لایه‌ها تقریباً قائم، اختلاف جنس طبقات همراه با اختلاف نرخ فرسایش این موضوع باعث شده است که برجستگی‌های موضعی بوجود آید.



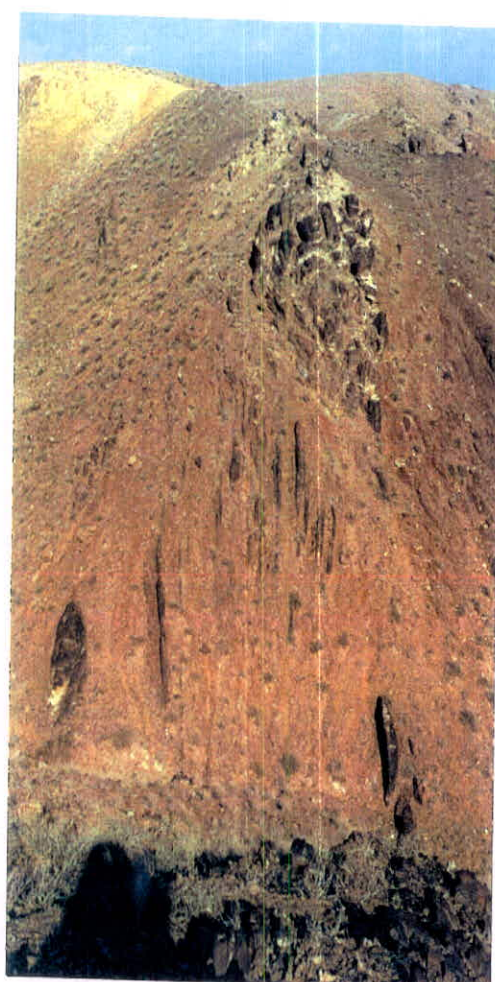
عکس شماره (۱۳-۳) - اسلیت‌های قرمز - صورتی رنگ دگرسان شده. در تصویر فوق کارشناسان در حال اندازه گیری بخارات جیوه در خاکهای سطحی موجود در درون آبراهه می‌باشند.



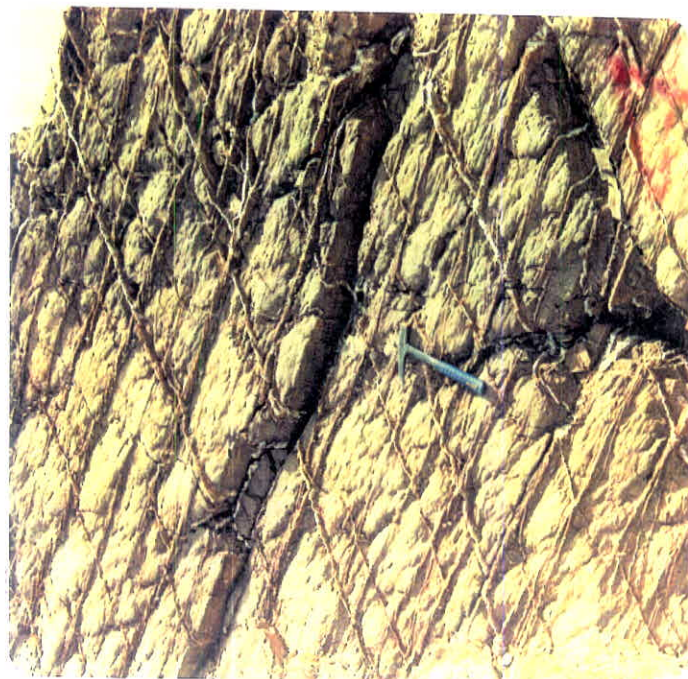
عکس شماره (۱۴-۳) - شمای کنی بخشی از منطقه با تناب و اسلیت ها و ماسه سنگهای دگرگون شده توجه شود که بر جستگیهای موضعی دارای راستای خاصی (NE-SW) هستند. این بر جستگیها حاصل اختلاف جنس سنگ و اختلاف میزان فرسایش می باشند.



شکل شماره (۱۵-۳) - تنابی از اسلیتها و ماسه سنگهای دگرگون شده که دارای شیب نزدیک به قائم رگه های کوارتزی غالباً با لایه های ماسه سنگی همراه می باشند (شرق ۶-BH)



عکس شماره (۱۶-۳) - تناوبی از  
اسلیت ها و ماسه سنگهای  
دگرگون شده دارای شب قائم،  
هستند. توجه شود که در بخش  
ماسه سنگی دگرگون شده، رگه  
های کوارتزی از حضور بازتری  
برخوردار هستند (شرق BH-6).



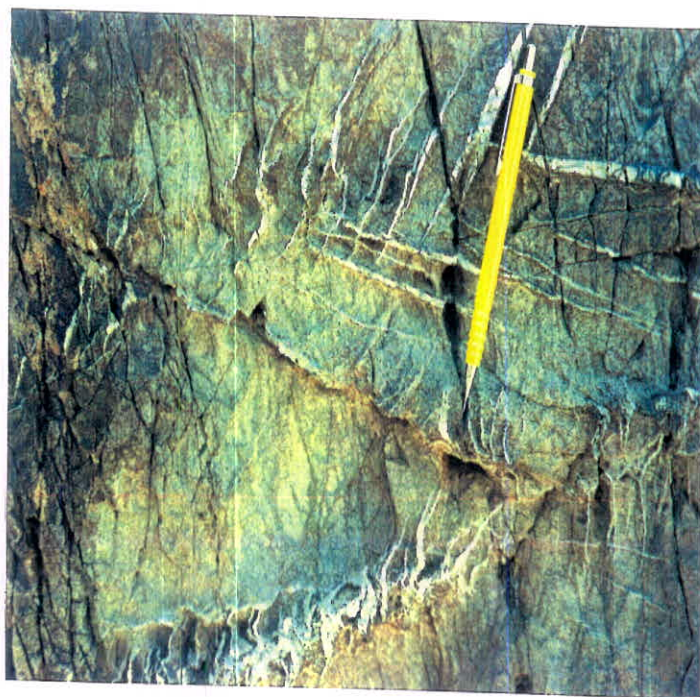
عکس شماره (۱۷-۳) - تصویر درزه های سیستماتیک پر شده توسط سیلیس. این نوع درزه ها با سنگهای سخت  
از جمله ماسه سنگها به وفور دیده می شود.



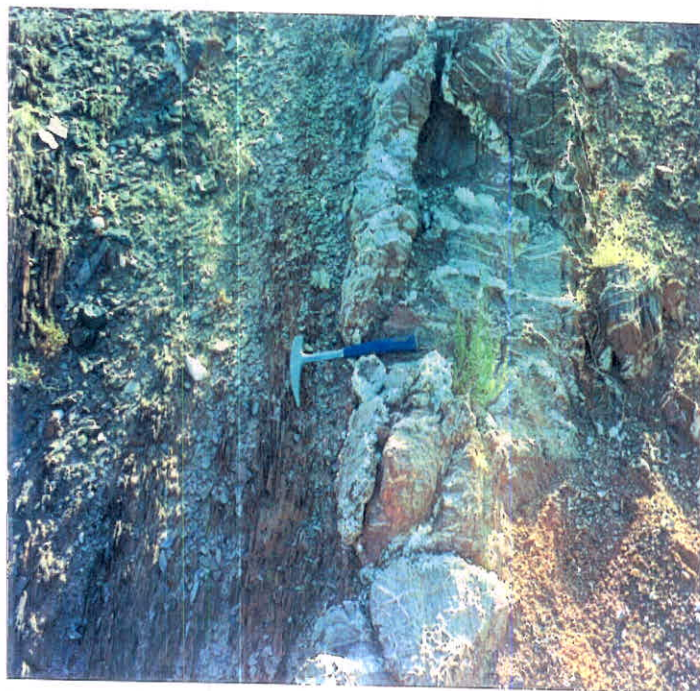
عکس شماره (۱۸-۳) - تصویری از لایه ماسه سنگ دگرگون همراه با تعداد زیادی از درزه های ایجاد شده و پر شده توسط سیلیس توجه شود که الگوی درزه ها در بخش اسلیتی کاملاً متفاوت می باشد.



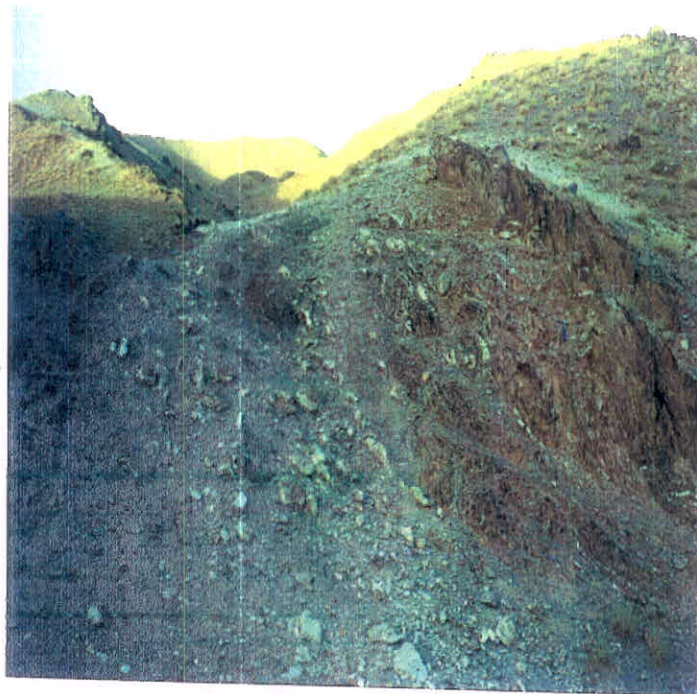
عکس شماره (۱۹-۳) - تصویری از تناب اسلیت و ماسه سنگ دگرگون شده. به حضور قابل توجه درزه های پرشده توسط سیلیس، دقت شود. این درزه ها غالباً عمود بر امتداد لایه بندي اولیه ماسه سنگها می باشد.



عکس شماره (۲۰-۳) - تصویری از درزه های ان اشلان سیگموئیدال پر شده توسط سیلیس ایجاد شده در اثر عملکرد تنش های راستگرد در منطقه



عکس شماره (۲۱-۳) - تناوبی از اسلیت و ماسه سنگ دگرگون شده. به فولیاسیون بارز اسلیتها که تقریباً به موازات امتداد لایه بندی می باشد، دقت شود. در این تصویر ترکیبی از درزه های ساده و ان اشلان پر شده از سیلیس مشاهده می شود.



عکس شماره (۲۲-۳) - تناوبی از اسلیتها و ماسه سنگ دگرگون شده. واریزه های کوارتزی حاصل از تخریب رگه های کوارتزی در امتداد لایه ماسه سنگی دگرگون شده متمرکز گردیده اند.



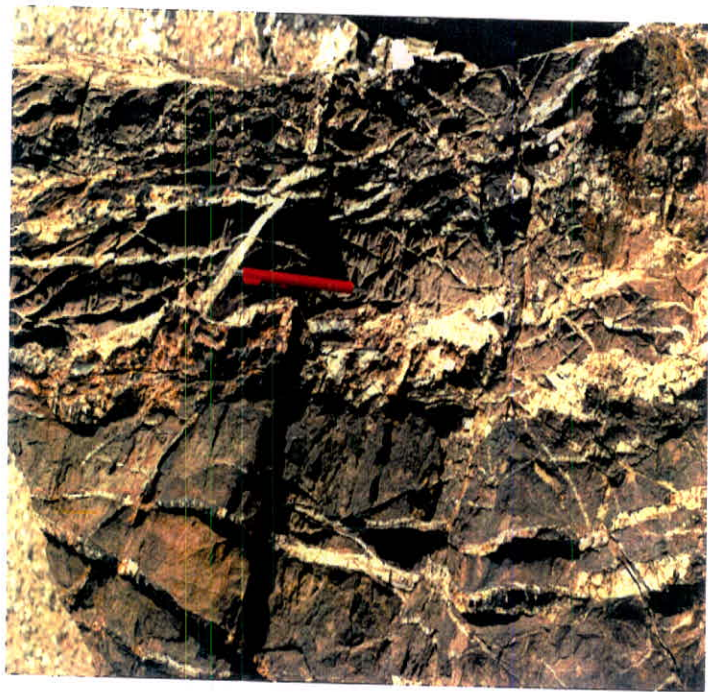
عکس شماره (۲۳-۳) - تصویری از درزه های متقطع پرشده توسط سیلیس با منظره زیبا این درزه ها در ماسه سنگهای قرمز بوجود آمده اند (نزدیک گمانه ۶). BH-6



عکس شماره (۲۴-۳) - تصویری از درزه‌های سیلیسی قائم و موازات یکدیگر این درزه‌ها مبین آنند که در این قسمت بیشترین تنفس کششی دارای حالت تقریباً افقی و موازی سطح بوده است (شرق گمانه ۲). (BH-2).



عکس شماره (۲۵-۳) - تصویری از رگه‌های کوارتزی با معروف دو نسل رگه نسل اول حالت قائم و ضخیم تر هستند، نسل دوم کم ضخامت تر و با زاویه ۴۵ درجه نسبت به نسل اول قرار می‌گیرند. رگه‌های نسل دوم غالباً حالت پله‌ای و ان اشلان نشان می‌دهند (جنوب شرق گمانه ۶). (BH-6).



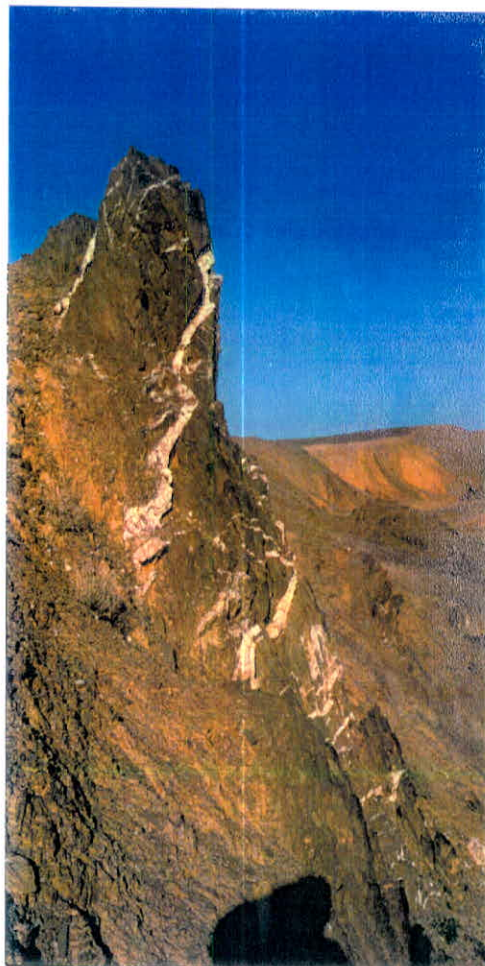
عکس شماره (۲۶-۳) - نمای نزدیک رگه های سیلیسی با گسترشی در جهات مختلف رگه ها شبکه در همی را بوجود آورده اند و به سنگ استحکام خاصی بخشیده اند (جنوب شرق گمانه ۶). (BH-6).



عکس شماره (۲۷-۳) - تصویری از  
یک رگه سیلیسی و قطع آن توسط  
سنگهای اسلیتی و ماسه سنگی را  
توجه شود رگه در دو نقطه تغییر  
مسیر داده و جابجا شده است. در  
ضمن ضخامت رگه در امتداد گسترش  
آن بسیار متغیر است.



عکس شماره (۲۸-۳) - تصویری از یک توده سیلیسی و فرارگیری آن تقریباً به موازات فولیاسیون سنگهای اسلیتی که تقریباً ضخامت این توده حدود ۵۰ سانتی متر و شیب تقریباً قائم دارند، قسمت پایینی رگه به سمت شرق اینجا پیدا کرده است (شمال شرق-6).(BH-6)



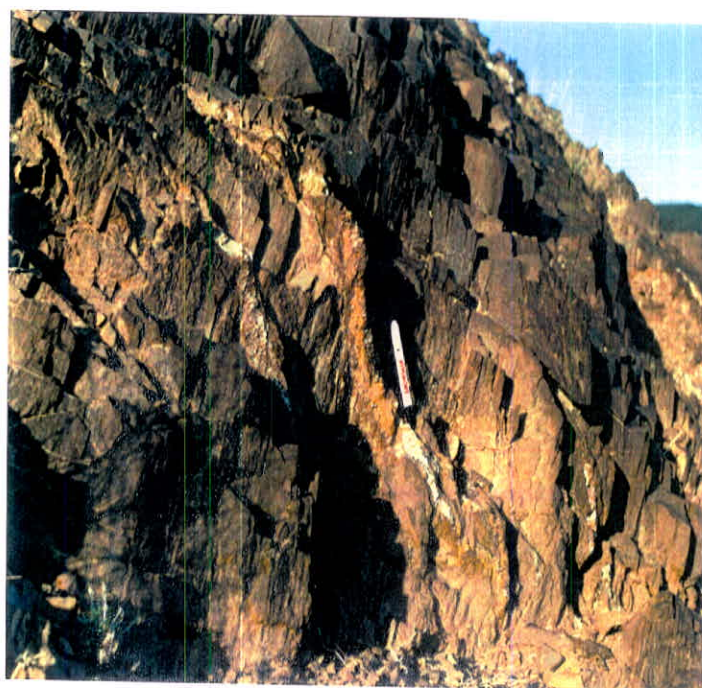
عکس شماره (۲۹-۳) - تصویری از رگه های کوارتزی، تقریباً چیز خورده همانطور که در این تصویر دیده می شود، رگه های سیلیسی نسل اول ضخیم تر و رگه های سیلیسی نسل دوم کم ضخامت تر هستند. سنگ میزبان این سنگها ماسه سنگ تیره رنگی می باشد (شمال شرق گمانه 3).



عکس شماره (۳۰-۳) - تصویر یک رگه سیلیسی چین خورده با سنگ میزبان ماسه سنگ کمی متورق شده. چین خورده بودن این رگه مبین آنست که در هنگام نهشته شدن سیلیس تنفس های اعمال شده بر منطقه فعال بوده اند و باعث گردیده اند تارگه سیلیس حالت چین خورده بخود بگیرد (شمال شرق ۲-BH).



عکس شماره (۳۱-۳) - تصویری از رگه های سیلیسی ان اشلان. این تصویر همچنین معرف دو نسل رگه کوارتزی می باشدند که رگه کوارتزی نسل اول ضخیم تر (شمال شرق گمانه ۳-BH-3).



عکس شماره (۳۲-۳) - تصویری از رگه های کوارتز و کلسیت، که معرف تبلور همزمان کوارتز و کلسیت یا تبلور مرحله - مرحله ای کوارتز و کلسیت می باشد. در ضمن رگه هایی نیز یافت می شوند که صرفاً کلسیتی یا کوارتزی هستند ( شمال شرق 2-BH).

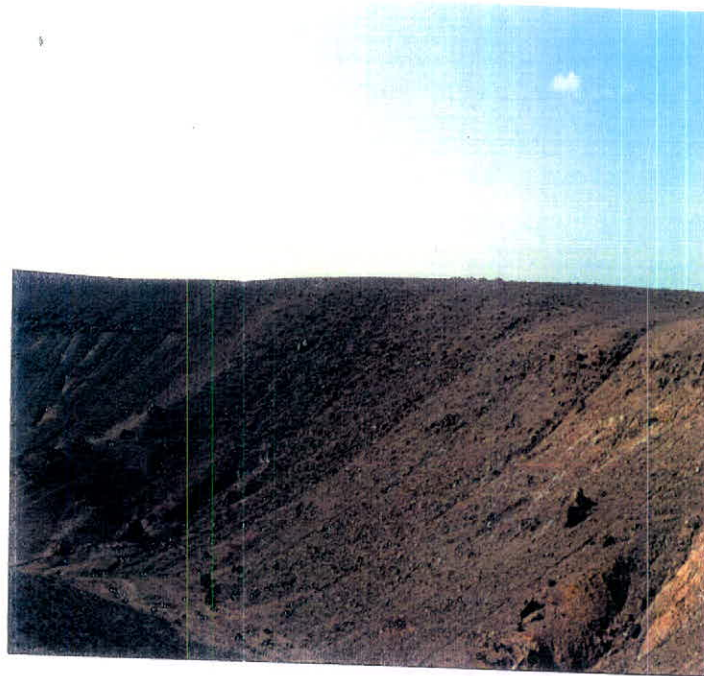


### ۲-۱-۳- کنگلومرا و رسوبات مارني گچ دار نئوژن

کنگلومرای نئوژن یک کنگلومرای پلی ژنتیک است که قطعات سازنده آن از رگه های کوارتزی تخریب شده، ماسه سنگ ها و اسلیت های قدیمی تر، قطعات آهکی خاکستری تیره (که گاهی حاوی مقادیر قابل توجهی آثار فسیلی هستند)، قطعات سنگهای آذرین احتمالاً داسیتی اپیدوتی شده، قطعاتی از سنگهای حاوی مقادیر قابل توجهی اکسیدهای آهن و منگنز و... تشکیل شده اند. اندازه قطعات مزبور بسیار متغیر است و از چند میلیمتر تا نزدیک به یک متر متغیر است. این قطعات همراه با دانه های ریزتر عمدتاً کوارتزی و مقادیری اکسیدهای آهن نوع هماتیتی، ماسه سنگها و کنگلومراهای قرمز رنگی را به وجود آورده اند. این مجموعه بصورت دگرشیب بر روی اسلیتها و ماسه سنگهای دگرگون شده قرار گرفته است و در ضمن خود این مجموعه در بخش بالای خود به وسیله رسوبات مارني گچ نئوژن دنبال می شود. مقدار گچ این رسوبات گاه به حدی می رسد که می توان از آن بهره برداری کرد و در حال حاضر نیز در شمال منطقه از همین واحد، گچ استخراج می شود. گچ به صورت ژیپس رشته ای، سوزنی و صفحه ای می باشد. در نهایت در بعضی نقاط پست و کم ارتفاع، رسوبات آبرفتی رسی - سیلتی جوان، رسوبات نئوژن را می پوشانند. در عکسهای شماره ۳۶-۳ الی ۳۳-۳ تصاویر چندی از این نوع رسوبات دیده می شوند.

### ۳-۱-۳- رسوبات آبرفتی جوان

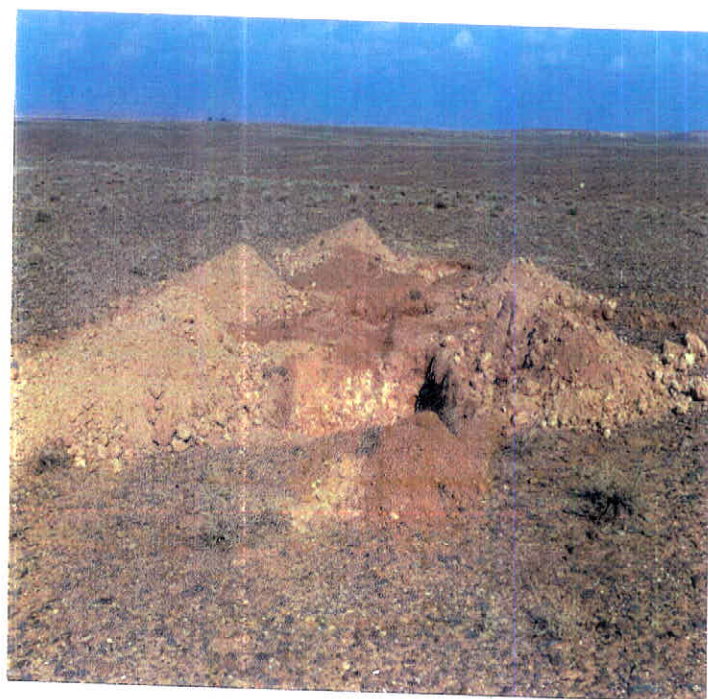
این رسوبات که عمدتاً در منطقه پست و کم ارتفاع یا مسیر آبراهه ها یافت می شوند دارای ترکیب متنوعی هستند و بیشتر از لیتولوژی سنگهای مجاور و اطراف خود تعیت می کنند. در مجموع بخش عمده این رسوبات، آبرفتی های رسی - سیلتی می باشند و بقیه نیز مواد تخریبی سنگهای کنگلومرایی، مارني نئوژن و اسلیت ها و ماسه سنگهای دگرگون شده می باشند رسوبات دشت هایی را تشکیل می دهند که به منظور کشاورزی مورد استفاده قرار می گیرند. در عکسهای شماره ۳۷-۳ و ۳۸-۳ تصاویری از این رسوبات نشان داده شده اند.



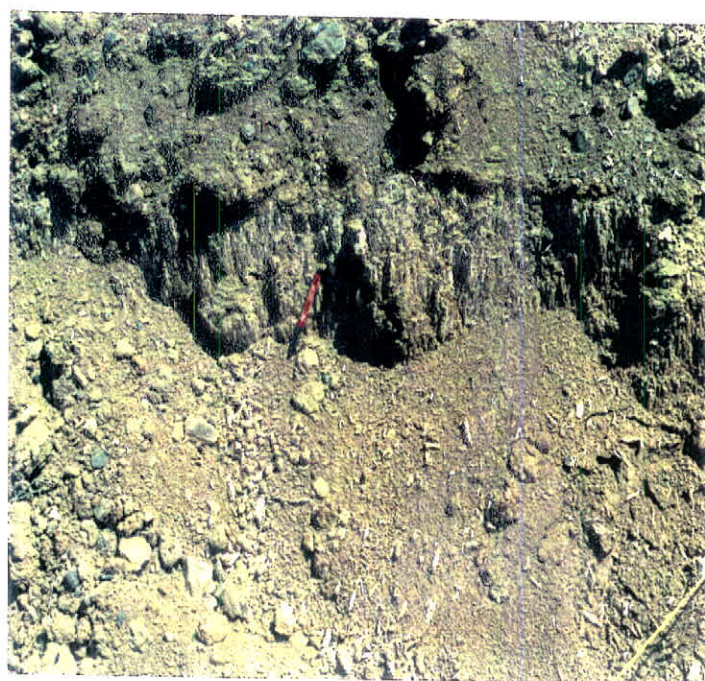
عکس شماره (۳۳-۳) - شمای نزدیکی از دگرشیبی بین رسوبات کنگلومراتی، مارنهای گچ دار نفوذن، اسلیت‌ها و ماسه سنگهای دگرگون شده نیور. شیب لایه‌های مریبوط به نفوذن تقریباً افقی و شیب ماسه سنگهای دگرگون شده اسلیتها بین ۶۰ تا ۹۰ درجه متغیر است.



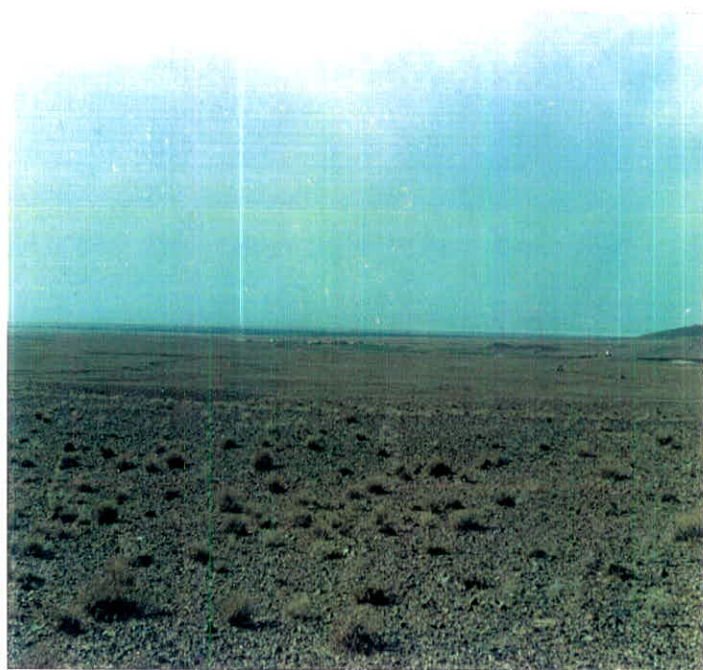
عکس شماره (۳۴-۳) - تصویری از دگرشیبی بین کنگلومراتی نفوذن، اسلیت و ماسه سنگهای دگرگون شده نیور(سیلورین).



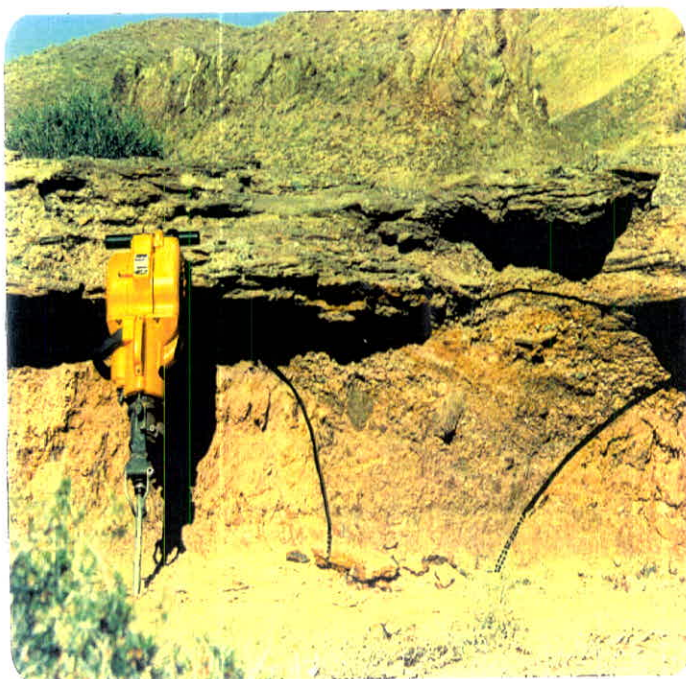
عکس شماره (۳۵-۳) - شمای کلی رخنمون رسوبات مارنی گچ دار نفوذن. در این محل که جهت استقرار دستگاه حفاری آماده شده است، ملاحظه می شود که بخش اعظم مواد سازنده این واحد کانی ژپس می باشد. این واحد در این مکان از مقدار گچ بالایی برخوردار است (محل حفر چاه شماره ۶).



عکس شماره (۳۶-۳) - تصویری از رسوبات مارنی گچ دار رنگ تقریباً سفید این واحد (در زیرپوشش سطحی خاک) به علت وجود ژپس می باشد.



عکس شماره (۳۷-۳) - شمای کلی دشت آبرفتی حاشیه روستای شوراب



عکس شماره (۳۸-۳) - تصویری از یک کانال قدیمی پر شده از رسوبات غنی از منگنز این واحد توسط رسوبات کنگلومراژی - گراولی جدید به صورت تقریباً دگرشیب پوشیده شده است.



جدول شماره (۱-۳) - فهرست نمونه ها جهت تهیه و مطالعه تیغه نازک و مقاطع صیقلی

ردیف	شماره نمونه	تیغه نازک	قطعه صیقلی	توصیف سنگ شناسی
۱	BH-1/2	x		ماسه سنگ با رگه های اکسید آهن
۲	BH-1/3	x		ماسه سنگ سبز رنگ
۳	BH-1/4	x		رگه کوارتزی همراه با اکسید منگنز
۴	BH-1/5	x		اسلیت ماسه ای
۵	BH-1/6	x		(۱۶/۹۰-۱۵/۲۰) ماسه سنگ خاکستری رنگ
۶	BH-1/8	x		(۳۰/۲۱-۱۹/۹۰) ماسه سنگ دگرگون شده همراه با رگه کوارتزی
۷	BH-2/1	x		رگه های کوارتزی + ماسه سنگ قرمز
۸	BH-2/3	x		اسلیت خاکستری
۹	BH-3/2	x		ماسه سنگ دگرگون شده سیاه رنگ همراه با رگه کوارتزی
۱۰	BH-3/3	x		رگه کلسیتی همراه با رگه های اکسید آهن
۱۱	BH-3/5	x		دگرگون شده همراه با رگه های اکسید آهن
۱۲	BH-3/6	x	x	اسلیت سیاه رنگ پیریت دار
۱۳	BH-3/7	x	x	اسلیت سیاه رنگ پیریت دار
۱۴	BH-3/8	x		(۳) اسلیت ماسه ای سیاه رنگ
۱۵	BH-3/9	x		(۱۰) اسلیت ماسه ای سیاه رنگ
۱۶	BH-4/1	x		ماسه سنگ قرمز رنگ دگرگون شده کمی متورق
۱۷	BH-4/3	x		ماسه سنگ قرمز دگرگون شده همراه با رگه های کوارتزی و آشتگی به اکسید آهن
۱۸	BH-4/4	x		ماسه سنگ قرمز رنگ دگرگون شده با تنایی از اکسید آهن همراه با رگه های کوارتزی
۱۹	BH-4/5	x		کلسیت همراه با رگه های کوارتزی

۳۲-۳	طرح اکتشاف نیمه تفصیلی حبیه شوراب کاشر فصل سوم - زمین شناسی منطقه مورد مطالعه	
------	--	---

ادامه جدول (۱-۳)

ردیف	شماره نمونه	تیغه نازک	قطع صیقلی	توصیف سنگ شناسی
۲۰	BH-4/6	*		اسلیت کرم رنگ متمایل به ارغوانی
۲۱	BH-6/2	*	*	رگه کوارتزی همراه با اکسیدهای آهن و منگنز
۲۲	BH-6/3	*		اسلیت سیاهرنگ
۲۳	BH-6/5	*		ماسه سنگ دگرگون شده همراه با رگه های اکسید آهن
۲۴	BH-6/7	*		آهک فسیل دار متعلق به واحد کنگلومرایی نژوژن
۲۵	BH-6/8	*		قطعه سنگ اپیدوتی شده متعلق به واحد کنگلومرایی نژوژن
۲۶	BH-6/10	*		اسلیت پیریت دار
۲۷	BH-6/11	*	*	اسلیت ماسه ای سیاهرنگ
۲۸	BH-6/12	*	*	اسلیت سیاهرنگ پیریت دار



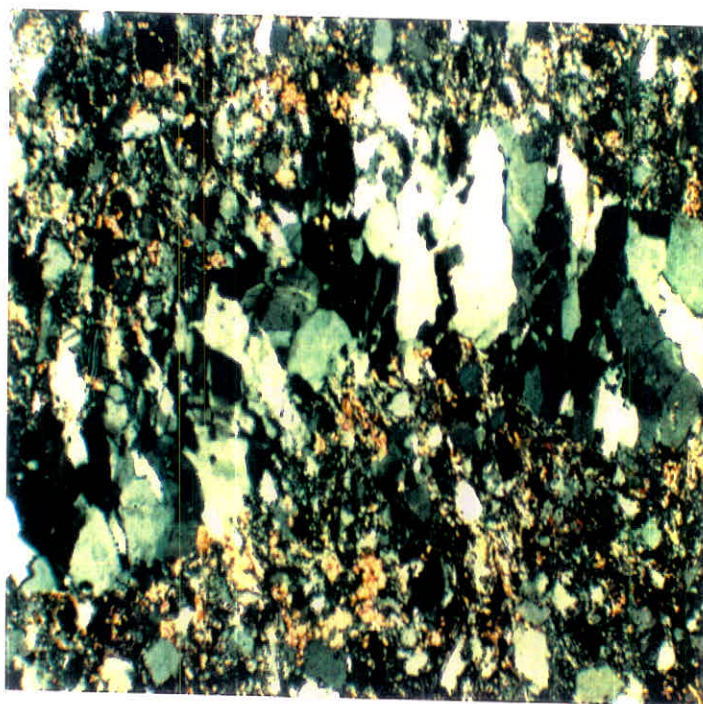
### ۳-۲-۳- زمین شناسی منطقه (با توجه به نتایج مطالعه تیغه های نازک)

#### ۱-۲-۳- رگه های کوارتزی

همانگونه که در مقیاس صحرایی، این رگه ها سنگ های ماسه سنگی دگرگون شده و اسلیت ها را قطع می کند، چین خوردگی و گسل خوردگی نشان می دهند، در مقیاس میکروسکوپی نیز این شواهد مشاهده می شوند (عکسهاي شماره ۳۹-۳ الی ۴۲-۳). این رگه ها عمدتاً از کوارتز خالص تشکیل شده اند. در رگه های کوچک، رشد بلورها عمود بر دیواره می باشد، ولی در رگه های بزرگتر، دانه ها در جهات مختلف در هم فرورفته اند و به شکل توده ای ظاهر می شوند. کلسیت که در بعضی موارد همراه این رگه ها دیده می شود، تبلور همزمان با کلسیت و تبلور متأخر نسبت به آن را نشان می دهد. در حالت اول بلورها به صورت بینابین ظاهر می شوند و در حالت دوم، کلسیت فضای شکستگیهای ایجاد شده در رگه های کوارتزی را پر می کند (عکسهاي شماره ۴۳-۳ و ۴۴-۳). همانگونه که در صحراء مشاهده می شود، بعضی از رگه ها صرفاً از کلسیت تشکیل شده اند. این نوع رگه ها به نسبت نادر هستند. رگه های کوارتزی در بعضی موارد برشی شده اند و فضای ایجاد شده بین قطعات سازنده آنها را اکسیدهای و هیدروکسیدهای آهن و اکسیدهای منگنز پر نموده اند. در رگه ها اکسید آهن حالت رشد قشری، گل کلمی و نواری به وضوح دیده می شود. گاهی اوقات اکسیدهای آهن در حاشیه رگه های کوارتزی تمرکز پیدا کرده اند (عکسهاي شماره ۴۵-۳ الی ۵۱-۳). این شواهد مؤید اعمال تنش بر این رگه ها، شکستگی آنها و سپس مهاجرت محلولهای آهن و منگنز دار به درون آنها می باشد که در پایان به نهشته شدن اکسیدهای آهن و منگنز در این رگه ها منجر گردیده است. با توجه به مطالعه مقاطع نازک سنگهای میزبان، این رگه های کوارتزی مشخص گردید، که این سنگها حاوی مقادیر قابل ملاحظه ای اکسیدهای آهن و منگنز می باشد که به صورت سیمان بین دانه ای در این سنگ ها وجود دارد. گرم شدن این سنگها در طی دگرگونی ناحیه ای و انجام واکنشهای آبزدایی، به تولید سیالاتی منجر شده است که حمل و نقل آنها در سنگ می تواند باعث گردد اکسیدهای آهن و



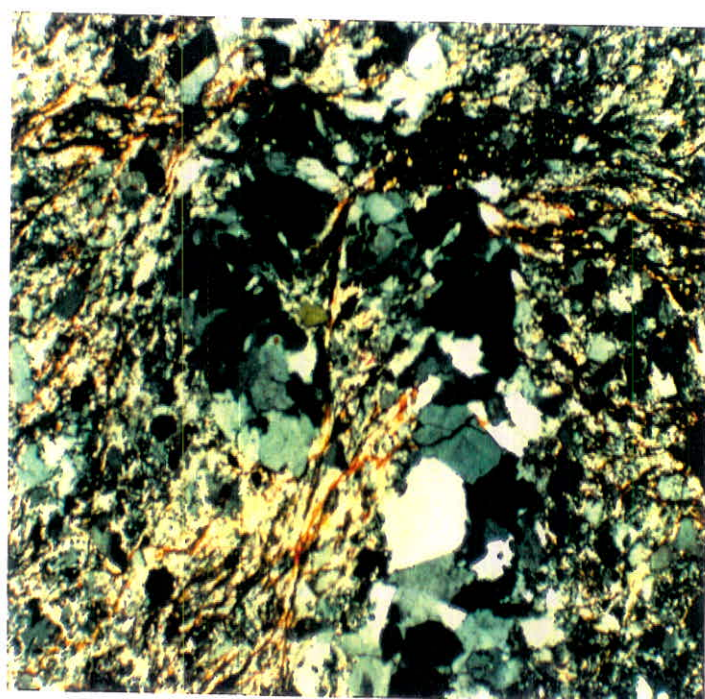
منگنز در سیالات حل گرددند و سپس با آن حمل شوند و در فضاهای باز موجود در سنگ مجدداً به شکل اکسیدهای آهن و منگنز نهشته شوند. این فضاهای عبارتند از شکستگیهای برشی، سطوح فولیاسیون، سطح لایه بندی، سطوح گسلی و ...



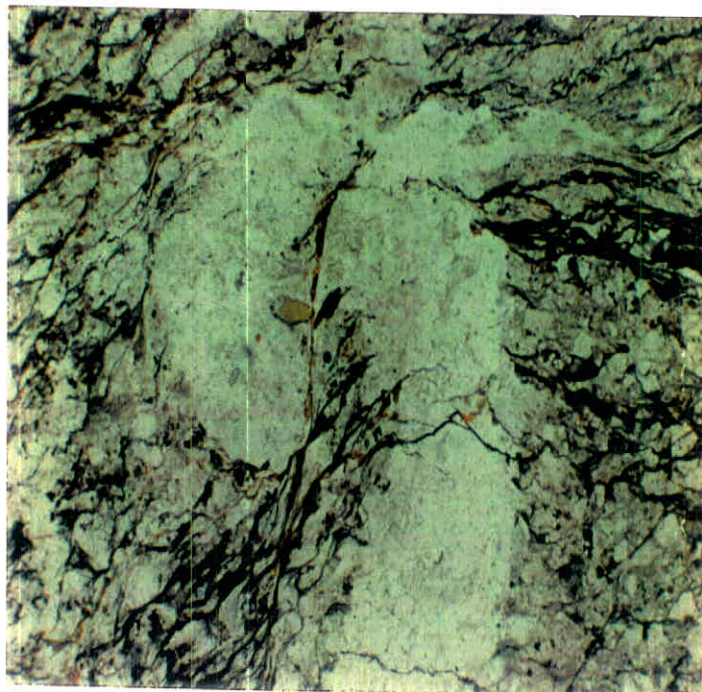
عکس شماره (۳۹-۳) - تصویر میکروسکوپی ماسه سنگ دگرگون شده مسکوبیت دار قطع شده توسط یک رگه سیلیسی همانطور که در تصویر ملاحظه می کنید این رگه سیلیسی چین خورده می باشد. این تصویر، چین خورده‌گی رگه‌ها در مقیاس میکروسکوپی را نشان می دهد (در نور پلاریزه، بزرگنمایی ۲۵).



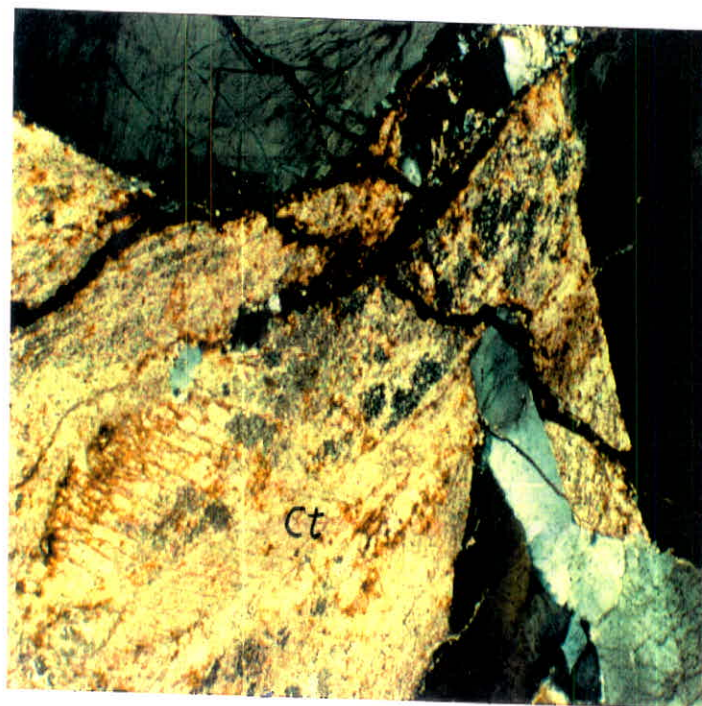
عکس شماره (۴۰-۳) - تصویر میکروسکوپی ماسه سنگ دگرگون شده مسکوبیت دار که توسط رگه کوارتزی قطع شده است. رگه‌های کوارتزی دارای دانه‌های کوارتز دانه درشت تری هستند. در این تصویر گسیختگی و جابجایی رگه کوارتزی در امتداد مسیر نشان داده شده با فلش مشاهده می شود و جابجایی چیزگردی را نشان می دهد (در نور پلاریزه، بزرگنمایی ۲۵).



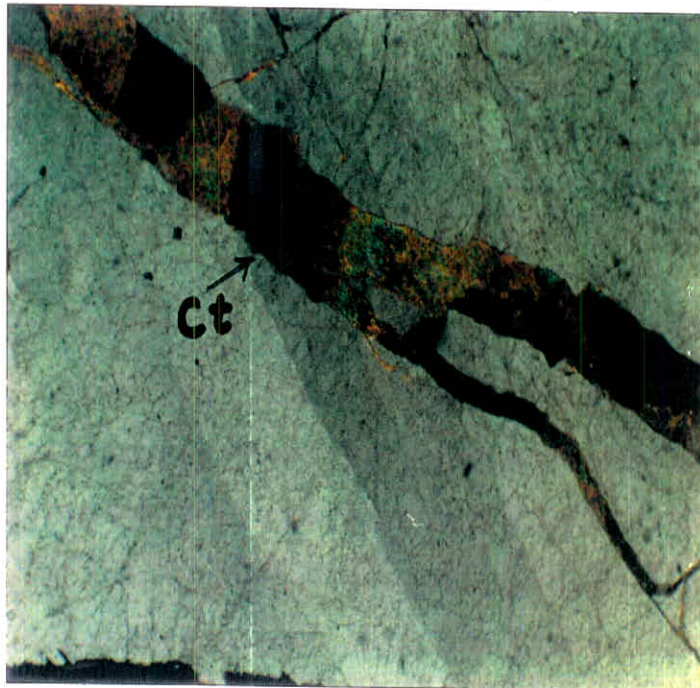
عکس (۴۱-۳) - تصویر میکروسکوپی ماسه سنگ دگرگون شده مسکویت دار. حضور مسکویت به این سنگ فولیاژیون بازی داده است. در این تصویر یک رگه کوارتزی نیز دیده می شود که پس از چین خوردن شکسته شده و به چند قسمت تبدیل گردیده است. فضای بین کائناها را نیز اکسید آهن پر کرده است (در نور پلاریزه، بزرگنمایی ۲۵).



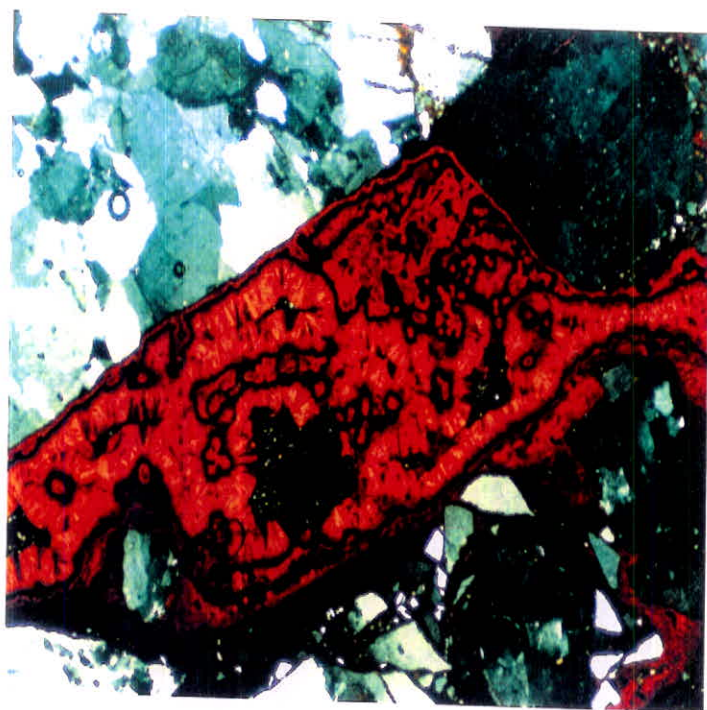
عکس شماره (۴۲-۳) - تصویر میکروسکوپی یک ماسه سنگ دگرگون شده مسکویت دار در نور عادی، حضور اکسیدهای آهن بین دانه ای، فولیاژیون سنگ و چگونگی چین خورده‌گی و شکستگی آن در این تصویر بوضوح دیده می شود (در نور عادی، بزرگنمایی ۲۵).



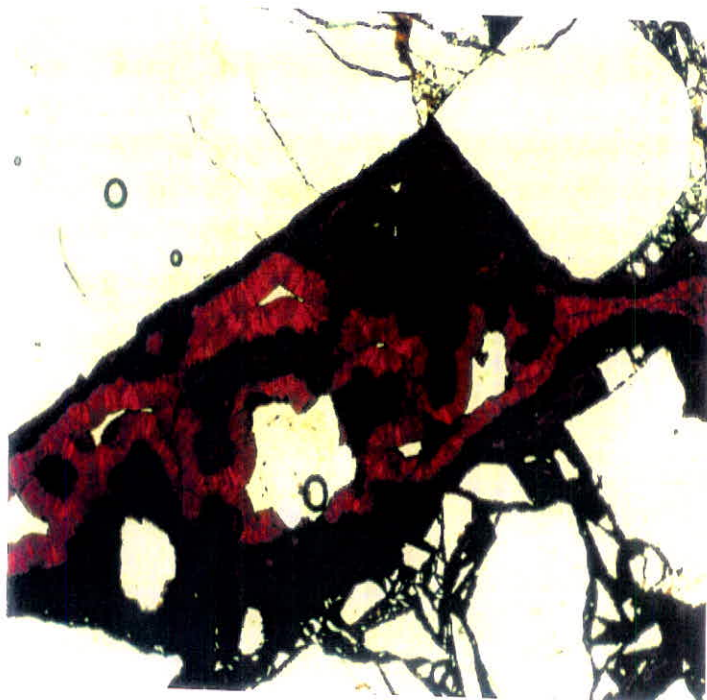
عکس (۴۳-۳) - تصویر میکروسکوپی یک رگه کوارتزی که شکستگیهای آن توسط کلسیت متبلور پر شده است. در ضمن شکستگیهایی که در خود کلسیت و در سایر بلورهای کوارتزی ایجاد شده توسط مقداری اکسیدهای آهن پر شده است(در نور پلاریزه، بزرگنمایی ۲۵)



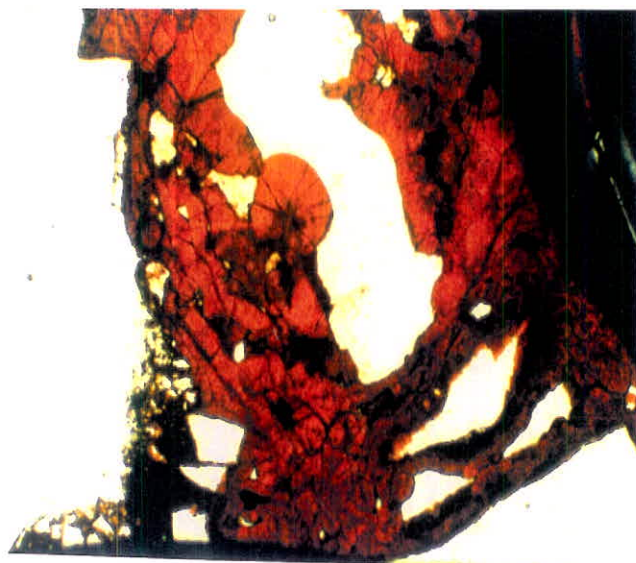
عکس شماره (۴۴-۳) - تصویر میکروسکوپی یک رگه کوارتزی که شکستگیهای آن توسط کلسیت (Ct) پر شده است(در نور پلاریزه، بزرگنمایی ۲۵)



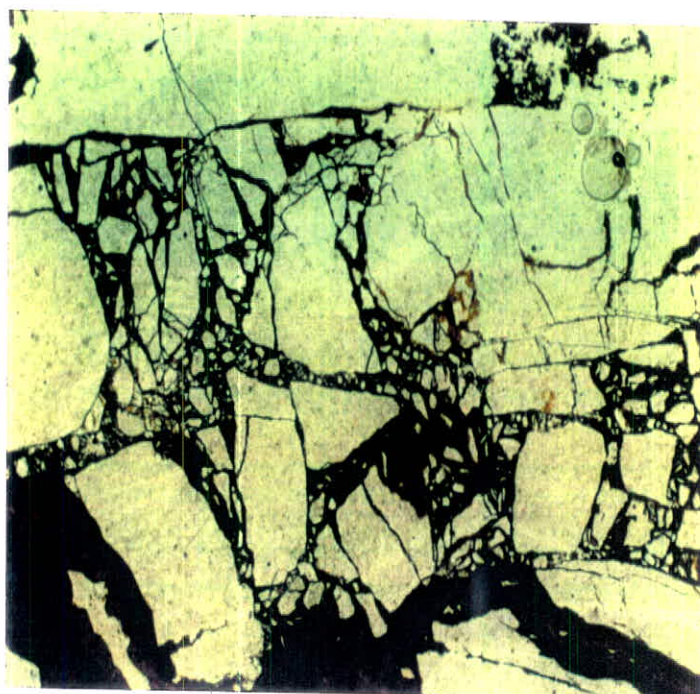
عکس شماره (۴۵-۳) - تصویری از چند شکستگی پر شده توسط اکسیدهای آهن از نوع هماتیت. به بافت گل  
کلمی رشد آهن توجه شود. سنگ میزبان ماسه سنگی است و از کوارتز، پلاژیوکلаз و کمی ارتوز تشکیل شده  
است (در نور پلاریزه، بزرگنمایی ۴۰°).



عکس شماره (۴۶-۳) - تصویری از چند شکستگی پر شده توسط اکسیدهای آهن از نوع هماتیت. به بافت گل  
کلمی رشد آهن و برشی سنگ میزبان توجه شود. (در نور عادی، بزرگنمایی ۴۰°).



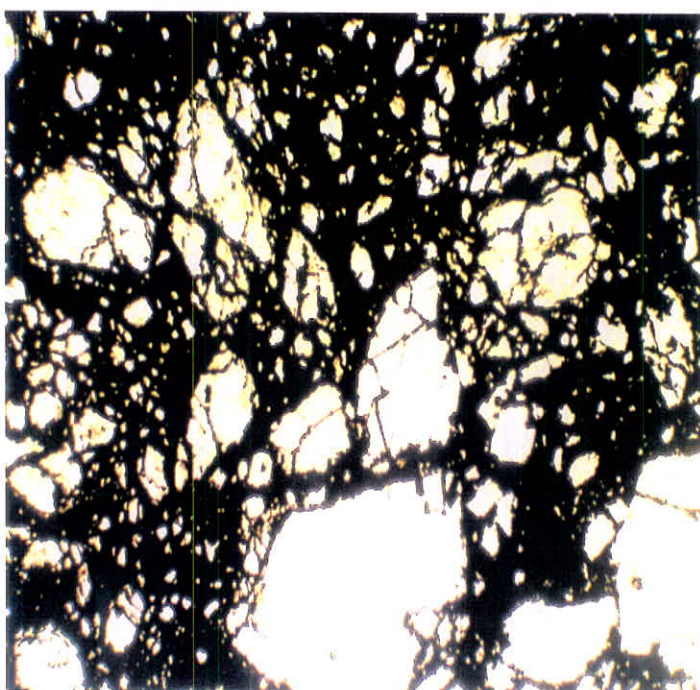
عکس شماره (۴۷-۳) - تصویر میکروسکپی شکستگیهای پر شده توسط اکسیدهای آهن و رگه های کوارتزی به بافت گل کلمی اکسیدهای آهن توجه شود.(در نور عادی، بزرگنمایی ۱۰۰).



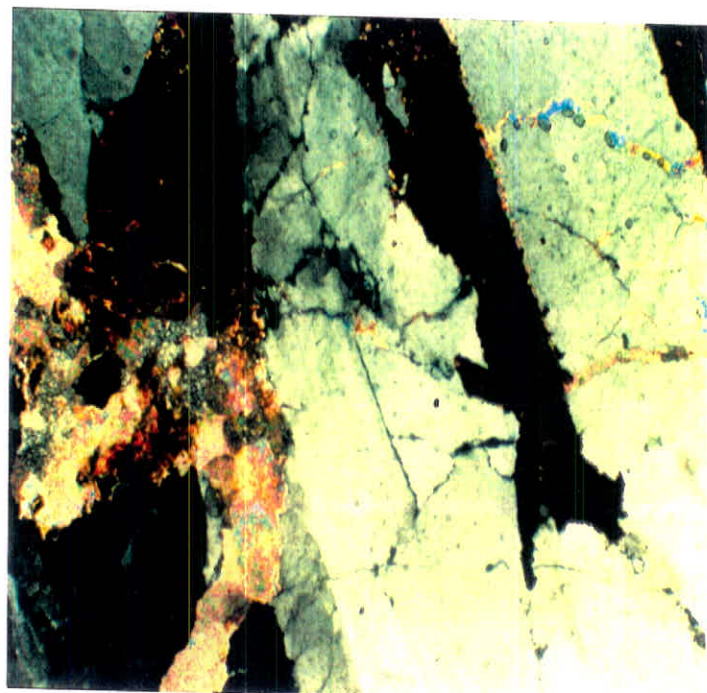
عکس شماره (۴۸-۳) - تصویر میکروسکپی یک رگه کوارتزی برشی شده که فضای بین قطعات آن توسط اکسیدهای آهن پر شده است(در نور عادی، بزرگنمایی ۲۵).



عکس شماره (۴۹-۳) - تصویر میکروسکوپی یک رگه کوارتزی شدیداً برشی شده که فضای بین شکستگیها توسط اکسیدهای آهن و منگنز پر شده است (در نور پلاریزه، بزرگنمایی ۲۵).



عکس شماره (۵۰-۳) - تصویر میکروسکوپی یک رگه کوارتزی شدیداً برشی شده که فضای بین شکستگیها توسط اکسیدهای آهن و منگنز پر شده است. این تصویر که در نور عادی گرفته شده است، پدیده برشی شدن را باوضوح بیشتری نشان می دهد (در نور عادی، بزرگنمایی ۲۵).

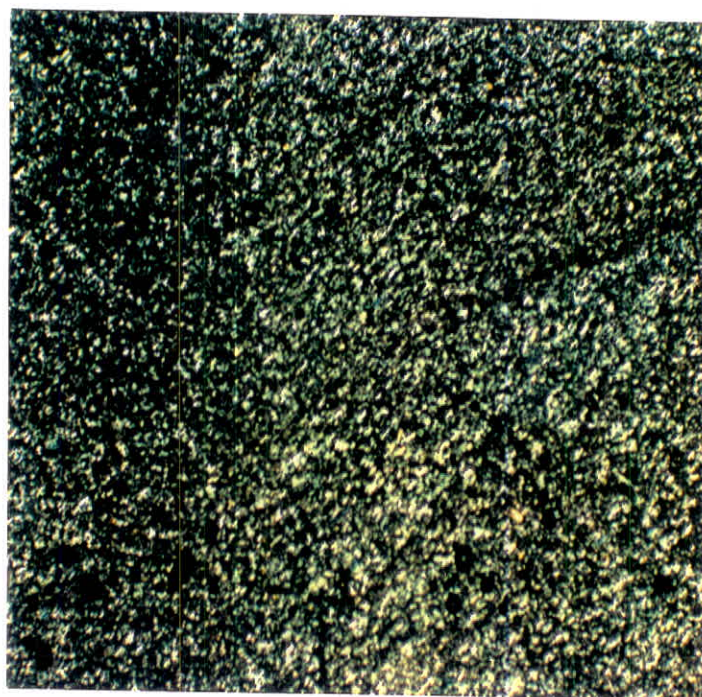


عکس شماره (۳-۵) - تصویر میکروسکوپی یک رگه گوارتنزی که شکستگیهای ایجاد شده در آن توسط اکسیدهای آهن و کلسیت پر شده اند (در نور پلازیزه، بزرگنمایی ۲۵).

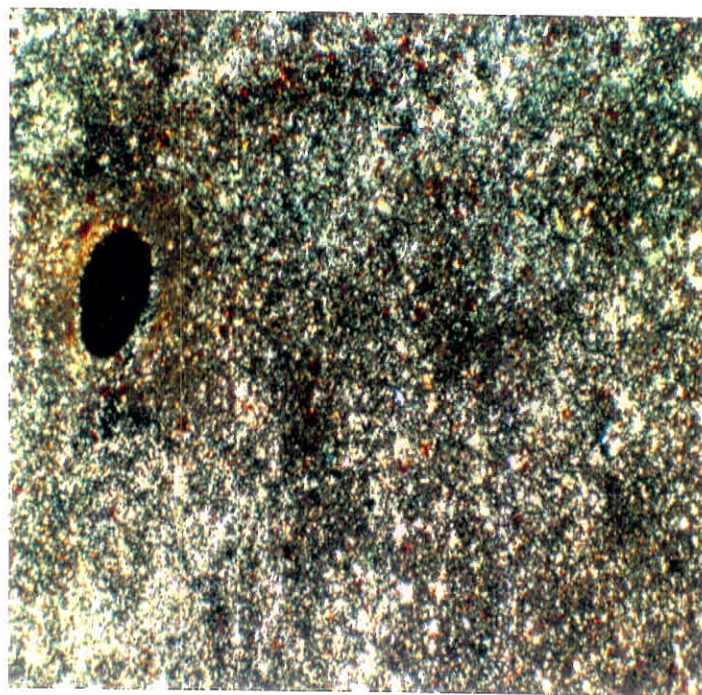
۴۲-۳	طرح اکتشاف نیمه تفصیلی جبوه سوراب کاشمر فصل سوم - زمین شناسی منطقه مورد مطالعه	 راونی کاشمر
------	---	-----------------

### ۲-۲-۳- اسلیت ها و میکاشیست ها

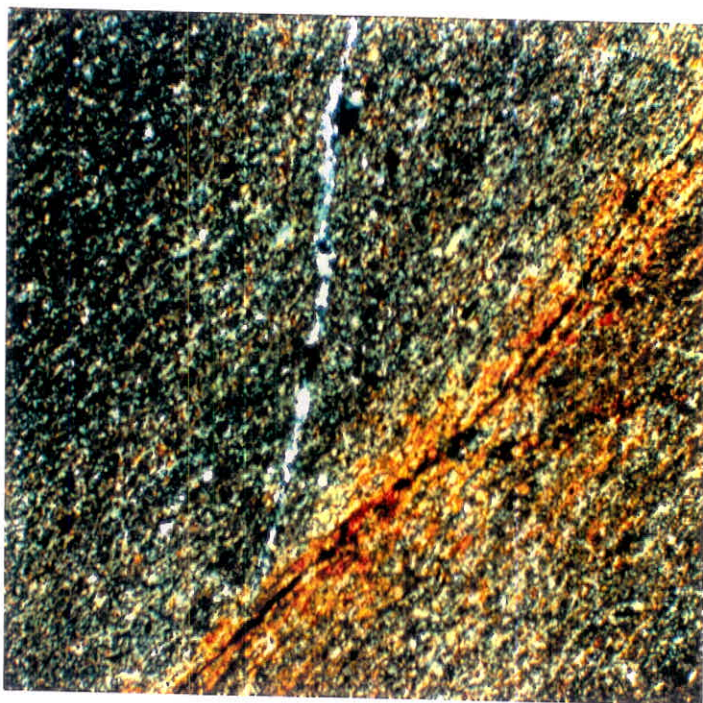
این سنگها در نمونه دستی سیاه رنگ و دارای فولیاسیون ضعیف تا خوب هستند. گاهی اوقات توسط رگه های کوارتزی، کلسیتی، اکسیدهای آهن و منگنز قطع شده اند. در مواردی چنین خوردگی ریز مقیاس(کرینولیشن)، کینک باند، گسل خوردگی و ... نشان می دهند. این سنگها به رنگ کرم، قرمز، سیاه و خاکستری متمایل به سبز ظاهر می شوند. این سنگها در مقیاس میکروسکوپی عموماً از کوارتز، پلازیوکلاز، ارتوز، سریسیت، بندرت بیوتیت و کردیریت تشکیل شده اند. به علت دانه ریز بودن غالباً تشخیص کانیها مشکل می باشد و فقط در بزرگنمایی های بالا قابل تشخیص می باشند عکس شماره (۵۲-۳). این دانه ها، ریز و اکثراً زاویه دار هستند و بین آنها رسیمانی از آهن فرا می گیرد. در زمینه سنگ دانه های ریز کانیهای اوپاک(غالباً آهندار) به وفور یافت می شود. عکس های شماره (۵۳-۳ و ۵۴-۳). در مواردی که درجه دگرگونی پیشرفته تر می باشد، سریسیت زائی تا مرحله تشکیل مسکوویت پیش رفته است، این مسکوویت ها پراکنده هستند و جهت یافتنی خاصی ندارند. به ندرت در بعضی موارد، بیوتیت نیز تشکیل شده است. این کانی در بعضی موارد به کلریت تبدیل شده است. کردیریت به طور نادر در این سنگها مشاهده می شود. این کانی دارای شکل تقریباً مدور است و در دو طرف خود دارای سایه فشار است. این کانی دارای رشد پست تکتونیکی است و به صورت پورفیروبلاست ظاهر شده است. این سنگهای اسلیتی در بعضی موارد چنین خورده اند و کرینولیشن نشان می دهند عکسهای شماره (۵۵-۳ و ۵۶-۳). با توجه به موارد ذکر شده درجه دگرگونی این سنگها غالباً در حد زون کلریت می باشد و بندرت در حد زون بیوتیت ظاهر می گردد. به طور نادر کردیریت در زون کردیریت تشکیل شده است عکسهای شماره (۵۵-۳ و ۵۶-۳) ظهر کردیریت معرف مرز گذر از رخساره شیست سبز به رخساره آمفیبیولیت می باشد. ولی شواهد کانی شناسی عمدتاً مؤید دگرگونی در حد رخساره شیست سبز است. این شواهد حداکثر دما و فشار محیط دگرگونی  $T = 450^{\circ}C$  و  $P = 5 \text{ Kbar}$  را معرفی می نماید.



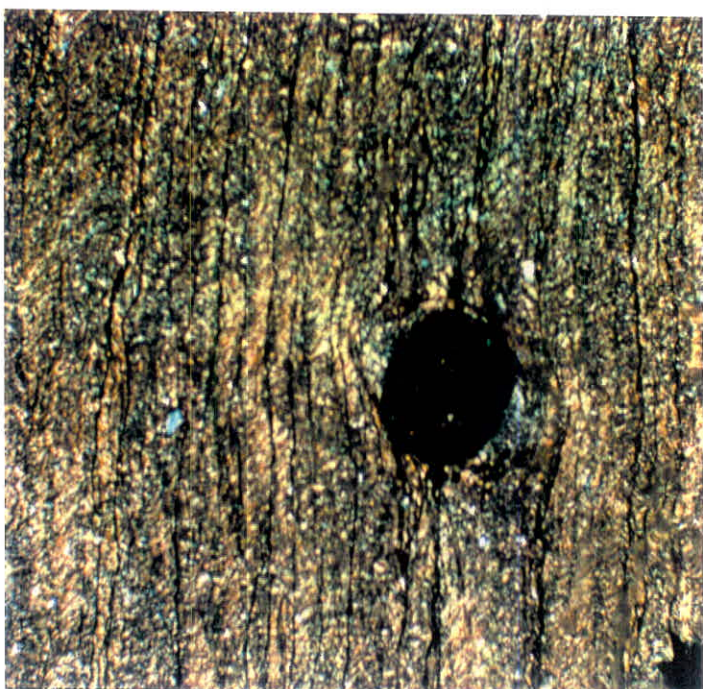
عکس شماره (۵۲-۳) - تصویر میکروسکوپی یک نمونه اسلیت با بلورهای ریز کوارتز، سریسیت و کمی کانیهای اوپاک (اکسیدهای آهن) به بافت ریز این سنگ توجه شود (در نور پلاریزه، بزرگنمایی ۲۵).



عکس شماره (۵۳-۳) - تصویر میکروسکوپی یک نمونه سنگ اسلیتی با پرفیرو بلاست کردیریتی در ضمن مقدار قابل توجهی اکسیدهای آهن بصورت دانه های ریز قهوه ای رنگ در متن سنگ دیده می شوند. این دانه ها منشأ تأمین اکسید های آن، رگه های اکسید آهن بعدی ایجاد شده در منطقه می باشند (در نور پلاریزه، بزرگنمایی ۲۵).



عکس شماره (۴۴-۳) - تصویر میکروسکوپی یک نمونه اسلیت با رگه های کوارتزی بسیار کوچک (در حد میکروسکوپی) این رگه ها در سنگ بصورت ان اشلان یا پله ای مشاهده می شوند. در بخش بالایی تصویر حضور اکسید های آهن محسوس تر است (در نور پلازیزه، بزرگنمایی ۲۵).



عکس شماره (۴۴-۳) - تصویر میکروسکوپی یک میکانیزم با ریزچین ها و رشد یک پرفیروblast کردیریتی پست تکتونیکی در اطراف این پرفیروblast کردیریت حالت سایه فشاری دیده می شود که بصورت دو زبانه سفید رنگ در دو طرف بلور دیده می شود (در نور پلازیزه، بزرگنمایی ۲۵).



عکس شماره (۳-۵۶) - تصویر میکروسکوپی یک میکاشیست (عکس شماره ۳-۵۵) در نور عادی. در این حالت ریز چین های ایجاد شده و حالت سایه فشاری با وضوح بیشتر قابل مشاهده هستند (در نور عادی، بزرگنمایی ۲۵).

### ۳-۲-۳- متاسیلستتون ها و متاندستتون ها (سیلتستونها و ماسه سنگ های دگرگون)

این سنگ ها در صحراء به صورت لایه هایی با استحکام بیشتر، دارای فولیاسیون ضعیف در نمونه دستی، عمدتاً سیاه رنگ و در بعضی موارد قرمز رنگ ظاهر می شوند. این سنگها عمدتاً توسط رگه های کوارتزی (سیلیسی) دارای منشاء دگرگونی قطع شده اند عکس شماره (۵۷-۳).

این سنگها در مقیاس میکروسکوپی عمدتاً از کوارتز، پلازیوکلاز، ارتوز؟، سریسیت، زیرکن، اسفن، کمی اکسید آهن بین دانه ای، بندرت بیوتیت، کلریت و مسکوویت تشکیل شده اند. کوارتز مهمترین کانی تشکیل دهنده این سنگها است که غالباً بی شکل و دارای حاشیه های مضرس می باشد و بصورت ریز و درشت دیده می شود. پلازیوکلاز به صورت دانه های تخریبی عمدتاً بی شکل یافت می شود. ماکل پلی سینتتیک باز نشان می دهد. فراوانی آن بسیار کمتر از کوارتز است و به حدود ۵ تا ۱۰ درصد می رسد. ارتوز به صورت دانه های بی شکل، زاویه دار یافت می گردد و بافت پریتی نشان می دهد عکس شماره (۵۸-۳). مقدار این کانی نیز کم و حدود ۵ تا ۱۰ درصد می باشد. با توجه به موارد ذکر شده، این ماسه سنگها غالباً از نوع ساب آرکوز بوده اند که در اثر تحمل دگرگونی، تبلور مجدد حاصل کرده، دانه درشت شده و بافت گرانوبلاستیک نشان می دهند.

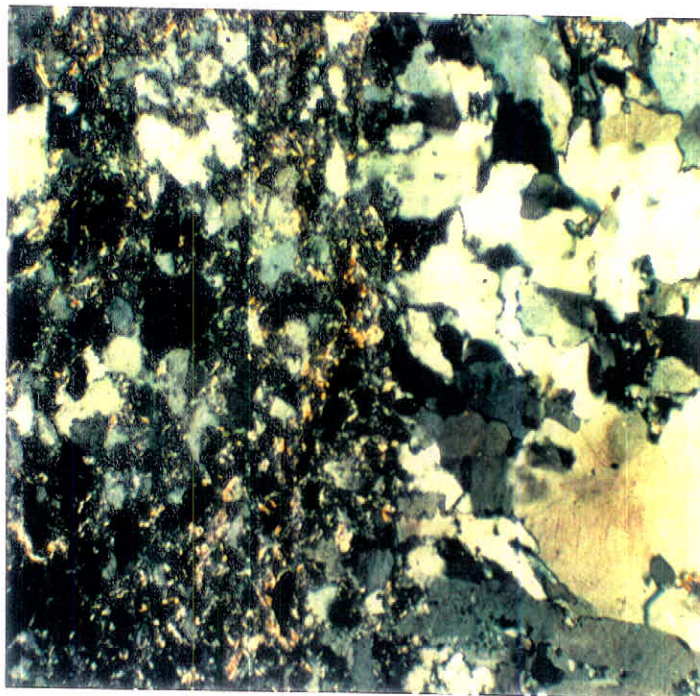
این سنگها در مواردی که دارای سیمان رسی باشند، در آنها سریسیت زایی مشاهده می شود. مقدار سریسیت در این سنگها متغیر است و گاهی فولیاسیون بازی را تعریف می کند عکسهای شماره (۵۹-۳ و ۶۰-۳). در درجات پیشرفته تر دگرگونی، مسکوویت نیز تشکیل شده است. بندرت چند دانه بیوتیت نیز دیده می شود که گاهی اوقات دگرسان شده اند و در بعضی موارد مقدار زیاد آنها، باعث شده است که سنگ در نمونه دستی رنگ قرمز بخود بگیرد عکس های شماره (۶۱-۳) الی (۶۳-۳). این سنگها معرف ته نشینی و رسوب گذاری در محیط اکسیدان می باشند. پدیده جالب توجه ماسه سنگهای این منطقه وجود مقادیر قابل توجهی زیرکن می باشد. این کانی غالباً دانه ریز و بی شکل ولی از فراوانی چشمگیری برخوردار است عکسهای شماره (۶۴-۳ و ۶۵-۳)

نتایج آنالیز شیمی بعضی از این سنگها ( $Zr = 160 - 260 \text{ ppm}$ ) مؤید این امر است. که به ندرت

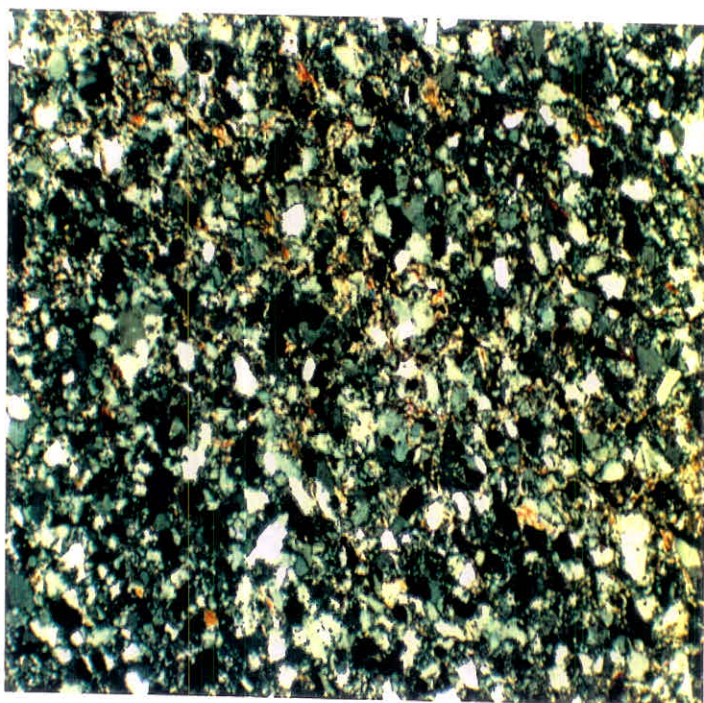
اسفنا به صورت کانی بی‌شکل و ریزدانه یافت می‌شود.

در صورتی که دانه‌های سازنده این سنگها در حد سیلت باشد از نام سیلتستون و در شرایطی که حد ماسه باشد از نام ماسه سنگ استفاده شده که در حالت دگرگون شده آنها را

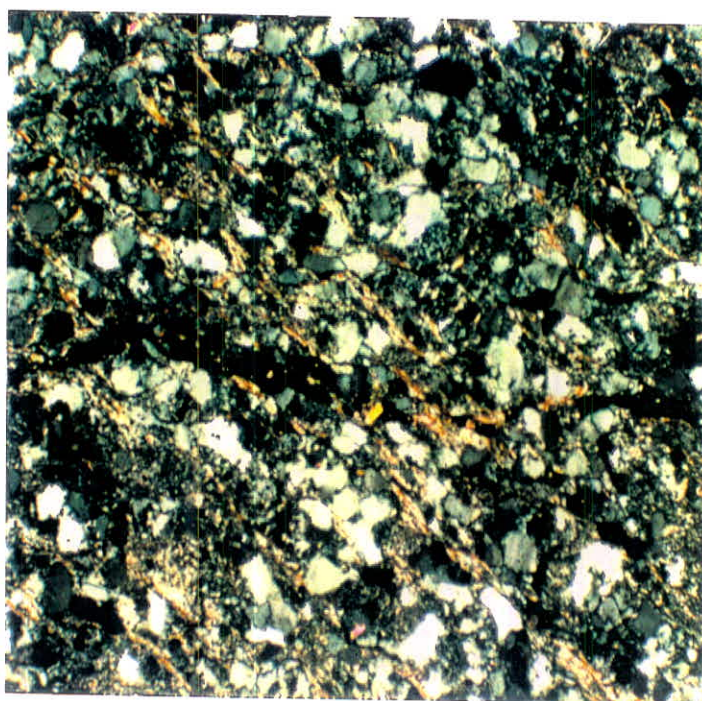
سیلتستون و ماسه سنگ دگرگون شده یا متاسیلتستون و متاسندستون نامگذاری گردیده‌اند. با توجه به نتیجه گیری‌های حاصل از مطالعات تیغه نازک شواهدی از کانه‌زایی جیوه در مقیاس میکروسکوپی و ماکروسکوپی مشاهده نگردیده است.



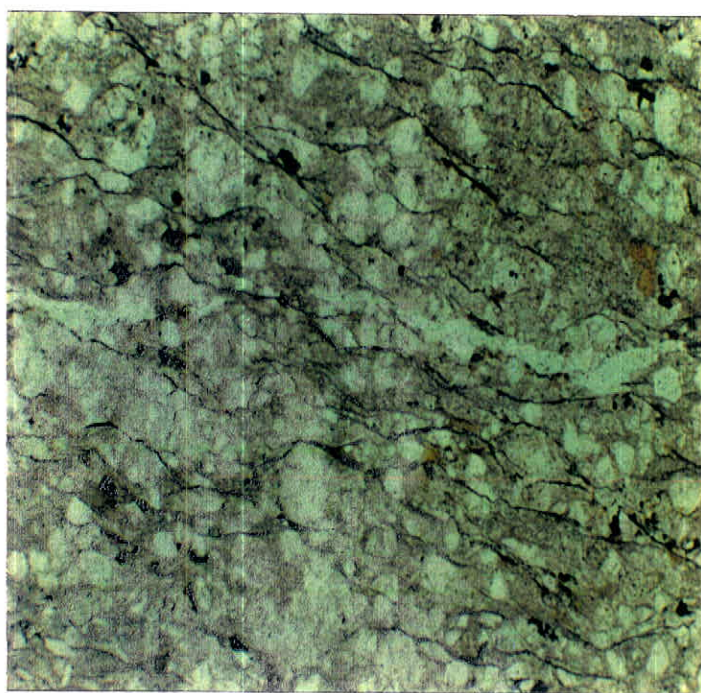
عکس شماره (۵۷-۳) - تصویر میکروسکوپی نشان‌دهنده مرز تماس بین ماسه سنگ دگرگون شده مسکویت دار و رگه سیلیسی (سمت چپ تصویر). به اختلاف بافت این دو قسمت توجه شود. رگه سیلیسی فقط از کوارتز تشکیل و قادر هرگونه ناخالصی و کانی فرعی می‌باشد (در نور پلازیزه، بزرگنمایی ۲۵).



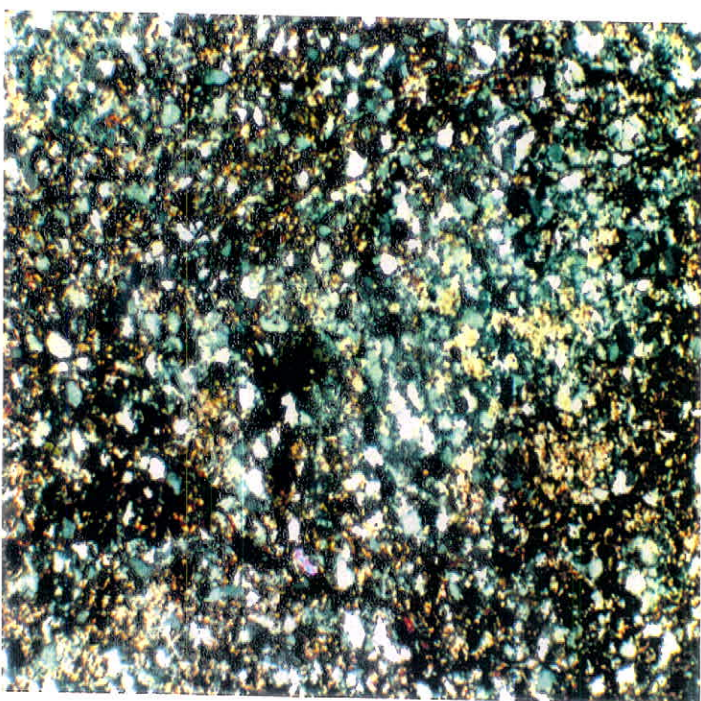
عکس شماره (۵۸-۳) - تصویر میکروسکپی یک ماسه سنگ دگرگون با کانیهای کوارتز، پلاژیولاز، ارتوز، مسکویت و کمی اکسیدهای آهن و کانیهای فرعی زیرکن و اسفن دیده می شود(در نور پلاریزه، بزرگنمایی ۲۵).



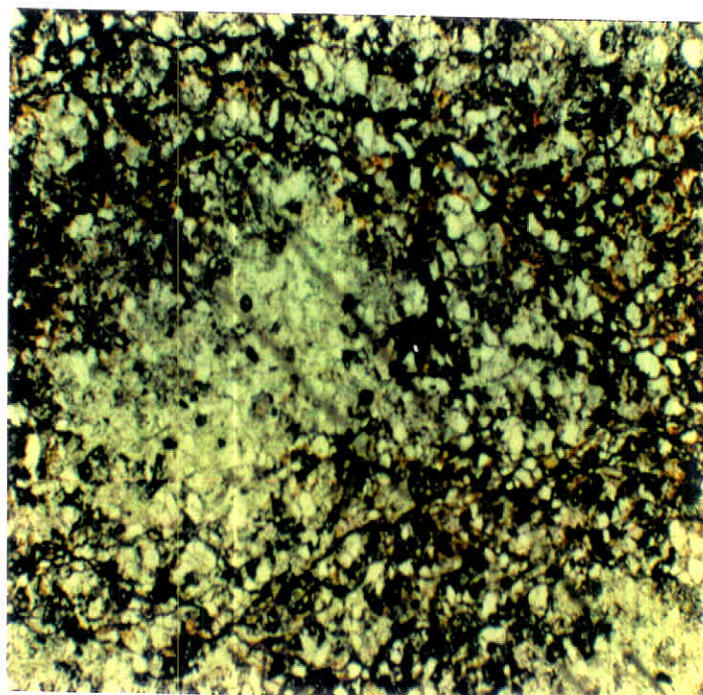
عکس شماره (۵۹-۳) - تصویر میکروسکپی یک ماسه سنگ دگرگون شده با درجه دگرگونی حد مسکویت زایی در این سنگ ورقه های ریز سریسیت آرایش یافته‌گی خاصی را نشان می دهند. این امر پلاریزاسیون سنگ را بوجود آورده است(در نور پلاریزه، بزرگنمایی ۲۵).



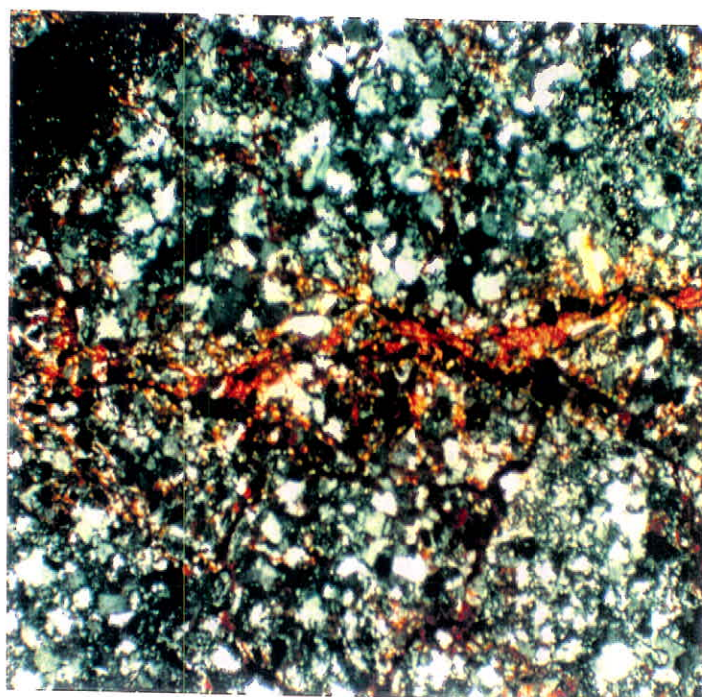
عکس شماره (۴۹-۳) - تصویر میکروسکپی ماسه سنگ دگرگون شده مسکوبت دار در نور عادی (بزرگنمایی ۲۵). در این تصویر فولیاسیون سنگ بوضوح قابل استنباط است.



عکس شماره (۶۱-۳) - تصویر میکروسکپی یک ماسه سنگ دگرگون شده فضای بین بعضی از کانیهای آن توسط اکسیدهای آهن و کمی کلسیت پر شده است. این امر باعث شده تا سنگ به رنگ قرمز در آید (در نور پلاریزه، بزرگنمایی ۲۵).



عکس شماره (۶۲-۳) - تصویر میکروسکوپی ماسه سنگ دگرگون شده حاوی اکسیدهای آهن. در این تصویر که در نور عادی گرفته شده توزیع اکسیدهای آهن در متن سنگ بوضوح دیده می شود (در نور عادی، بزرگنمایی ۲۵).

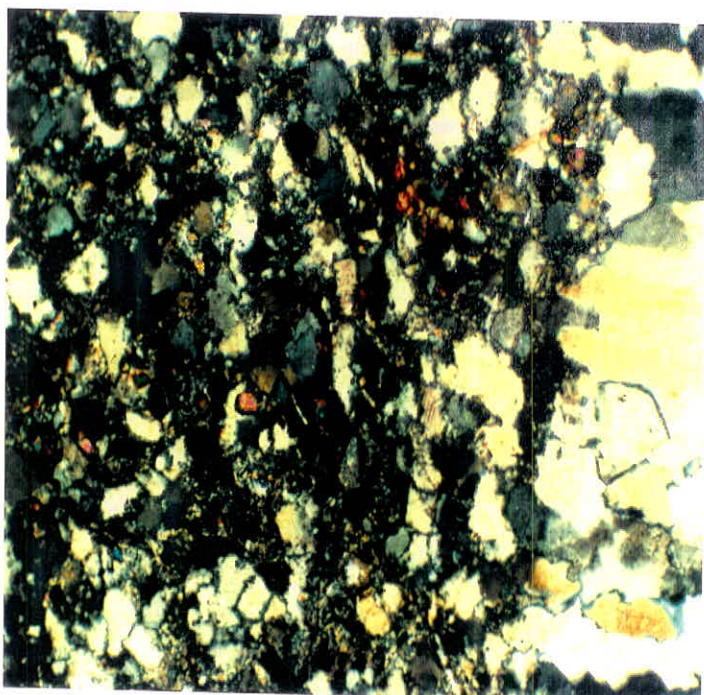


عکس شماره (۹۳-۳) - تصویر میکروسکوپی یک ماسه سنگ دگرگون شده، شکستگیهای ایجاد شده در آن توسط اکسیدهای آهن پر شده است. زمینه سنگ از کوارتز، پلازیوکلاز، کمی ارتزو و مقادیری کانی های فرعی از جمله اسفن، زیرکن و اکسیدهای آهن تشکیل شده است (در زیر نور پلاریزه، بزرگنمایی ۲۵).

ወጪ ተሸግኝ የሚከተሉት ነው - - - - -



Ես այս պատճենը կազմութիւն եմ - առաջին աշխարհական պատճենը - (Ա-Բ)

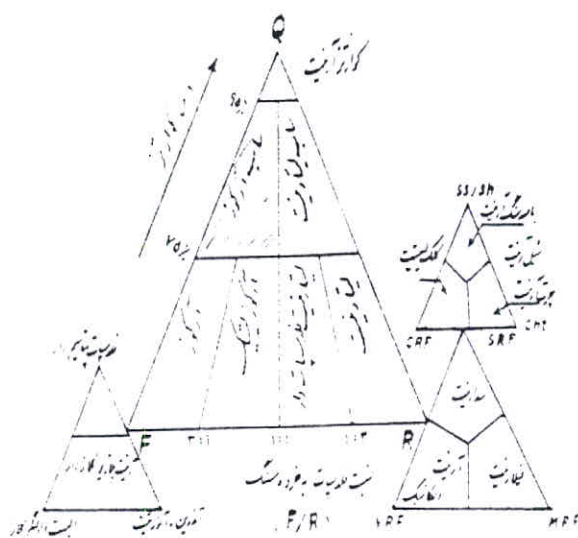


	<p>ՀԱՅԱՍՏԱՆԻ ՀԱՆՐԱՊԵՏՈՒԹՅԱՆ Վարչական հանձնաժողովի գործադրության պետական համակարգ</p>	<p>ՀԱՅԱՍՏԱՆԻ ՀԱՆՐԱՊԵՏՈՒԹՅԱՆ Վարչական հանձնաժողովի գործադրության պետական համակարգ</p>
<p>ՀԱՅԱՍՏԱՆԻ ՀԱՆՐԱՊԵՏՈՒԹՅԱՆ Վարչական հանձնաժողովի գործադրության պետական համակարգ</p>	<p>ՀԱՅԱՍՏԱՆԻ ՀԱՆՐԱՊԵՏՈՒԹՅԱՆ Վարչական հանձնաժողովի գործադրության պետական համակարգ</p>	<p>ՀԱՅԱՍՏԱՆԻ ՀԱՆՐԱՊԵՏՈՒԹՅԱՆ Վարչական հանձնաժողովի գործադրության պետական համակարգ</p>



تعدادی از نمودارهایی که این تغییر و تحولات و نتیجه گیری‌ها را به طور ساده بازگو می‌کنند در

شکل‌های ۳-۵ الی ۱۰-۳ نشان داده شده‌اند.



شکل شماره (۳-۵) - نمودار طبقه‌بندی و نامگذاری سنگهای آواری دانه متوسط

- قطب F، فلدسپات‌های پتاسیم، سدیم یا کلسیم + قطعات گرانیتی و گنایس را شامل می-

گردد.

- قطب Q، انواع کوارتز نظیر متا کوارتز را شامل می‌شود ولی چرت را در بر نمی‌گیرد.

- قطب RF، سایر قطعات سنگی مانند چرت، سیلتیتون، ماسه سنگ، شیل، آهک و قطعات

آتشفسانی را شامل می‌شود.

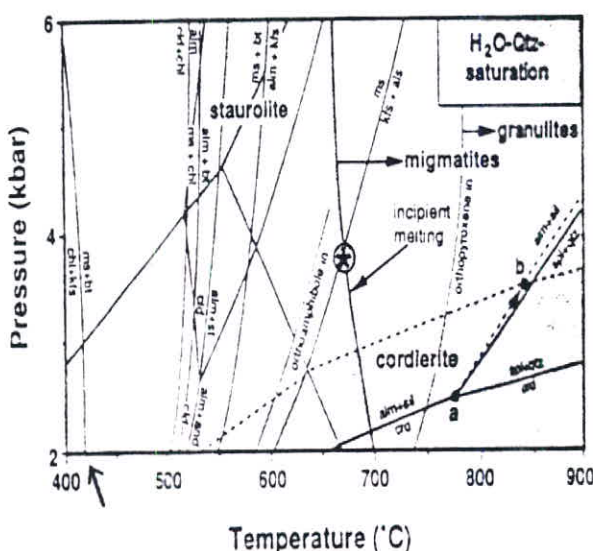
توضیح: مثلث‌های ترسیم شده در نمودار فوق دارای مقیاس نیستند (فولک ۱۹۷۴).

محدوده‌های شورزده، ترکیبات ماسه سنگی منطقه مورد مطالعه را مشخص می‌سازد.

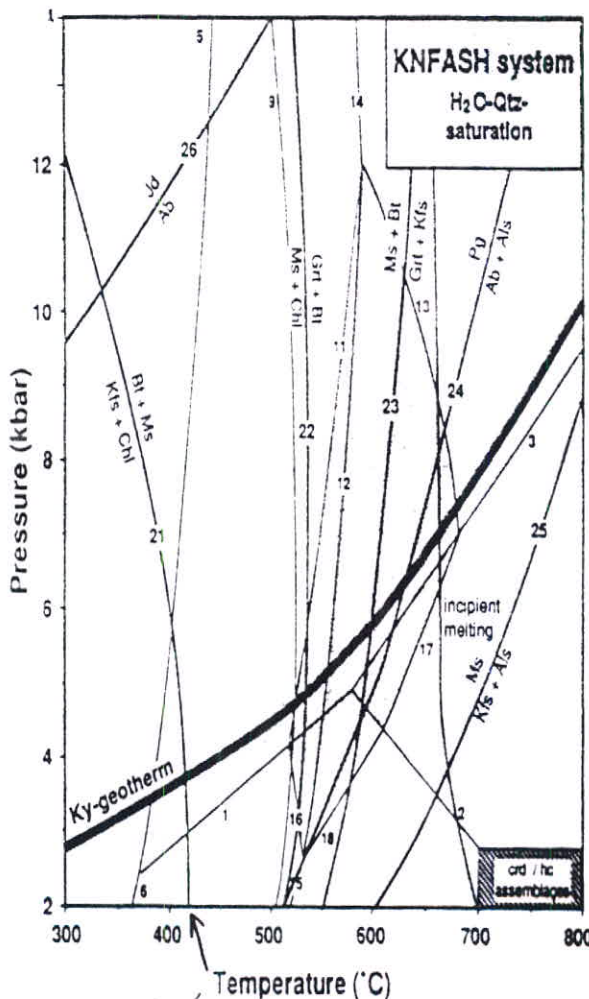
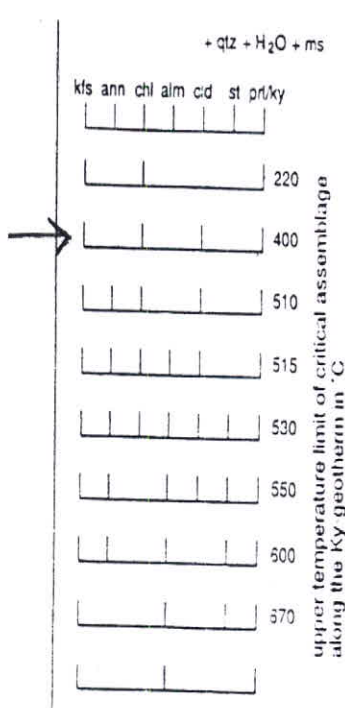


Zone	Biotite zone	Cordierite zone	Andalusite zone	Sillimanite-muscovite zone	K-feldspar-sillimanite zone	Cordierite-garnet-K-feldspar zone
Quartz						
Sodic plagioclase	2-phases					
Muscovite	phenocrystic					
Chlorite		--				
Biotite						
Cordierite						
Al <sub>2</sub> SiO <sub>5</sub>			andalusite	sillimanite		sillimanite
Garnet				Mn-rich		
K-feldspar						
Metamorphic facies	Green schist facies	Transitional	Ampibolite facies	?	Granulite facies	

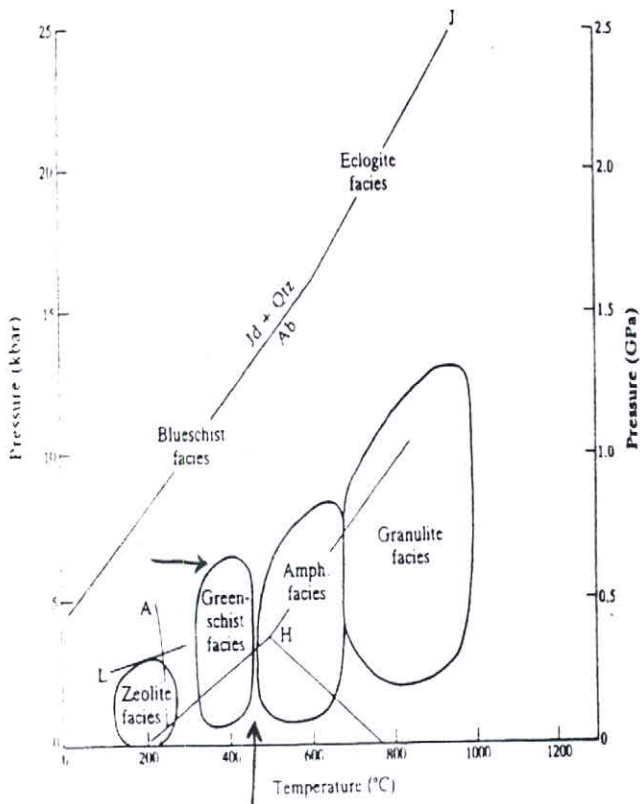
شکل شماره (۴-۳) - نمودار نشان دهنده تغییرات کانی شناسی پیشرونده، دگرگونی ناجه ای نوع P/T پایین (سری آندالوزیت - سیلیمانیت)، این شکل دامنه هایی از درجات دگرگونی را نشان می دهد که در آنها پیدا شدن کانیهای منحصر به فرد صورت می گیرد و مدیک مجموعه های کانی شناسی ستگهای دگرگونی نیستند (میاشیرو، ۱۹۹۴). حد بالایی محدوده دگرگونی منطقه مورد مطالعه با محدوده نشان داده شده، قس مقایسه است.



شکل شماره (۷-۳) - واکنشهای فشار پایین - دماهای بالا و روابط فازی متابلیتها و دگرگونی در سیستم KFASH (بوجر و فرجی، ۱۹۹۴). فلش مرز دمایی شروع زون بیوتیت را نشان می دهد



شکل شماره (۹-۳) بواکنشهایی که میکاها در آنها مشارکت دارند، در این شکل نمایش داده شده اند. فلش مرز بالایی دمای آغاز زون بیوتیت را نشان می دهد (بوخر و فری، ۱۹۹۴).



شکل شماره (۱۰-۳) - محدوده ها با طیفهای دما-فشار تقریبی رخساره های دگرگونی،

منحنی تعادلی واکنش  $\text{Analcime} + \text{quartz} = \text{albite} + \text{H}_2\text{O}$  (لیو، ۱۹۷۱b)،  $\text{L}$ ، حد فشار پایین

منطقه پایداری لاوسونیت + کوارتز در حضور سیال  $\text{H}_2\text{O}$  (لیو، ۱۹۷۱a). نقطه سه گانه کانیهای

(هولداوی، ۱۹۷۱) از منحنی تعادلی  $\text{albite} = \text{Jadeite} + \text{quartz}$  (اقتباس از شکل (۱-۳)

(میاشیرو، ۱۹۹۴). فلشها حد بالایی دما و فشار قابل مقایسه با منطقه مورد مطالعه را نشان می

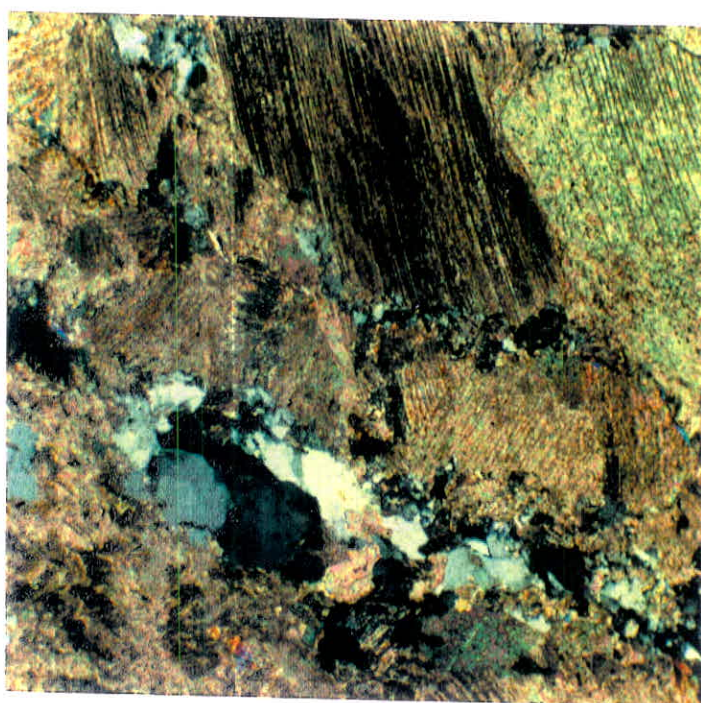


### ۳-۲-۳- واحد کنگلومرایی نئوژن

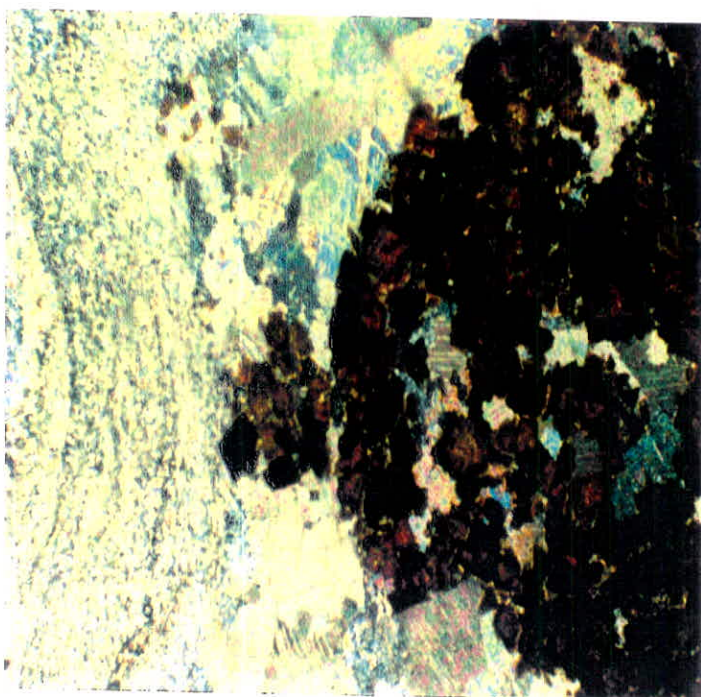
در واحد کنگلومرایی نئوژن قطعات مختلفی یافت می شود که از آن جمله می توان به سنگهای داسینتی پرپولیتی شده، آهکهای دولومیتی فسیل دار، ماسه سنگ، اسلیت، میکائیست و سیلتستون دگرگون شده و قطعاتی از رگه های کوارتزی اشاره کرد. گاهی اوقات یک سیمان ژپسی، اکسید آهن و منگنز فضای بین سایر قطعات را پر کرده است. در بحث ماسه سنگها، سیلتستونهای دگرگون شده و اسلیت ها، مقاطع مذکور توصیف گردید، در این قسمت مصالعات میکروسکپی آهک و داسینت پرپولیتی تشریح شده است.

### ۱- آهک فسیل دار دولومیتی

این سنگ عمدتاً از کلسیت تشکیل شده است(٪۹۰) عکس شماره (۶۶-۳)، مقادیری دولومیت نیز این سنگ را همراهی می کند که به صورت بلورهای لوزی شکل ظاهر شده اند، این بلورها گاه تجمعات جالب توجهی را به نمایش می گذارند عکس های شماره (۶۷-۳) این سنگ همچنین حاوی مقادیری کوارتز است که به صورت دانه های ریز فضای بین کنیهای کلسیت و دولومیت راپر می کند به عکس شماره (۶۶-۳) رجوع شود. در این سنگ مقادیری اکسید آهن نیز به صورت سیمان بین دانه ای دیده می شود. کلسیت به صورت پرکننده رگه نیز یافت می شود این رگه ها سنگ آهکی - دولومیتی میزبان را قطع نموده اند. در این سنگ بقایای فسیلی زیادی نیز وجود دارد که دارای ترکیب کلسیتی و بافت رشتہ ای می باشند(عکس شماره ۶۷-۳). از آنجانی که این قطعات شکل کاملی را تداعی نمی کنند، نامگذاری و تعیین جنس فسیلها امکان پذیر نیست.



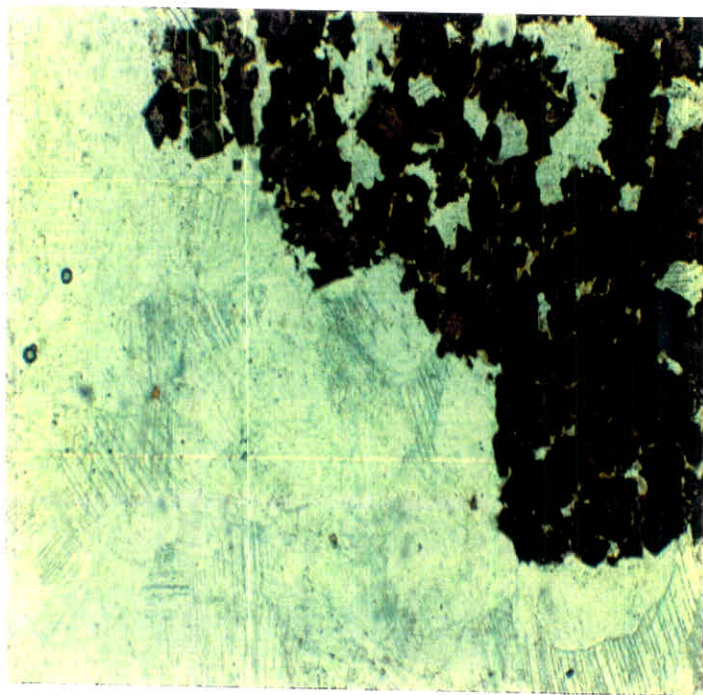
عکس شماره (۶۶-۳) - تصویر میکروسکوپی آهک ماسه‌ای، در این تصویر بلورهای کوازتر و کلسیت دیده می‌شوند که کوازتر به صورت بین دانه‌ای و مضرس مشاهده می‌گردد (در نور پلازیزه، بزرگنمایی ۲۵).



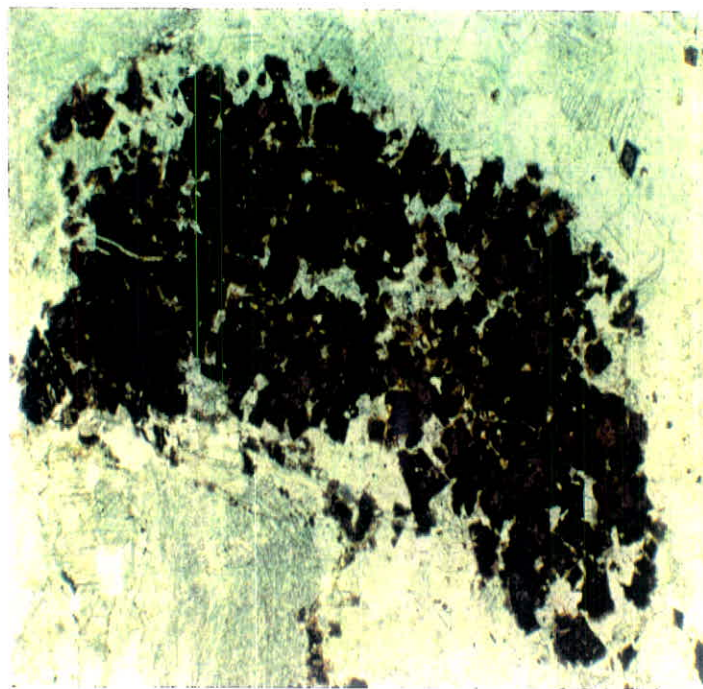
عکس شماره (۶۷-۳) - تصویر میکروسکوپی آهک دولومیتی، در این تصویر بلورهای کلسیت و دولومیت (خش قهوه‌ای رنگ) و آثار فسیلی (سمت چپ تصویر) که دارای حالت رشته‌ای است (است) دیده می‌شوند. این تصویر مربوط به یک قطعه سنگ متعلق به مجموعه کنگلومراتی نئوزن می‌باشد (در نور پلازیزه، بزرگنمایی ۲۵).

۵۸-۳

طرح اکتشاف نیمه تفصیلی جیوه شوراب کاشمر  
فصل سوم - زمین‌شناسی منطقه مورد مطالعه



عکس شماره (۶۸-۳) - تصویر شماره ۶۷-۳ در نور عادی، به حضور و تجمع بلورهای دولومیت توجه شود.  
بلورهای دولومیت با اشکال لوزی شکل در این تصویر مشخص شده‌اند.

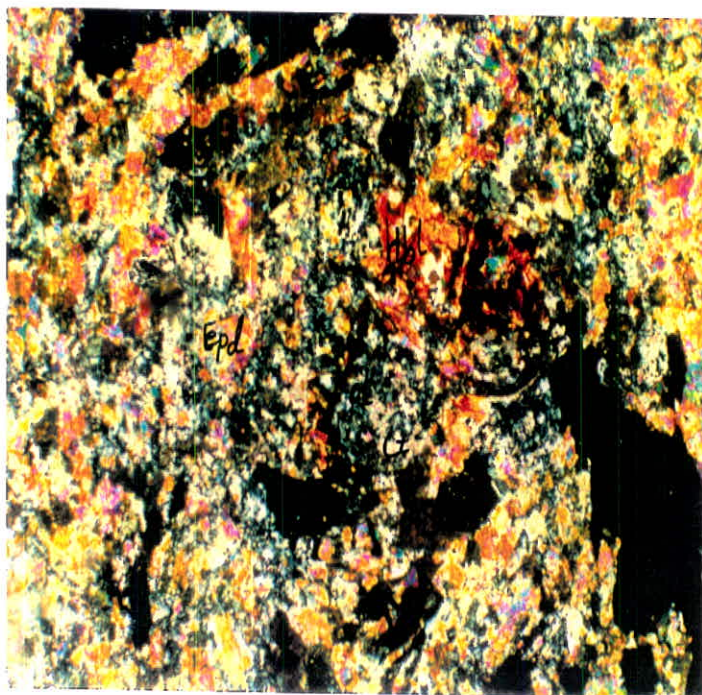


عکس شماره (۶۹-۳) - تصویر میکروسکوپی نشان دهنده اجتماع بلورهای دولومیت، زمینه سنگ از کلسیت تشکیل شده است (در نور عادی، بزرگنمایی ۲۵).

۵۹-۳	طرح اکتشاف نیمه تفصیلی جیوه شوراب کاشمر فصل سوم - زمین‌شناسی منطقه مورد مطالعه	 کاوش کاشمر
------	---	----------------

## ۲- داسیت پرopolyتی شده

این سنگ در نمونه سفید رنگ است و حاوی لکه های سبز رنگ اپیدوتی است. کانیهای اولیه تشکیل دهنده این سنگ هورنبلند قهوه ای، کلسیت، کوارتز و احتمالاً سانیدین بوده اند که به شدت دگرسان شده اند. هورنبلند شدیداً دگرسان شده و به اکسیدهای آهن تبدیل شده است. هورنبلند قهوه ای با حاشیه سوخته و یا دگرسان شده به مقدار قابل توجهی در این سنگ وجود دارد. پلازیوکلاز به شدت دگرسان شده و به اپیدوت تبدیل گردیده است و گاه آثاری از آن بر جای مانده است. در حال حاضر اپیدوت فراوانترین کانی سازنده این سنگ است. دانه های اپیدوت عمدهاً بی شکل، دانه ریز و دارای حاشیه های مضرس هستند. اسفن به صورت کانی فرعی وجود دارد. کوارتز به مقدار کم در بین سایر کانیها یافت می شود. کلسیت نیز به عنوان یک کانی ثانویه در فضای بین سایر کانیها مشاهده می گردد. با توجه به موارد ذکر شده این سنگ یک نمونه داسیت پرopolyتی شده می باشد(عکس شماره ۷۰-۳).



عکس شماره (۷۰-۳)- تصویر میکروسکوپی یک نمونه داسیت پرopolyتی شده. در این تصویر بلورهای اپیدوت (Epd)، هورنبلند قهوه ای دگرسان شده (Hbl)، پلازیوکلازهای (Pl) در حال تخریب به اپیدوت و کلسیت (Ct) دیده می شوند(در زیر نور پلاریزه، بزرگنمایی ۲۵).

۶۰-۳	طرح اکتشاف نیمه تفصیلی جیوه شوراب کاشمر فصل سوم - زمین شناسی منطقه مورد مطالعه	 کاشمر راناسار
------	---	--

### ۳-۳- نتایج مطالعه مقاطع صیقلی

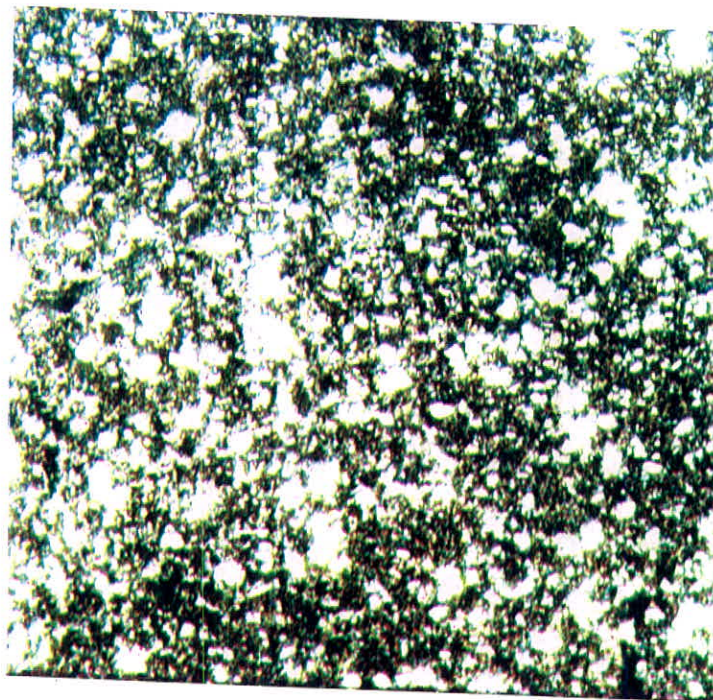
نتیجه بررسی مقاطع نازک و صیقلی منطقه شوراب کاشمر نشان می دهد که سنگهای منطقه غالباً اسلیت و ماسه سنگهای سیاه و قرمز رنگ دگرگون شده می باشند که توسط رگه های سیلیسی زیادی قطع گردیده اند، این رگه ها با مقادیر کمی اکسید های آهن و منگنز همراه هستند. این سنگها، بویژه اسلیت ها دارای دانه های ریز پیوستی می باشند که در متن سنگ بصورت رگچه ای یا افشار مشاهده می شوند. در مقاطع نازک سنگهای منطقه شوراب کوارتز، کانه های اوپاک، مقادیری فلدسپاتهای تخریبی و بندرت بیوتیت مشاهده می شوند. در سنگهای تخریبی متعلق به واحد گنگلومرا ای قطعات داسیتی اپیدوتی شده نیز یافت می گردد. در ادامه، شرح کلیه مقاطع صیقلی مطالعه شده در منطقه شوراب کاشمر آمده است.



۶۱-۳	طرح اکتشاف نیمه تفصیلی جیوه شوراب کاشمر فصل سوم - زمین شناسی منطقه مورد مطالعه	 راون کاشمر RAVAN KASHMIR
------	---	--

#### ۱- مقطع صیقلی شماره BH-6/2

این نمونه از گمانه شماره ۶ برداشت گردیده است و این سنگ یک نمونه اسلیت سیاه رنگ میباشد که حاوی دانه های بسیار ریز پیریت می باشد (به عکس ۳-۷ ارجوع شود). دانه ای پیریت به مقدار زیاد در متن سنگ پراکنده می باشند. پیریت به صورت رگه و رگچه ای نیز در این سنگ یافت می شود.

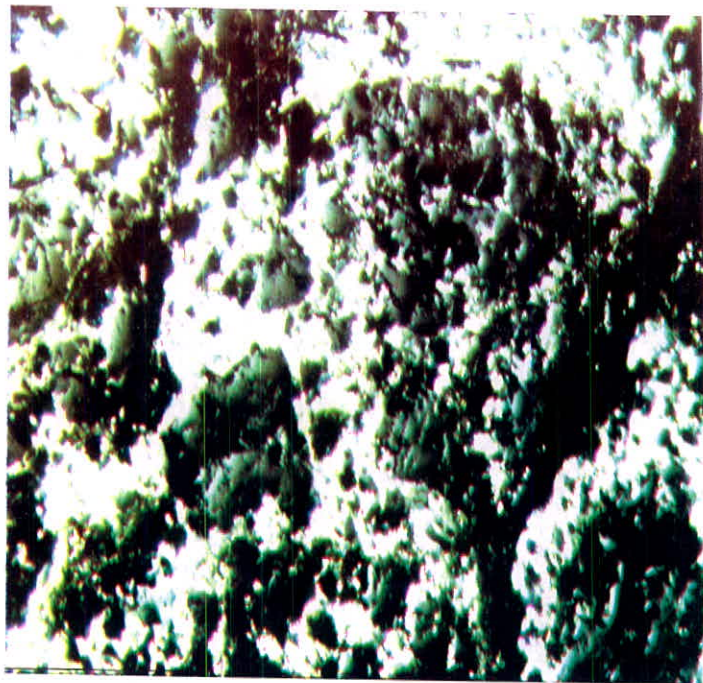


عکس شماره (۶۱-۳)- تصویر میکروسکوپی نمونه شماره BH-6/2 نشان دهنده انتشار گسترده پیریت در متن یک سنگ اسلیتی سیاه رنگ دانه ریز (در نور پلاریزه، بزرگنمایی ۱۰۰ برابر).

۶۲-۳	طرح اکتشاف نیمه تفصیلی جیوه شوراب کاشمر فصل سوم - زمین‌شناسی منطقه مورد مطالعه	
------	---	--

## ۲- مقطع صیقلی شماره BH-3/6

این نمونه از درون گمانه شماره ۳ بدست آمده است. سنگ اصلی یک نمونه اسلیت سیاه رنگ می‌باشد که به شدت برشی شده و فضای بین درز و شکافهای آن توسط پیریت پر شده است. در تصویر میکروسکوپی این سنگ پدیده مذکور به وضوح قابل رویت است. رگچه‌های پیریت بسیار زیاد هستند و در جهات مختلف گسترش یافته‌اند.

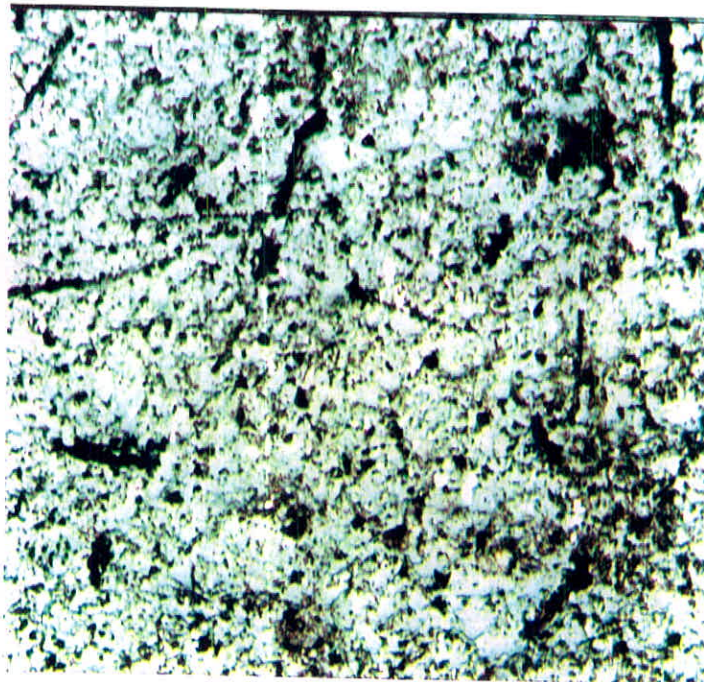


عکس شماره (۳)- BH-3/6 اجتماعی نمونه شماره ۶ تصویر میکروسکوپی از بلورهای پیریت بصورت شبکه رگه‌ای متراکمی در سنگ (در نور پلازیزه، بزرگنمایی ۵۰ برابر).

۶۳-۳	طرح اکتشاف نیمه تفصیلی جیوه شوراب کاشمر فصل سوم - زمین شناسی منطقه مورد مطالعه	 کاوش کاراب
------	---	---

### ۳- مقطع صیقلی شماره BH-6/12

این نمونه از مغزه‌های بدست آمده از گمانه ۶ بدست آمده است. نمونه این سنگ اسلیتی سیاه‌رنگ متراکم است که دانه‌های ریز پیریت به طور پراکنده در آن یافت می‌شوند. در بعضی از نمونه‌های دیگر پیریت به صورت رکچه‌ای نیز یافت می‌گردد.

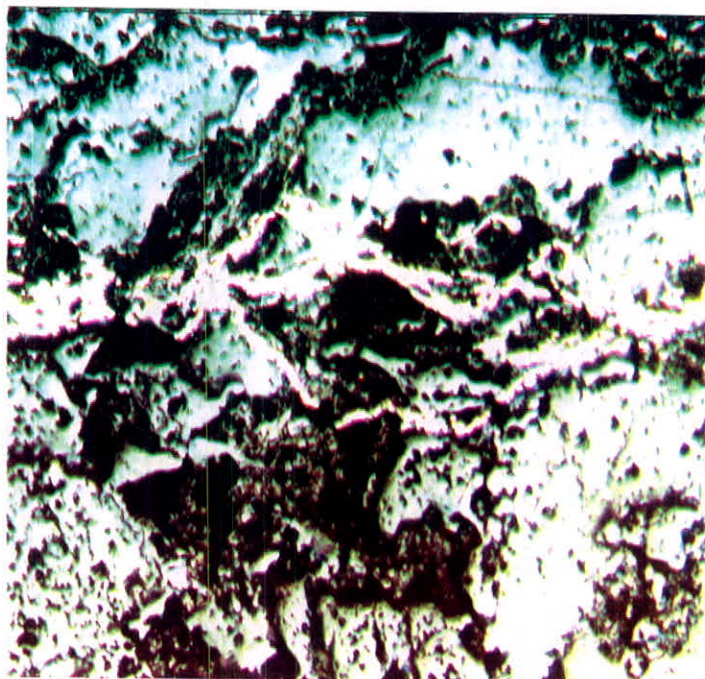


عکس شماره (۷۳-۳) تصویر میکروسکوپی نمونه شماره BH-6/12 در این تصویر دانه‌های ریز و پراکنده پیریت در متن سنگ مشاهده می‌شوند. دانه‌های پیریت به صورت لکه‌های دارای رنگ روشن‌تر یافت می‌گردد(در نور پلاریزه، بزرگنمایی ۱۰۰ برابر).

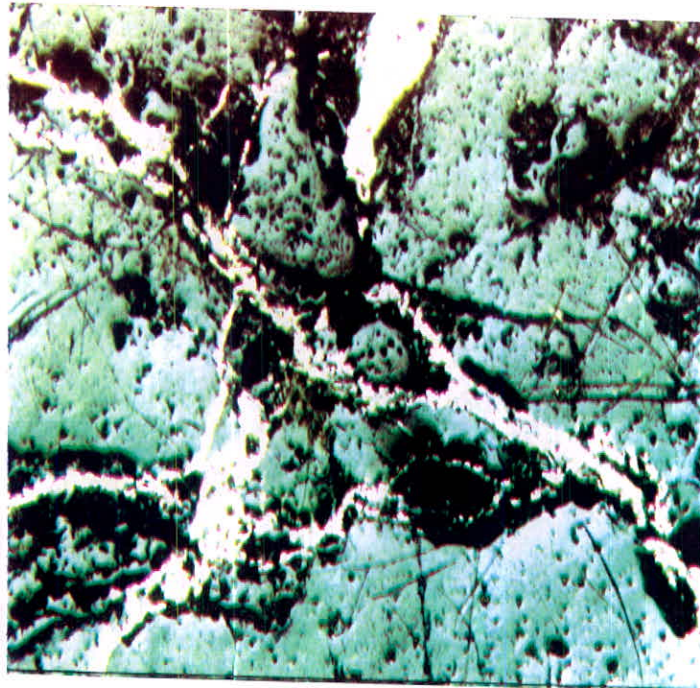
۶۴-۳	طرح اکتشاف نیمه تفصیلی چیوه شوراب کاشمر فصل سوم - زمین شناسی منطقه مورد مطالعه	 کوشیر کاربار KASHMIR KARAB
------	---	--

#### ۴- مقطع صیقلی شماره BH-3/7

این نمونه از یک بخش سیلیسی- ماسه سنگی- اسلیتی برداشت گردیده است، که از معززهای چاه شماره ۳ بدست آمده است. در این سنگ رگه پیریت به موازات فولیاسانیون سنگ، تشکیل گردیده است. بعضی از رگه‌ها نیز عمود بر فولیاسانیون سنگ و در راستای شکستگیها جای گرفته اند. لذا نتیجه می‌گیریم جایگیری کانه پیریت از عوامل سنگ شناسی و ساختاری تعیت کرده است. در تصویر میکروسکوپی نشان داده شده در عکس های شماره ۷۴-۳ و ۷۵ این پدیده به وضوح دیده می‌شود.



عکس شماره (۷۴-۳) - تصویر میکروسکوپی نمونه شماره BH-3/7 در این تصویر رگچه‌های ریز را مشاهده می‌کنید که حاوی پیریت هستند. گاهی اوقات رگه‌ها در مسیر خود به چند رگچه تقسیم گردیده‌اند. علاوه بر حالت رگه‌ای قابل مشاهده در این تصویر، پیریت به صورت پراکنده نیز در متن سنگ یافت می‌شود (بزرگنمایی، ۱۰ برابر).



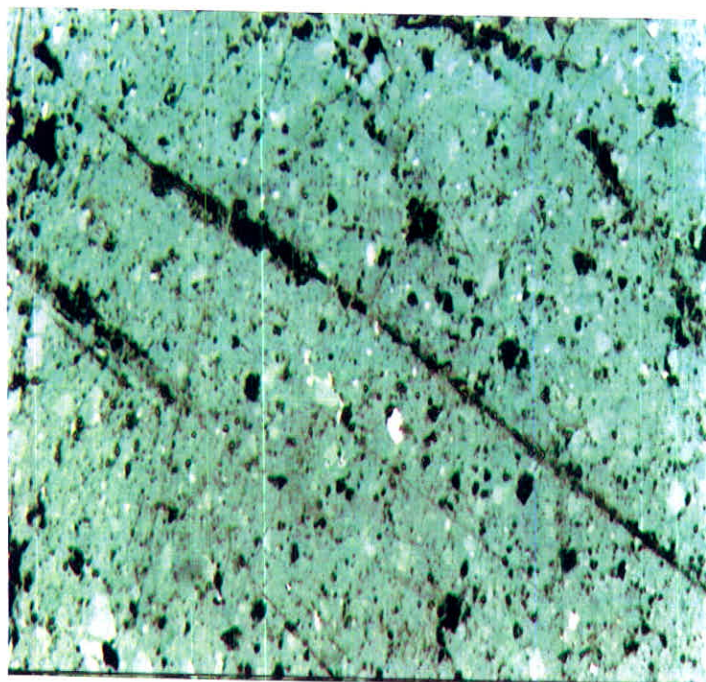
شکل (۷۵-۳)- تصویر میکروسکوپی نمونه شماره BH-3/7 در این تصویر رگچه‌های ریز پیریت مشاهده می‌گردد که در جهات مختلف گسترش یافته‌اند ولی روند کلی آنها به موارات فولیاسیون سنگ اسلیتی میزانند باشد (در نور پلاریزه، بزرگنمایی ۵۰ برابر).



#### BH-6/10 شماره مقطع صیقلی - ۵-

این نمونه که از مغزهای بدست آمده از گمانه شماره ۶ برداشت گردیده حاوی دانه‌های

پراکنده می‌باشد که به زحمت با چشم غیرمصلاح قابل تشخیص می‌باشند. دانه‌های پیریت به طور پراکنده در متن سنگ منتشر شده‌اند (بزرگنمایی ۱۰۰ برابر، در نور پلاریزه).



عکس شماره (۷۶-۳)- تصویر میکروسکوپی نمونه شماره BH-6/10 نشان‌دهنده انتشار ذرات منفرد پیریت در یک

زمینه اسلیتی (در نور پلاریزه، بزرگنمایی ۱۰۰ برابر).

۶۷-۳	طرح اکتشاف نیمه تفصیلی جیوه شوراب کاشمر فصل سوم - زمین شناسی منطقه مورد مطالعه	 کاشمیر رائونی KASHMIR RAYONI
------	---	--

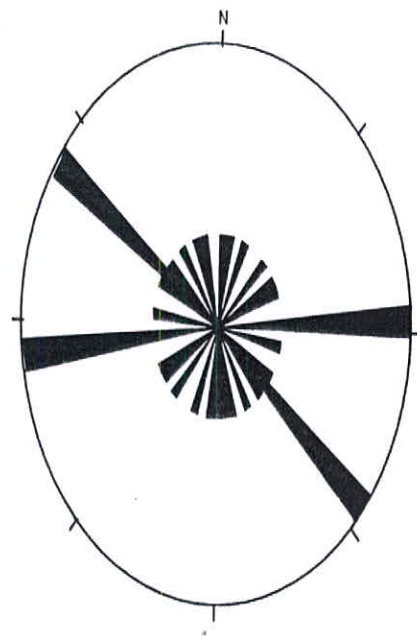
#### ۴-۳- ساختار درزه های منطقه

در شکل شماره ۱۱-۳-ب رزدیاگرامهای مربوط به چگونگی توزیع درزه ها (الف) و رگه های کوارتزی (ب) ارائه شده اند. با توجه به شکل شماره ۱۱-۳-ب درزه های منطقه مورد مطالعه دارای دو روند غالب شمال غربی - جنوب شرقی و تقریباً شرقی - غربی می باشند. درزه هایی که در سایر جهات یافت می شوند از فراوانی بسیار کمی برخوردار هستند. در شکل شماره ۱۱-۳-ب چگونگی توزیع رگه های کوارتزی نشان داده شده است. همانطوریکه از این شکل استنباط می شود رگه های کوارتزی غالباً دارای روند شمال غربی - جنوب شرقی هستند. رگه هایی که دارای روند شرقی - غربی هستند در درجه دوم اهمیت قرار می گیرند. بعضی از رگه های تقریباً شمالی - جنوبی هستند. رگه هایی که در سایر جهات یافت می شوند، بسیار کم هستند. از مقایسه این دو رزدیاگرام متوجه می شویم که رگه های کوارتزی با درزه ها سازگاری قابل توجهی نشان می دهند. در واقع بخشی از درزه ها توسط محلولهای سیلیس دار پر شده اند و به تشکیل رگه های کوارتزی منجر گردیده اند.

Active dataset: kash-j.dat (not modified)

Files loaded:

kash-j.dat (Linears) <=

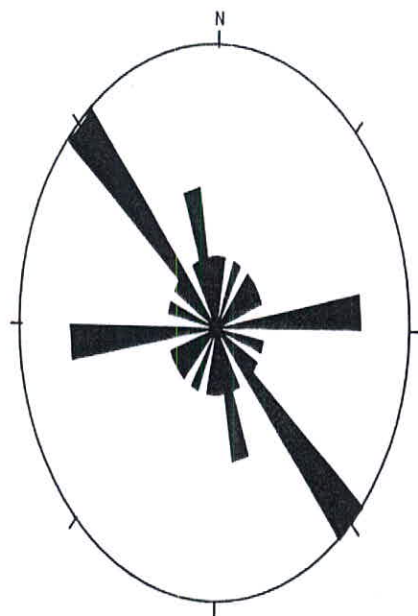


الف

Active dataset: kash-qv.dat (not modified)

Files loaded:

kash-qv.dat (Linears) <=



ب

شکل شماره (۱۱-۳)- رزدیاگرام های مربوط به چگونگی توزیع درزه ها (الف) و رگه های کوارتزی (ب). همانطور که از این دو تصویر استنباط می گردد او امتداد رگه های کوارتزی و درزه ها تقریباً با هم سازگار هستند. درزه ها غالباً E-W و NW-SE هستند، رگه های کوارتزی نیز غالباً NW-SE(135) و E-W(85-90) می باشند.

۱-۴

طرح اکتشاف نیمه تفصیلی جیوه شوراب کاشمر  
فصل چهارم - کانه زائی در منطقه مورد مطالعه



## فصل چهارم

### کانه زائی

در منطقه مورد مطالعه



## فصل چهارم - کانه زائی

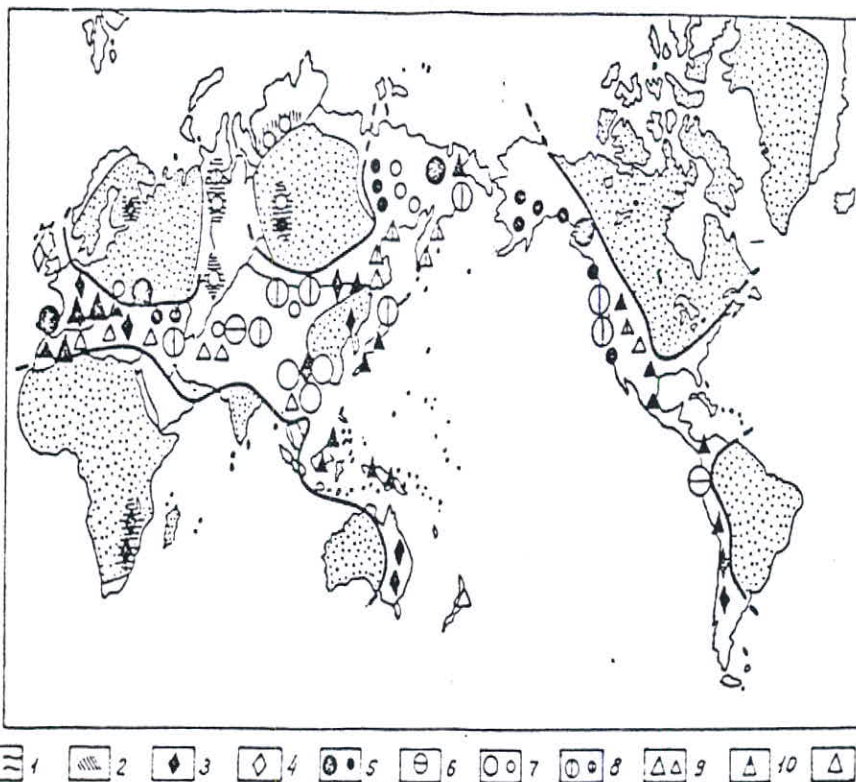
### ۱-۴- نگاهی اجمالی به معدن جیوه المعدن (به عنوان یک معدن جیوه نمونه)

کانسار جیوه المعدن در حدود ۲۰۰ کیلومتری جنوب غربی مادرید قرار دارد (شکل شماره ۱-۴) این کانسار بزرگترین معدن جیوه جهان است.



شکل شماره (۱-۴)- موقعیت جغرافیایی کانسار جیوه المعدن (اقتباس از گلبرت و پارک ۱۹۸۵)

سنگهای نزدیک کانسار المعدن، سنگهای تخریبی پالئوزوئیک زیرین تا میانی هستند که توسط دیبازهای سیلورین - دونین (در طی فاز هرسینین) قطع شده اند. ولی سنگهای ناحیه اسلیت های پر کامبرین هستند که بوسیله اسلیت ها و ماسه سنگهای دگرگون شده ارد و اویسین پوشیده شده اند. در این مجموعه یک واحد کوارتزیتی به نام کرایدرو وجود دارد که کانه زایی جیوه در آن صورت گرفته است. به منظور آشنایی بیشتر با مناطق مستعد به جهت داشتن کانسار های جیوه، توزیع جهانی ذخایر جیوه بر اساس مهمترین تقسیمات ژئوتکنیکی و اقتصادی در شکل شماره (۲-۴) نشان داده شده است.



شکل ۲-۴- توزیع جهانی ذخایر جیوه بر اساس مهمترین تقسیمات ژنتیکی و اقتصادی

۱- طرح کلی کمرندهای جهانی جیوه - ۲- ذخایر جیوه خارج از کمرندهای جهانی - ۳- مناطقی که مهمترین ذخایر ژنتیکی و اقتصادی ذخایر جیوه را نشان می دهند ۴- ذخایر پلوتوزیتیکی - ۵- کوارتز- کلربت- سریست- ۶- کوارتز کربنات- ۷- تمل- ۸- کوارتز دیکت- ۹- ژلسبروئید- ۱۰- کربنات- ۱۱- لیستونیت- ۱۲- ولکانوژنیک - ۱۳- کربنات- پلی آرزبلیت- ۱۴- اپالیت- آلوئیت ۱۵- نوع تراورتن (اقتباس از Fedorchuk)

سنگهای آتشفشاری همراه این کانسار را سنگهای بازالتی تا توف های بازالتی تشکیل می دهند. کانیهای اصلی این کانسار را سینابر، جیوه طبیعی و پیریت معرفی کرده اند. پیریت کانی گانگ همراه این کانسار می باشد. جیوه در یک قالب استرالاند و بصورت حباب و قطرات جیوه طبیعی، سینابر یوهدرال تا ساب هدرال و گل های حاوی جیوه یافت می شود. عیار کانسار کمتر از یک درصد و ذخیره کانسار بیش از یک میلیون تن است. برای این کانسار، منشا های اپی تمل - اپی ژنتیک، ولکانیسم زیردریایی و رسوب گذاری و منشا سین ژنتیک - ولکانیکی همراه رسوبگذاری پیشنهاد گردیده است، که بنظر می رسد ولکانیسم زیردریایی و رسوبگذاری از



طرفداران بیشتری برخوردار است. متنهای بررسی شواهد زمین شناسی منطقه شوراب کاشمر نشان

می دهد که علیرغم تکتونیزه بودن منطقه و یا داشتن سنگ میزان مستعد، شواهدی از کانه زائی جیوه در این منطقه دیده نمی شود و آنچه قبلأ تحت عنوان زونهای سیلیسی، زون دگرسانی، مناطق دگرسان شده معروفی شده اند با واقعیت سازگار و منطبق نیستند.

#### ۴-۲- کانه زائی جیوه و مشاهده آن در روستای شوراب کاشمر

در برآرد وجود جیوه در یک مقطع زمانی خاص و در محلی خاص در شمال غرب روستای شوراب کاشمر و پس از یک بارندگی شدید شکی وجود ندارد. بنابر اظهار افراد محلی در مسیر آبراهه و در کanal حفاری شده جهت آبرسانی در محدوده ای در شمال شرق روستای شوراب جیوه دیده شده است و مردم مقداری از این جیوه را جمع آوری کرده اند. از این لحاظ که جیوه فقط در یک منطقه محدود پیدا شده است جالب توجه و غیر عادی است. اهالی روستا بر حسب اظهارات مردم نزدیک به هفتاد تا هشتاد کیلوگرم به اندازه حجم چند حلب پنج کیلویی جیوه جمع آوری کرده اند. پس از این واقعه اظهارات ضد و نقیض زیادی مطرح شده و هنوز نیز ادامه دارد. برای مثال آقای علی اکبر صفار (از اهالی منطقه) اظهار می دارد که در هنگام حفر چاهی در روستا آبرفتی در عمق ۴ متری، وجود جیوه را مشاهده کرده و حجمی معادل ۳۰۰ تا ۴۰۰ میلی لیتر جیوه جمع آوری کرده است. فرد دیگری بنام آفی رجب محمدزاده اظهار داشت که قطراتی از جیوه را بر روی ظروف سفالی لعب دار در مسیر آبراهه مشاهده کرده است. متاسفانه، فردی که برای اولین بار جیوه را مشاهده کرده است، قادر به صحبت نمی باشد و ارتباط برقرار کردن با او مشکل می باشد. در هر حال اگر واقعأ جیوه از طریق فرایند های زمین شناسی حاصل شده باشد، شواهد و مدارکی که می توانسته اند این پدیده را توجیه کنند از بین رفته اند. از جمله فضیلت وجود جیوه در منطقه می توان این باشد که جیوه در ظرفی در محل وجود داشته که با حمل و حاچالی آن شکسته و در محیط رها شده باشد، باز دلایل مستندی برای تایید این موضوع در



دست نداریم. ولی با وجود معادن طلای قدیمی در اطراف منطقه از جمله کوه زر در جنوب روستای فدیپه از توابع تربت حیدریه، کوهسرخ کاشمر، معن طلای ارغش، قلعه زری و ...، این تصور چندان غیر منطقی نیست که فکر کنیم جیوه جهت استحصال طلا در منطقه حمل می شده و به دلیلی که فعلاً معلوم نیست در ظروف رسی از جمله کوزه یا خمره جامانده و بعداً پس از بارندگی و جریان یافتن آب حمل و جابجا شده و در اثر برخورد به دیواره های مسیر یا موانع سر راه شکسته شده و جیوه آن آزاد شده است که کمی دور از ستظار می رسد. در هر حال کلیه مطالعات زمین شناسی قبلی صورت گرفته وجود جیوه را چه بصورت خالص یا به صورت کانه زائی سیناپر و ... تأیید نکرده است. با استفاده از دستگاه جیوه سنج در چند مرحله و در چند مقیاس مختلف نمونه هایی از هوای موجود در خاکها و آبرفتها جذب و مورد بررسی و اعداد بدست آمده پردازش گردیده که حاصل آن یکسری آنومالی هایی است که صحت این آنومالی تاکنون اثبات نشده است. بررسی هایی که با این دستگاه صورت گرفته از چندین جنبه باشک و تردید همراه هستند که در زیر به آنها اشاره می گردد.

#### ۴-۱-۲- عدم دسترسی به تکنولوژی آموزشی و کالیبره نبودن دستگاه

جیوه سنج که توسط کارشناسان شرکت و در مرحله اول صریح جهت تشخیص آنومالی ها مورد استفاده واقع شده است، باعث کاهش دقت کار با دستگاه گردیده است، این دستگاه ساخت کشور چین می باشد و برای مورد این نوع اکتشافات با استفاده از این دستگاه در ایران تجربه گردیده است. متأسفانه بعلت اولین تجربه استفاده از این دستگاه در ایران مشکلاتی را در ابتدای امر بوجود آورده است. از نکات مهم اینکه افرادی که از کشور چین رونی این دستگاه آموزش دیده اند و یا هنگام نصب و راه اندازی دستگاه حضور داشته اند هم اکنون یا بازنیسته شده اند و به هر دلیلی در دسترس نمی باشند و لذا ارتباط با آنها جهت کسب اطلاعات و حتی کاتالوگ های اصلی آن میسر نگردد. کلیه آموزش های لازم در مورد این دستگاه با نلاش و پیگیری آقای مهندس عباس



نیا از کارشناسان امور طرح‌های سازمان صنایع و معادن استان خراسان از روی کاتالوگ‌های باقیمانده و همچنین بر اساس سعی و خطاب این دستگاه بدست آمده است و حتی با کوشش ایشان بعضی از این نوشته‌ها ترجمه شده و در اختیار کارشناسان قرار گرفت و همین اطلاعات در دفتر سازمان و در سایت آموزشی داده شد ولی پس از اتمام اجرای مرحله اول طرح هنوز به صحت آنومالی‌های بدست آمده نمی‌توان اطمینان داشت. از جمله مشکلات می‌توان به کالیبره نبودن دستگاه اشاره کرد. بطوريکه این دستگاه ذکر شده است که پس از گرم کردن نمونه (پیش متصرکز کننده) در کوره و قرائت مقدار جذب نشان داده شده توسط دستگاه، باید مقدار جذب در مراحل بعدی برای همان نمونه برابر صفر باشد. در حالی که عملاً چنین اتفاقی نمی‌افتد و در ضمن در مراحل بعدی مقدار جذب را حتی بیشتر هم نشان می‌دهد و از طرفی مقادیر عددی که از این دستگاه به دست می‌آید، ارتباط معنا داری از آنها حاصل نمی‌شود.

#### ۴-۲-۲- تکمیل برداشت‌ها و نتایج جدید

در گزارشات قبلی تشکیل رگه‌های سیلیسی با منشا دگرگونی، بعنوان رگه‌های با منشا گرمابی مرتبط با فعالیت‌های آذرین در نظر گرفته شده‌اند، در حالی که با توجه به برداشت‌های جدید احتمال چنین امری ضعیف می‌باشد خاکهای حاصل از تخریب و هوازدگی اسلیت‌ها که در سطح به تشکیل خاکهای قرمز رنگ منجر شده است، بعنوان فرآورده‌های مرتبط با پدیده‌های آذرین در نظر آورده شد که صحت این مورد نیز بسیار ضعیف می‌باشد. در بعضی موارد در گزارشات قبلی مشاهده می‌شود که اکسید‌های آهن که بصورت فشری نازک بر روی سطح سنگ ظاهر شده‌اند و در نقاطی به عنوان سینابر گزارش شده که این موضوع نیز صحیح نمی‌باشد. در هر حال باید اذعان داشت که پس از روزهای متوالی پیمایش در منطقه و بازدید بسیاری از نقاط و همچنین بررسی و مطالعه ۳۵۰ متر نمونه حفاری شده و نتایج آنالیز XRF و XRD و بررسی کانه‌های سنگین توسط اکیپ‌های کارشناسی این مشاورین، هیچگونه آثار و شواهدی که بطور



مستقیم و غیر مستقیم مؤید وجود کانه زایی جیوه در منطقه باشد بدست نیامد. آنچه مبرهن است این است که اگر فرض نماییم کانه زایی جیوه در منطقه وجود داشته باشد، احتمالاً دارای ارزش اقتصادی و سرمایه گذاری نمی باشد. مقایسه این منطقه با سایر مناطق جیوه دار جهان از جمله اسپانیا، پرو، ترکیه، روسیه و ... بیانگر آنست که اگر چه ممکن است شواهد سنگ شناسی و چینه شناسی مشابهی وجود داشته باشد ولی تاکنون هیچگونه شواهد کانه زایی معقول و در خور توجیهی در جهت دستیابی به وجود جیوه و کانه زایی در منطقه یافت نشده است.

### ۳-۴- رسوبات غنی از منگنز همراه با رسوبات تخریبی نئوژن

در جنوب روستای کاهه واقع در امتداد جاده آسفالتی منتهی به سعد الدین و جعفرآباد، در کنار جاده و نزدیک قلعه مخربه ای به نام کلاته بلبل با مختصات جغرافیایی "۵۸°۱۰' و ۳۵°۳۵'"، یک سری رسوبات تخریبی گراولی غنی از منگنز وجود دارد که بطور ناپیوسته در هفت محل رخمنون دارند. این رسوبات با داشتن رنگ متامیل به سیاه در سطح زمین توجه هر بیننده ای را بخود جلب می کنند. این محل قبلاً توسط آقای مهندس عباس نیا کارشناس سازمان صنایع و معادن استان خراسان شناسایی شده بود. مطابق پیشنهاد نامبرده، در چند محل، تعدادی چاهک حفر گردید و نتایج زیر بدست آمد:

بیشترین ضخامت این افق (غنی از منگنز) به ۹۰ سانتیمتر می رسد و در نقاط دیگر ضخامت این افق به ۳۰ الی ۵۰ سانتیمتر و حتی کمتر در بعضی نقاط دیده می شود. مطلب جالب توجه آن است که در چند نقطه در بخش تحتانی این افق کانه زایی ملاکیت نیز دیده می شود که بصورت قشری فضاهای خالی را پر کرده است. البته باید اذعان داشت که فراوانی ملاکیت چندان زیاد نیست. همین طور مقدار منگنز نیز آنقدر نیست که این افق را بعنوان یک زون با ارزش اقتصادی تلقی نماییم. اگر چه رخمنونهای مشاهده شده در یک راستا واقع می شوند ولی نباید فراموش کرد که این افق منگنز دار دقیقاً موازی لایه بندي رسوبات گراولی - کنگلومرايی قرار

۸-۴	طرح اکتشاف نیمه تفصیلی جیوه شوراب کاشر فصل چهارم - کانه زائی در منطقه مورد مطالعه	
-----	--	--

می گیرد و در ضمن به سمت بالا یا پایین انشعاباتی دیده نمی شود که بتوان حالت رگه ای برای آنها در نظر گرفت. در هر حال نهشته شدن و تمرکز منگنز در بین واحدهای رسوبی امری عادی است و در واقع منگنز سرچشممه گرفته از واحدهای سنگی قبلی در محیط رسوبی در P H بالا تمرکز یافتگی پیدا کرده است و سپس رسوب نموده است. در واحدهای سنگی قدیمی از جمله ماسه سنگهای قرمز، اسلیت های قرمز، رگه های کوارتزی حاوی اکسیدهای آهن و منگنز و ... تامین کننده منگنز محیطهای رسوبی جوان هستند. همچنین وجود چند مورد کانه زایی مس در اطراف منطقه می تواند مس مورد نیاز برای تشکیل مالاکیت در محیطهای رسوبی را فراهم کند. در بعضی از گزارش های قبلی بیان کانی سازی منگنز و قطع آبرفت کواترنر توسط آن و همچنین جوان بودن این کانی سازی با توجه به مشاهدات زمین شناسی نتیجه گیری نمی شود بطوریکه کانه زایی یا عبارت بهتر تمرکز منگنز همزمان با رسوبگذاری صورت گرفته است. در ضمن افق منگنز دار در بین رسوبات نئوژن جای دارد نه آبرفتهای کواترنر. در هر حال این وضعیت در چند جای مختلف از جمله در کنار چاه شماره ۵ در داخل کانال حفر شده جهت آبرسانی دیده می شود. در ضمن چند نمونه جهت آنالیز شیمی نیز از این افق برداشت گردید که نتایج آنها نیز در ادامه ارائه شده است. با دستگاه جیوه سنج از هوای موجود در خاک چاهک های حفر شده نیز نمونه گیری شد و سپس با دستگاه جیوه سنج تست گردید که نتایج قابل توجهی در بر نداشت.

این بررسی ها بمنظور یافتن سرخی برای ت Shirی کانی سازی احتمالی جیوه در منطقه صورت گرفت ولی شواهد غالباً حاکی از آنست که بین برداشت نمونه هوا با دستگاه جیوه سنج و همچنین برداشتهای زمین شناسی و ساختار زمین شناسی منطقه خبلی با هم سازگاری چندانی ندارند. نمونه های K-7, K-6/3, K-6/2, K-6/1, K-5, K-4, K-3, K-2, K-1, K-6/4 از این محل برداشت گردیدند. عکسهای (۱-۶) تصاویری از این منطقه را نشان می دهند.



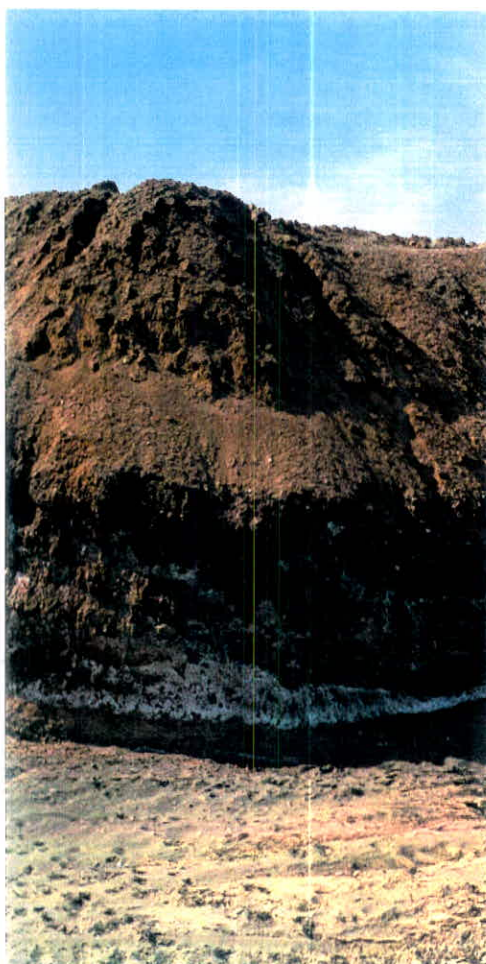
عکس شماره (۱-۴) - تصویری از رسوبات غنی از منگنز واقع در غرب جاده آسفالته - جنوب کاهه نزدیک کلاته بلبل، در ضمن هوای داخل مواد حفر شده توسط دستگاه جیوه سنج آزمایش گردید. اعداد و ارقام بدست آمده، پدیده خاصی را بازگو نمی کند.



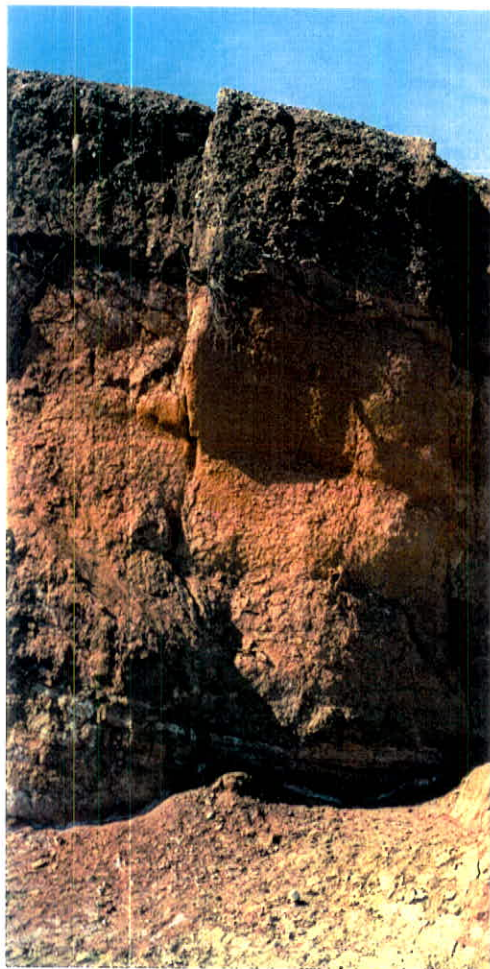
عکس شماره (۲-۴) - تصویری از تجمع اکسیدهای منگنز و هیدروکسیدهای آهن در رسوبات کنگلومرائی نشور غرب جاده آسفالته - رویروی کلاته بلبل).



عکس شماره (۳-۴) - تصویری از رسوبات ناهمگن، کنگلومرائی نفوذ با تمکزیاختنگی اکسیدهای آهن و منگنز در بعضی از نقاط آن (غرب جاده آسفالت - روی روی کلاته بلبل).



عکس شماره (۴-۴) - تصویر افق غنی از منگنز دارای رنگ تیره، این افق از رسوبات گراولی دانه متوسط تا دانه درشت تشکیل شده است (غرب آبراهه، نزدیک کلاته بلبل - غرب جاده آسفالت).



عکس شماره (۴-۵) - تصویری از توالی رسوبی رسوبات مارنی و کنگلومرایی نژوژن، افق منگنز، در بیشتر مناطق نزدیک به قسمت تحتانی واحد کنگلومرایی یافت می شود (غرب آبراهه نزدیک کلاته بلبل، غرب جاده آسفالتی).



عکس شماره (۴-۴) - تصویر واحد کنگولمراتی بر روی رسوبات مارنی - ماسه ای نتوژن (جنوب کاهه).





#### ۴-۴- کانه زایی مس در حوالی شوراب

حوالی منطقه شوراب، کانه زایی های پراکنده ای از مس وجود دارد که از آن جمله می توان به معدن مس چاه مس اشاره کرد. در این محل در امتداد یک گسل کانه زایی مس بصورت مالاکیت، آزوریت، اکسیدها و هیدروکسیدهای آهن دیده می شود. حفاریهای صورت گرفته در این محل، به شکل یک مخروط وارونه است که قطر آن حدود ۲۰ متر می باشد و داخل آن نیز چند دهليز کوچکتر وجود دارد. در این محل کانه زایی در فضای ایجاد شده در آهک و دولومیت، اسلیت و کنگلومراها (احتمالاً به سن سیلورین و دونین) صورت گرفته است. مواد استخراج شده در کنار همین محل ذوب شده اند و مس موجود در آنها استحصال گردیده است. مقادیر زیادی سرباره در اطراف این محل دیده می شود که گهگاه کانه های مس دار بصورت ذوب نشده در آنها یافت می شوند. عکس شماره (۷-۴) چند تصویر از این محل را نشان می دهد. هر چند سن سنگهای میزبان سیلورین - دونین می باشد، ولی درباره سن دقیق کانه زایی اطلاعات و شواهد کافی در دست نیست.



عکس شماره (۷-۴) - تصاویری از معدن چاه مس، برداشت های صورت گرفته و سرباره های موجود در اطراف این معدن دیده می شود. کانه زایی در امتداد یک گسل و در کنタکت بین سنگهای آهکی - دولومیتی، کنگلومرالی و اسلیتی صورت گرفته است. کانه زایی مس از نوع کربناته آبدار (مالاکیت و آزوریت)، همراه با مقادیری اکسید های منگنز می باشد.

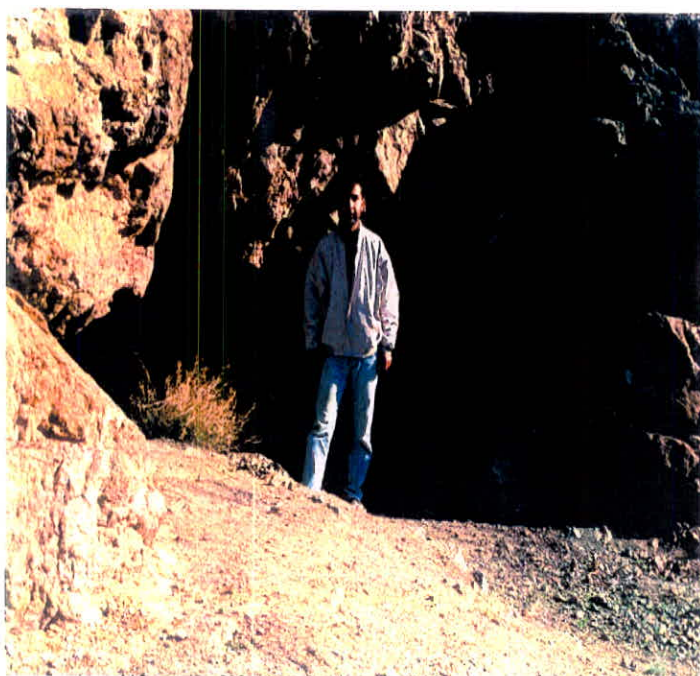
۱۵-۴	طرح اکتشاف نیمه تفصیلی جیوه شوراب کاشمر فصل چهارم - کانه زایی در منطقه مورد مطالعه	
------	---	--

#### ۴-۵- کانه زایی مس در غار کفتاری

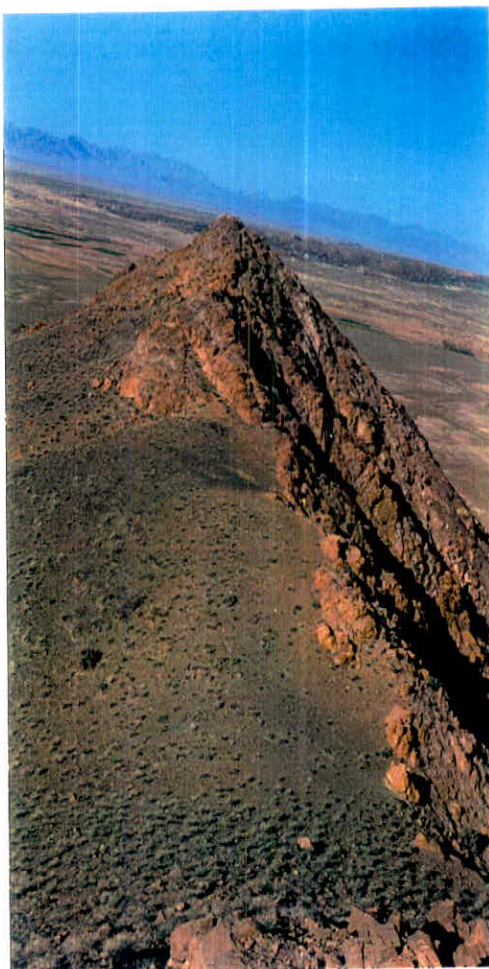
سنگهای رخنمون یافته در منطقه غالباً اسلیت و ماسه سنگ دگرگون شده هستند در نقشه زمین شناسی ۱:۲۵۰۰۰ کاشمر، این سنگها با نماد  $Db$  یعنی آهک و آهک و شیل بهرام به سن دونین معرفی شده اند، ولی در نقشه زمین شناسی ۱:۱۰۰/۰۰ کاشمر این سنگها به عنوان اسلیت و ماسه سنگهای دگرگون شده به سن سیلورین معرفی گردیده اند و نام سازند نیور برای آنها انتخاب شده است. این اصلاحات با واقعیت های موجود در منطقه سازگار است. دولومیت های نخودی رنگ بهرام به سن دونین در غرب امام زاده هادی رخنمون دارند. این سنگها با کن tact گسلی بر روی یک سری سنگهای ولکانیکی - ولکانیکی تخریبی دارای ترکیب آندزیتی قرار گرفته اند. در کن tact این دو واحد و در امتداد بعضی از گسلهای موجود در این دولومیت ها، کانه زایی مالاکیت و آزویریت صورت گرفته است که در زمانهای گذشته مورد بهره برداری می گرفت و آثار معدن کاری، تونلهای حفر شده و خاکریز های حاوی کانیهای مس دار در این محدوده دیده می شوند. عمق حفاریهای صورت گرفته در امتداد گسل به بیش از ۴۰ متر می رسد. این محل نزد مردم محلی بنام غار کفتاری معروف است. عکسهای شماره (۸-۴) الی (۱۱-۴) تصاویری از این محل را نشان می دهد.



عکس شماره (۸-۴) - دور نمای معدن مس غار کفتاری، همانطور که در این شکل مشاهده می شود کانه زایی در کنタکت سنگهای دولومیتی با سنگهای آتشفسانی آندزیتی صورت گرفته است. دپوی ماده معدنی در جلو دهانه غار دیده می شود. لازم بذکر است نام غار صرفاً اصطلاحی است که افراد بومی به این محل داده اند. حفريات صورت گرفته در این محل، جهت دستیابی به سنگهای مس دار انجام شده است.

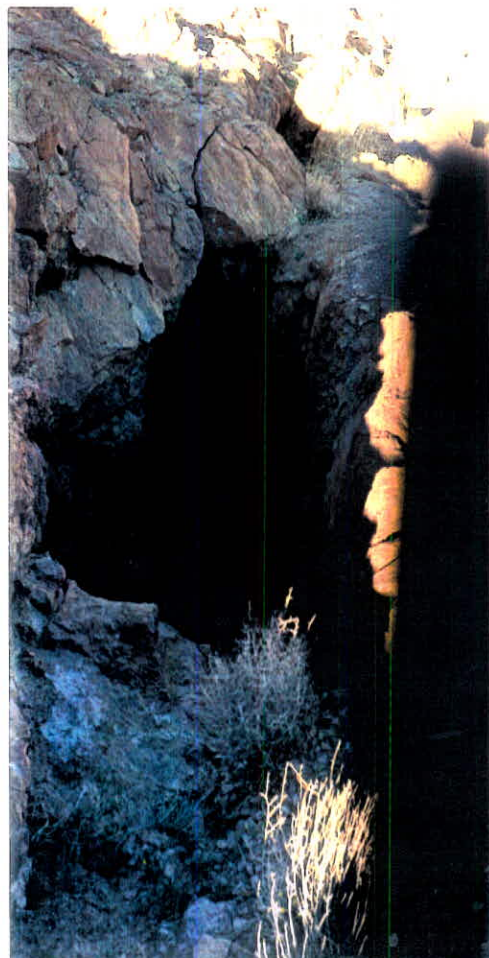


عکس شماره (۹-۴) - تصویری از دهانه غار کفتاری، در این محل آثار حفاری و برداشت ماده معدنی به وضوح دیده می شود.



عکس شماره (۱۰-۴)- در این تصویر آثار حفر ماده معدنی در امتداد گسل مشاهده می شود.  
این حفریات در دامنه شرقی کوه غار کفتاری صورت گرفته است.

عکس شماره (۱۱-۴) تصویری از کنتاکت بین سنگهای آهکی - دولومیتی و سنگهای آتشفسانی آندزیتی در جنوب غار کفتاری.





## فصل پنجم

# عملیات حفاری

۲-۵	طرح اکتشاف نیمه تفصیلی جیوه شوراب کاشمر فصل پنجم - عملیات حفاری	
-----	--	---

## ۵- فصل پنجم - عملیات حفاری

### ۱-۵- مقدمه

بر اساس نقشه های آنومالی حاصل از نتایج دستگاه جیوه سنج، محل تعداداً ۱۵ چاه جهت حفاری سیستماتیک مشخص گردید که از این تعداد، ۶ عدد از مناسب ترین محل ها جهت حفر چاه انتخاب گردید و سپس حفاری در نقاط مورد نظر انجام گرفت. مغزه های بدست آمده بدقیق مورد مطالعه قرار گرفتند که نتایج آنها در طول این فصل ارائه شده است. در کنار عملیات حفاری گمانه ها، چندین چاهک در اطراف هر گمانه نیز حفر گردیدند و به کمک دستگاه جیوه سنج صدھا مورد اندازه گیری صورت گرفت که نتایج آن به صورت جداول در ادامه ارائه گردید. در ضمن، در بعضی موارد، گل شوئی بمنظور دستیابی به قطرات احتمالی جیوه نیز صورت گرفت. تصاویری از این عملیات در عکسهايی که در صفحات بعد ارائه خواهند شد، دیده می شود. از مغزه های گرفته شده از هر چاه نیز تصاویری تهیه گردیده که در صفحات آتی ارائه شده اند. از مغزه های آزمایشگاه ارسال شدند. نتایج حاصل در بخش نتایج آنالیز های XRD,XRF و جذب اتمی (AAS) به متشكله مغزه ها غالباً اسلیت های سیاه و قرمز، ماسه سنگهای دگرگون شده سیاه و قرمز، تعدادی رگه ها و رگجه های سیلیسی، کمی کنگلومرا و رسوبات مارنی گچ دار سطحی می باشد. بطوريکه رسوبات مارنی و کنگلومرايی نفوذ در هنگام حفاری مشکلات عديده ای را بوجود آوردنده که از آن جمله می توان به آبخور بودن چاهها، ریزش دیواره چاهها و گیر کردن لوله ها در آنها اشاره کرد. در مطالعه و بررسی مغزه ها هیچ گونه شواهدی از کانه زایی در هیچیک از مغزه ها مشاهده نگردید، لذا نیازی به تعبیر و تفسیر خاص دیده نمی شود و فقط به ارائه چند شکل و عکس و لاجینگ مغزه ها بسته شده است.

### ۲-۵- حفاری گمانه ها

مختصات جغرافیایی چاهها در جداول شماره (۱-۵ و ۲-۵) ارائه شده اند.



موقعیت قرارگیری چاهها، بر اساس مختصات جغرافیایی آنها به طور شماتیک در شکل شماره

(۱-۵) نشان داده شده است. اطلاعات بدست آمده از مغزه ها و سایر مختصات آنها بصورت جداول

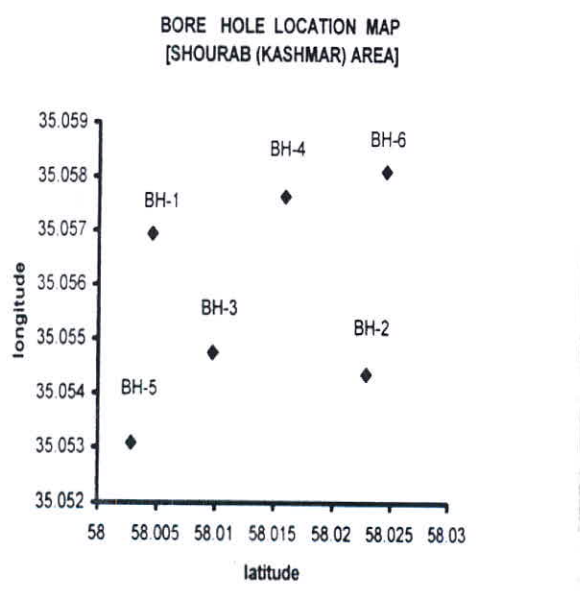
در طول فصل ارائه شد

جدول شماره (۱-۵) - مختصات جغرافیایی چاههای حفر شده

BORE HOLE NO.	longitude			latitude		
	degree	minute	second	degree	minute	second
BH-1	35	3	25	58	0	16.4
BH-2	35	3	15.7	58	1	22.2
BH-3	35	3	17.1	58	0	35.1
BH-4	35	3	27.5	58	0	57.1
BH-5	35	3	11.1	58	0	10.1
BH-6	35	3	29.2	58	1	28.1

جدول ۲-۵ - مختصات جغرافیایی محاسبه شده چاههای حفر شده.

BH. NO.	latitude	longitude
BH-1	58.00456	35.05694
BH-2	58.02283	35.05436
BH-3	58.00975	35.05475
BH-4	58.01586	35.05764
BH-5	58.00281	35.05308
BH-6	58.02447	35.05811



شکل شماره ۱-۵ - نمودار نشان دهنده موقعیت چاههای حفاری شده در منطقه شوراب کاشمر


**لاجحه حفاری گمانه شماره ۱**

BH-1

تاریخ	عمق اولیه (m)	عمق ثانویه (m)	مقدار حفاری (m)	مقدار مغذه (m)	نوع سنگ	محتونیات درزه ها	کاهش زانی	وضیعت شکستگیها	فولیا سیون	کیفیت مغذه ها
۸/۱۰/۹	0.00	0.80	0.80	0.00	چاک سطحی همراه با قطعات کوارتز نخری	-	-	-	-	بد
"	0.80	1.50	0.70	0.40	چاک رسی سلیمانی کرمی رنگ همراه با ذانه های تخریبی کوارتز و اسلیت	-	-	-	-	خوب
"	1.50	3.00	1.50	0.00	رسوبات رسی کرمی رنگ همراه با قطعات تخریبی ریز دانه کوارتز و اسلیت	-	-	-	-	بد
"	3.00	6.00	3.00	0.00	رسوبات رسی کرمی رنگ همراه با قطعات تخریبی ریز دانه کوارتز و اسلیت	-	-	-	-	بد
"	6.00	9.00	3.00	0.20	اسلیت ارغوانی رنگ همراه با چند قطعه آهک، با توجه به حفاری بعدی مغذه ها مربوط به قطعات سنگی حمل شده می باشد	-	-	-	-	بد
۸/۱۰/۱۱	9.00	10.10	1.10	0.00	اسلیت ارغوانی	-	-	-	-	بد
"	10.10	11.70	1.60	0.60	اسلیت سیاه رنگ، گاهی کمی ماسه ای	اکسید آهن و کلسیت	-	زیاد	نسبتاً خوب	بد
"	11.70	13.60	1.90	1.00	ماسه سنگ دگرگون شده سیاه رنگ- اسلیت سیاه رنگ- اسلیت متمایل به ارغوانی	اکسید آهن	-	نسبتاً زیاد	ضعیف نا متوسط	بد
"	13.60	15.20	1.60	0.60	اسلیت کمی ماسه ای متمایل به ارغوانی	اکسید آهن و سلیمان	-	زیاد	ضعیف	بد
"	15.20	16.90	1.70	0.80	۲۰- سانتیمتر اول ماسه سنگ حاکستری رنگ بقیه اسلیت و اسلیت ماسه ای حاکستری	اکسید آهن و سلیمان	-	نسبتاً زیاد	ضعیف	بد
۸/۱۰/۲۰	16.90	18.30	1.40	1.70	ماسه سنگ دگرگون شده حاکستری رنگ حاوی دانه های سیاه رنگ احتمالاً مگنتیت	اکسید آهن، کلسیت و سلیمان	-	نسبتاً کم	ضعیف	متوسط
"	18.30	19.90	1.60	0.70	ماسه سنگ دگرگون شده، حاکستری متمایل به سیز	کلسیت، اکسید مگنتیز و آهن، سلیمان	-	نسبتاً زیاد	ضعیف	متوسط
"	19.90	21.30	1.40	0.50	ماسه سنگ دگرگون شده، قرمز حاکستری همراه با رنگ های سلیمانی، رنگ های به ندرت حاوی پیریت هستند	سلیمان	-	نسبتاً زیاد	ضعیف	بد
"	21.30	22.10	0.80	0.90	اسلیت، اسلیت ماسه ای سیاه رنگ	اکسید آهن	-	زیاد	خوب	بد
"	22.10	22.90	0.80	0.80	اسلیت سیاه رنگ، اسلیت ماسه ای	اکسید آهن	-	نسبتاً زیاد	ضعیف	بد
۸/۱۰/۲۱	22.90	23.40	0.50	0.50	اسلیت ماسه ای سیاه رنگ - ماسه سنگ دگرگون شده سیاه رنگ	سلیمان	-	نسبتاً کم	ضعیف	خوب
"	23.40	24.40	1.00	0.05	اسلیت سیاه رنگ	اکسید آهن	-	زیاد	خوب	بد
"	24.40	25.20	0.80	0.50	اسلیت ماسه ای سیاه رنگ ماسه ای	اکسید آهن	-	نسبتاً زیاد	نسبتاً خوب	بد



عکس شماره (۱-۵)

- این تصاویر و

تصاویر صفحه بعد،

مغزه های حفاری

شده از چاه شماره ۲

(BH-2) را نشان

می دهد. همانطور که

در این تصاویر دیده

می شود در بخش

ابتدايی اين چاه،

سنگها دارای ترکيب

ماسه سنگي دگرگون

شده و اسليتی قرمز

هستند (تاعمق

حدود ۲۰ متری) و

سپس به اسليت و

ماسه سنگ سیاه

رنگ تبدیل گردیده

اند. اين وضعیت تا

انتها ادامه می يابد.



(ادامه عکس شماره (١-٥)



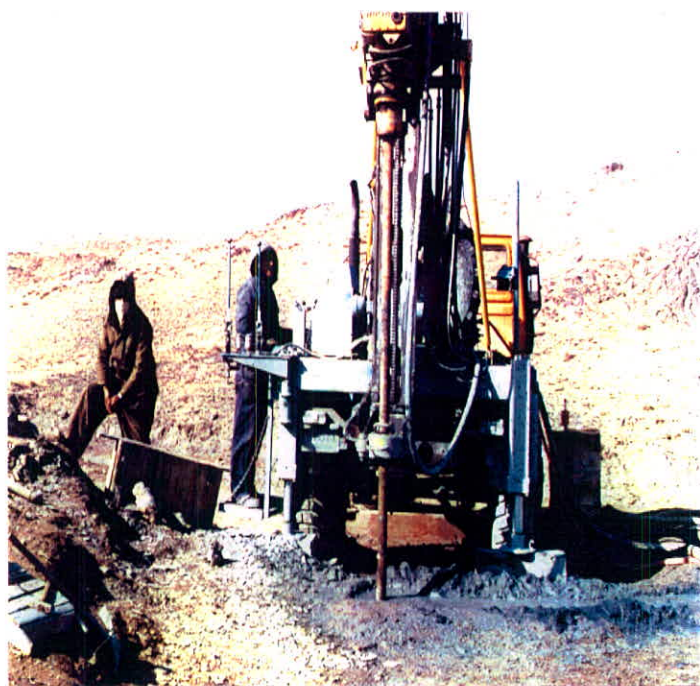

**لاگ حفاری گمانه شماره ۲**

BH-2

تاریخ	عمق (m) اولیه	عمق (m) ثانویه	مقدار حفاری (m)	مقدار مغزه (m)	نوع سنگ	محتویات درزه ها	کاله زالی	وضعیت دستگشتها	فولیاسیون	کیفیت مغزه ها
۸/۱۱/۲۹	0.00	1.80	1.80	0.30	سیمان حفاری شده، البته سنگ از ابتدا ماسه سنگ دگرگون شده قرمز بوده است	اکسید آهن	-	زیاد	-	بد
"	1.80	4.40	2.60	1.80	ماسه سنگ دگرگون شده قرمز خرد شده، همراه با لایه های سبلی	اکسید آهن، سبلیس و منکر	-	شدیداً برشی شده	-	متوسط تا بد
"	4.40	6.30	1.90	1.20	ماسه سنگ دگرگون شده قرمز نا خاکستری	اکسید آهن و سبلیس	-	۴۵,۳۰,۱۵, کم	-	خوب
"	6.30	8.50	2.20	0.70	در ۰.۵ متری به اسلیت قمز خاکستری تبدیل شده است	اکسید آهن، سبلیس و منکر	-	زیاد	خوب	بد
"	8.50	9.60	1.10	0.70	اسلیت خاکستری متعابی با قرمز، با آشتنی اکسید آهن در خط	اکسید آهن و سبلیس	-	زیاد	خوب	متوسط
"	9.60	12.60	3.00	1.10	۰-سانیمتر اول خاکستری، ماسه سنگ دگرگون شده خاکستری همراه با رگه های سبلیس	اکسید آهن و سبلیس	-	زیاد	بخش اسلینی خوب	بد
"	12.60	14.30	1.70	2.00	رگ سبلیسی همراه با درزه های بر شده توسط اکسید آهن	اکسید آهن	-	۳۰,۷۵,۹۰, کم	-	خوب
۸/۱۱/۳۰	14.30	15.60	1.30	1.30	رگ سبلیسی همراه با فطاعی از ماسه سگهای دگرگون شده قرمز رنگ	اکسید آهن	-	زیاد	-	بد
"	15.60	16.80	1.20	1.00	ماسه سنگ قرمز همراه با رگه های سبلیس	سبلیس و اکسید آهن	-	۳۰,۱۰,۹۰, کم	-	خوب
"	16.80	19.00	2.20	1.00	۲-سانیمتر اول رگ سبلیسی شروع اسلیت خاکستری	اکسید آهن و سبلیس	-	زیاد	خوب	بد تا متوسط
۸/۱۲/۱	19.00	21.20	2.20	1.40	نیم متر اول ماسه سنگ دگرگون شده سیاه رنگ و بقیه اسلیت سیاه رنگ	سبلیس	-	زیاد	خوب تا بد	خوب
"	21.20	23.40	2.20	2.00	۰-سانیمتر ماسه سنگ سیاه رنگ، بقیه متر اسلیت برشی شده سیاه رنگ و بقیه ماسه سنگ سیاه رنگ	سبلیس	-	۱۵,۶۵, کم	-	خوب
"	23.40	25.40	2.00	1.30	ماسه سنگ سیاه رنگ برشی شده-۰.۵ متری اسلینی شده	-	-	کم تا زیاد	بد تا خوب	خوب
"	25.40	27.20	1.80	1.20	۰-سانیمتر اسلیت سیاه رنگ کامل متروق	-	-	زیاد	خوب	متوسط
"	27.20	28.50	1.30	1.30	اسلیت- اسلیت ماسه ای سیاه رنگ	سبلیس	-	نسبتاً زیاد ۳۰,۴۵,۲۰,۹۰, خوب	متوسط تا خوب	خوب
"	28.50	29.70	1.20	0.90	اسلیت سیاه رنگ کاملاً متروق	-	-	زیاد، شدیداً خرد شده	خوب	متوسط
۸/۱۲/۱	29.70	30.80	1.10	1.10	ماسه سنگ دگرگون شده سیاه رنگ و اسلیت ماسه ای سیاه رنگ	-	-	نسبتاً ۷۵,۹۰, کم	ضعیف	خوب
۱۲/۲	30.80	32.00	1.20	1.20	نیم متر اول ماسه سنگ دگرگون شده سیاه رنگ و بقیه اسلیت سیاه رنگ	-	-	نسبتاً ۳۰,۸۵,۶۰, درجه	بد تا خوب	خوب
"	32.00	32.80	0.80	0.80	۰-سانیمتر اول اسلیت ماسه ای و بقیه اسلیت سیاه رنگ	-	-	زیاد	متوسط تا خوب	متوسط
"	32.80	34.00	1.20	0.70	اسلیت سیاه رنگ کامل متروق	-	-	زیاد	خوب	متوسط
۱۲/۲	34.00	35.20	1.20	1.10	اسلیت و اسلیت ماسه ای سیاه رنگ همراه با رگه های کوارتزی بپریت دار	سبلیس	پپریت	زیاد	ضعیف تا خوب	بد تا متوسط
"	35.20	37.00	1.80	0.70	اسلیت و اسلیت ماسه ای سیاه رنگ	-	-	۷۵,۲۵,۹۰, درجه	ضعیف تا خوب	بد
"	37.00	37.80	0.80	0.30	اسلیت و اسلیت ماسه ای سیاه رنگ	-	-	زیاد	ضعیف	بد



"	37.80	39.00	1.20	0.60	سلیمان	-	زیاد	خوب	سلیمان	سلیمان	سلیمان
"	39.00	40.80	1.80	0.70	سلیمان	-	زیاد، برشی شده	خوب	متوجه	متوجه	متوجه
"	40.80	41.60	0.80	0.60	سلیمان	-	زیاد	بد ناخوب	متوجه	متوجه	متوجه
"	41.60	42.60	1.00	0.80	سلیمان	-	زیاد	متوجه نا خوب	متوجه	متوجه	متوجه
۱۲۳	42.60	43.40	0.80	0.70	۲۰ سانتیمتر اول سلیمان ای سیاه رنگ، بقیه سلیمان رنگ	-	زیاد	بد ناخوب	بد	بد	بد
"	43.40	44.70	1.30	0.40	سلیمان ای و سلیمان سیاه رنگ	-	زیاد	متوجه	بد	بد	بد
"	44.70	47.70	3.00	0.60	سلیمان ای و سلیمان سیاه رنگ برشی شده (زون گحلی)	-	زیاد	خوب	سلیمان	سلیمان	سلیمان
۱۲۴	47.70	5.80	3.10	1.90	سلیمان سیاه رنگ شدیداً برشی شده همراه با رگه های کوارتزی	-	زیاد	خوب	سلیمان	سلیمان	سلیمان
"	50.80	52.10	1.30	0.80	سلیمان ای برشی شده همراه با رگه کوارتزی	-	زیاد	خوب	متوجه	متوجه	متوجه
"	52.10	53.40	1.30	1.30	سلیمان ای برشی شده	-	۴۵.۹۰-۵۵.۵ درجه	متوجه نا خوب	خوب	خوب	خوب
"	53.40	55.20	1.80	0.70	سلیمان ماسه سگ و سلیمان سیاه رنگ برشی شده همراه با رگه های کوارتزی	-	زیاد	متوجه نا خوب	خوب	خوب	خوب
"	55.20	57.00	1.80	1.10	سلیمان سیاه رنگ برشی شده همراه با رگه های کوارتزی	-	زیاد	خوب	متوجه	متوجه	متوجه
۱۲۵	57.00	58.90	1.90	1.20	سلیمان ای سیاه رنگ برشی شده پیریت دار	پیریت همراه با رگه های کوارتز	زیاد	ضعیف	خوب	خوب	خوب
"	58.90	60.50	1.60	0.50	سلیمان سلیمان ای سیاه رنگ برشی شده	-	زیاد	خوب	متوجه	خوب	خوب
"	60.50	52.10	1.60	0.80	سلیمان سیاه رنگ برشی شده	-	زیاد	متوجه	خوب	خوب	خوب
"	62.10	63.60	1.50	0.40	سلیمان ای سیاه رنگ همراه با رگه کلیست	کلیست	-	ضعیف	بد	بد	بد
"	63.60	66.50	2.90	0.60	سلیمان شدیداً برشی شده سیاه رنگ	سلیمان	-	خوب	بد	بد	بد
"	66.50	69.60	3.10	1.30	سلیمان سیاه رنگ پیریت دار	سلیمان	پیریت	خوب	بد	بد	بد
"	69.60	70.70	1.10	0.60	سلیمان ای سیاه رنگ، حاوی رگه های کوارتزی	سلیمان	-	متوجه	بد	بد	بد
"	70.70	73.70	3.00	1.30	سلیمان ماسه سگ دیگرگون شده سیاه رنگ و سلیمان سیاه رنگ	سلیمان	-	متوجه نا زیاد	متوجه نا خوب	متوجه	متوجه
"	73.70	76.40	2.70	0.60	سلیمان شدیداً خرد شده (مترون)	-	خیلی زیاد	خوب	بد	بد	بد
"	76.40	79.00	2.60	0.60	سلیمان سیاه رنگ همراه با رگه های کوارتزی	سلیمان	-	زیاد	خوب	متوجه	متوجه
"	79.00	81.10	2.10	0.20	سلیمان سیاه رنگ رگه های کوارتزی	سلیمان	-	زیاد	خوب	بد	بد
"	81.10	82.40	1.30	0.15	سلیمان ای سیاه رنگ	-	زیاد	خوب	بد	بد	بد



عکس شماره (۲-۵) -

تصویری از عملیات حفاری  
در محل ۳. در انر  
خردشگی زیاد اسلیت ها،  
مقادیر زیادی از سنگ  
حفاری شده به صورت خرد  
شده همراه آب بالا می آید.



عکس شماره (۳-۵) - تصویر چند جعبه از مغزه های چاه شماره ۳، به حضور غالب اسلیت، اسلیت ماسه ای و ماسه

سنگ سیاه رنگ در این مغزه ها دقت شود. مغزه ها غالبا خرد شده، متورق و بازدهی مغزه کم می باشد.


**لاگ حفاری گمانه شماره ۳**

BH-3

تاریخ	عمق اوایله (m)	عمق ثانویه (m)	مقدار حفاری (m)	مقدار بفرزه (m)	نوع سنج	محتویات درزه ها	کانه زانی	وضعیت شکستگیها	فولیاپسیون	کیفیت مفرزه ها
۸۰/۱۰/۲۴	0.00	1.40	1.40	0.60	اسلیت سیاه رنگ دارای فولیاپسیون که به سمت اعماق بیشتر، کمی ماسه سنگی شده است	کمی اکسید آهن	-	۸۵، ۷۰ درجه نسبت به محور مفرزه	۱۰ درجه نسبت به محور مفرزه	بد تانسیتا خوب
"	1.40	2.50	1.10	0.70	اسلیت سیاه رنگ، شدیداً دگرانش شده، همراه با مقادیر کمی لمینیت	کمی اکسید آهن	-	پسیار زیاد و متلاشی شده	خوب و باز	پسیار بد
"	2.50	3.00	0.50	0.50	اسلیت سیاه رنگ کمی ماسه ای	رگه های سلیسی و کمی اکسید آهن	-	۷۰ درجه	۴۵ درجه	خوب
۸۰/۱۰/۲۵	3.00	4.20	1.20	1.20	اسلیت سیاه رنگ ایندا (۰- آسانتمتر) کمی ماسه ای و سپس اسلیت سست و متورق	کمی اکسید آهن	-	شکستگی زیاد، ۶۰، ۴۰ درجه	۰- آسانتمتر اول ضعیف در بقیه باز	۰- آسانتمتر اول خوب و بقیه بد
"	4.20	5.20	1.00	0.70	ایندا کمی اسلیت ماسه سنگی و سپس اسلیت کامل خرد شده	کمی اکسید آهن	-	شدیداً خرد شده	۷۰ درجه نسبتاً محور مفرزه	آسنتر اول خوب و بقیه بد
"	5.20	5.90	0.70	0.70	اسلیت کمی ماسه ای، به سختی متورق می شود، نسبتاً سخت ولی خرد شده	کمی اکسید آهن و سلیسی	-	۸۵، ۴۵ درجه نسبتاً به محور مفرزه	ضعیف	نسبتاً خوب
۸۰/۱۰/۲۶	5.90	6.90	1.00	۰- آسانتمتر اول اسلیت ماسه ای با رگجه های اکسید آهن و سلیسی و بقیه اسلیت شدیداً خرد شده	کمی اکسید آهن و سلیسی	-	زیاد، ۸۵.۰ درجه	ضعیف تا خوب	شدیداً خرد شده	شدیداً خرد شده
"	6.90	7.40	0.50	0.50	۰- آسانتمتر اول اسلیت کمی ماسه ای، بقیه اسلیت سست و خرد شده	رگجه های کلسیتی زیاد ان اشلان	-	زیاد ۷۰ درجه	خوب تا ضعیف	۰- آسانتمتر اول خوب و بقیه خرد شده
"	7.40	8.30	0.90	0.90	اسلیت ماسه سنگی دارای رگجه های کلسیتی	کلسیت ان اشلان و سلیسی	-	زیاد ۶۰،۴۵۱۸۰	ضعیف درجه	نسبتاً خرد شده
۸۰/۱۰/۲۶	8.30	9.00	0.70	0.70	اسلیت سیاه رنگ، دارای تورق خوب و کمی رگجه های سلیسی و کلسیتی	کمی رگجه های کلسیتی و سلیسی	-	زیاد ۷۰ درجه	خوب ۸۵	شدیداً خرد شده
"	9.00	10.20	1.20	1.20	اسلیت ماسه ای سیاه رنگ نسبتاً سخت (۰- آسانتمتر اول) بقیه اسلیت خرد شده	رگجه های کلسیتی و سلیسی	-	۶، سانتمتر اول کم ۴۵۸۰ درجه بقیه شدیداً خرد شده	۶، سانتمتر اول ضعیف و بقیه خوب	۶، سانتمتر اول خوب، بقیه متوسط ناضعیت
"	10.20	12.20	2.00	0.70	۰- آسانتمتر اول اسلیت ماسه ای با رگجه های سلیسی و کلسیتی بقیه اسلیت خرد شده	رگجه های سلیسی و کلسیتی	-		ضعیف تا خوب	نسبتاً خوب



						رگچه های کلستینی و سیلیسی نیسترنیاد	-	۸۰-۳۰-۱۵ ۷۵ زیاد	ضعیف تا خوب	نسبتاً خوب شده
"	12.20	13.90	1.70	0.50	اسلیت سیاه رنگ حاوی رگچه های کلستینی	رگچه های کلستینی و سیلیسی نیسترنیاد	-	۸۰-۳۰-۱۵ ۷۵ زیاد	ضعیف تا خوب	نسبتاً خوب شده
"	13.90	15.20	1.30	0.50	اسلیت سیاه رنگ شدید خرد شده	رگچه های سیلار کم سیلیسی و کلستینی	-	زیاد نمونه متالاستی	ضعیف تا خوب	شدیداً خرد شده
۸۰/۱۰/۲۷	15.20	16.20	1.00	0.7	اسلیت سیاه رنگ، شدیداً متورق و سست چند سانیتیر اولیه شدیداً خرد شده	رگچه های ریز و نسبتاً زیاد سیلیسی و کلستینی	-	متوسط نایاب درجه	بارز، موازی سطوح شکست	نسبتاً خوب ولی شدیداً خرد شده
"	16.20	17.60	1.40	0.40	اسلیت سیاه رنگ شدیداً خرد شده	پندرت رگچه کلستینی	-	بسعدت خرد شده	- خوب- بارز ۸۰ درجه	شدیداً خرد شده و متالاستی
"	17.60	18.30	0.70	0.50	اسلیت سیاه رنگ خرد شده با تعنادی رگچه های کلستینی و سیلیسی	رگچه های ریز کلستینی و سیلیسی	-	خرد ۷۵ درجه	خوب موازی درجه	نسبتاً خرد شده
"	18.30	19.80	1.50	0.40	اسلیت شدیداً خرد شده	-	-	۸۰ زیاد درجه	خوب ۸۰ تا درجه	شدیداً خرد شده
"	19.80	21.10	1.30	0.40	اسلیت شدیداً خرد شده - سیاه رنگ - مقدار کمی درزه های سیلیسی	درزه های کلستینی	-	زیاد ۶۰ درجه	خوب ۶۰ درجه	شدیداً خرد شده
۸۰/۱۰/۲۷	21.10	21.60	0.50	0.50	ابتدا ۲۰ سانیتیر اسلیت کمی ماسه ای - سیس اسلیت شدیداً خرد شده	-	-	زیاد ۶ درجه	-	۲۰ سانیتیر اول خرد شده، بقیه شدیداً خرد شده
"	21.60	22.60	1.0	0.60	اسلیت سیاه رنگ	-	-	۶۰ زیاد درجه	خوب، بارز درجه	سبتاً خوب، بقیه کاملآ خرد شده
"	22.60	23.40	0.80	0.60	۳۰ سانیتیر اول اسلیت ماسه ای، بقیه اسلیت شدیداً خرد شده	سیلیسی و کلستینی	-	بخش اول سانیتیر اول بقیه شدیداً خرد شده	بخش اول ضیف و بخش دوم خوب	۳۰ سانیتیر اول خوب، بقیه شدیداً خرد شده
۱۰۴۸	23.40	24.50	1.10	0.60	اسلیت ماسه ای، با رگچه های سیلیسی و کلستینی نادر	سیلیسی و کلستینی	-	۸۰-۴۵ زیاد درجه	خوب ۶۳ درجه	سبتاً خوب قطعات خرد شده
"	24.50	26.00	1.50	0.5	اسلیت سیاه رنگ شدیداً خرد شده و پندرت رگه های سیلیسی	سیلیسی به مقدار کم	-	۶۵-۱۵ زیاد درجه	خوب ۶۱ درجه	بد شدیداً خرد شده
"	26.00	27.50	1.50	0.00	به علت خرد شدگی بیش از حد، مغزه بدست نیامد	سیلیسی	-	-	خوب	بد شدیداً خرد شده
۸۰/۱۰/۲۸	27.50	30.50	3.00	0.50	اسلیت سیاه رنگ که در بعضی از قطعات حاوی پهربیت می باشد رگه های سیلیسی	رگچه های سیلیسی برش اسلیتی همراه با سیلیسی	پهربیت	زیاد	ضعیف تا خوب ۶ درجه	در بخش اسلیت ماسه ای سبتاً خوب و در بقیه سیلار بد خرد شده
"	30.50	32.00	1.50	0.50	اسلیت ماسه ای همراه با رگه های سیلیسی و اسلیت کاملآ متورق خرد شده	-	-	۹۰-۶۵-۷۵ زیاد درجه	-	-
"	32.00	33.50	1.50	0.00	به علت خرد شدگی بیش از حد، مغزه بدست نیامد	-	-	-	-	-
۸۰/۱۰/۲۹	33.50	36.50	3.00	0.00	به علت خرد شدگی بیش از حد، مغزه بدست نیامد	-	-	خوب ۶ زیاد	شدگی زیاد	-



	36.50	37.80	1.30	00	به علت خرد شدگی بیش از حد، مفرغه بدست نیایند	-	-	خود شدگی زیاد	-	-
	37.80	38.80	1.00	0.10	فقط ۱۰ استانیمتر اسلیت کاملاً متورق بدست آمده و چند قطعه اسلیت	-	-	خود شدگی زیاد	-	-
"	38.80	39.80	1.00	0.00	مفرغه بدست نیایند	-	-	خود شدگی زیاد	-	-
"	39.80	41.50	1.75	0.75	اسلیت کاملاً متورق سیاه رنگ - حاوی ریگجه های سبیسی - کلینی - به صورت توده گلی غلیظه	سبلیس و کلینت	پیرینت همراه با ریگجه های سبیسی	کم ۱۵.۹۳ درجه	کاملاً متورق	شکستگی که مفرغه به صورت گل غلیظه یک توده می باشد
A/10/۳*	41.50	43.00	1.50	0.00	مفرغه گرفته نشد	-	-	-	-	-
A/10/۴*	43.00	46.00	3.00	0.00	مفرغه گرفته نشد	-	-	-	-	-
"	46.00	49.00	3.00	0.75	اسلیت کاملاً متورق واحد کینگ بلند - فاقد ریگجه	-	-	ریاد، نمونه کاملاً خود شده قابل اندازه گیری نیست	عالی ۹۰.۷۸ درجه نسبت به الق	کاملاً خود شده، بد
"	46.00	51.80	2.80	1.00	اسلیت سیاه رنگ ، کاملاً متورق خرد شده	-	-	۹۵.۹ درجه ۱۳	فولیلیسون خوب، بد	کاملاً خود شده، بد
"	51.80	53.50	1.70	1.10	اسلیت سیاه رنگ ، کاملاً متورق خرد شده	-	-	۹۰.۷ درجه	خوب، بد	کاملاً خود شده، بد
"	53.50	55.30	1.80	0.30	اسلیت سیاه رنگ ، کاملاً متورق همراه با دانه های پراکنده سبلیس	-	-	ریاد	خوب، باری	کاملاً خود شده، بد
A/11/۱	55.30	58.20	2.90	0.90	اسلیت سیاه رنگ ، کاملاً متورق خرد شده	-	-	ریاد	خوب، بد	کاملاً خود شده، بد
"	58.20	60.50	2.30	0.40	اسلیت سیاه رنگ ، کاملاً متورق خرد شده	-	-	ریاد	خوب، ۹۰ درجه	کاملاً خود شده


**لاگ حفاری گمانه شماره ۴**

BH-4

تاریخ	عمق اولیه (m)	عمق ثانویه (m)	مقدار حفاری (m)	مقدار مغذه (m)	نوع سنگ	محبوبات درزه ها	کانه زائی	وضعیت شکستگیها	فولیاسیون	کیفیت مغذه ها
۸۰/۱۱/۲	0.00	3.00	3.00	0.30	خاک، گچ خاکی و مغذه بدبست آمده کنگلومرای بلی زینتیک کوارتزی کوارتزی	-	-	کم	-	بد
"	3.00	4.30	1.30	0.30	چند قطعه سنگ کوارتزی و پنج سانتیمتر کنگلومرای بلی زینتیک کوارتزی و اربزه های اطراف دهانه چاه نیز کوارتزی، شیستی و ماهی سنگی دگرگون شده هستند، حفاری نسبتاً خوب و روان صورت می گیرد	-	-	-	-	بد، سست
"	4.30	5.10	0.80	0.20	قلوه های کوارتزی، ماشه سنگی دگرگون شده و قطعات اهکی نایپوسته	-	-	نموده سست	-	بد، سست
"	5.10	6.00	0.90	0.50	کنگلومرای بلی زینتیک دارای قطعات کوارتزی و اسلیتی و چند قطعه سنگ دگرگونی	-	-	کم	-	خوب، مقاوم ولی چند قطعه های
"	6.00	6.80	0.80	0.65	قطعات اهکی و سیلسنیتی قرمز و نارنجی رنگ و قطعات کوارتزی	-	-	کم	-	خوب، مغذه های بروط به قطعه سنگی اهکی و سیلسنیتی خوب هستند
"	6.80	7.70	0.90	0.40	قطعات کنگلومرای کوارتزی - قطعات اهکی، قطعات ماشه سنگ دگرگون شده قرمز - یک قطعه مغذه بزرگ آهک کرم رنگ همراه با کلستیت و آهن	اکسید آهن و کلستیت	زیاد، چاه آبخوری دارد	-	-	نسبتاً خوب
۸۰/۱۱/۳	7.70	9.00	1.30	1.05	۳۰- سانتیمتر اول ماشه سنگ و سیلسنیت دگرگون شده قرمز رنگ - بقیه اسلیت شده	اکسید آهن	-	۹۰-۹۵ کم درجه	نسبتاً خوب نقریباً فالم	خوب مغذه های نسبتاً سالم
"	9.00	11.40	2.40	0.30	اسلیت قرمز رنگ کاملاً متورق خرد شونده، قسمت انتهای ماشه سنگ دگرگون شده قرمز	اکسید آهن	-	۴۵- زیاد درجه	خوب نقریباً درجه ۹۰	بد
۸۰/۱۱/۴	11.40	12.60	1.20	0.00	منظره گرفته شد (با توجه به قطعه ای که در مرحله بعدی گرفته شد سنگ از نوع کنگلومراست)	-	-	-	-	-
"	12.60	15.00	2.40	0.05	فقط چند قطعه سنگ ماشه سنگی دگرگون شده و کوارتزی	-	-	نامعلوم است	-	بد
"	15.00	18.00	3.00	0.25	چند قطعه سنگ دگرگون شده، اسلیت، کمی رس	-	-	نامعلوم است	-	بد
۸۰/۱۱/۵	18.00	21.10	3.10	2.50	اسلیت سیاه رنگ - کمی ماشه ای	اکسید آهن	-	نسبتاً زیاد	نسبتاً خوب	متوسط خوب
"	21.10	23.10	2.00	0.50	اسلیت ارغوانی متعابیل به خاکستری	-	-	خیلی خوب	-	بد
۸۰/۱۱/۶	23.10	24.20	1.10	0.05	با توجه به مرحله بعدی سنگ از نوع اسلیت ارغوانی متعابیل به خاکستری	-	-	خیلی زیاد	نامعلوم	بد
"	24.20	24.40	1.20	0.7	اسلیت ارغوانی متعابیل به خاکستری اغشته به اکسید منگنز	اکسید آهن	-	نسبتاً زیاد	نسبتاً خوب	متوسط
"	24.40	27.60	2.20	1.50	اسلیت ارغوانی متعابیل به خاکستری - از ۳۷- متری اسلیت سیاه رنگ	اکسید آهن + منگنز	-	نسبتاً زیاد	نسبتاً خوب	بد
"	27.60	29.40	1.80	1.00	اسلیت سیاه رنگ	اکسید آهن	-	خوب	خوب	بد
"	29.40	30.60	1.20	0.27	اسلیت سیاه رنگ	اکسید آهن	-	خیلی زیاد	خوب	بد
۸۰/۱۱/۷	30.60	33.60	3.00	1.30	اسلیت سیاه رنگ	لیموپیت - کلستیت	کم تا زیاد	خوب	خوب	متوسط
"	33.60	35.60	2.00	1.30	اسلیت سیاه رنگ متورق	اکسید آهن	-	۶۵-۹۰ زیاد درجه	خوب	بد
"	35.60	36.70	1.10	0.40	اسلیت سیاه رنگ، کمی ماشه ای همراه با رگه های کوارتز	اکسید آهن - سیلسن	پیزیت	زیاد	متوسط	بد
۱۱/۱۴	36.70	38.20	1.50	0.55	اسلیت سیاه رنگ کاملاً متورق	-	-	نسبتاً کم	خوب	متوسط
"	38.20	39.20	1.00	0.30	اسلیت سیاه رنگ کاملاً متورق	-	-	نسبتاً زیاد	خیلی خوب	بد



عکس شماره (۴-۵) - تصاویر مغزه های به دست آمده از چاه شماره ۵ (B H-5)، همانطور که در این تصویر مشاهده می شود . بخش اعظم مغزه ها شدیداً خرد شده و در نتیجه مغزه ها به صورت کاتینگ همراه آب بالا آمده و در کنار چاه تجمع پیدا کرده است و یا اینکه در لوله های حفاری جمع شده و بر روی دیواره های آن اجتماع حاصل می کند، در هر حال هفت متر اول رسوبات کواترنر و رسوبات کنگلومرایی نشون می باشند و بقیه اسلیت و اسلیت ماسه ای سیاه رنگ می باشد.

**لاغ حفاری گمانه شماره ۵**
**H-5**

تاریخ	عمق (m) اولیه	عمق (m) ثانویه	مقدار (m) حفاری	مقدار (m) غفره	نوع سنگ	محتونات درزه ها	کانه زانی	وصیت شکستهها	فولیاپسیون	کیفیت غفره ها
۸۰/۱۲/۷	0.0	3.00	3.00	0.10	رسوبات مازنی کرمی رنگ	-	-	-	-	بد
"	3.00	6.00	3.00	0.10	چند قطعه سنگ ماسه سنگی دگرگون شده، کوارتزی (واحد کنگلومرای)	-	-	-	-	بد
"	6.00	9.00	3.00	00	چند قطعه سنگ ماسه سنگی دگرگون شده، کوارتزی (واحد کنگلومرای)	اکسید آهن	-	زیاد	خوب	بد
"	9.00	12.00	3.00	0.60	چند سانتیمتر اول، چند قطعه سنگ کوارتزی، ماسه سنگی دگرگون شده بقیه اسلیت سیاه رنگ با آخششی به اکسید آهن	اکسید آهن	-	زیاد	خوب	بد
"	12.00	15.00	3.00	0.70	اسلیت ماسه ای سیاه رنگ با آخششی به اکسید آهن	اکسید آهن	-	نسبتاً زیاد	خوب	متوسط
۸۰/۱۲/۸	15.00	18.00	3.00	0.20	اسلیت ماسه ای، اسلیت سیاه رنگ	-	-	زیاد	ضعیف تا خوب	بد
"	18.00	19.50	1.50	0.40	اسلیت سیاه رنگ کامل استورق	-	-	زیاد	خوب	بد
"	19.50	22.50	3.00	00	اسلیت سیاه رنگ	-	-	زیاد	خوب	بد
"	22.50	24.40	1.90	0.0	اسلیت سیاه رنگ	-	-	زیاد	خوب	بد
"	24.40	27.40	3.00	0.0	اسلیت سیاه رنگ	-	-	زیاد	خوب	بد
"	27.40	30.50	3.10	0.0	اسلیت سیاه رنگ	-	-	زیاد	خوب	بد
"	30.50	33.50	3.00	0.20	اسلیت سیاه رنگ	-	-	زیاد	خوب	بد
۸۰/۱۲/۹	33.50	36.50	3.00	0.80	اسلیت سیاه رنگ	سیلیس - اکسید آهن	-	دارای حالت حمدیری	ضعیف تا خوب	متوسط
"	39.50	42.50	3.00	0.20	ماسه سنگ دگرگون شده سیاه رنگ - اسلیت سیاه رنگ	سیلیس - اکسید آهن	-	زیاد	ضعیف تا خوب	بد
"	42.50	45.50	3.00	0.20	اسلیت سیاه رنگ	-	-	زیاد	ضعیف تا خوب	بد
"	45.50	48.50	3.00	0.00	اسلیت سیاه رنگ	-	-	زیاد	ضعیف تا خوب	بد
۸۰/۱۲/۱۰	48.50	50.00	1.50	0.00	اسلیت سیاه رنگ	-	-	زیاد	ضعیف تا خوب	بد
"	50.00	51.30	1.30	0.00	اسلیت سیاه رنگ	-	-	زیاد	ضعیف تا خوب	بد
"	51.30	52.50	1.20	0.0	اسلیت سیاه رنگ	-	-	زیاد	ضعیف تا خوب	بد
۸۰/۱۲/۱۱	52.50	54.00	1.50	0.0	اسلیت سیاه رنگ	-	-	زیاد	ضعیف تا خوب	-
"	54.00	55.70	1.70	0.0	اسلیت سیاه رنگ	-	-	زیاد	ضعیف تا خوب	بد
"	57.70	57.70	2.00	0.0	اسلیت سیاه رنگ	-	-	زیاد	ضعیف تا خوب	بد



عکس شماره (۵-۵)

تصاویر مغزه های بدست

آمده از چاه شماره ۶

در این چاه تا حدود ۱۲

متری، رسوبات گچ دار و

رسوبات کنگلومراپی

نشوز وجود داند و

سپس سنگ های

اسلیتی کرمی، قرمزو

سیاه رنگ همراه با

مقادیری اسلیت ماسه

ای و ماسه سنگ یافت

می شوند. کانه زایی

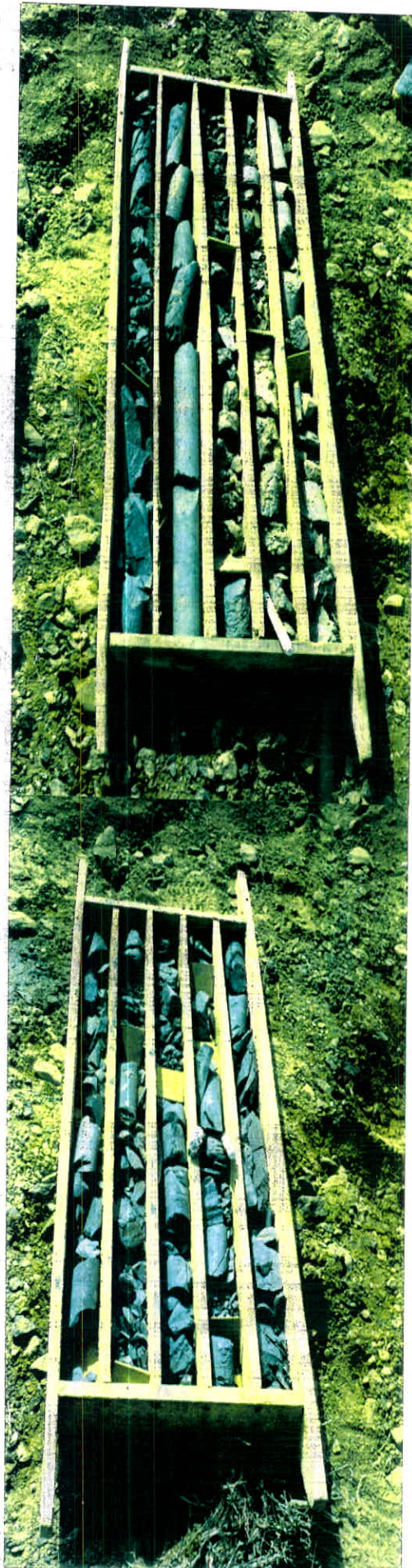
جیوه در مغزه های

بدست آمده مشاهده

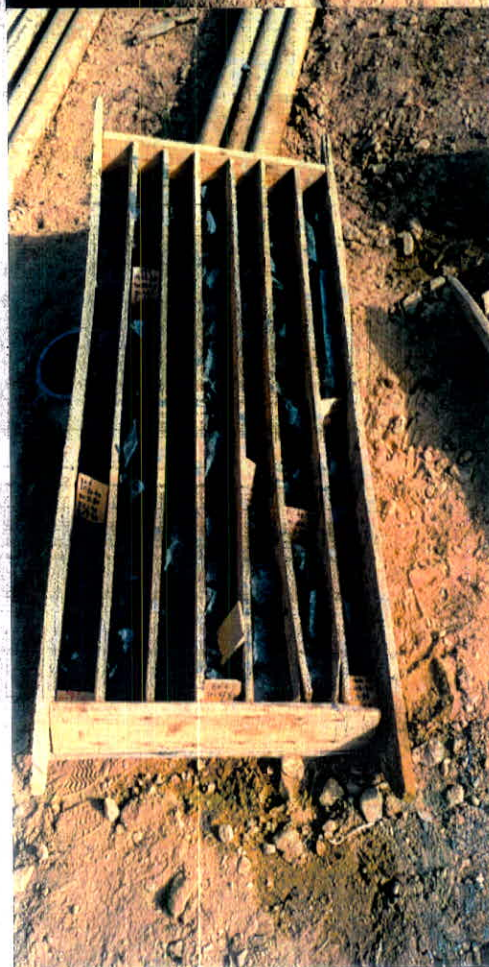
نشد.

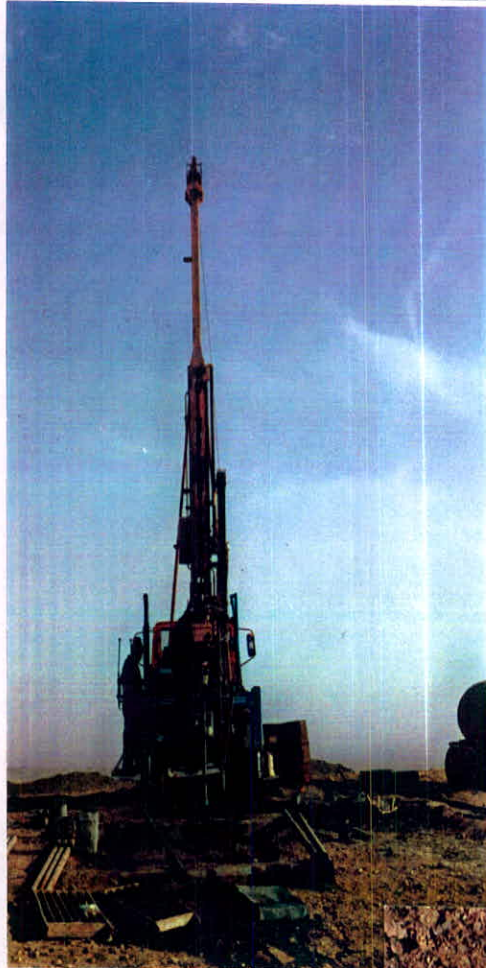


ادامه عکس شماره (۵-۵)



ادامه عکس شماره (۵-۵)

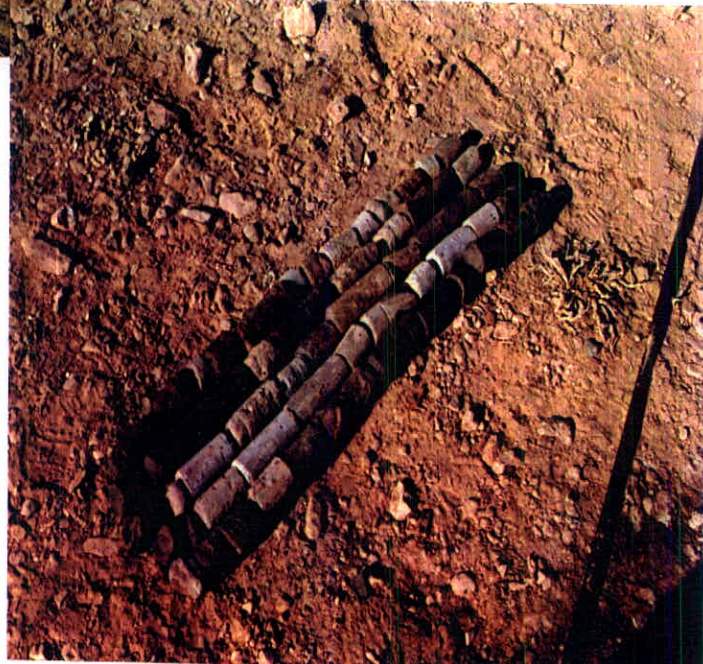




عکس شماره (۶-۵) - در این

تصاویر سایت حفاری چاه

شماره ۶ دیده می شود.



عکس شماره (۷-۵) - مفره های سیمانی حفاری در چاه شماره ۶، دیده می شود. لازم به ذکر است جهت مهار

آبخوری چاه در چند متر اول، چاه کاملاً با سیمان پر شد و سپس حفاری گردید، بدین صورت آبخوری چاه مهار

شد و حفاری ادامه یافت.

**لاگ حفاری گمانه شماره ۶**

BH- 6

تاریخ	عمر اولیه (m)	عمر ثانویه (m)	مقدار حفاری (m)	مقدار مغزه (m)	نوع سنگ	محتویات درزه ها	کانه زانی	وضعیت شکستگیها	فولیاسیون	کیفیت مغزه ها
۸۰/۱۱/۱۶	0.00	2.80	2.80	0.20	چند قطعه ماسه سنگی، چند قطعه سنگ اهکی	کلسیت و سیلیس	-	به علت کنگلومرایی مومن وضعیت شکستگی را نهن نوان مشخص کرد	-	متسط
"	2.80	4.30	1.50	0.80	۳۰- سانتیمتر اول توده شنی تایپوسته است همراه قلوه سنگهای اهکی و ماسه سنگی بقیه مغزه اهکی سبید رنگ و مقداری ماسه سنگ دگرگون شده قمرز	-	-	-	-	متسط
"	4.30	5.80	1.50	0.50	قطعات اهکی سیاه رنگ	-	-	نامعلوم	-	بد
"	5.80	6.20	0.40	0.15	چند قطعه سنگ کولرتری، اهکی و ماسه سنگی دگرگون شده	کلسیت	-	عمود بر محور مغزه	-	بد
"	6.20	6.50	0.30	0.18	کنگلومرایی پلی زنتیک دانه متسط با سیمانی از گل رسی	فضاهاي خالی تا اندازه اي نوسط کلسیت پر شده است	-	عمود بر محور مغزه	-	بد داری تخلخل زیاد
۸۰/۱۱/۱۷	6.50	6.70	0.20	0.15	کنگلومرایی - برشی حلوی قطعات اسلیستی خاکستری منتابل به سر، اسلیتهای قمرز رنگ و ماسه سنگ و سیلانشون دگرگون شده	کلسیت	-	عمود بر محور مغزه -۳۰ درجه	-	خوب - تخلخل سیار زیاد - دارای غرفات زیاد مرتبه با هم
"	6.70	8.40	1.70	1.50	کنگلومرایی برشی دانه درشت با قطعاتی از اسلیتهای قمرز	کلسیت در امتداد خفرات و در جانی که فضای خالی وجود داشته به صورت مبتلور ظاهر شده است	-	عمود بر محور مغزه	-	خوب - تخلخل سیار زیاد - دارای خفات زیاد مرتبه با هم
۸۰/۱۱/۱۷	8.40	9.50	1.10	1.10	کنگلومرایی برشی دانه درشت نا دانه ریز پلی زنتیک با قطعاتی از اسلیست، سیلانشون، قطعات اهکی با سیمانی از کالنهای تختیری سواقلانه	کلسیت	-	عمود بر محور مغزه	-	متسط
"	9.50	10.00	0.50	0.45	مقداری کنگلومرایی پلی زنتیک با سیمان رسی و یک قطعه سنگ اهکی سیاه رنگ	-	-	نامعلوم	-	بد
۸۰/۱۱/۱۸	10.00	10.80	0.80	0.70	کنگلومرایی پلی زنتیک، همراه با قطعات اهکی و سیلانشون	-	-	نامعلوم	-	بد
"	10.80	11.30	0.50	0.05	کنگلومرایی پلی زنتیک، همراه با قطعات اهکی و سیلانشون و ماسه سنگ دگرگون شده	-	-	نامعلوم	-	بد
"	11.30	12.80	1.50	0.40	۲۰- سانتیمتر اسلیست همراه با قطعات کوارتز تعریب شده ۲۰- سانتیمتر بخشی از رگ های کوارتری همراه با سیلانشون قمرز دگرگون شده است	سیلیس و اکسید آهن	-	زیاد	-	متسط

۲۱-۵	طرح اکتشاف نیمه تفصیلی جیوه شوراب کاشمر فصل پنجم - عملیات حفاری	
------	--	---

	12.80	13.80	1.00	0.15	اسلیت‌های خاکستری رنگ مابال به کرم رنگ با مقادیر کمی اکسید آهن در امتداد فولیاپیون و درزه ها	-	-	زیاد	خوب	بد (آغاز و اند اسلیتی)	
"	13.80	14.70	0.90	0.20	اسلیت کرم رنگ با مقادیر کوارتز متعاقب به رگه های کوارتزی	کرمی اکسید آهن	-	زیاد	خوب	بد	
"	14.70	16.10	1.40	0.50	اسلیت کرمی ماسه ای سیاه رنگ همراه با مقادیر کمی اکسید آهن در امتداد سطوح فولیاپیون و شکستگیها	اسکسید آهن کلسیت	-	کرم ۴۵-۳۵-۷۵ درجه	نسبتاً خوب	متوسط	
۸۰/۱۱/۲۰	16.10	16.90	0.80	0.25	اسلیت خاکستری تاکر رنگ	اسکسید آهن	-	زیاد	خوب	بد	
"	16.90	17.20	0.30	0.15	اسلیت فرمز رنگ و کرمی ماسه سنگ دگرگون شده	-	-	زیاد- خردشده	خوب	بد	
"	17.20	19.20	2.00	1.60	اسلیت سیاه رنگ کرمی متورق تا اندازه ای خرد شده- درزه ها توسط کلسیت و اکسید آهن پر شده است	کلسیت و همانیت	-	نسبتاً زیاد- ۱۵-۹۰ درجه	نسبتاً خوب	خوب	
"	19.20	20.20	1.00	0.80	اسلیت سیاه رنگ متورق همراه با مقادیر اکسید آهن بر روی سطح شکستگی ها و فولیاپیون	اسکسید آهن	-	نسبتاً زیاد- ۳۰ درجه	نسبتاً خوب	تفربیا خوب	
	19.20	20.20	1.00	0.80	اسلیت سیاه رنگ متورق همراه با مقادیر اکسید آهن در سطح شکستگی و فولیاپیون	-	-	-	-	-	
۸۰/۱۱/۲۰	20.20	21.10	0.90	0.60	ماسه سنگ دگرگون شده فرمز همراه با رگه های کوارتزی - آندکی چین خورده سیس بای کنناکتی نسبتاً شارب به ماسه سنگ دگرگون شده سیاه رنگ و اسلیت تبدیل می شود. ضخامت لایه ماسه سنگی دگرگون شده بین ۴۵-۶۰ نانومتر است در ماسه سنگ دگرگون شده رگه های بیز اکسید آهن مشاهده می شود.	سیلیس	-	نسبتاً کم، ۴۵ درجه	ضعیف	نسبتاً خوب	بد- بسیار خردشده
"	21.0	22.00	0.90	0.90	اسلیت سیاه رنگ، متورق شدیداً خرد شده	-	-	بسیار زیاد	نسبتاً خوب	بد- بسیار خردشده	
"	22.00	22.80	0.80	0.80	اسلیت سیاه رنگ که در اثر تمکر اکسید اهن بر روی سطح رنگ آن به قرمز گواییده است، رگه کوارتزی به عرض ۱۵ نانومتر	اسکسید آهن و سیلیس	-	زیاد- ۴۵ درجه	متوسط	بد	
۸۰/۱۱/۲۱	22.80	23.50	0.70	0.45	اسلیت سیاه رنگ، متماثل به کرمی شدیداً خرد شده حاوی رگه سیلیسی، همراه با مقادیر کمی سیلیس	سیلیس و اکسید آهن	-	در بخش ماسه ای کم و در بخش اسلینی	در بخش ماسه ای بسیار ضعیف، در بخش اسلینی خوب	خوب	
"	23.50	25.30	1.80	1.80	۲۰ نانومتر اول اسلیت شدیداً خرد شده، سیس بیک متورق ماسه سنگ دگرگون شده، سیاه رنگ، شبیه موز لایه بندی ۸۳ درجه، دوباره اسلینهای سیاه رنگ شدیداً خرد شده و متورق	کلسیت، سیلیس و اکسید آهن	-	در بخش ماسه ای کم و در بخش اسلینی زیاد	در بخش ماسه ای بسیار ضعیف، در بخش اسلینی خوب	خوب	
"	25.30	26.70	1.40	1.40	اسلیت و اسلیت ماسه ای سیاه رنگ از ۲۵-۴۰ نانومتر مقدار ماسه بینتر و سنگ دارای استحکام زیادتری است	کلسیت	-	در بخش ماسه ای کم و در بخش اسلینی زیاد	در بخش ماسه ای بسیار ضعیف، در بخش اسلینی خوب	خوب	



	26.70	27.60	0.90	0.80	سلب سیاه رنگ - کمی ماسه ای	اکسید آهن و کلسبت	-	نسبتاً کم، ۴۵-۵۰ درجه	ضعیف تا خوب	خوب
"	27.60	28.20	0.60	0.60	سلب سیاه رنگ کمی ماسه ای - نسبتاً منورق	-	-	نسبتاً زیاد، ۱۰-۱۵ درجه	نسبتاً خوب	متوسط
A/۱۱/۲۱	28.20	29.30	1.10	1.00	۴۰- اسانشتر اول سلب ماسه ای سیاه رنگ طبقه اسلب سیاه رنگ شدیداً خرد شده	سیلبر	-	کم تا زیاد	ضعیف تا نسبتاً خوب	خوب
"	29.30	30.10	0.80	0.70	سلب سیاه رنگ شدیداً خرد شده - به طور موصعی کمی ماسه ای	کلسبت	-	زیاد، ۷۵-۸۵ درجه	متوسط تا خوب درجه	بد
"	30.10	31.50	1.40	1.40	سلب ماسه ای سیاه رنگ	اکسید آهن	-	نسبتاً زیاد	ضعیف	خوب
A/۱۱/۲۲	31.50	32.20	0.70	0.70	سلب ماسه ای سیاه رنگ	-	پیریت	نسبتاً کم، ۴۵-۵۰ درجه	ضعیف	متوسط
"	32.20	34.30	2.10	2.10	سلب سیاه رنگ - سلب ماسه ای سیاه رنگ	سیلبر	پیریت	نسبتاً زیاد	ضعیف تا خوب	خوب تا بد
"	34.30	35.20	0.90	0.90	سلب ماسه ای سیاه رنگ (پیشتر ماسه ای)	-	-	نسبتاً کم	ضعیف	خوب
"	35.20	36.90	1.70	1.70	سلب سیاه رنگ - سلب ماسه ای نسبتاً خرد شده	-	-	نسبتاً زیاد درجه	نسبتاً خوب	متوسط
"	36.90	38.10	1.20	1.20	سلب سیاه رنگ خرد شده	سیلبر؛ کلسبت	-	خلیلی زیاد	خوب	بد
"	38.10	38.50	0.40	0.40	سلب ماسه ای سیاه رنگ	-	-	نسبتاً کم، درجه	نسبتاً خوب	خوب
"	38.50	41.50	3.00	0.40	سلب ماسه ای سیاه رنگ	-	-	نسبتاً زیاد درجه	نسبتاً خوب	بد
A/۱۱/۲۳	41.50	42.10	0.60	0.30	سلب سیاه رنگ خرد شده	-	-	خلیلی زیاد	خوب	بد
"	42.10	44.40	2.30	2.30	سلب کمی ماسه ای سیاه رنگ پیریت دار	-	پیریت	نسبتاً کم، ۹-۱۵ درجه	ضعیف تا ضعیف	خوب
"	44.40	45.30	0.90	0.50	سلب سیاه رنگ خرد شده	کلسبت	-	زیاد	خوب	بد
"	45.30	46.00	0.70	0.70	سلب سیاه رنگ خرد شده	سیلبر	-	خلیلی زیاد	خوب	بد
A/۱۱/۲۴	46.00	47.80	1.80	1.00	سلب سیاه رنگ خرد شده	سیلبر	-	زیاد	خوب	متوسط
"	47.80	49.20	1.40	1.30	سلب سیاه رنگ منورق	سیلبر	پیریت	نسبتاً خوب خلیلی زیاد	متوسط	
"	49.20	50.40	1.20	1.20	سلب سیاه رنگ حاوی لکه های خاکستری	سیلبر	-	نسبتاً زیاد	نسبتاً خوب	متوسط
"	50.40	51.80	1.40	1.40	سلب سیاه رنگ خرد شده کمی ماسه ای	سیلبر	پیریت	زیاد	ضعیف	متوسط
A/۱۱/۲۴	51.80	52.30	0.50	0.30	سلب سیاه رنگ	سیلبر	-	خلیلی زیاد	ضعیف	بد
"	52.30	53.10	0.80	0.50	سلب سیاه رنگ با خردندگی زیاد	سیلبر	-	زیاد	خوب	بد
"	53.10	53.90	0.80	0.80	سلب ماسه ای سیاه رنگ پیریت دار - بقیه سلب سیاه رنگ	سیلبر	پیریت	نسبتاً زیاد	ضعیف تا خوب	متوسط
"	53.90	56.50	2.60	1.00	سلب کمی ماسه ای سیاه رنگ حلوی دله های پرکنده پیریت به مقنار قلل توجه	سیلبر	پیریت	نسبتاً زیاد، ۷۵-۸۵ درجه	نسبتاً خوب	بد
"	56.50	57.50	1.00	0.40	سلب سیاه رنگ کم مانورق	سیلبر	-	زیاد، ۴۵ درجه	خوب	متوسط



۸۰/۱۱۷۲۵	57.50	59.10	1.60	1.40	اسلیت سیاه رنگ کاملاً منورق	سیلیس	-	زیاد	خوب	بد
"	59.10	59.90	0.80	0.20	اسلیت - اسلیت ماسه‌ای سیاه رنگ	سیلیس	-	نسبتاً زیاد	متوسط	بد
"	59.90	61.40	1.50	1.20	اسلیت سیاه رنگ کاملاً منورق	-	پریت	زیاد	خوب	بد
"	61.40	63.60	2.20	0.90	اسلیت سیاه رنگ - اسلیت ماسه‌ای سیاه رنگ	سیلیس	-	زیاد	خوب	بد
"	63.60	66.60	3.00	0.40	اسلیت ماسه‌ای سیاه رنگ	سیلیس	-	زیاد	ضعیف	بد
"	66.60	67.50	0.90	0.70	اسلیت سیاه رنگ	-	-	زیاد	ضعیف	بد
"	67.50	68.40	0.90	0.80	اسلیت سیاه رنگ	-	-	نسبتاً زیاد	خوب	متوسط
"	68.40	69.20	0.80	0.80	اسلیت سیاه رنگ پریت دار	-	پریت	زیاد	خوب	متوسط
"	62.20	70.00	0.80	0.80	اسلیت سیاه رنگ پریت دار (پریت هموار با رگ‌های کوکارتی)	سیلیس و پریت	پریت	نسبتاً زیاد	خوب	خوب
۸۰/۱۱۷۲۶	70.00	71.20	1.20	1.00	اسلیت سیاه رنگ	سیلیس	-	زیاد	خوب	متوسط
"	71.20	72.50	1.30	1.20	اسلیت ماسه‌ای سیاه رنگ	سیلیس	-	نسبتاً زیاد	ضعیف	نسبتاً خوب
"	72.50	74.10	1.60	0.50	ماسه سنگ دگرگون شده سیاه رنگ دارای امپاسیون طیف	سیلیس	پریت	زیاد	ضعیف	بد
"	74.10	75.20	1.10	1.00	اسلیت سیاه رنگ - اسلیت ماسه‌ای سیاه رنگ در بخش انتهائی به ماسه سنگ دگرگون شده تبدل شده است	سیلیس	-	زیاد	خوب	بد
"	75.20	78.20	3.00	0.50	ماسه سنگ دگرگون شده سیاه رنگ - اسلیت سیاه رنگ	سیلیس	-	زیاد	ضعیف تا خوب	بد
"	78.20	79.70	1.50	0.30	ماسه سنگ دگرگون شده سیاه رنگ - اسلیت سیاه رنگ	سیلیس	-	زیاد	ضعیف	بد
"	79.70	80.80	1.10	1.05	ماسه سنگ دگرگون شده سیاه رنگ - اسلیت سیاه رنگ	-	-	نسبتاً زیاد	ضعیف تا خوب	خوب
۸۰/۱۱۷۲۷	80.80	83.00	2.20	1.00	اسلیت ماسه‌ای - ماسه سنگ دگرگون شده سیاه رنگ	سیلیس	پریت	نسبتاً زیاد	ضعیف	متوسط
"	83.00	84.50	1.50	1.00	اسلیت - اسلیت ماسه‌ای سیاه رنگ پریت دار	سیلیس	پریت	زیاد	خوب - متوسط	متوسط
"	84.50	85.10	0.60	0.30	اسلیت ماسه‌ای سیاه رنگ	-	-	زیاد	خوب	بد

در مترمّا ۱۹/۲ الی ۲۰/۲ در سنگهای کنگلومرای این قسمت درزه‌ها و شکستگیهای قابل مشاهده در مغزه‌ها پدیده

خاصی را بازگو نمی‌کند. چون قطعات در یک محیط سیلیانی و به صورت اتفاقی و پراکنده کنار هم قرار گرفته‌اند و

قطعات ریز و درشت با ترکیبات مختلف در کنار هم یافت می‌شوند. وضعیت درزه‌ها ممکن است از قطعه‌های دیگر

کاملاً متفاوت باشند. هم چنین بازیافت مغزه‌ها بسیار نامنظم است. آبخور بودن این واحد بسیار زیاد است همانطور

که در این چاه و چاه‌های قبلی مشاهده گردید، این موضوع مشکلات زیادی را برای حفاری بوجود آورده است.

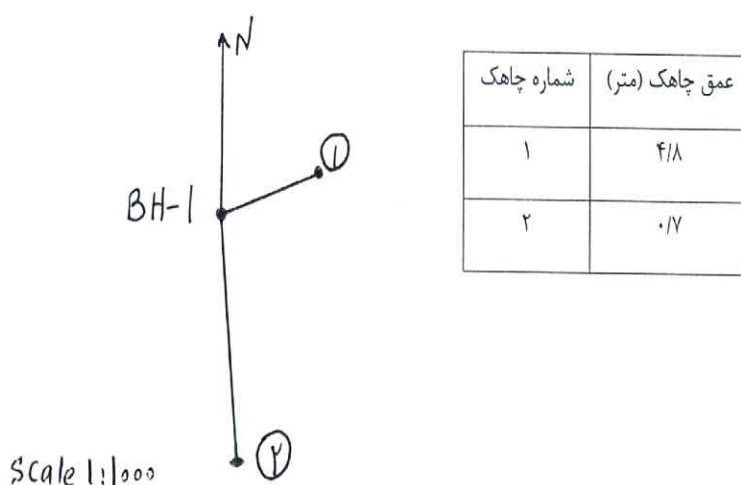


عکس شماره (۸-۵) - در تصاویر فوق بخش قابل توجهی از مغزه های حفاری شده به علت خرد شدگی زیاد، به حالت گل سیاه رنگ فضای داخلی لوله ها را پر کرده اند نشان داده است. این امر باعث می شود ورود و خروج اینتریوپ به داخل لوله ها مشکل گردد. در نتیجه پس از هر چند متر حفاری باید لوله ها را از چاه خارج نمود. آنها را تمیز کرد و دوباره حفاری را ادامه داد. در این شرایط بازدهی مغزه نیز بسیار کم می باشد. این حالت در چاه های شماره ۱، ۲، ۳، ۴ اتفاق افتاده است.

### ۳-۵- حفاری چاهک ها

در اطراف چاه شماره یک دو چاهک حفر گردیده است که وضعیت آنها نسبت به چاه شماره یک

در شکل شماره (۳-۵) نشان داده شده است:



شکل شماره (۳-۵) موقعیت قرارگیری چاهکها نسبت به چاه شماره یک

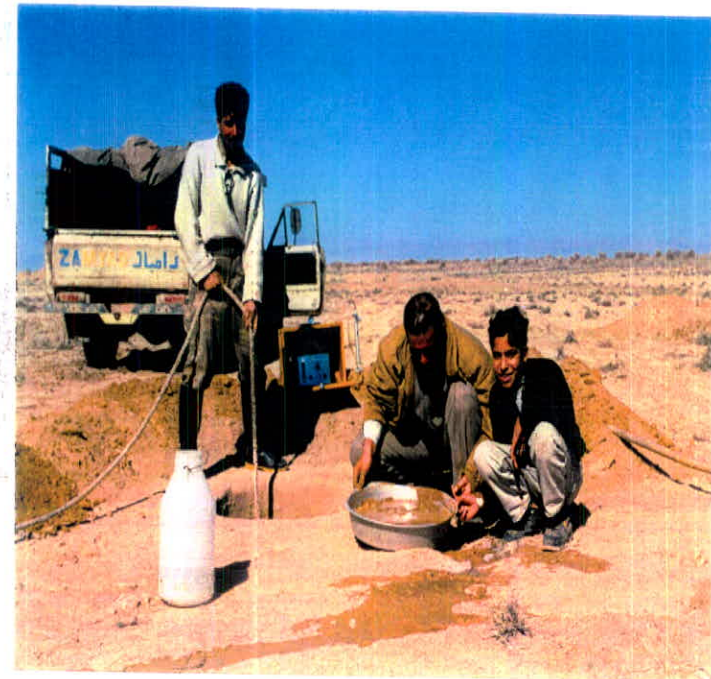
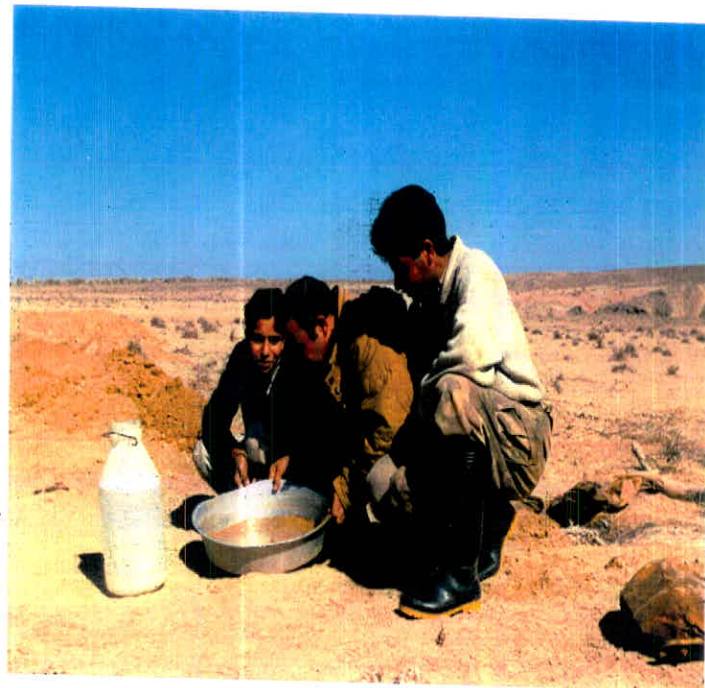
چاهک شماره یک و دو در رسوبات رسی- سیلتی آبرفتی کواترنر حفر گردیده اند، منتهی

چاه شماره دو پس از کمی حفاری به یک بستر سنگی سخت برخورد کرد که حفاری دستی آن

امکانپذیر نبود. از نمونه خاکهای چاه شماره یک، چند نمونه به صورت گل شویی مورد آزمایش

قرار گرفت، ولی هیچگونه شواهدی از وجود جیوه در آن مشاهده نشد(عکس های شماره ۹-۵ و

.( ۱۰-۵



عکس شماره (۹-۵) - تصاویری از گل شوی خاکهای خارج شده از چاهک حفر شده در نزدیکی BH-1 به منظور بررسی وجود احتمالی جیوه در رسوبات آبرفتی کواترنر، بررسی های انجام شده، شواهدی از کانه زایی جیوه ارائه نکرد. در ضمن توسط دستگاه جیوه سنج نیز بررسی هایی انجام گرفت که اعداد و ارقام بدست آمده پدیده خاصی را بازگو نمی کند.



عکس شماره (۱۰-۵) - نمایی از چاهک حفاری شده در کنار BH-۱ دیده می شود که توسط دستگاه

جیوه سنج از هوای داخل خاک خارج شده از آن نمونه گیری شد که البته نتایج بارزی به همراه نداشت.

در ضمن در حفر چاهکهای دیگر نیز که در این محل صورت گرفت، هیچگونه کانه زالی جیوه مشاهده نشد.

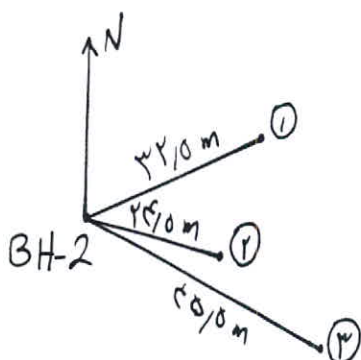
مقادیر جذب اندازه گیری شده در این محل در جدول شماره ۳-۵ ارائه شده اند.

جدول شماره (۳-۵)- مقادیر جذب اندازه گیری شده توسط دستگاه جیوه سنج

شماره نمونه	مقدار جذب ارائه شده توسط دستگاه جیوه سنج	شماره نمونه	مقدار جذب ارائه شده توسط دستگاه جیوه سنج
۱	۰/۰۴۶۴	۱۰	۰/۳۵۶۸
۲	۰/۰۶۲۱	۱۱	۰/۳۲۱۱
۳	۰/۰۰۴۹	۱۲	۰/۰۰۱۲
۴	۰/۰۰۷۷	۱۳	۰/۰۴۲۹
۵	۰/۰۶۱۷	۱۴	۰/۳۱۹۹
۶	۰/۰۴۷۱	۱۵	۰/۰۰۳۲
۷	۰/۰۵۴۲	۱۶	۰/۰۰۲۷
۸	۰/۰۴۸۲	۱۷	۰/۰۰۲۷
۹	۰/۰۰۴۸	۱۸	۰/۰۰۳۰



در اطراف چاه شماره ۲، سه چاهک حفر گردید که موقعیت آنها در شکل شماره (۳-۵) نشان داده شده است.



Scale 1:1000

شکل شماره (۳-۵) - موقعیت قرارگیری

چاهکها نسبت به چاه شماره ۲

این چاهکها در یک پوشش تخریبی از سنگهای اسلیتی حفر گردیده اند و همانطور که اعداد و ارقام عمق چاهکها نشان می دهد، پس از اندازی حفاری به سنگ بستر سخت اسلیتی رسیده اند و حفاری آنها خاتمه یافته است. در این چاهک ها هیچگونه آثار کانه زایی جیوه مشاهده نشد. مقادیر جیوه جذب شده و اندازه گیری شده در جدول شماره ۴-۵ ارائه گردیده اند.

جدول ۴-۵ - مقدار جذب ارائه شده توسط دستگاه جیوه سنج

شماره نمونه	مقدار جذب ارائه شده توسط
	دستگاه جیوه سنج
۱	۰/۰۴۳۹
۲	۰/۰۶۹۱
۳	۰/۲۶۱۹
۴	۰/۱۱۴۷
۵	۰/۰۸۳۸
۶	۰/۰۱۵۳
۷	۰/۰۷۷۰
۸	۰/۰۴۸۲
۹	۰/۰۰۷۷



مقادیر ارائه شده در جدول شماره (۴-۵) آنومالی خاصی را نشان نمی دهند. از مغزه ها و نمونه

های خرد شده (کاتینگ) بدست آمده از چاههای شماره ۳ و ۴ نیز تعدادی نمونه برای اندازه گیری

مقدار جذب مورد آزمایش قرار گرفته اند که نتایج آنها در جدول شماره (۵-۵) ارائه شده است.

مقادیر جذب ارائه شده در این جدول پدیده خاصی را عرضه نمی کنند. در نمونه ها و مغزه های

بدست آمده نیز هیچگونه کاهه زایی جیوه مشاهده نشد.

جدول شماره (۵-۵) - در این جدول برای هر نمونه عمق اولیه و عمق ثانویه، نوع سنگ و مقدار جیوه جذب شده

مریبوطه نمایش داده شده است نمونه های گرفته شده و آزمایش شده از چاههای ۳ و ۴ ارائه گردیده اند.

sample number	pd	sd	tr	ma of Hg	sample number	pd	sd	tr	ma of Hg
S - 4/1	0	6	co	0.0034	S - 3/1	18.3	19.8	cos	0.0464
S - 4/2	0	3	co	0.7694	S - 3/2	19.8	22.1	cus	0.0621
S - 4/3	3	4.3	co	0.0684	S - 3/3	19.8	21.1	cos	0.3049
S - 4/4	4.3	5.1	co	0.5876	S - 3/4	26	27.5	cus	0.0077
S - 4/5	5.1	6	s	0.2789	S - 3/5	24.5	26	cos	0.0617
S - 4/6	6	6.8	s	0.9877	S - 3/6	23.4	24.5	cos	0.0471
S - 4/7	6.8	7.7	s	0.0439	S - 3/7	27.5	30.5	cos	0.0542
S - 4/8	7.7	9	s	0.9459	S - 3/8	21.1	21.6	cos	0.0482
S - 4/9	9	11.4	s	0.2971	S - 3/9	39.8	40.5	cus	0.0048
S - 4/10	12.6	15	s	0.1147	S - 3/10	40.5	41	cus	0.3568
S - 4/11	15	18	s	0.4755	S - 3/11	41	41.5	cus	0.3211
S - 4/12	18	21.1	s	0.7906	S - 3/12	41.5	41.5	cos	0.0012
S - 4/13	21.1	23.1	s	0.5126	S - 3/13	39.8	43	cus	0.0429
S - 4/14	24.2	25.4	s	0.0546	S - 3/14	41.5	46	cus	0.3199
S - 4/15	25.4	27.6	s	0.2619	S - 3/15	43	49	cos	0.0032
S - 4/16	27.6	29.4	s	0.077	S - 3/16	46	51.8	cus	0.0027
S - 4/17	29.4	30.6	s	0.9279	S - 3/17	49	51.89	cos	0.0027
S - 4/18	30.6	33.6	s	0.2212	S - 3/18	51.8	53.5	cus	0.0027
S - 4/19	33.6	35.6	s	0.0691	S - 3/19	53.5	55.3	cos	0.3801
S - 4/20	35.6	36.7	s	0.7277	S - 3/20	55.3	58.2	cus	0.0027
					S - 3/21	55.3	58.2	cos	0.0027
					S - 3/22	21.6	23.4	cos	0.0027

pd = primary depth

sd = secondary depth

tr = type rock

co = conglomerate, s = slate

ma of Hg = measured absorbance of Hg

pd = primary depth

sd = secondary depth

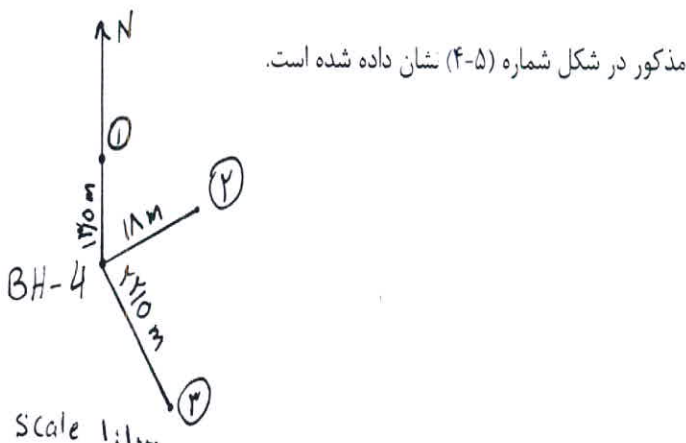
tr = type rock

cos = static core cus = static cutting

ma of Hg = measured absorbance of Hg



در اطراف چاه شماره ۴ نیز سه چاهک حفر شده است که موقعیت قرارگیری آها نسبت به چاه



شکل شماره (۴-۵) - موقعیت قرارگیری چاهکها نسبت به چاه شماره ۴

زمین شناسی مختصر هر یک از این چاهکها عبارت است از:

۱- در چاهک شماره یک 70 cm اول رسوبات غنی از گچ و بقیه کنگلومرای گچ دار می باشد.

۲- در چاهک شماره دو 60 cm اول گچ یا رسوبات غنی از گچ و بقیه کنگلومرای گچ دار می باشد.

۳- در چاهک شماره سه 30 cm اول رسوبات غنی از گچ و بقیه کنگلومرای گچ دار می باشد.

در این چاهکها آثار کانه زایی مشاهده نشده و مقادیر جذب بدست آمده در جدول شماره (۶-۵)

ارائه گردیده که آنومالی خاصی را نشان نمی دهد.

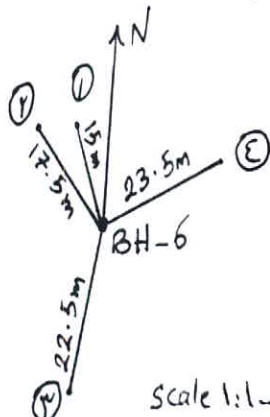
جدول شماره (۶-۵)- مقادیر جذب ارائه شده توسط دستگاه جیوه سنج

شماره نمونه	مقدار جذب ارائه شده توسط دستگاه جیوه سنج	شماره نمونه	مقدار جذب ارائه شده توسط دستگاه جیوه سنج
۱	.۰/۵۳۱۹	۱۳	.۰/۰۶۵۲
۲	.۰/۳۷۰۳	۱۴	.۰/۷۵۳۶
۳	.۰/۰۵۸۷	۱۵	.۰/۰۷۲۷
۴	.۰/۲۲۷۴	۱۶	.۰/۲۳۷۶
۵	.۰/۲۴۳۰	۱۷	.۰/۶۵۱۹
۶	.۰/۴۱۰۱	۱۸	.۰/۲۴۸۸
۷	.۰/۰۳۴	۱۹	.۰/۷۱۲۳
۸	.۰/۵۳۴۱	۲۰	.۰/۳۱۴۲
۹	.۰/۷۵۴۱	۲۱	.۰/۲۴۰۷
۱۰	.۰/۷۷۲۹	۲۲	.۰/۳۴۵۶
۱۱	.۰/۱۴۳۴	۲۳	.۰/۰۴۵۱
۱۲	.۰/۲۰۳۵		



در اطراف چاه شماره ۶ چهار چاهک حفرگردید که موقعیت آنها نسبت به چاه مذکور در

شکل شماره (۵-۵) نشان داده شده است:



شکل شماره (۵-۵) - موقعیت قرارگیری چاهکها نسبت به چاه شماره ۶

این چاهکها همگی در رسوبات کنگلومرایی و سرنی گج دار نشوون حفر شده اند و به منظور زیبایی جیوه به وسیله دستگاه جیوه سنج مورد آزمایش قرار گرفته اند و از هوای داخل خاکهای بیرون ریخته شده و هوای نمونه خاک داخل چاهک در عمق های متفاوت نمونه آزمایش عمل آمده که مقادیر جذب آنها در ادامه این مطالب ارائه شده است. زمین شناسی هر یک از این چاهک به اختصار شرح داده شده است.

- ۱- در چاهک شماره یک کنگلومرای گج دار رخمنون دارد که میزان گج آن به حدود ۲۰ درصد می رسد. گج به صورت ژیس فضای بین سایر قطعات را پرمی کند.
- ۲- در چاهک شماره دو یک متر اول رسوبات مارنی غنی از گج رخمنون دارند و بقیه آن کنگلومرای گج دار می باشد. در مجموع میزان گج بین ۲۰ تا ۸۰ درصد متغیر است.
- ۳- در چاهک شماره سه، چهل سانتیمتر اول رسوبات مارنی غنی از گج و بقیه کنگلومرای پلی ژنتیک کمی گج دار است.
- ۴- در چاهک شماره چهار، ۲۰ سانتیمتر اول خاک رس می باشد و بقیه آن را گج و کنگلومرای گج دار تشکیل می دهد.

در حوالی چاه شماره ۶، در مجموع ۶/۴ متر حفاری دستی صورت گرفته است. مقادیر جذب بدست آمده آنومالی خاصی را ارائه نمی کند. در ضمن هیچگونه آثاری از کانه زایی جیوه نیز مشاهده نشد.



## فصل ششم

### زئوشیمی



## ۶-۱- فصل ششم - ژئوشیمی

در گزارش شرکت اکتشاف سراسری فلات غیرآهنی ایران، نتایج آنالیز جذب انمی ۱۵۰

نمونه گزارش شده است که جهت تعیین مقادیر As,Hg,Sb آنالیز شده اند (جدول شماره ۶-۵) در

تمامی موارد مقدار جیوه تعیین نشده اعلام گردیده است و به این نکته اشاره نشده است که اندازه

گیری نشده یا واقعاً نمونه ها مقدار جیوه قابل توجهی نداشته اند. از لحاظ As,Sb نیز مقادیر قابل

توجهی ارائه نگردیده است. در موارد بسیار نادر مقدار As به ۳۰-۳۵ ppm می رسد ولی در اکثر

موارد کمتر از ۵ ppm می باشد. As نیز در موارد نادری به ۱۵ ppm می رسد ولی در اکثر موارد

کمتر از ۵ ppm است. در هر حال، هر چند بین As,Sb تطابق ظاهری دیده می شود ولی این

تفاوت به معنی وجود آنومالی خاص نمی باشد. در مجموع بین جیوه، ارسنیک و استیبنیت نیز

همخوانی معنا داری وجود دارد. در نمونه هایی که جدیداً از مغزه های چاهها گرفته شده و برای

آنالیز فرستاده شده اند. جدول شماره (۶-۳)، بین مقدار As,Sb هیچ رابطه معنا داری وجود ندارد.

در اکثر موارد مقدار یک ppm گزارش شده است که این مقدار قابل صرف نظر کردن است.

Mg مقدار As نیز بین ۲-۲۷ ppm متغیر است. این شواهد با شواهد صحرائی قابل انتباط و سازگار

است. در هر دو مورد شواهدی از وجود کانه زایی مشاهده نمی شود. نتایج سایر عناصر ارائه شده با

کانه زایی جیوه ارتباط خاصی ندارند و قابل تفسیر نمی باشند.

چند نمونه در این پژوهه و پژوهه های قبلی جهت شناخت کانیهای تشکیل دهنده به روش

XRD نیز آنالیز گردیده است، نتایج حاصله هیچگونه کانی جیوه داری را مشخص نمی سازد. صرفاً

کانی هایی از قبیل کوارتز، کلریت، ایلیت، آلبیت، کلسیت، موسکویت، پیرولوزیت، کانولینیت و

مونتموریونیت و مانگانیت بوده اند. این کانیها، کانی های متداول سنگها هستند و ارتباط خاصی

با کانه زایی جیوه ندارند (جدول شماره ۶-۱). شرکت اکتشافات سراسری فلات غیر آهنی ایران

تعداد ۳۰ نمونه را از لحاظ وجود کانیهای سنگین بررسی کردند که در هیچیک از نمونه ها به

۳-۶	طرح اکتشاف نیمه تفصیلی جیوه شوراب کاسمر فصل ششم - زئوژیمی	
-----	--	---

وجود کانیهای جیوه دار اشاره ای نشده است ( جدول شماره ۶-۶). همچنین در راستای مراحل

تکمیل پروره جیوه شوراب کاسمر، تعداد ۲۰ نمونه به روش جذب اتمی آمالیز گردید که نتایج به

دست آمده در جدول ارائه شده است. نتایج حاصل نشان می دهد که به طور کل Hg و As دارای

مقادیر کمتر از یک ppm می باشند و محلی برای بحث درباره آنها وجود ندارد. مقدار Au بین ۲

تا ۷ ppm متغیر است که مقادیر بسیار ناچیزی می باشد. مقدار Ag نیز کمتر از ppm می باشد.

این مقادیر فاقد ارزش اقتصادی هستند. مقدار As بین ۶ تا ۲۵ ppm متغیر است لیکن هیچ

سنخیتی بین مقادیر Sb, Hg, Ag, Au, As مشاهده نمی شود. در مجموع مقادیر بدست

آمده، هیچگونه شواهدی از وجود جیوه یا هرگونه عنصر دیگری را ارائه نمی دهند و نشان می

دهند که منطقه فاقد پتانسیل کانی سازی می باشد. در جدولها و شکل های بعدی نتایج موجود و

نتایج اقتباس شده از گزارش های قبلی ارائه گردیده اند.

۴-۶	طرح اکتشاف نیمه تفصیلی جیوه شوراب کاشمر فصل ششم - زئوژیمی	 کاشر کاشر KASHMIR RESEARCH INSTITUTE
-----	--	---

جدول شماره (۱-۶) - نتایج آنالیز XRD نمونه های برداشت شده از منطقه شوراب (اقتباس از گزارش شرکت

اکتشافات سراسری فلزات غیر آهنی ایران، ۱۳۷۲)

نتیجه	شماره نمونه ارسالی	شماره آزمایشگاه
Illite+Alpha Quartz +Albite+Kaolinite +Muscovite+Pyrolusite /Montmorillonite	K.R.A.X.8	۷۹۰
Alpha Quartz+Illite+Kaolinite +Montmorillonite+Pyrolusite	K.R.P.1	۷۹۱
Alpha Quartz+Illite+Kaolinite+Muscovite +Albite+Montmorillonite+Pyrolusite	K.R.P.1	۷۹۲
Calcite+Quartz+Kaolinite+Albite +Pyrolusite+Maghemite	R.Sh.13.3	۷۹۳
Quartz+Calcite+Albite+Pyrolusite +Kaolinite+Maghemite	K.R.P.198	۷۹۴

جدول شماره (۲-۶) - نتایج آنالیز اکسیدهای اصلی نمونه های برداشت شده از مغزه های چاههای حفاری شده در

منطقه شوراب

SAMPLE	SiO <sub>2</sub> %	Al <sub>2</sub> O <sub>3</sub> %	Fe <sub>2</sub> O <sub>3</sub> %	CaO %	Na <sub>2</sub> O %	K <sub>2</sub> O %	MgO %	MnO %	TiO <sub>2</sub> %	P <sub>2</sub> O <sub>5</sub> %
BH - 1/1	65.48	15.58	5.20	2.51	1.185	2.54	1.945	0.059	0.677	0.170
BH - 1/2	56.68	20.08	6.98	0.48	1.338	4.03	2.129	0.057	0.872	0.158
BH - 3/1	58.64	19.67	7.57	0.6	0.845	4.11	2.103	0.068	0.903	0.213
BH - 3/2	59.57	17.89	8.04	1.03	0.991	3.42	2.194	0.093	0.929	0.217
BH - 3/3	57.06	17.85	8.36	2.8	0.786	3.54	2.658	0.266	0.893	0.197
BH - 4/1	50.97	12.31	5.44	11.12	0.731	2.25	1.691	0.050	0.674	0.158
BH - 4/2	57.67	19.79	6.69	1.74	0.865	4.07	1.894	0.103	0.880	0.179
BH - 4/3	61.51	16.45	7.13	2.45	0.692	2.68	2.105	0.203	0.620	0.176
BH - 6/1	33.24	9.79	6.50	23.83	0.404	1.97	1.702	0.144	0.526	0.108
BH - 6/2	55.24	22.02	7	0.62	0.596	4.92	1.948	0.045	0.817	0.189
BH - 6/3	61.88	16.16	6.16	2.55	0.977	2.92	1.622	0.088	0.698	0.168
BH - 6/4	55.44	19.69	7.87	2.09	0.653	4.27	2.283	0.080	0.878	0.188
BH - 6/5	54.13	18.18	7.61	4.41	0.790	3.78	2.590	0.160	0.831	0.179
BH - 6/6	55.70	19.22	6.6	3.67	0.820	4.02	2.511	0.135	0.875	0.197
BH - 6/7	56.05	18.47	7.42	3.18	0.848	3.87	2.468	0.126	0.859	0.186
BH - 6/8	57.59	17.99	8.18	2.48	0.852	3.62	2.448	0.107	0.827	0.182
BH - 6/9	56.30	18.85	7.46	2.68	0.788	3.89	2.407	0.106	0.820	0.202
G.K	52.61	10.45	11.39	1.30	0.705	3.77	3.633	0.175	1.469	0.468



جدول شماره (۳-۶)- نتایج آنالیز اکسید های اصلی نمونه های برداشت شده از مغزه های چاه های حفاری شده در منطقه شوراب- مرحله دوم

SAMPLE	SiO <sub>2</sub> %	Al <sub>2</sub> O <sub>3</sub> %	Fe <sub>2</sub> O <sub>3</sub> %	CaO %	Na <sub>2</sub> O %	K <sub>2</sub> O %	MgO %	MnO %	TiO <sub>2</sub> %	P <sub>2</sub> O <sub>5</sub> %
BH -2-1	68.22	13.31	5.36	2.74	0.47	0.46	2.03	0.452	0.045	0.134
BH -2-2	59.92	19.82	6.85	1.80	0.96	1.44	3.99	0.802	0.062	0.100
BH -2-3	74.90	5.95	3.49	7.67	0.58	0.07	0.41	0.131	0.195	0.055
BH -2-4	56.81	20.34	8.96	2.26	0.96	1.56	4.07	1.039	0.145	0.125
BH -2-6	61.19	17.94	7.11	2.01	0.84	1.76	3.40	0.816	0.260	0.120
BH -2-7	51.26	23.37	8.67	0.45	0.64	1.66	5.06	1.030	0.074	0.102
BH -2-8	62.25	18.64	6.94	2.16	0.71	1.70	3.37	0.781	0.251	0.094
BH -2-9	62.59	17.61	8.14	1.78	0.62	1.65	1.48	0.381	0.181	0.113
BH -2-10	58.17	17.63	8.50	1.74	0.49	1.40	3.77	0.786	0.122	0.109
BH -2-11	62.54	10.39	13.99	1.45	0.13	1.79	1.76	0.345	0.133	0.257
BH -2-12	61.19	20.83	6.55	0.37	0.87	1.21	3.91	0.871	0.058	0.130
BH -5-1	49.81	10.99	11.40	12.84	0.79	2.13	0.68	0.519	0.146	0.143
BH -5-2	61.23	17.39	8.12	0.34	0.82	1.91	3.00	0.771	0.078	0.123
BH -5-3	62.42	13.80	6.30	4.46	0.91	1.62	2.29	0.703	0.092	0.155
BH -5-4	57.30	20.41	6.82	0.43	0.40	1.65	4.24	0.912	0.036	0.084
BH -5-5	59.82	15.35	6.28	2.79	0.64	1.55	3.06	0.711	0.085	0.096
BH -5M-1	43.17	7.71	5.92	19.13	1.41	1.40	0.64	0.498	2.806	0.107
BH -5M-4	61.94	13.94	6.07	2.88	1.55	1.79	2.71	0.776	1.689	0.047
K-6-2	48.07	9.00	3.26	19.02	0.59	0.76	1.72	0.373	1.956	0.071
K-6-3	31.03	5.80	1.90	30.36	0.27	0.64	0.97	0.245	2.655	0.048
K1	25.54	5.52	1.91	34.03	0.51	0.63	1.15	0.224	0.271	0.051
K2	61.86	10.13	2.87	0.98	1.16	0.61	2.71	0.374	8.232	0.064



جدول شماره (۴-۶) - نتایج آنالیز عناصر کمیاب و خاکی تاریخ نمونه های برداشت شده از مغروه های پاچه هایی

## حفاری شده در منطقه شوراب

SAMPLE NO	U (ppm)	Sr (ppm)	Rb (ppm)	Zn (ppm)	Sn (ppm)	Cu (ppm)	Ni (ppm)	Co (ppm)	Cr (ppm)	V (ppm)	Cl (ppm)	S (ppm)	Zr (ppm)
BH-1/1	21	1324	102	69	3	34	42	15	176	112	162	287	163
BH-1/2	8	117	188	95	5	34	63	22	114	180	27	100	169
BH-3/1	9	63	186	72	7	14	55	24	114	130	93	183	185
BH-3/2	6	67	154	118	5	55	56	16	111	163	168	356	210
BH-3/3	3	67	160	87	2	26	52	23	107	62	85	287	184
BH-4/1	7	124	96	78	1	35	40	20	110	162	232	191	254
BH-4/2	4	69	183	75	4	34	53	20	115	66	167	80	194
BH-4/3	3	53	112	69	5	25	44	19	139	17	273	250	210
BH-6/1	1	72	93	78	1	37	46	15	72	190	130	118	175
BH-6/2	2	139	237	117	2	39	50	21	118	116	40	36	186
BH-6/3	4	101	125	83	9	28	40	12	136	126	123	54	155
BH-6/4	1	75	208	102	3	285	81	23	116	157	33	93	182
BH-6/5	5	67	178	117	1	39	54	22	100	141	96	671	172
BH-6/6	3	70	186	93	5	36	54	22	105	85	132	622	179
BH-6/7	2	75	186	103	6	33	58	18	107	111	54	485	178
BH-6/8	1	60	169	99	1	31	58	21	96	111	36	440	176
BH-6/9	1	63	187	90	2	37	55	23	105	148	43	603	173
G K	2	51	69	153	1	75204	288	73	194	137	145	92	196

SAMPLE NO	Mo (ppm)	Th (ppm)	Ce (ppm)	La (ppm)	Pb (ppm)	W (ppm)	Ba (ppm)	Nb (ppm)	Y (ppm)	Cd (ppm)	Ag (ppm)	Sb (ppm)	Ax (ppm)
BH-1/1	16	10	18	12	25	1	325	12	22	1	2	1	5
BH-1/2	3	17	14	10	34	1	465	17	28	1	3	1	15
BH-3/1	1	22	12	9	23	2	477	19	29	1	5	1	4
BH-3/2	4	19	13	8	33	1	412	21	31	1	1	1	14
BH-3/3	1	19	10	5	23	7	427	18	31	1	3	1	2
BH-4/1	13	14	11	16	33	2	719	13	24	1	1	1	13
BH-4/2	4	17	20	13	24	6	506	18	28	1	3	1	9
BH-4/3	8	12	11	9	28	0	259	12	25	1	2	1	7
BH-6/1	12	19	18	15	35	2	443	8	21	1	2	1	22
BH-6/2	4	21	19	12	23	4	458	14	24	1	3	1	16
BH-6/3	6	10	23	10	36	6	294	12	26	1	2	1	15
BH-6/4	2	18	14	9	32	4	450	16	27	1	3	1	17
BH-6/5	3	17	10	8	39	6	399	15	26	1	2	1	27
BH-6/6	3	19	6	11	38	4	436	17	26	1	4	1	10
BH-6/7	1	17	7	20	41	1	429	18	26	1	6	1	19
BH-6/8	3	16	13	17	32	2	380	14	26	1	2	1	18
BH-6/9	3	17	4	8	29	2	421	16	25	1	2	1	13
G K	1	6	9	10	44	0	575	37	29	1	5	2	5

۷-۶	طرح اکتشاف نیمه نهضیلی جیوه شوراب کاشمر فصل ششم - زوئشیمی	 کارشناسی کاشمر
-----	--	--

جدول شماره (۵-۶) - نتایج آنالیز عناصر کمیاب و خاکی نادر نمونه های برداشت شده از مغزه های چاههای

حفاری شده در منطقه شوراب- مرحله دوم

sample	Cl ppm	S ppm	Sr ppm	Rb ppm	V ppm	W ppm	Y ppm	Zr ppm	Zn ppm	Mo ppm	Ba ppm	Ce ppm	Co ppm	Cr ppm	Cu ppm	Nb ppm	Ni ppm	Pb ppm	U ppm	Th ppm
BH-2-1	290	23	105	78	68	0	17	121	63	0	140	34	7	140	5	5	30	15	1	4
BH-2-2	152	14	103	176	136	0	29	183	91	0	349	27	12	116	4	20	60	20	14	15
BH-2-3	128	15	67	21	29	0	11	65	25	0	60	15	5	123	9	4	1	27	7	1
BH-2-4	86	19	97	169	153	3	31	193	80	0	352	33	9	83	157	24	55	67	1	12
BH-2-6	72	12	106	138	120	2	26	166	97	0	339	20	14	71	3	17	43	16	1	10
BH-2-7	85	10	109	210	168	0	33	194	102	2	420	26	19	95	6	18	65	8	7	17
BH-2-8	92	12	106	132	113	0	26	148	64	0	312	28	12	89	332	16	49	115	5	12
BH-2-9	70	20	109	58	75	0	20	86	91	0	115	26	15	88	14	6	42	74	4	4
BH-2-10	55	181	111	154	143	0	27	155	103	0	288	16	21	84	5	15	55	18	8	19
BH-2-11	255	5811	107	62	82	0	16	64	177	8	403	35	43	130	22	8	74	122	6	4
BH-2-12	50	2409	115	161	135	0	29	170	117	1	359	45	31	81	30	14	44	38	2	15
BH-5-1	122	772	3913	35	62	0	17	188	100	2	136	25	18	86	23	9	36	19	1	2
BH-5-2	36	26	92	123	120	0	25	159	114	1	310	62	18	68	48	17	61	25	5	16
BH-5-3	111	108	791	101	98	32	24	200	86	0	286	24	13	73	28	16	48	20	1	8
BH-5-4	134	34	115	178	139	11	29	176	79	0	390	38	17	75	5	18	59	2	6	11
BH-5-5	91	148	263	134	108	45	26	197	89	0	345	20	14	71	24	8	61	14	10	12
BH-5M-1	1529	1262	1731	26	69	0	12	110	33	15	1041	42	28	116	17	7	48	163	1	1
BH-5M-4	1938	1869	512	102	116	0	23	177	80	9	965	5	28	85	7	17	56	29	1	7
K-6-2	39	15	485	63	38	0	17	133	80	4	300	32	0	52	948	11	9	1630	1	1
K-6-3	357	24	352	39	36	0	14	62	113	8	245	15	2	27	19692	7	13	138	10	1
K1	87	117	221	49	24	0	12	67	67	1	201	4	4	17	38	11	58	74	1	6
K2	171	343	1311	78	99	0	19	113	179	33	2603	25	26	97	49142	8	38	13577	1	49

۸-۶	طرح اکتشاف نیمه تفصیلی جیوه شوراب کاشمر فصل سوم - رُوشیمی	 کاوش کاشمر KAVOSH KASHMAR
-----	--	---

جدول شماره (۶-۶) - نمونه های آنالیز شده به روش XRD و XRF همراه با توصیف سنگ شناسی آنها و عمق نمونه

#### برداری

ردیف	شماره نمونه	XRF	XRD	عمق نمونه برداری	توصیف سنگ شناسی
۱	BH-1/1	×		0.0-21.30	اسلیت سیاه رنگ، اسلیت ارغوانی و قطعات تخریبی واحد کنگلومرایی و آبرفتی
۲	BH-1/2	×	×	21.30-25.20	اسلیت و اسلیت ماسه ای سیاه رنگ
۳	BH-3/1	×	×	0.0-10.20	اسلیت سیاه رنگ خرد شده همراه با رگه های کوارتزی
۴	BH-3/2	×		10.20-24.50	اسلیت و اسلیت ماسه ای سیاه رنگ همراه با رگه های اکسید آهن و سیلیس
۵	BH-3/3	×		24.50-60.50	اسلیت و اسلیت ماسه ای سیاه رنگ، گاهی اوقات پیریت دار است.
۶	BH-4/1	×		0.0-18.0	کنگلومرای پلی ژنتیک، چند قطعه ماسه سنگ و قلوه های کوارتزی
۷	BH-4/2	×		18.30	اسلیت ارغوانی متمایل به خاکستری، اسلیت سیاه رنگ
۸	BH-4/3	×	×	30-39.20	اسلیت سیاه رنگ و اسلیت ماسه ای متورق
۹	BH-6/1	×		0-17.20	کنگلومرای پلی ژنتیک، اسلیت کرم رنگ، اسلیت ماسه ای سیاه رنگ
۱۰	BH-6/2	×	×	17.20-20.20	اسلیت سیاه رنگ، اسلیت قرمز رنگ، ماسه سنگ قرمز
۱۱	BH-6/3	×		20.20-23.50	اسلیت سیاه رنگ، ماسه سنگ دگرگون شده سیاه رنگ
۱۲	BH-6/4	×		23.50-26.70	اسلیت و اسلیت ماسه ای سیاه رنگ
۱۳	BH-6/5	×	×	32.20-34.30	اسلیت ماسه ای و اسلیت سیاه رنگ
۱۴	BH-6/6	×		36.90-38.10	اسلیت و اسلیت ماسه ای سیاه رنگ
۱۵	BH-6/7	×		42.10-44.40	اسلیت و اسلیت ماسه ای سیاه رنگ پیریت دار
۱۶	BH-6/8	×		44.40-50.40	اسلیت سیاه رنگ خرد شده
۱۷	BH-6/9	×	×	50.40-53.90	اسلیت سیاه رنگ و اسلیت ماسه ای پیریت دار
۱۸	GK	×		نمونه کربناته حاوی ملاکیت	آهک دلو میتی مس دار (ملاکیت و آزو ریت دار)



جدول شماره (۶-۷) - نمونه های آتالیز شده به روش XRD و XRF همراه با توصیف سنگ شناسی آنها و عمق نمونه

برداری - مرحله دوم

ردیف	شماره نمونه	XRF	XRD	عمق نمونه برداری	توصیف سنگ شناسی
۱	BH-2/1	*		0-6/30	ماسه سنگ قرمز دگرگون شده، رگه های کوارتزی
۲	BH-2/2	*		6/30-12/60	ماسه سنگ قرمز دگرگون شده، اسلیت خاکستری
۳	BH-2/3	*		12/60-17	سلیت خاکستری، رگه های کوارتز، ماسه سنگ قرمز دگرگون شده
۴	BH-2/4	*	*	17-25/40	ماسه سنگ سیاه رنگ، اسلیت برشی شده
۵	BH-2/6	*		34-44/70	اسلیت، اسلیت ماسه ای، رگه های کوارتزی پیریت دار
۶	BH-2/7	*		44/70-53/40	اسلیت سیاه رنگ، رگه های کوارتزی
۷	BH-2/8	*	*	53/40-63/60	اسلیت ماسه ای سیاه رنگ برشی شده پیریت دار
۸	BH-2/9	*		63/60-73/70	اسلیت شدیداً برشی شده سیاه رنگ
۹	BH-2/10	*		73/70-82/40	اسلیت سیاه رنگ، رگه های کوارتزی
۱۰	BH-2/11	*		66/50-69/60	اسلیت پیریت دار
۱۱	BH-2/12	*		0-9	اسلیت سیاه رنگ و رسوبات کرمی مارتی
۱۲	BH-5-1	*		9-19/5	اسلیت سیاه رنگ
۱۳	BH-5-2	*		19/5-33/5	اسلیت سیاه رنگ
۱۴	BH-5-3	*		33/5-39/5	اسلیت سیاه رنگ
۱۵	BH-5-4	*		39/5-48/5	اسلیت سیاه رنگ
۱۶	BH-5-5	*		-	اسلیت سیاه رنگ
۱۷	BH-5M1	*		-	نمونه از افق گراوی غنی از منگنز مجاور چاه شماره ۵
۱۸	BH-5M4	*		-	نمونه از رسوبات گراوی منگنز دار جنوب کاهه
۱۹	K-6-2	*		-	نمونه از رسوبات گراوی منگنز دار جنوب کاهه
۲۰	K-6-3	*	*	-	نمونه از رسوبات گراوی منگنز دار جنوب کاهه
۲۱	K1	*		-	نمونه از رسوبات گراوی منگنز دار جنوب کاهه
۲۲	K2	*	*	-	نمونه از رسوبات گراوی منگنز دار جنوب کاهه

۱۰-۶	طرح اکتشاف نیمه تفصیلی جیوه شوراب کاشمر فصل ششم - روشیمی	 کاوه کاسار KAVIR KASAR
------	---	--

جدول شماره (۸-۶)- نتایج آنالیز Sb, Hg, As برای ۱۵ نمونه (اقتباس از گزارش شرکت اکتشاف سراسری

فلزات غیر آهنی ایران، ۱۳۷۲)

LAB.NO	SAMPLE NO	Sb	Hg	As
201	K.S.37	nd	nd	2.7
202	K.S.38	nd	nd	2.9
203	K.S.39	nd	nd	2.2
204	K.S.40	nd	nd	3.4
205	K.S.41	nd	nd	3
206	K.S.42	nd	nd	4.4
207	K.S.43	nd	nd	3.6
208	K.S.44	nd	nd	4.2
209	K.S.45	nd	nd	1
210	K.S.46	nd	nd	3.2
211	K.S.47	nd	nd	1
212	K.S.48	nd	nd	1
213	K.S.49	nd	nd	1
214	K.S.50	nd	nd	1
215	K.S.51	nd	nd	1
216	K.S.52	nd	nd	2.3
217	K.S.53	nd	nd	1
218	K.S.54	nd	nd	1.25
219	K.S.55	nd	nd	1
220	K.S.56	nd	nd	1.2
221	K.S.57	nd	nd	1.2
222	K.S.58	nd	nd	1
223	K.S.59	nd	nd	1
224	K.S.60	nd	nd	1.55
225	K.S.61	nd	nd	3.5
226	K.S.62	nd	nd	2.5
227	K.S.63	nd	nd	1.85
228	K.S.64	nd	nd	4.4
229	K.S.65	nd	nd	3.5
230	K.S.66	nd	nd	3.2
231	K.S.67	nd	nd	3.75
232	K.S.68	nd	nd	1.4
233	K.S.69	nd	nd	2.4
234	K.S.70	nd	nd	1.6
235	K.S.71	nd	nd	2.5
236	K.S.72	nd	nd	1

۱۱-۶	طرح اکتشاف نیمه تفصیلی جیوه شوراب کاشمر فصل ششم - نوشیمی	 کاوه کاسار KAVOH KASHMAR
------	---	--

ادامه جدول شماره (۸-۶)

LAB.NO	SAMPLE NO	Sb	Hg	As
237	K.S.73	nd	nd	1
238	K.S.74	nd	nd	5.4
239	K.S.75	nd	nd	1.9
240	K.S.76	5	nd	3.4
241	K.S.77	nd	nd	4.1
242	K.S.78	5	nd	4.2
243	K.S.79	nd	nd	1
244	K.S.80	nd	nd	2.7
245	K.S.81	nd	nd	3.2
246	K.S.82	nd	nd	3.7
247	K.S.83	nd	nd	2.2
248	K.S.84	nd	nd	1
249	K.S.85	nd	nd	2.3
250	K.S.86	nd	nd	2.2
251	K.S.87	nd	nd	2.3
252	K.S.88	nd	nd	3.2
253	K.S.89	nd	nd	3.2
254	K.S.90	nd	nd	2.2
255	K.S.91	nd	nd	3
256	K.S.92	nd	nd	3.1
257	K.S.93	nd	nd	3
258	K.S.94	nd	nd	2.9
259	K.S.95	nd	nd	2
260	K.S.96	nd	nd	3
261	K.S.97	nd	nd	2.6
262	K.S.98	nd	nd	2.2
263	K.S.99	nd	nd	1.2
264	K.S.100	nd	nd	1.2
265	K.S.101	nd	nd	1.7
266	K.S.102	nd	nd	3.1
267	K.S.103	nd	nd	2.1
268	K.S.104	nd	nd	2.9
269	K.S.105	nd	nd	1
270	K.S.106	nd	nd	1.8
271	K.S.107	nd	nd	2
272	K.S.108	nd	nd	2.6



(۸-۶) شماره جدول ادامه

LAB.NO	SAMPLE NO	Sb	Hg	As
273	K.S.109	nd	nd	2.3
274	K.S.110	nd	nd	1.8
275	K.S.111	nd	nd	2.5
276	K.S.112	nd	nd	2.4
277	K.S.113	nd	nd	4
278	K.S.114	nd	nd	1.25
279	K.S.115	nd	nd	1.5
280	K.S.116	nd	nd	2.5
281	K.S.117	nd	nd	1.5
282	K.S.118	nd	nd	2.2
283	K.S.119	nd	nd	2.7
284	K.S.120	nd	nd	1.25
285	K.S.121	nd	nd	1.7
286	KSF-122	nd	nd	1.4
287	KSF-123	nd	nd	2.75
288	KSF-124	nd	nd	3.7
289	KSF-125	nd	nd	4
290	KSF-126	nd	nd	1.9
291	KSF-127	nd	nd	2.7
292	KSF-128	nd	nd	1.9
293	KSF-129	nd	nd	3.1
294	K-S-130	nd	nd	1.4
295	K-S-131	nd	nd	2.5
296	KSF-132	nd	nd	2.3
297	KSF-133	nd	nd	2.7
298	KSF-134	nd	nd	3.1
299	KSF-135	nd	nd	2.4
300	KSF-136	nd	nd	6
301	KSF-137	10	nd	2.5
302	KAB-139	10	nd	9.7
303	KAB-140	10	nd	8
304	KAB-141	10	nd	2.3
305	KAB-142	70	nd	8.1
306	KAB-143	10	nd	11
307	KAB-144	8	nd	6.9
308	KAB-145	nd	nd	7



(۸-۶) جدول شماره ادامه

LAB.NO	SAMPLE NO	Sb	Hg	As
309	KAB-146	nd	nd	4.5
310	KAB-147	nd	nd	4
311	KAB-148	nd	nd	1.8
312	KAB-149	nd	nd	3
313	KAB-150	65	nd	4.6
314	Sh/1/1	35	nd	1.8
315	Sh/1/2	5	nd	7
316	Sh-1-3	10	nd	3.3
317	Sh-2-1	75	nd	3.8
318	Sh-2-2	60	nd	1.7
319	Sh-3-1	nd	nd	6.2
320	Sh-3-2	nd	nd	11
321	Sh-3-2	5	nd	4.3
322	SH-4-1	nd	nd	2.8
323	SH-6-1	nd	nd	13
324	SH-6-1	nd	nd	22
325	SH-7-1	nd	nd	4.2
326	SH-8-1	nd	nd	4.1
327	SH-9-2	nd	nd	3.4
328	SH-10-1	nd	nd	8.6
329	SH-10-2	nd	nd	1.25
330	SH-10-3	nd	nd	3.8
331	SH-11-1	10	nd	4
332	SH-11-2	5	nd	1.5
333	SH-11-3	5	nd	5.3
334	SH-12-1	10	nd	4.3
335	SH-12-2	10	nd	4.4
336	SH-12-3	10	nd	2.4
337	SH-13-1	30	nd	1.7
338	KRA-1	nd	nd	2.9
339	KRA-2	nd	nd	9.4
340	KRA-3	5	nd	6.2
341	KRA-4	nd	nd	1.27
342	KRA-5	40	nd	5.2
343	KRA-6	nd	nd	1
344	KRA-7	nd	nd	1

۱۴-۶	طرح اکتشاف نیمه تفصیلی جیوه شوراب کاشمر فصل ششم - رُتُوشیمی	 کارخانه تحقیقات کاشمر
------	--	---

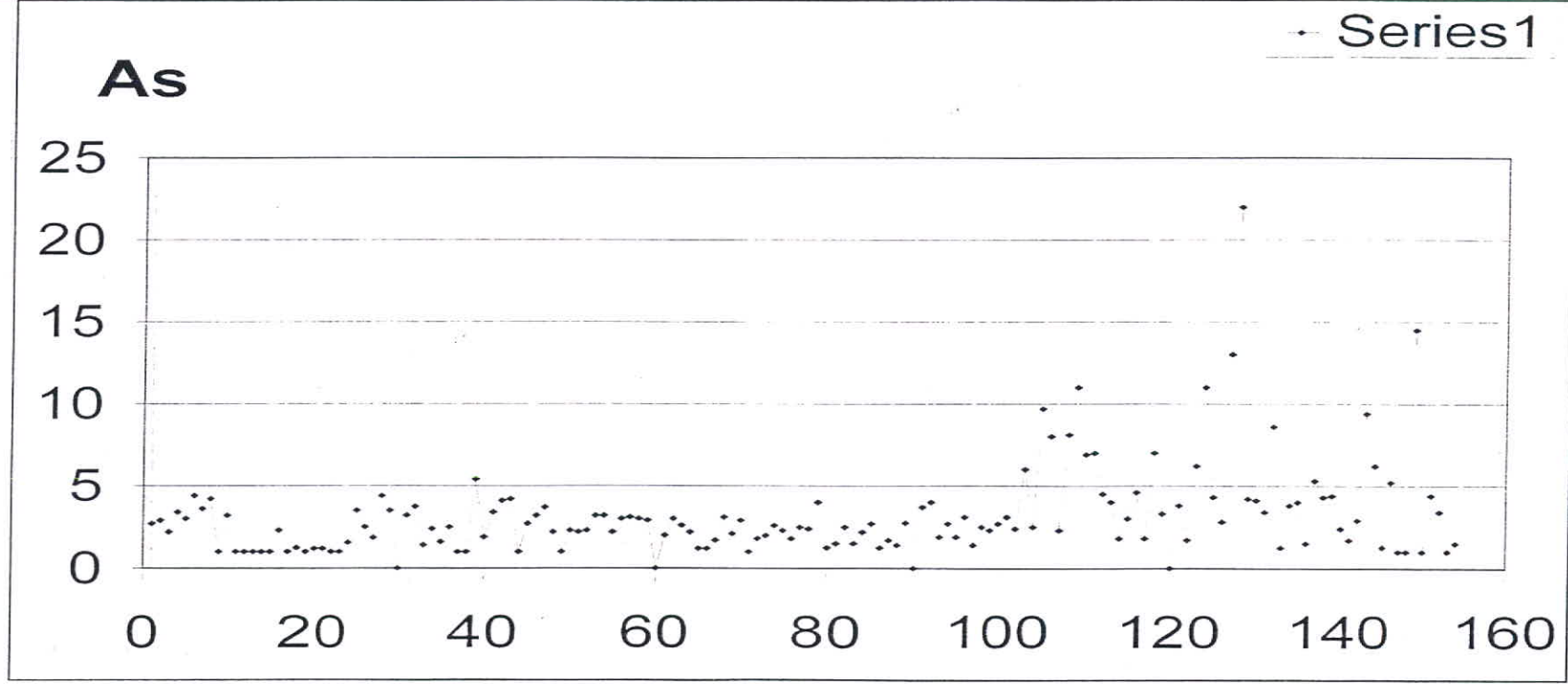
ادامه جدول شماره (۸-۶)

LAB.NO	SAMPLE NO	Sb	Hg	As
345	KRA-8	35	nd	14.5
346	KRA-9	nd	nd	1
347	KRA-10	5	nd	4.4
348	KRA-11	5	nd	3.4
349	KRA-12	5	nd	1
350	KRA-20	30	nd	1.5

۶-۱۵	طرح اکتشاف نیمه تفصیلی جووه شوراب کاشمر فصل ششم - زوئیسیتی
------	---

شکل شماره (۶-۱) - نمودار نشان دهنده تغییرات مقدار برای As در ۵۰ نمونه که از گزارش اکتشاف سرسی

فرات غیرآهی ایران گزارش شده است.

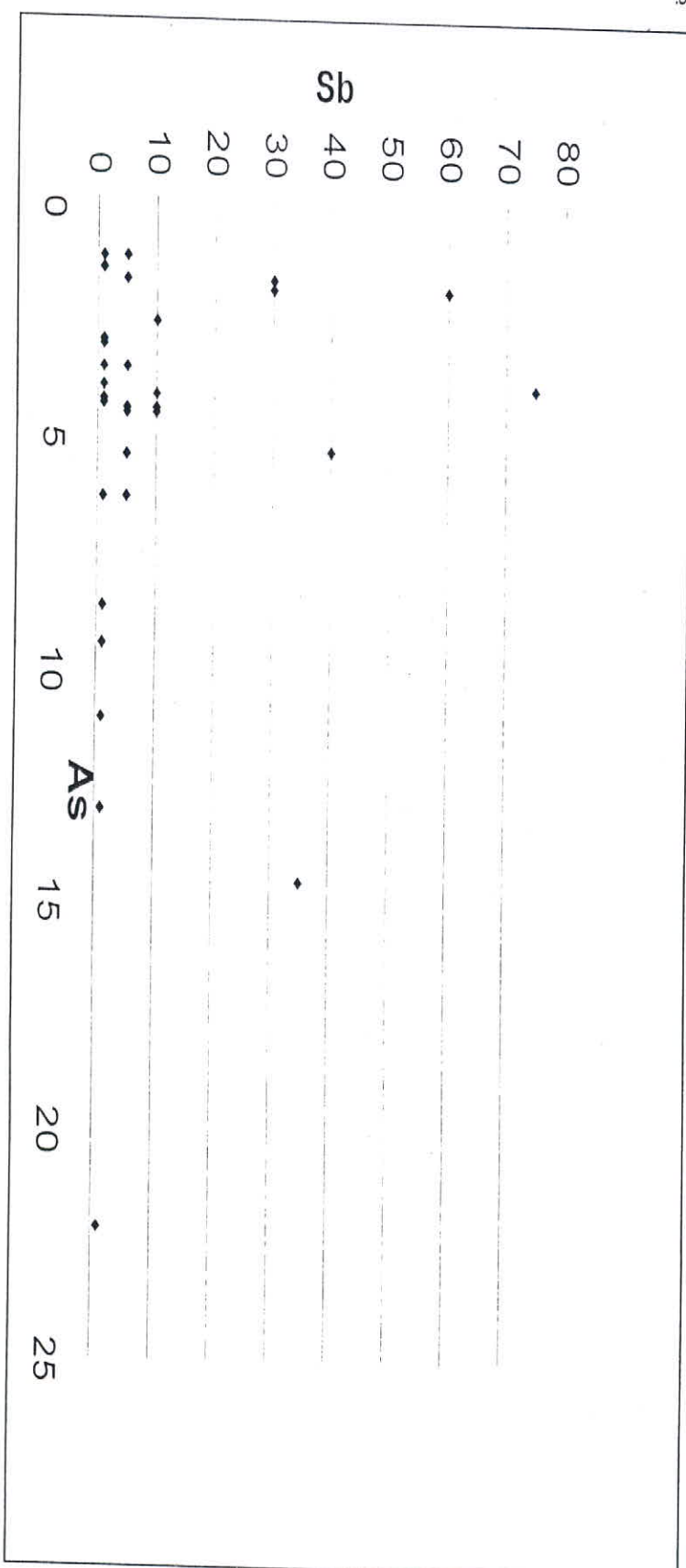




شکل شماره (۲-۶) - نمودار نشان دهنده مقدار Sb در مقابل As برای ۱۵۰ نمونه که از گزارش گروه اکتشافات

سراسری فلزات غیر آهنه ایران اقتباس شده است. همانطور که ملاحظه می شود رابطه خاصی بین مقادیر مشاهده

نمی شود.



جدول شماره (۹-۶) - نتایج بررسی ۳۰ نمونه جهت شناخت کانیهای سنگین موجود در آنها در منطقه ۱۴۴

شوراب کاشر و حوالی آن (اقتباس از گزارش شرکت اکتشافات سراسری فلات غیرآهنج ایران، ۱۳۷۲)

SAMPLE .NO	K.H.1	K.H.2	K.H.3	K.H.4	K.H.5	K.H.6	K.H.7
Apatite	S	S	S	S	3	S	S
Amphibole	S	S	S	S	5	S	S
Anatase	S	S	1.4	S		S	S
Barite	S	S	2	2	4	S	4
Celestite		S	S	3	592	S	631
Epidote	42	S	S	S	S	S	S
Garnet	28	5	34	32	37	576	364
Hematite	4786	667	3744	4752	14	2560	1485
Ilmenite	34	6	S	S	S		
Magnetite	2552	300	1872	740	1	1536	756
Pyrite- Oxide	S	66	42	S	S	32	14
Pyroxene	117	132	824	523	8	845	356
Rutile	S	S	4	S	-	S	S
Sphene	S	S	S	S	S	S	
Zircon	2	S	10	S	S	S	S
Olygiste	40	S	S	S	S	S	S
Leucoxene			S	S		S	S
Nigrin			S	S		S	S
Saphire			S				
Flourite			S		S	S	
Lead - Native							
Malachite							
Pyrolusite							

SAMPLE .NO	K.H.8	K.H.9	K.H.10	K.H.11	K.H.12	K.H.13	K.H.14
Apatite	S	S	S				
Amphibole	S	S	S	S	S	S	S
Anatase	S		S				
Barite	S	5	4	S	1	1	14
Celestite	2		S	1	468	73	2153
Epidote	25	S	S	S	S	S	S
Garnet	139	S	2025	6	270	8	1
Hematite	3480	850	2250	640	1040	1774	115
Ilmenite	S	S	S	S	S	S	S
Magnetite	1856	120	6300	340	520	112	1
Pyrite- Oxide	36	10	56	S	10	S	S
Pyroxenre	1020	200	1272	264	418	139	255
Rutile	S	S	S	S	S	S	
Sphene	S		S	S	S	S	
Zircon	S		S	4	S	S	
Olygiste	S	S	S				
Leucoxene	S	S	S				
Nigrin	S		S				
Saphire	S		S				
Flourite					S	S	S
Lead - Native							
Malachite							
Pyrolusite							



(۹-۶) ادامه جدول شماره

SAMPLE .NO	K.H.15	K.H.16	K.H.17	K.H.18	K.H.19	K.H.20	K.H.21
Apatite				S	S	S	1
Amphibole	S	S	S	S	S	S	S
Anatase		1	S	S	S	S	
Barite	102	103	36	1	1	21	1
Celestite	354	538	21	S	S	39	S
Epidote	S	S	S	S	S	S	S
Garnet	15		S	S	S	7	318
Hematite	1984	613	720	3675	2167	1436	4553
Ilmenite	S	S	1	1	1	5	S
Magnetite	1200	552	1	2245	800	1901	1908
Pyrite- Oxide	S	S	S	245	13	S	S
Pyroxenre	785	683	485	540	192	212	408
Rutile	1	S	S	S	S	S	S
Sphene	S	S	S	S	S	S	
Zircon	1	S	1	1	1	1.5	2
Olygiste					4	8	35
Leucoxene							
Nigrin							
Saphire				S	S	S	
Flourite	25	104	12	S	S	S	
Lead - Native							
Malachite							
Pyrolusite							

SAMPLE .NO	K.H.22	K.H.23	K.H.24	K.H.25	K.H.26	K.H.27
Apatite	S	1	S	S	S	S
Amphibole	S	S	S	S	S	S
Anatase						
Barite	55	2	18	2	2	S
Celestite	24	2	22	S	2	2
Epidote	S	S	S	S	S	S
Garnet	8	10	141	240	625	116
Hematite	1260	1526	2318	3977	7398	1456
Ilmenite	S	S	S	S	S	S
Magnetite	216	1111	518	2774	7768	660
Pyrite- Oxide	2	S	S	14	S	15
Pyroxenre	198	108	103	360	2900	320
Rutile	S	S	S	1	2	S
Sphene						
Zircon	1	1	1	1	2	S
Olygiste	S	S	S	S	S	S
Leucoxene						
Nigrin						
Saphire						
Flourite	2	S	S	S	S	S
Lead - Native		S				
Malachite				S		
Pyrolusite				S		



ادامه جدول شماره (۹-۶)

SAMPLE .NO	K.H.28	K.H.29	K.H.30
Apatite	S	S	S
Amphibole	S	S	S
Anatase			
Barite	S	2	S
Celestite	1152	2	642
Epidote	S	S	S
Garnet	200	158	
Hematite	1279	1381	130
Ilmenite	S	S	
Magnetite	287	1476	1
Pyrite- Oxide	143	10	S
Pyroxenre	664	811	S
Rutile	S	2	
Sphene			
Zircon	S	2	
Olygiste	S	S	2
Leucoxene			
Nigrin			
Saphire			
Flourite		S	
Lead - Native			
Malachite			
Pyrolusite	S	10	624



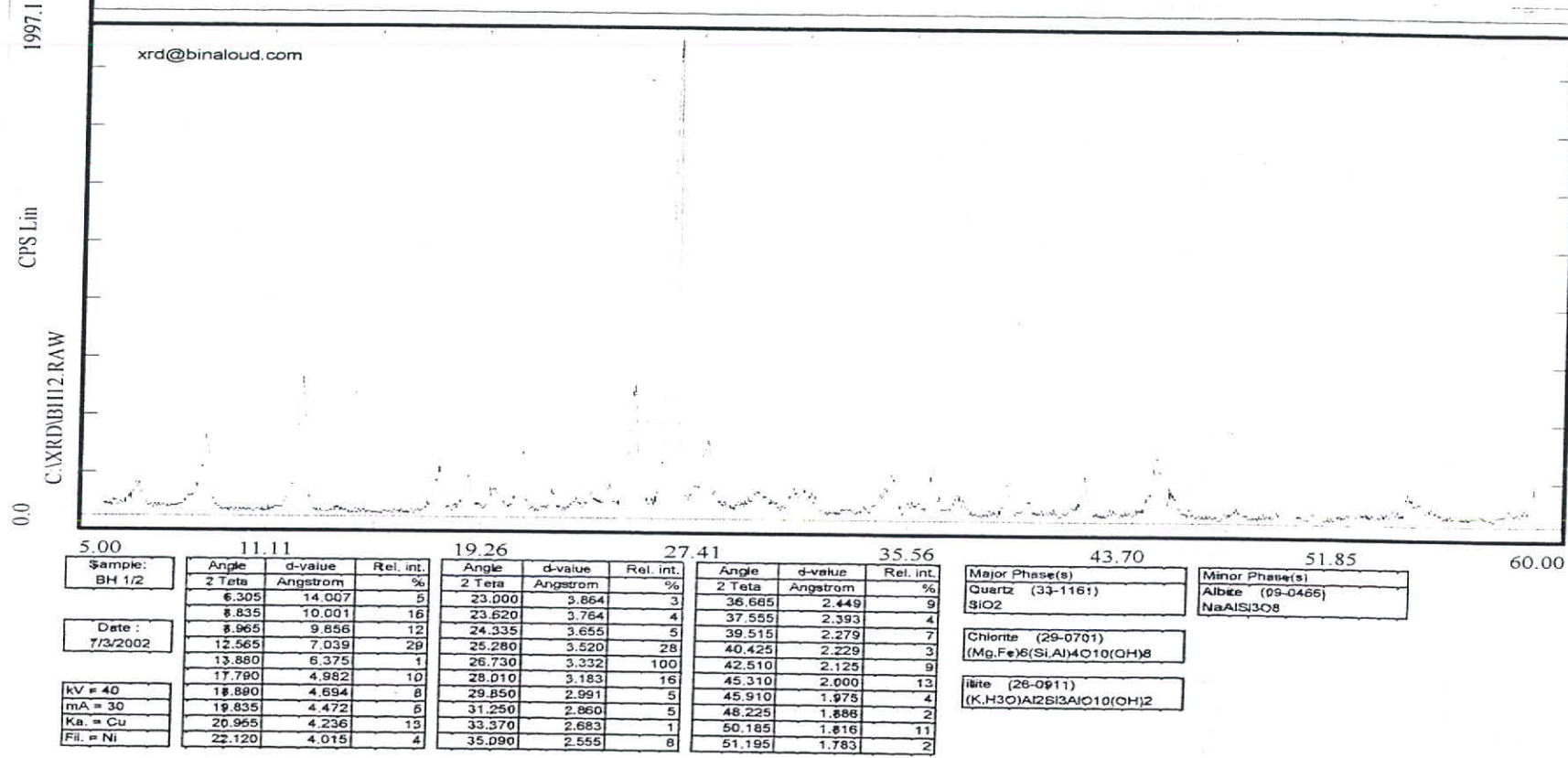
جدول شماره (۱۰-۶)- نتایج آنالیز نمونه های ارسالی برای آنالیز طلا به روش AAS

Sample	As ppm	Sb ppm	Ag ppm	Hg ppm	Au ppb
BH.1/2	11	<1	0.9	<1	5
BH.4/1	9	<1	0.3	<1	6
BH.6/1	17	<1	0.1	<1	3
BH.6/2	15	<1	0.2	<1	4
BH.6/4	17	<1	0.4	<1	5
BH.6/5	25	<1	0.2	<1	6
BH.6/7	12	<1	0.8	<1	7
BH.6/8	20	<1	0.6	<1	2
BH.6/9	14	<1	0.5	<1	5
BH-5.2	8	<1	0.2	<1	4
BH-5.5	6	<1	0.2	<1	7
BH-2.3	9	<1	0.3	<1	6
BH-2.4	11	<1	0.7	<1	5
BH-2.7	8	<1	0.5	<1	5
BH-2.8	13	<1	0.6	<1	4
BH-2.9	10	<1	0.4	<1	2
BH-5M/1	10	<1	0.2	<1	3
BH-5M/4	8	<1	0.4	<1	5
K-6.2	7	<1	0.5	<1	6
K-2	12	<1	0.3	<1	4



شکل شماره (۹-۳) - نمودارهای آنالیز XRD بعضی از نمونه های انتخاب شده از مغذه های بست آمده از

چاههای حفاری شده در منطقه شوراب کاشمر





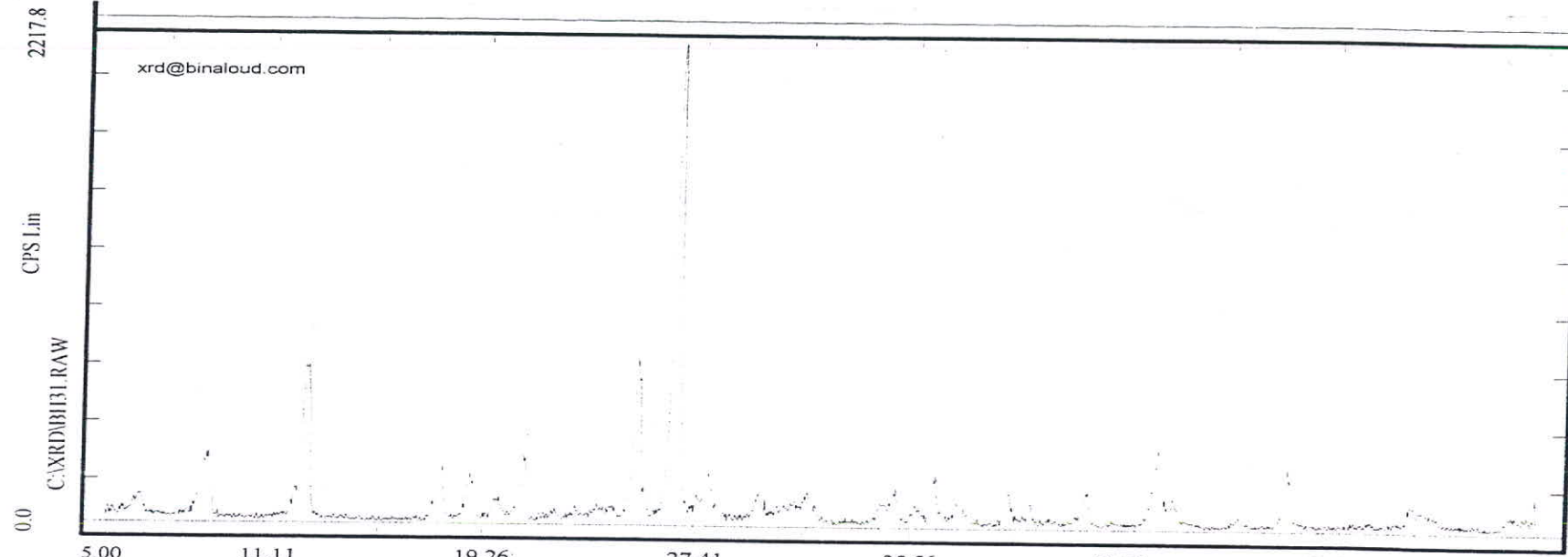
دانشگاه  
کاشمر

2217.8

CPS lin

C:\XRD\BH31.RAW

0.0



Sample:  
BH 3/1

Date :  
7/3/2002

kV = 40  
mA = 30  
Ka. = Cu  
Fl. = Ni

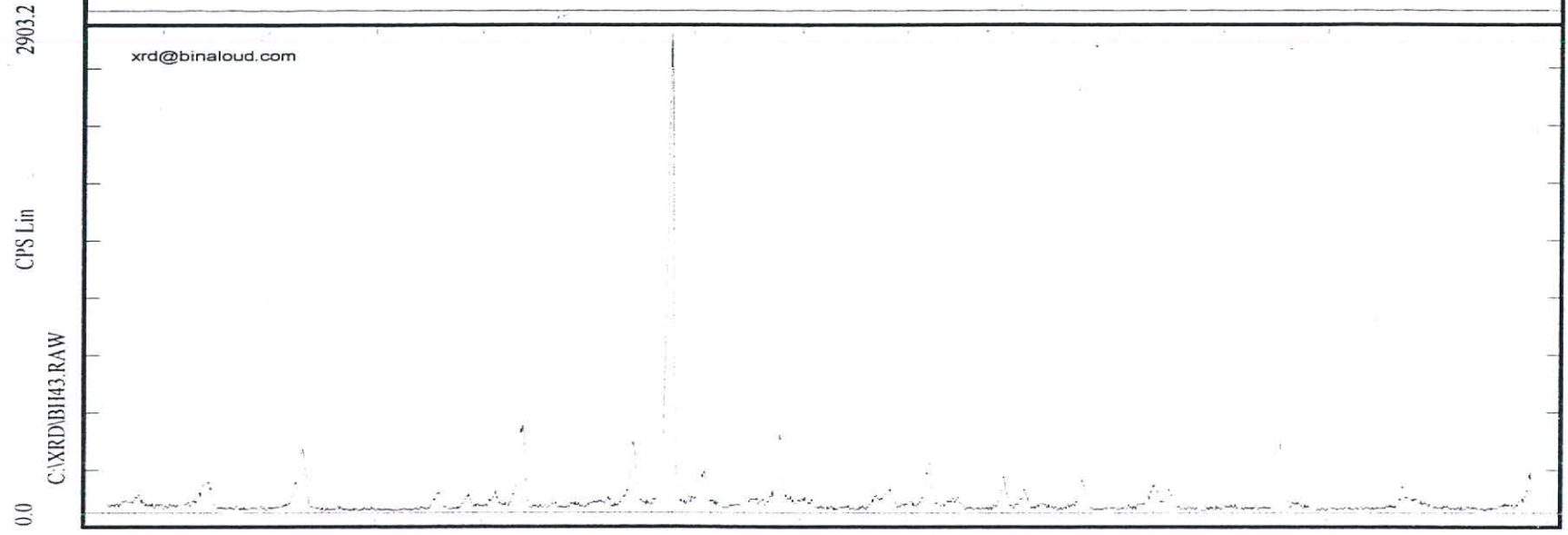
Angle	d-value	Rel. int.
2 Theta	Angstrom	%
6.350	13.908	4
8.750	10.098	12
9.005	9.812	10
12.675	6.978	28
17.830	4.971	12
18.950	4.679	8
19.890	4.460	4
20.950	4.237	14
22.120	4.015	2
22.930	3.875	3

Angle	d-value	Rel. int.
2 Theta	Angstrom	%
24.065	3.695	2
24.345	3.653	3
25.295	3.518	32
26.725	3.333	100
27.915	3.194	10
29.840	2.992	6
31.725	2.818	6
34.445	2.602	3
35.060	2.557	7
35.850	2.503	3

Angle	d-value	Rel. int.
2 Theta	Angstrom	%
36.620	2.452	9
37.490	2.397	5
37.920	2.371	2
39.510	2.279	7
40.355	2.233	4
42.560	2.122	7
43.570	2.076	1
45.355	1.998	14
45.825	1.979	6
48.245	1.885	2

Major Phase(s)  
Quartz (33-1161)  
SiO<sub>2</sub>  
  
Chlorite (29-0701)  
(Mg,Fe)6(Si,Al)4O10(OH)8  
  
illite (26-0911)  
(K,H<sub>3</sub>O)Al<sub>2</sub>Si<sub>3</sub>AlO<sub>10</sub>(OH)2

Minor Phases(s)  
Albite (09-0466)  
NaAlSi<sub>3</sub>O<sub>8</sub>



۲۴-۶  
طراحی و اکتشاف نیمه تجزیی جیوه شوراب کاشمر  
فصل ششم - زیوپسیمی

1897.3

CPS Lin

C:\XRD\BH\62.RAW

xrd@binloud.com

Sample: BH 6/2  
Date : 7/3/2002  
kV = 40  
mA = 30  
Ka, = Cu  
Fil. = Ni

Angle	d-value	Rel. int.
2 Theta	Angstrom	%
6.235	14.164	5
8.960	9.861	20
12.635	7.000	14
15.860	5.576	1
17.590	5.010	12
18.960	4.677	4
19.940	4.449	8
20.965	4.234	13
22.895	3.881	2
23.970	3.709	3

Angle	d-value	Rel. int.
2 Theta	Angstrom	%
25.360	3.509	15
26.730	3.332	100
27.995	3.185	8
29.945	2.981	6
31.245	2.860	4
32.025	2.792	3
35.080	2.556	8
35.870	2.501	3
36.610	2.453	9
37.800	2.378	3

Angle	d-value	Rel. int.
2 Theta	Angstrom	%
39.530	2.278	6
40.325	2.235	4
42.490	2.126	6
45.305	2.000	15
48.130	1.889	1
50.180	1.817	11
52.900	1.729	1
54.950	1.670	3

Major Phase(s)  
Quartz (33-1161)  
SiO<sub>2</sub>  
illite (26-0911)  
(K,H<sub>3</sub>O)Al<sub>2</sub>Si<sub>3</sub>AlO<sub>10</sub>(OH)<sub>2</sub>  
Chlorite (29-0701)  
(Mg,Fe)<sub>6</sub>(Si,Al)<sub>4</sub>O<sub>10</sub>(OH)<sub>8</sub>

Minor Phase(s)  
Albite (09-0466)  
NaAlSi<sub>3</sub>O<sub>8</sub>

60.00

51.85

43.70

35.56

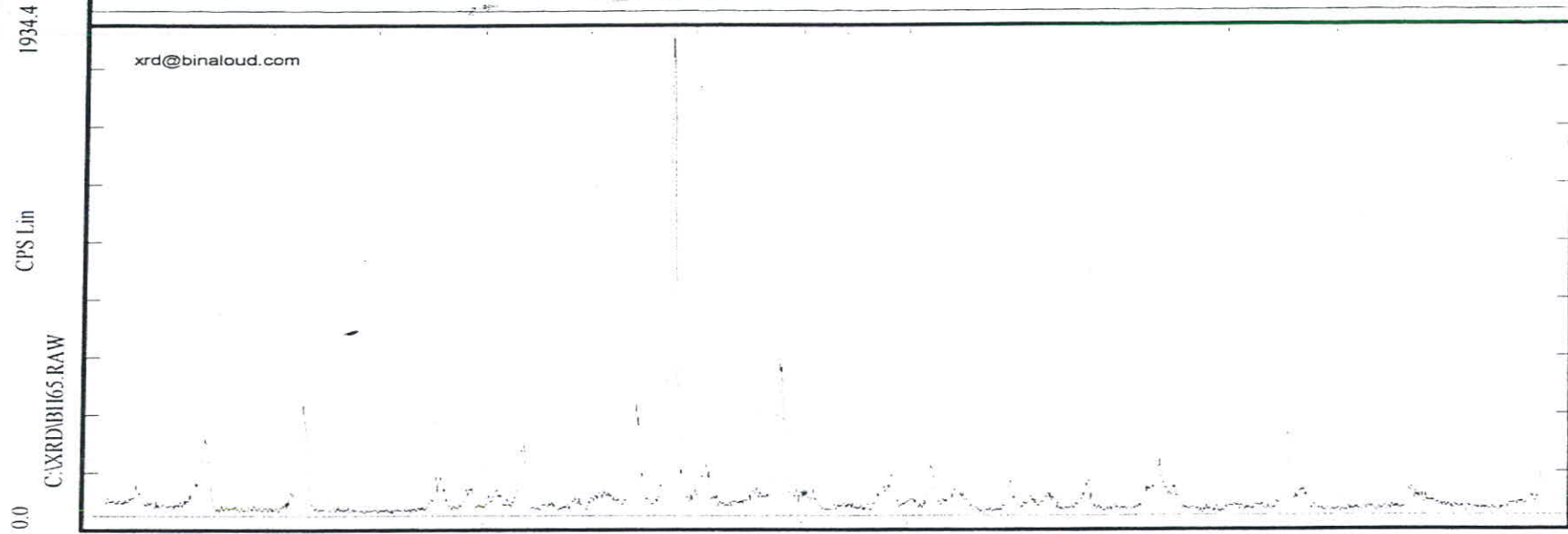
27.41

19.26

11.11

5.00

 طرح اکتشاف نیمه تخصصی ججوه شوراب کاپر فصل ششم - زوئوپسیدی
۱۹۳۴.۴



Sample:  
BH 6/5

Angle	d-value	Rel. int.
2 Teta	Angstrom	%
6.180	14.290	6
8.845	9.989	15
12.535	7.056	23
17.735	4.997	6
18.935	4.683	5
19.945	4.448	4
20.945	4.238	15
22.070	4.024	2
22.995	3.864	2
24.180	3.678	4

Angle	d-value	Rel. int.
2 Teta	Angstrom	%
25.245	3.525	23
26.715	3.334	100
28.025	3.181	8
29.835	2.992	4
30.795	2.901	31
32.040	2.791	5
33.245	2.693	1
35.075	2.556	7
35.855	2.502	2
36.580	2.454	10

Angle	d-value	Rel. int.
2 Teta	Angstrom	%
37.545	2.394	3
38.700	2.325	1
39.505	2.279	7
40.330	2.234	3
41.020	2.198	3
42.495	2.126	6
43.560	2.076	2
45.195	2.005	10
45.835	1.978	5
48.130	1.889	1

Major Phase(s)

Quartz (33-1161)  
SiO<sub>2</sub>

Minor Phase(s)

Abita (09-0466)  
NaAlSi<sub>3</sub>O<sub>8</sub>

Illite (26-0911)  
(K.H<sub>3</sub>O)Al<sub>2</sub>Si<sub>3</sub>AlO<sub>10</sub>(OH)<sub>2</sub>

Chlorite (29-0701)  
(Mg,Fe)<sub>6</sub>(Si,Al)<sub>4</sub>O<sub>10</sub>(OH)<sub>8</sub>

۲۶۴

طرح اکتشاف نیمه تفصیلی جیوه شهواراب کاشمر  
فصل سوم - زوئیندی

xrd@binaloud.com



Sample:  
BH 69

Date :  
7/3/2002

kV = 40  
mA = 30  
Ka = Cu  
Fil. = Ni

Angle	d-value	Rel. int.
2 Theta	Angstrom	%
6.105	14.465	2
8.730	10.121	10
8.915	9.911	8
12.635	7.000	13
17.750	4.993	7
18.810	4.714	4
19.780	4.485	5
20.925	4.242	13
22.090	4.021	3
23.975	3.709	4

Angle	d-value	Rel. int.
2 Theta	Angstrom	%
25.240	3.526	19
26.690	3.337	100
27.890	3.196	9
28.850	2.991	6
30.820	2.899	17
31.745	2.816	4
33.430	2.678	2
35.005	2.561	11
36.575	2.455	12
37.640	2.388	4

Angle	d-value	Rel. int.
2 Theta	Angstrom	%
39.545	2.277	6
40.210	2.241	3
40.875	2.206	4
42.525	2.124	6
45.210	2.004	7
45.850	1.977	4
48.030	1.893	1
50.185	1.816	14
50.795	1.796	4
54.880	1.672	5

Major Phase(s)  
Quartz (33-1161)  
SiO<sub>2</sub>

Illite (26-0911)  
(K,H<sub>3</sub>O)Al<sub>2</sub>Si<sub>3</sub>AlO<sub>10</sub>(OH)<sub>2</sub>

Chlorite (29-0701)  
(Mg,Fe)<sub>6</sub>(Si,Al)4O<sub>10</sub>(OH)<sub>8</sub>

Minor Phase(s)  
Albite (09-0466)  
NaAlSi<sub>3</sub>O<sub>8</sub>

۱۷-۶	 طرح اکتشاف نیمه تحقیقی جیوه شوراب کاشمر فصل ششم - زئوپشیمی
------	---

شكل شماره (۴-۵) - نمودارهای آنالیز XRD بعضی از زمینه های انتخاب شده از منظره های بست آمده از

جهاتی حفاظی شده در منطقه شوراب کاشمر - مرحله دوم  
 CPS Lin

(۰)

C:\XRD\BH124.RAW



5.00

11.11

19.26

27.41

35.56

43.70

51.85

Sample:  
BH. 2/4

Date :  
20/4/2002

kV = 40

mA = 30

Ka. = Cu

Filt. = Ni

Angle	d-value	Rel. int.
2 Theta	Angstrom	%

6.295	14.029	6
8.760	10.086	25
8.905	9.922	20
12.535	7.056	32
13.810	6.407	1
17.720	5.001	9
18.840	4.706	8
19.790	4.482	8
20.875	4.252	14
22.065	4.025	4

22.920	3.877	4
24.215	3.672	5
25.225	3.528	29
26.650	3.342	100
27.910	3.194	18
29.485	3.027	13
31.200	2.864	7
31.885	2.804	4
34.490	2.598	6
34.935	2.566	12

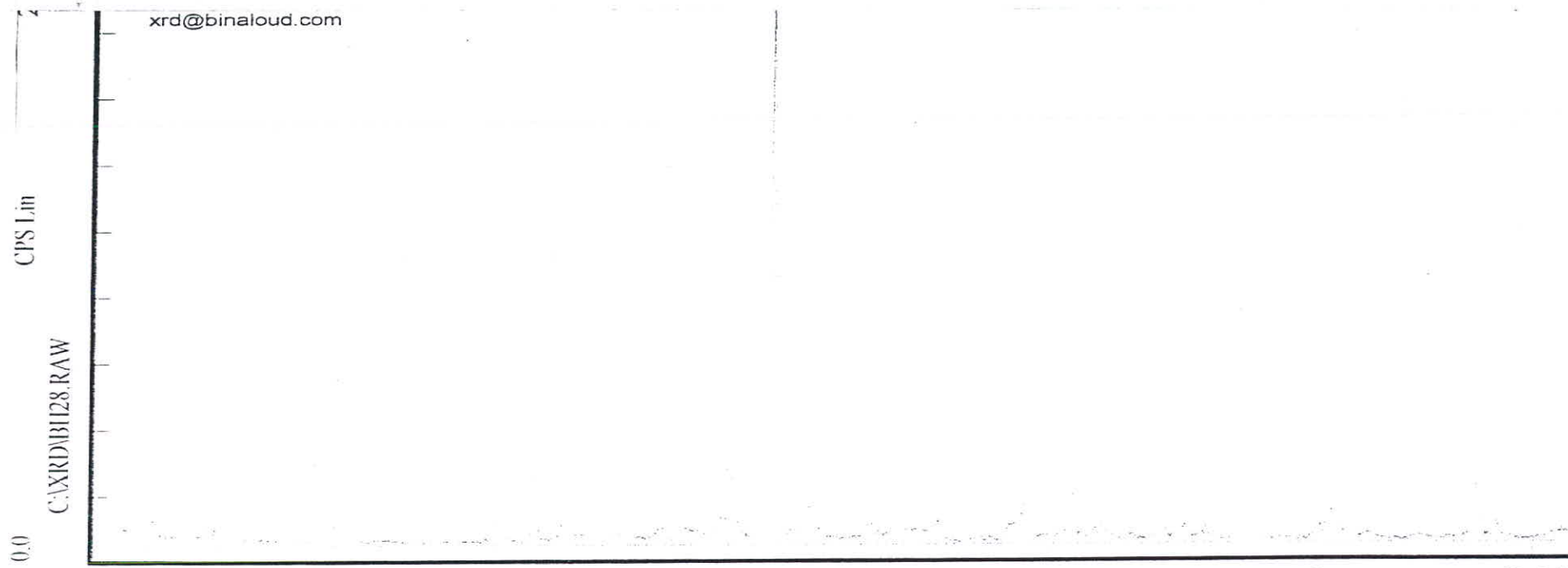
35.760	2.509	4
36.515	2.459	11
37.400	2.403	5
37.780	2.379	3
39.455	2.282	6
40.105	2.247	2
42.445	2.128	8
45.160	2.006	12
45.825	1.979	4
47.895	1.898	2

Major Phase(s)	Quartz (33-1161)	Minor Phase(s)	Albite (09-0466)
	SiO <sub>2</sub>		NaAlSi <sub>3</sub> O <sub>8</sub>

Chlorite (29-0701)	Calcite (05-0586)
(Mg,Fe) <sub>6</sub> (Si,Al) <sub>4</sub> O <sub>10</sub> (OH) <sub>8</sub>	CaCO <sub>3</sub>

Muscovite (07-0025)	illite (26-0911)
KAl <sub>2</sub> Si <sub>3</sub> AlO <sub>10</sub> (OH) <sub>2</sub>	(K,H <sub>3</sub> O)Al <sub>2</sub> Si <sub>3</sub> AlO <sub>10</sub> (OH) <sub>2</sub>

 بینالود تحقیقات و پژوهش مرکز
۲۸۴



Sample:  
BH. 2/8

Date :  
20/4/2002

kV = 40
mA = 30
Ka. = Cu
Fil. = Ni

Angle	d-value Angstrom	Rel. int. %
2 Theta		
6.205	14.232	3
8.685	10.173	8
8.845	9.989	8
12.550	7.047	15
17.725	5.000	4
18.840	4.706	3
19.805	4.479	6
20.845	4.258	18
22.005	4.036	2
22.865	3.886	2

Angle	d-value Angstrom	Rel. int. %
2 Theta		
23.730	3.746	3
25.190	3.532	12
26.630	3.345	100
27.945	3.190	6
29.885	2.987	3
30.820	2.899	15
32.170	2.780	4
34.445	2.602	3
34.995	2.562	6
36.545	2.457	9

Angle	d-value Angstrom	Rel. int. %
2 Theta		
37.635	2.388	2
38.455	2.339	1
39.475	2.281	6
40.305	2.236	3
40.930	2.203	2
42.450	2.128	7
45.165	2.006	4
45.795	1.980	4
48.265	1.884	1
50.090	1.820	10

Major Phase(s)  
 Quartz (33-1161)  
 SiO<sub>2</sub>

Minor Phase(s)  
 Albite (09-0466)  
 NaAlSi<sub>3</sub>O<sub>8</sub>

Chlorite (29-0701)  
 (Mg,Fe)6(Si,Al)4O<sub>10</sub>(OH)8

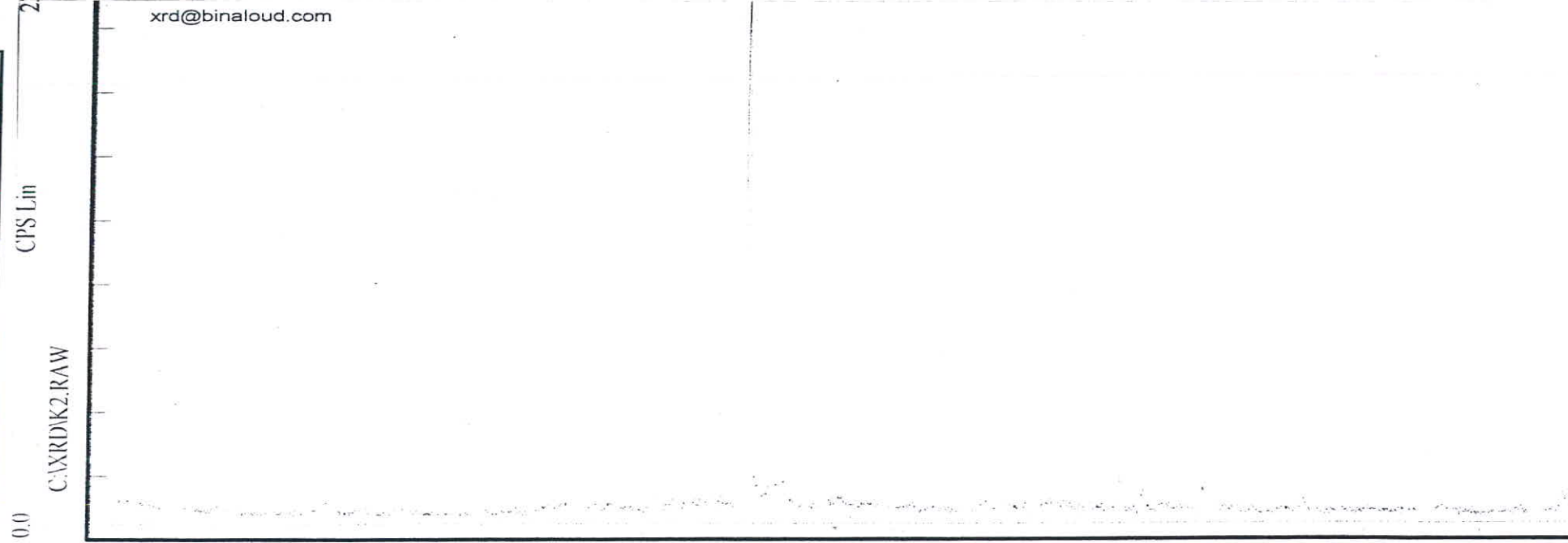
Muscovite (07-0025)  
 KAl<sub>2</sub>Si<sub>3</sub>AlO<sub>10</sub>(OH)2

Illite (26-0911)  
 (K,H<sub>3</sub>O)Al<sub>2</sub>Si<sub>3</sub>AlO<sub>10</sub>(OH)2

۲۹-۶

محل اکتشاف نیمه ناقصیلی جیوه شوراب کاشمر  
فصل ششم - زوئینه





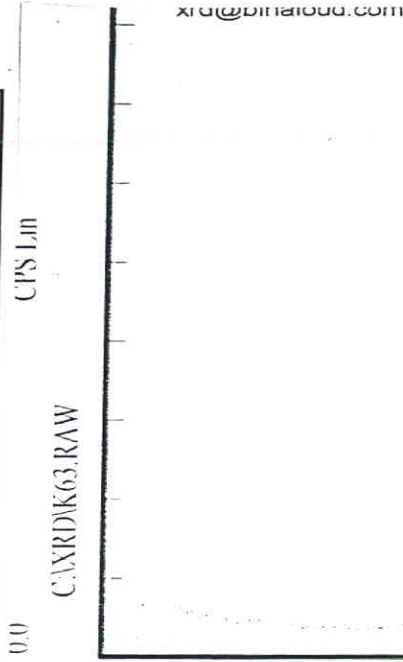
Major Phase(s)  
Quartz (33-1161)  
SiO<sub>2</sub>

Minor Phase(s)  
Albite (09-0466)  
NaAlSi<sub>3</sub>O<sub>8</sub>

Kaolinite (29-1488)  
Al<sub>2</sub>Si<sub>2</sub>O<sub>5</sub>(OH)4

Trace Phase(s)  
Muscovite (07-0025)  
KA<sub>2</sub>Si<sub>3</sub>AlO<sub>10</sub>(OH)2

 طرح اکتشاف نمایه خصیلی جیوه شوراب کاشمر
فصل ششم - رُزْنیشیدی
۳۰-۹



Sample:  
K - 6 / 3

Date :  
17/4/2002

kV = 40  
mA = 30  
Ka. = Cu  
Fil. = Ni

Angle	d-value	Rel. int.
2 Theta	Angstrom	%
12.335	7.170	1
16.060	5.514	1
20.895	4.248	7
21.890	4.057	1
23.075	3.851	8
26.660	3.341	38
27.520	3.238	2
27.930	3.192	3
29.425	3.033	100
31.420	2.845	1

Angle	d-value	Rel. int.
2 Theta	Angstrom	%
34.880	2.570	1
35.970	2.495	10
36.590	2.454	2
39.435	2.283	18
40.330	2.234	2
42.510	2.125	3
43.175	2.094	14
45.745	1.962	1
47.535	1.911	14
48.505	1.875	14

Angle	d-value	Rel. int.
2 Theta	Angstrom	%
50.120	1.819	6
54.815	1.673	2
56.560	1.626	2
57.430	1.603	6

Major Phase(s)	
Calcite	(05-0586)
CaCO <sub>3</sub>	
Quartz	
(33-1161)	
SiO <sub>2</sub>	

Minor Phase(s)	
—	
Trace Phase(s)	
Albite	(09-0466)
NaAlSi <sub>3</sub> O <sub>8</sub>	
Kaolinite	(29-1488)
Al <sub>2</sub> Si <sub>2</sub> O <sub>5</sub> (OH)4	
Muscovite	(07-0025)
KAl <sub>2</sub> Si <sub>3</sub> AlO <sub>10</sub> (OH)2	

# KANSARAN BINALOUD



کانساران  
بینالود

شماره: ۱۸۴۷

تاریخ: ۸۰/۱۲/۱۸

بنام خدا

مدیریت محترم شرکت کاوش کانسار

با سلام:

احتراماً نتیجه آنالیز نمونه های ارسالی که بروش XRD & XRF تجزیه کردیده اند بشرح

پیوست می باشد.

با نشکر  
جواد همتی

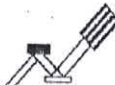
تهران - انتهاي بلوار اشرفی اصفهانی - بخش گوجه شکوفه - پلاک ۱ - طبقه سوم جلوبي

تلفن: ۹۱۱۲۰۷۸۷۱۳ - همراه: ۴۸۰۱۸۸۸

مشهد - رضاشهر - حاشيه سمنو - پلاک ۱۵۰ - تلفن: ۰۵۱۱۸۸۴۶۶۴ - همراه: ۹۱۷۷۵-۳۵۶

e-mail: [xrd@binaloud.com](mailto:xrd@binaloud.com) or [xrf@binaloud.com](mailto:xrf@binaloud.com)

<http://www.binaloud.com>



Sample	SiO <sub>2</sub>	Al <sub>2</sub> O <sub>3</sub>	Fe <sub>2</sub> O <sub>3</sub>	CaO	Na <sub>2</sub> O	K <sub>2</sub> O	MgO	MnO	TiO <sub>2</sub>	P <sub>2</sub> O <sub>5</sub>
	%	%	%	%	%	%	%	%	%	%
BH.1/1	65.48	15.58	5.20	2.51	1.185	2.54	1.945	0.059	0.677	0.170
BH.1/2	56.68	20.08	6.98	0.48	1.338	4.03	2.129	0.057	0.872	0.158
BH.3/1	58.64	19.67	7.57	0.60	0.845	4.11	2.103	0.068	0.903	0.213
BH.3/2	59.57	17.89	8.04	1.03	0.991	3.42	2.194	0.093	0.929	0.217
BH.3/3	57.06	17.85	8.36	2.80	0.876	3.54	2.658	0.266	0.893	0.197
BH.4/1	50.97	12.31	5.44	11.12	0.731	2.25	1.691	0.050	0.674	0.158
BH.4/2	57.67	19.79	6.69	1.74	0.865	4.07	1.894	0.103	0.880	0.179
BH.4/3	61.51	16.45	7.13	2.45	0.692	2.68	2.105	0.203	0.620	0.176
BH.6/1	33.24	9.79	6.50	23.83	0.404	1.97	1.702	0.144	0.526	0.108
BH.6/2	55.24	22.02	7.00	0.62	0.596	4.92	1.948	0.045	0.817	0.189
BH.6/3	61.88	16.16	6.16	2.55	0.977	2.92	1.622	0.088	0.698	0.168
BH.6/4	55.44	19.69	7.87	2.09	0.653	4.27	2.283	0.080	0.878	0.188
BH.6/5	54.13	18.18	7.61	4.41	0.790	3.78	2.590	0.160	0.831	0.179
BH.6/6	55.70	19.22	6.60	3.67	0.820	4.02	2.511	0.135	0.875	0.197
BH.6/7	56.05	18.47	7.42	3.18	0.848	3.87	2.468	0.126	0.859	0.186
BH.6/8	57.59	17.99	8.18	2.48	0.852	3.62	2.448	0.107	0.827	0.182
BH.6/9	56.30	18.85	7.46	2.68	0.788	3.89	2.407	0.106	0.820	0.202
G.K	52.61	10.45	11.39	1.30	0.705	3.77	3.633	0.175	1.469	0.468

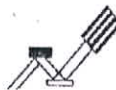
تهران - انتهای بلوار اشرفی اصفهانی - بیش کوچه شکوفه - پلاک ۱ - طبقه سوم خلوتی

تلفن: ۰۲۱-۸۸۸۱۴۸ - همراه: ۰۹۱۱۲۰۷۷۸

مشهد - رضاهبر - حاشیه ستون - پلاک ۱۵۰ - تلفن: ۰۵۱(۸۸۴۶۶۴) ص - ب - ۰۳۵۴-۷۷۷۱

e-mail : [xrd@binaloud.com](mailto:xrd@binaloud.com) or [xrf@binaloud.com](mailto:xrf@binaloud.com)

<http://www.binaloud.com>



Sample	S	Cl	V	Cr	Co	Ni	Cu	Zn	Rb	Sr
	ppm	ppm	ppm	ppm						
BH.1/1	287	162	103	176	15	42	34	69	102	1324
BH.1/2	100	27	112	114	22	61	34	95	188	117
BH.3/1	183	93	180	114	24	55	14	72	186	63
BH.3/2	356	168	130	111	16	56	55	118	154	67
BH.3/3	287	85	163	107	23	52	26	87	160	67
BH.4/1	191	232	62	110	20	40	35	78	96	124
BH.4/2	80	167	162	115	20	53	34	75	183	69
BH.4/3	250	273	66	139	19	44	25	69	112	53
BH.6/1	118	130	17	77	15	46	37	78	93	72
BH.6/2	36	40	190	118	21	50	39	117	237	139
BH.6/3	54	123	116	136	12	40	28	83	125	101
BH.6/4	93	33	126	116	23	81	285	102	208	75
BH.6/5	671	96	157	100	22	54	39	117	178	67
BH.6/6	622	132	141	105	22	54	36	93	186	70
BH.6/7	485	54	85	107	18	58	33	103	186	75
BH.6/8	440	36	111	96	21	58	31	99	169	60
BH.6/9	603	43	148	105	23	55	37	90	187	63
G.K	92	145	137	194	73	288	75204	153	69	51

تهران - انتهاي بلوار اشرفی اصفهاني - بخش کوچه شکوفه - بلاک ۱ - طبقه سوم جنوبی

تلفن: ۰۲۶۰۸۸۸ - تلفن: ۰۲۶۰۸۸۸۰۴۸ - تلفن: ۰۲۶۰۸۷۷۲۱

مشهد - رضاهشهر - حاشیه سنتو - بلاک ۱۵ - تلفن: ۰۵۱(۸۸۴۶۶۴) - تلفن: ۰۳۵۶(۹۱۷۷۵)

e-mail : [xrd@binaloud.com](mailto:xrd@binaloud.com) or [xrf@binaloud.com](mailto:xrf@binaloud.com)

<http://www.binaloud.com>



Sample	Y	Nb	Ba	W	Pb	La	Ce	Th	U	Mo
	ppm									
BH.1/1	22	12	325	1	25	12	18	10	21	16
BH.1/2	28	17	465	1	34	10	14	17	8	3
BH.3/1	29	19	477	2	23	9	12	22	9	1
BH.3/2	31	21	412	1	33	8	13	19	6	4
BH.3/3	31	18	427	7	23	5	10	19	3	1
BH.4/1	24	13	719	2	33	16	11	14	7	13
BH.4/2	28	18	506	6	24	13	20	17	4	4
BH.4/3	25	12	259	0	38	9	11	12	3	8
BH.6/1	21	8	443	2	35	15	18	19	1	12
BH.6/2	24	14	458	4	23	12	19	21	2	4
BH.6/3	26	12	294	6	36	10	23	10	4	6
BH.6/4	27	16	450	4	32	9	14	18	1	2
BH.6/5	26	15	399	6	39	8	10	17	5	3
BH.6/6	26	17	436	4	38	11	6	19	3	3
BH.6/7	26	18	429	1	41	20	7	17	2	1
BH.6/8	26	14	380	2	32	17	13	16	1	3
BH.6/9	25	16	421	2	29	8	4	17	1	3
G.K	29	37	575	0	44	10	9	6	2	1

تهران - اتیاپی بلوار لشتری اصفهانی - بیش کوچه شکوفه - پلاک ۱ - طبقه سوم جنوبی

تلفن: ۰۲۱-۴۸۰۱۸۸۸ - همراه: ۰۹۱۱۲۰۷۸۲۱۲

مشهد - رضاشیر - حاشیه سنتو - پلاک ۱۵۰ - تلفن: ۰۵۱-۰۸۸۴۶۶۴ - ص- ب- ۰۸۸۴۶۶۴-۰۵۱

e-mail: [xrd@binaloud.com](mailto:xrd@binaloud.com) or [xrf@binaloud.com](mailto:xrf@binaloud.com)

<http://www.binaloud.com>



Sample	Zr	As	Sb	Sn	Ag	Cd
	ppm	ppm	ppm	ppm	ppm	ppm
BH.1/1	163	5	1	3	2	1
BH.1/2	196	15	1	5	3	1
BH.3/1	185	4	1	7	5	1
BH.3/2	210	14	1	5	1	1
BH.3/3	184	2	1	2	3	1
BH.4/1	254	13	1	1	1	1
BH.4/2	194	9	1	4	3	1
BH.4/3	210	7	1	5	2	1
BH.6/1	175	22	1	1	2	1
BH.6/2	186	16	1	2	3	1
BH.6/3	155	15	1	9	2	1
BH.6/4	182	17	1	3	3	1
BH.6/5	172	27	1	1	2	1
BH.6/6	179	10	1	5	4	1
BH.6/7	178	15	1	6	6	1
BH.6/8	176	18	1	1	2	1
BH.6/9	173	13	1	2	2	1
G.K	196	5	2	1	5	1

xrd@binaloud.com

5.00

11.11

19.26

27.41

35.56

43.70

51.85

60.00

Sample:	BH 6/9
---------	--------

Angle	d-value	Rel. int.
2 Theta	Angstrom	%
6.105	14.465	2
8.730	10.121	10
8.915	9.911	8
12.635	7.000	13
17.750	4.993	7
18.810	4.714	4
19.780	4.485	5
20.925	4.242	13
22.090	4.021	3
23.975	3.709	4

Date :	7/3/2002
--------	----------

kV = 40
mA = 30
Ka. = Cu
Fil. = Ni

Angle	d-value	Rel. int.
2 Theta	Angstrom	%
25.240	3.526	19
26.690	3.337	100
27.890	3.196	9
29.850	2.991	6
30.820	2.899	17
31.745	2.816	4
33.430	2.678	2
35.005	2.561	11
36.575	2.455	12
37.640	2.388	4

Angle	d-value	Rel. int.
2 Theta	Angstrom	%
39.545	2.277	6
40.210	2.241	3
40.875	2.206	4
42.525	2.124	6
45.210	2.004	7
45.850	1.977	4
48.030	1.893	1
50.185	1.816	14
50.795	1.796	4
54.880	1.672	5

Major Phase(s)
Quartz (33-1161)
SiO <sub>2</sub>

illite (26-0911)
(K,H <sub>3</sub> O)Al <sub>2</sub> Si <sub>3</sub> AlO <sub>10</sub> (OH) <sub>2</sub>

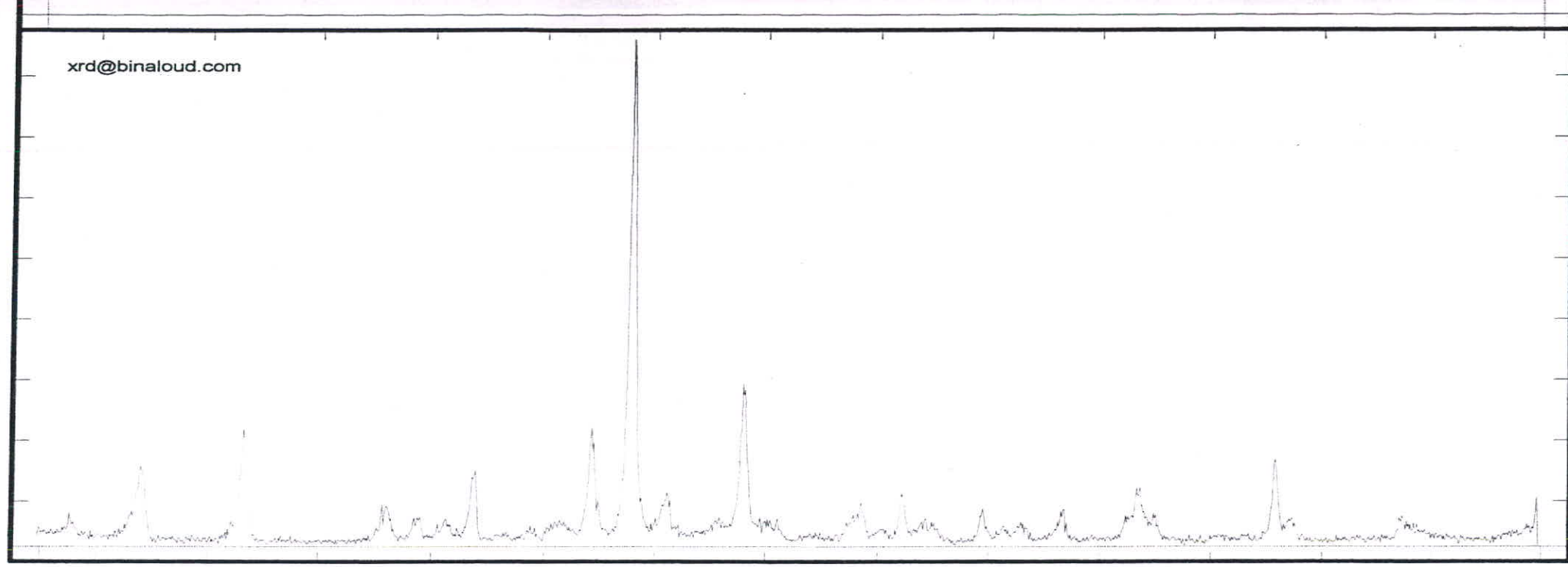
Chlorite (29-0701)
(Mg,Fe)6(Si,Al)4O <sub>10</sub> (OH)8

Minor Phase(s)
Albite (09-0466)
NaAlSi <sub>3</sub> O <sub>8</sub>

1934.4

CPS Lin

C:\XRD\BH65.RAW



Sample:	BH 6/5
---------	--------

Angle	d-value	Rel. int.
2 Theta	Angstrom	%
6.180	14.290	6
8.845	9.989	15

Date :	7/3/2002
--------	----------

kV = 40	Angle	d-value	Rel. int.
mA = 30	2 Theta	Angstrom	%
Ka. = Cu	20.945	4.238	15
Fil. = Ni	22.070	4.024	2
	22.995	3.864	2
	24.180	3.678	4

Angle	d-value	Rel. int.
2 Theta	Angstrom	%
25.245	3.525	23
26.715	3.334	100

Angle	d-value	Rel. int.
2 Theta	Angstrom	%
28.025	3.181	8
29.835	2.992	4
30.795	2.901	31
32.040	2.791	5
33.245	2.693	1
35.075	2.556	7
35.855	2.502	2
36.580	2.454	10

Angle	d-value	Rel. int.
2 Theta	Angstrom	%
37.545	2.394	3
38.700	2.325	1
39.505	2.279	7
40.330	2.234	3
41.020	2.198	3
42.495	2.126	6
43.560	2.076	2
45.195	2.005	10
45.835	1.978	5
48.130	1.889	1

Major Phase(s)
Quartz (33-1161)
SiO <sub>2</sub>

Minor Phase(s)
Albite (09-0466)
NaAlSi <sub>3</sub> O <sub>8</sub>

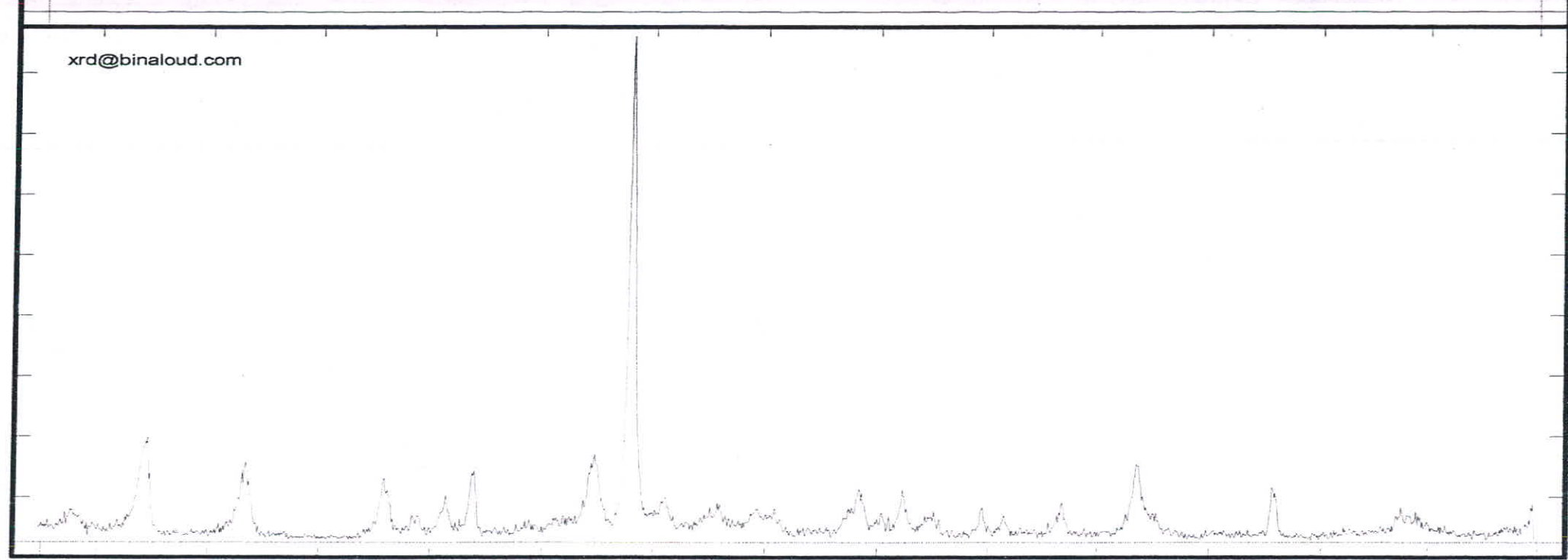
illite (26-0911)
(K,H <sub>3</sub> O)Al <sub>2</sub> Si <sub>3</sub> AlO <sub>10</sub> (OH) <sub>2</sub>

Chlorite (29-0701)
(Mg,Fe) <sub>6</sub> (Si,Al) <sub>4</sub> O <sub>10</sub> (OH) <sub>8</sub>

1897.3

CPS Lin

C:\XRD\BH62.RAW



Sample:	BH 6/2
---------	--------

Angle	d-value Angstrom	Rel. int. %
2 Theta		
6.235	14.164	5
8.960	9.861	20
12.635	7.000	14
15.880	5.576	1
17.690	5.010	12
18.960	4.677	4
19.940	4.449	8
20.965	4.234	13
22.895	3.881	2
23.970	3.709	3

Date :	7/3/2002
--------	----------

kV = 40
mA = 30
Ka. = Cu
Fil. = Ni

Angle	d-value Angstrom	Rel. int. %
2 Theta		
25.360	3.509	15
26.730	3.332	100
27.995	3.185	8
29.945	2.981	6
31.245	2.860	4
32.025	2.792	3
35.080	2.556	8
35.870	2.501	3
36.610	2.453	9
37.800	2.378	3

Angle	d-value Angstrom	Rel. int. %
2 Theta		
39.530	2.278	6
40.325	2.235	4
42.490	2.126	6
45.305	2.000	15
48.130	1.889	1
50.180	1.817	11
52.900	1.729	1
54.950	1.670	3

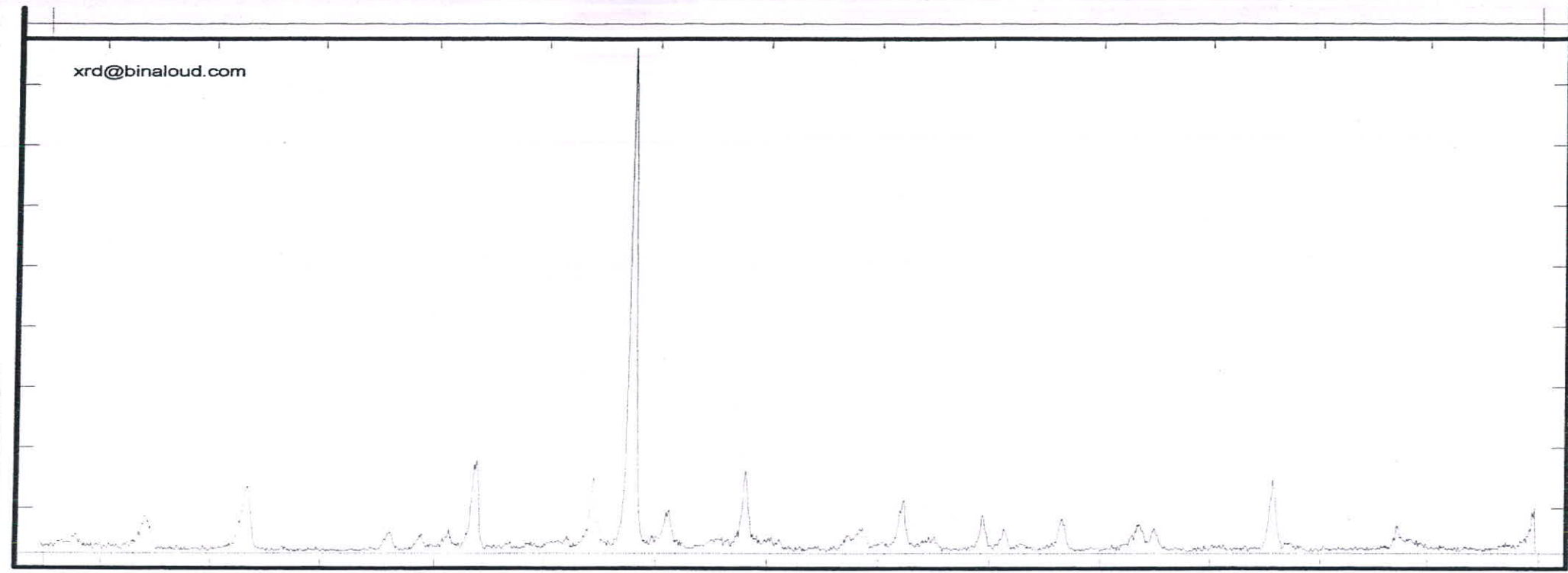
Major Phase(s)		
Quartz	(33-1161)	
SiO <sub>2</sub>		

Minor Phase(s)		
Albite	(09-0466)	
NaAlSi <sub>3</sub> O <sub>8</sub>		

illite	(26-0911)
(K,H <sub>3</sub> O)Al <sub>2</sub> Si <sub>3</sub> AlO <sub>10</sub> (OH) <sub>2</sub>	

Chlorite	(29-0701)
(Mg,Fe) <sub>6</sub> (Si,Al) <sub>4</sub> O <sub>10</sub> (OH) <sub>8</sub>	





Sample:	BH 4/3
---------	--------

Angle	d-value	Rel. int.
2 Teta	Angstrom	%
6.235	14.164	3

Angle	d-value	Rel. int.
2 Teta	Angstrom	%
24.285	3.662	3

Angle	d-value	Rel. int.
2 Teta	Angstrom	%
36.625	2.452	11

Major Phase(s)		Minor Phase(s)	
Quartz	(33-1161)	Albite	(09-0466)
SiO <sub>2</sub>		NaAlSi <sub>3</sub> O <sub>8</sub>	

Date :	7/3/2002
--------	----------

Angle	d-value	Rel. int.
2 Teta	Angstrom	%
12.540	7.053	13

Angle	d-value	Rel. int.
2 Teta	Angstrom	%
15.090	5.866	0

Angle	d-value	Rel. int.
2 Teta	Angstrom	%
37.755	2.381	2

Major Phase(s)		Minor Phase(s)	
Chlorite	(29-0701)	Albite	(09-0466)
(Mg,Fe)6(Si,Al)4O10(OH)8		NaAlSi <sub>3</sub> O <sub>8</sub>	

kV = 40
mA = 30
Ka. = Cu
Fil. = Ni

Angle	d-value	Rel. int.
2 Teta	Angstrom	%
17.745	4.994	4

Angle	d-value	Rel. int.
2 Teta	Angstrom	%
18.895	4.693	3

Angle	d-value	Rel. int.
2 Teta	Angstrom	%
30.795	2.901	17

Major Phase(s)		Minor Phase(s)	
illite	(26-0911)	Albite	(09-0466)
(K,H <sub>3</sub> O)Al <sub>2</sub> Si <sub>3</sub> AlO <sub>10</sub> (OH) <sub>2</sub>		NaAlSi <sub>3</sub> O <sub>8</sub>	

Angle	d-value	Rel. int.
2 Teta	Angstrom	%
19.920	4.454	5

Angle	d-value	Rel. int.
2 Teta	Angstrom	%
20.935	4.240	19

Angle	d-value	Rel. int.
2 Teta	Angstrom	%
32.070	2.789	2

Major Phase(s)		Minor Phase(s)	
Chlorite	(29-0701)	Albite	(09-0466)
(Mg,Fe)6(Si,Al)4O10(OH)8		NaAlSi <sub>3</sub> O <sub>8</sub>	

Angle	d-value	Rel. int.
2 Teta	Angstrom	%
22.120	4.015	2

Angle	d-value	Rel. int.
2 Teta	Angstrom	%
34.470	2.600	3

Angle	d-value	Rel. int.
2 Teta	Angstrom	%
35.040	2.559	4

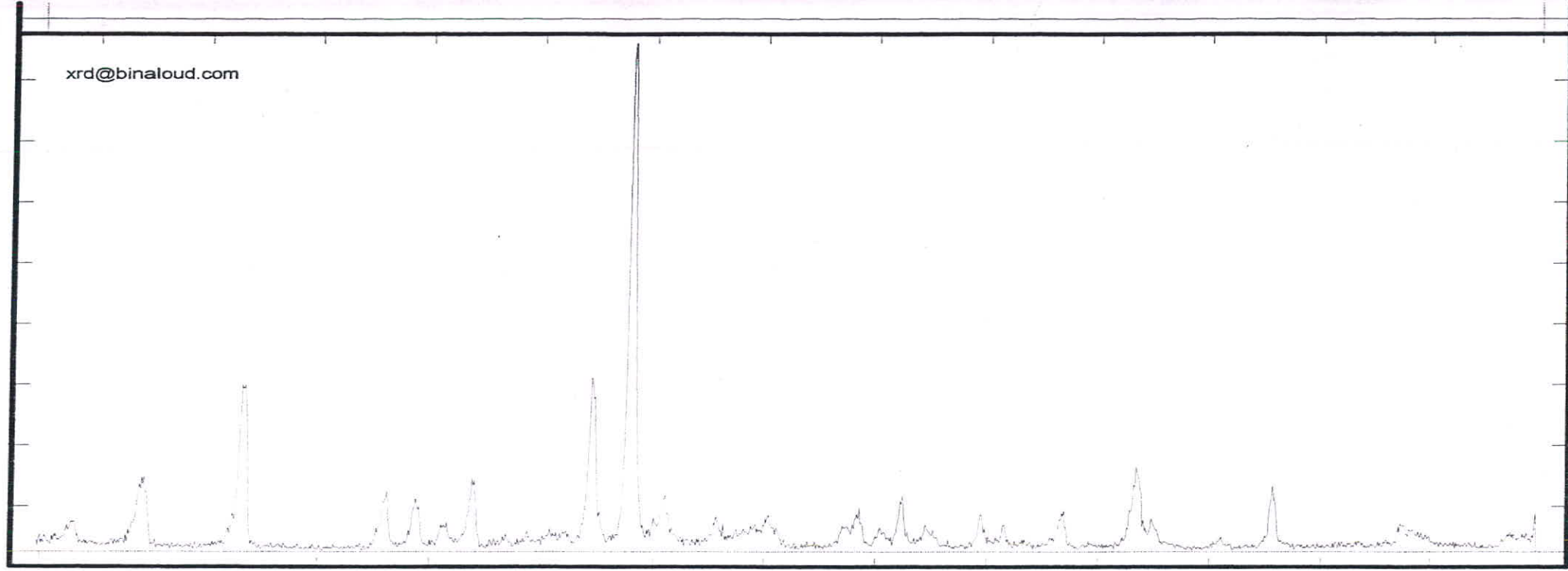
Major Phase(s)		Minor Phase(s)	
illite	(26-0911)	Albite	(09-0466)
(K,H <sub>3</sub> O)Al <sub>2</sub> Si <sub>3</sub> AlO <sub>10</sub> (OH) <sub>2</sub>		NaAlSi <sub>3</sub> O <sub>8</sub>	

Angle	d-value	Rel. int.
2 Teta	Angstrom	%
22.900	3.880	1

Angle	d-value	Rel. int.
2 Teta	Angstrom	%
35.040	2.559	4

Angle	d-value	Rel. int.
2 Teta	Angstrom	%
50.190	1.816	13

xrd@binaloud.com



Sample:  
BH 3/1

	Angle	d-value	Rel. int.
	2 Theta	Angstrom	%
	6.350	13.908	4
	8.750	10.098	12
	9.005	9.812	10
	12.675	6.978	28
	17.830	4.971	12
	18.950	4.679	8
	19.890	4.460	4
	20.950	4.237	14
	22.120	4.015	2
	22.930	3.875	3

kV = 40  
mA = 30  
Ka. = Cu  
Fil. = Ni

	Angle	d-value	Rel. int.
	2 Theta	Angstrom	%
	24.065	3.695	2
	24.345	3.653	3
	25.295	3.518	32
	26.725	3.333	100
	27.915	3.194	10
	29.840	2.992	6
	31.725	2.818	6
	34.445	2.602	3
	35.060	2.557	7
	35.850	2.503	3

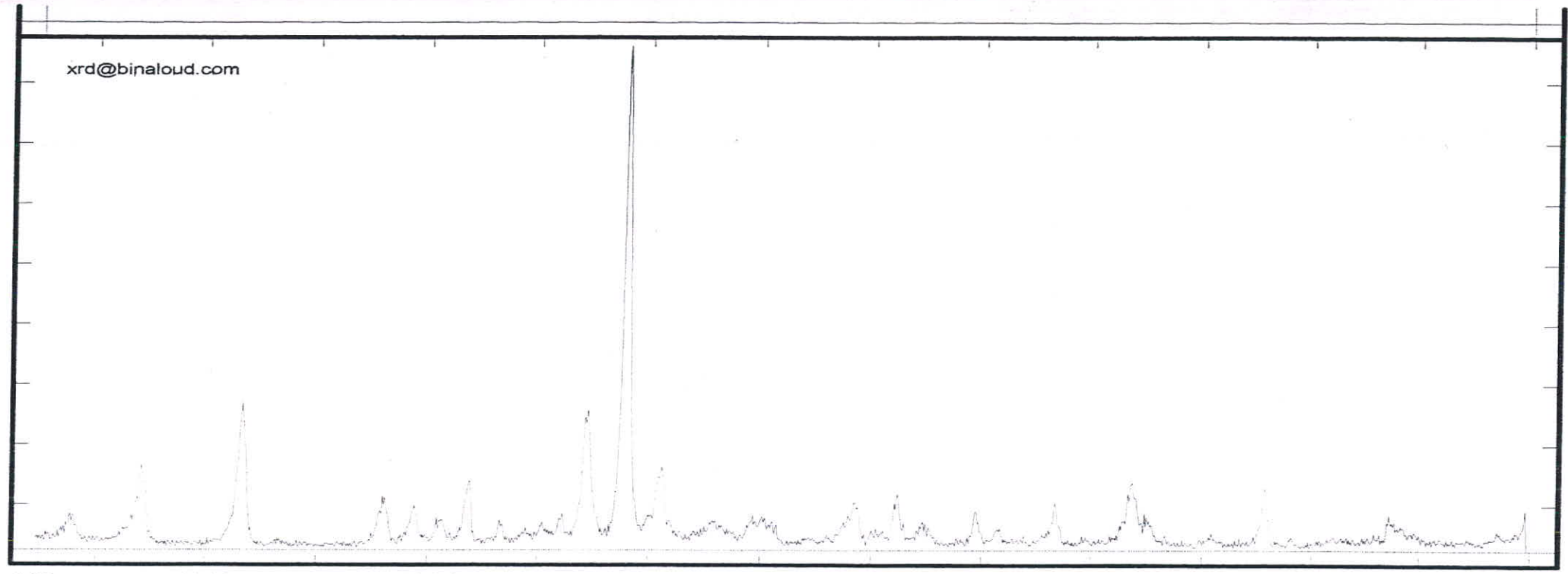
	Angle	d-value	Rel. int.
	2 Theta	Angstrom	%
	36.620	2.452	9
	37.490	2.397	5
	37.920	2.371	2
	39.510	2.279	7
	40.355	2.233	4
	42.560	2.122	7
	43.570	2.076	1
	45.355	1.998	14
	45.825	1.979	6
	48.245	1.885	2

Major Phase(s)  
Quartz (33-1161)  
SiO<sub>2</sub>

Minor Phase(s)  
Albite (09-0466)  
NaAlSi<sub>3</sub>O<sub>8</sub>

Chlorite (29-0701)  
(Mg,Fe)6(Si,Al)4O<sub>10</sub>(OH)8

illite (26-0911)  
(K,H<sub>3</sub>O)Al<sub>2</sub>Si<sub>3</sub>AlO<sub>10</sub>(OH)2



5.00

11.11

19.26

27.41

35.56

43.70

51.85

60.00

Sample:	BH 1/2
---------	--------

Angle	d-value	Rel. int.
2 Theta	Angstrom	%
6.305	14.007	5
6.835	10.001	16
6.965	9.856	12
12.565	7.039	29
13.880	6.375	1
17.790	4.982	10
18.890	4.694	8
19.835	4.472	5
20.955	4.236	13
22.120	4.015	4

Angle	d-value	Rel. int.
2 Theta	Angstrom	%
23.000	3.864	3
23.620	3.764	4
24.335	3.655	5
25.280	3.520	28
26.730	3.332	100
28.010	3.183	16
29.850	2.991	5
31.250	2.860	5
33.370	2.683	1
35.090	2.555	8

Angle	d-value	Rel. int.
2 Theta	Angstrom	%
36.665	2.449	9
37.555	2.393	4
39.515	2.279	7
40.425	2.229	3
42.510	2.125	9
45.310	2.000	13
45.910	1.975	4
48.225	1.886	2
50.185	1.816	11
51.195	1.783	2

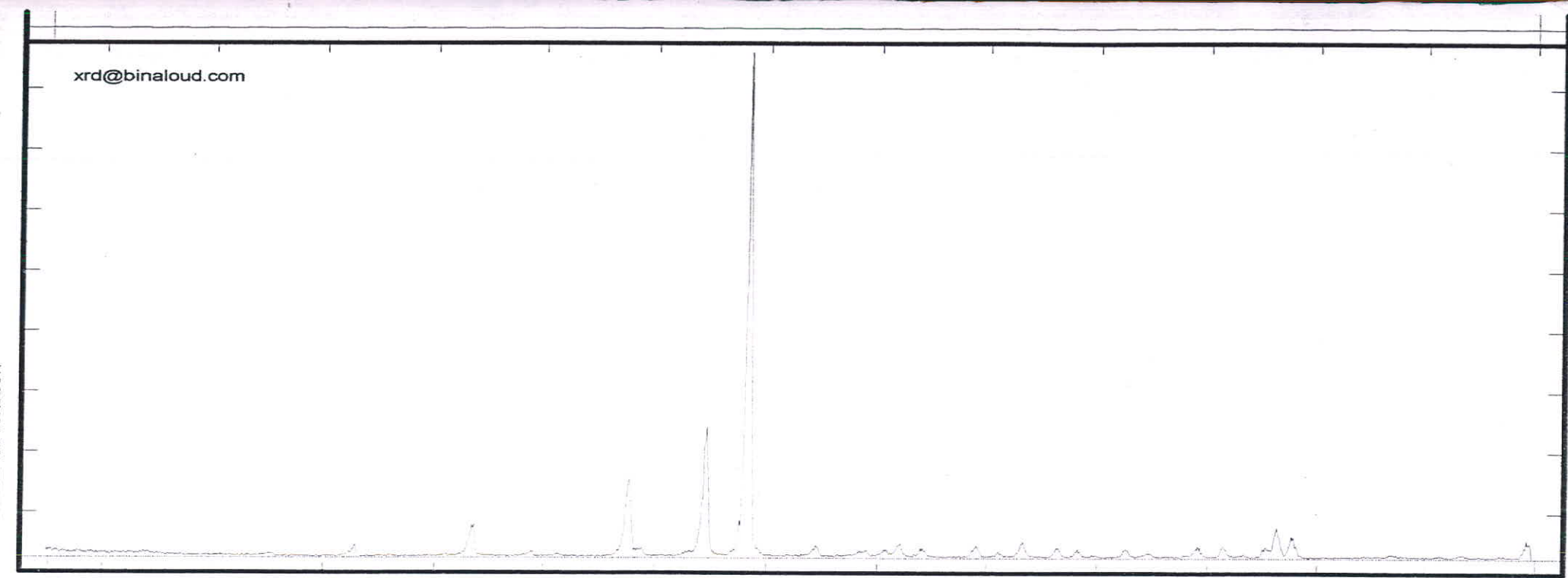
Major Phase(s)	
Quartz	(33-1161)
SiO <sub>2</sub>	

Minor Phase(s)	
Albite	(09-0466)
NaAlSi <sub>3</sub> O <sub>8</sub>	

Chlorite (29-0701)	
(Mg,Fe) <sub>6</sub> (Si,Al) <sub>4</sub> O <sub>10</sub> (OH) <sub>8</sub>	

illite (26-0911)	
(K,H <sub>3</sub> O)Al <sub>2</sub> Si <sub>3</sub> AlO <sub>10</sub> (OH) <sub>2</sub>	

KV = 40
mA = 30
Ka. = Cu
Fil. = Ni



Sample:	S2-A1
Date :	5/11/2001

5/11/2001

kV = 40
mA = 30
Ka. = Cu
Fil. = Ni

Angle	d-value	Rel. int.
2 Theta	Angstrom	%
5.105	17.296	1
8.745	10.103	1
11.11		
13.375	6.614	1
16.450	5.384	2
17.830	4.971	1
20.810	4.265	6
23.020	3.860	1
26.560	3.353	16
27.41		
29.395	3.036	27
30.930	2.889	100
33.500	2.673	2
35.960	2.495	1
36.505	2.459	3
37.315	2.408	1
39.400	2.285	2
40.200	2.241	1
41.045	2.197	3

Angle	d-value	Rel. int.
2 Theta	Angstrom	%
42.370	2.132	2
43.110	2.097	2
43.775	2.066	1
44.880	2.018	2
45.730	1.982	1
47.520	1.912	2
48.450	1.877	2
49.195	1.851	1
50.000	1.823	1
50.445	1.808	6

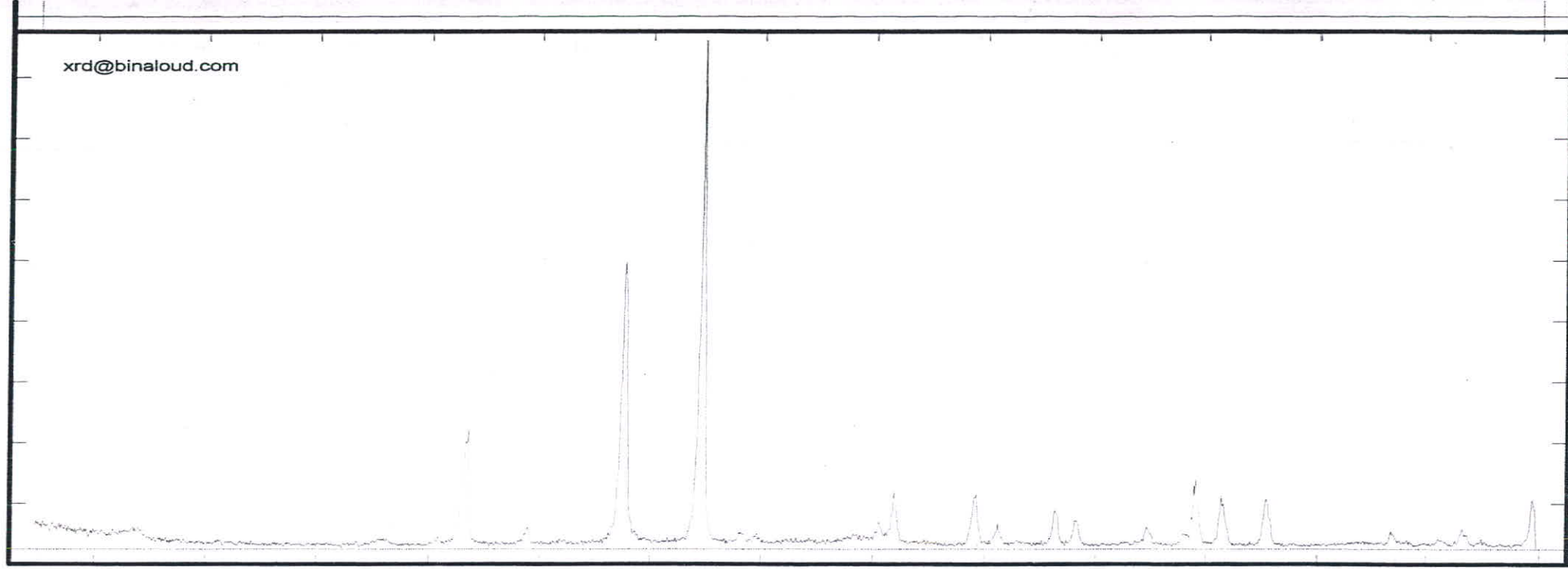
Major Phase(s)	Minor Phase(s)
Dolomite (36-0426)	Hemimorphite (05-0555)
CaMg(CO <sub>3</sub> ) <sub>2</sub>	Zn <sub>4</sub> Si <sub>2</sub> O <sub>7</sub> (OH) <sub>2</sub> · H <sub>2</sub> O
Calcite (05-0586)	Muscovite (07-0025)
CaCO <sub>3</sub>	KAl <sub>2</sub> Si <sub>3</sub> AlO <sub>10</sub> (OH)2
Quartz (33-1161)	SiO <sub>2</sub>

3732.5

CPS Lin

C:\XRD\S2-A2.RAW

0.0



Sample:	S2-A2
---------	-------

Angle	d-value	Rel. int.
2 Theta	Angstrom	%
5.440	16.232	1
8.810	10.029	2
17.730	4.998	1
19.750	4.491	1
20.815	4.264	21
23.030	3.859	3
24.265	3.665	1
26.605	3.348	57
29.410	3.034	100
30.855	2.896	2

Date :	5/11/2001
--------	-----------

kV = 40
mA = 30
Ka. = Cu
Fil. = Ni

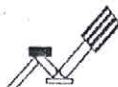
Angle	d-value	Rel. int.
2 Theta	Angstrom	%
31.405	2.846	1
35.920	2.498	4
36.475	2.461	9
39.410	2.285	10
40.240	2.239	4
42.400	2.130	7
43.150	2.095	5
45.685	1.984	4
47.045	1.930	2
47.505	1.912	13

Angle	d-value	Rel. int.
2 Theta	Angstrom	%
48.485	1.876	10
50.055	1.821	9
51.120	1.785	1
54.780	1.674	2
56.580	1.625	1
57.340	1.606	3
58.070	1.587	1

Major Phase(s)
Calcite (05-0586)
CaCO <sub>3</sub>

Minor Phase(s)
Muscovite (07-0025)
KAl <sub>2</sub> Si <sub>3</sub> AlO <sub>10</sub> (OH) <sub>2</sub>

Quartz (33-1161)
SiO <sub>2</sub>



Sample	SiO <sub>2</sub>	Al <sub>2</sub> O <sub>3</sub>	Fe <sub>2</sub> O <sub>3</sub>	CaO	Na <sub>2</sub> O	MgO	K <sub>2</sub> O	TiO <sub>2</sub>	MnO	P2O <sub>5</sub>
	%	%	%	%	%	%	%	%	%	%
BH-2-1	68.22	13.31	5.36	2.74	0.47	0.46	2.03	0.452	0.045	0.134
BH-2-2	59.92	19.82	6.85	1.80	0.96	1.44	3.99	0.802	0.062	0.100
BH-2-3	74.90	5.95	3.49	7.67	0.58	0.07	0.41	0.131	0.195	0.055
BH-2-4	56.81	20.34	8.96	2.26	0.96	1.56	4.07	1.039	0.145	0.125
BH-2-6	61.19	17.94	7.11	2.01	0.84	1.76	3.40	0.816	0.260	0.120
BH-2-7	51.26	23.37	8.67	0.45	0.64	1.66	5.06	1.030	0.074	0.102
BH-2-8	62.25	18.64	6.94	2.16	0.71	1.70	3.37	0.781	0.251	0.094
BH-2-9	62.59	17.61	8.14	1.78	0.62	1.65	1.48	0.381	0.181	0.113
BH-2-10	58.17	17.63	8.50	1.74	0.49	1.40	3.77	0.786	0.122	0.109
BH-2-11	62.54	10.39	13.99	1.45	0.13	1.79	1.76	0.345	0.133	0.257
BH-2-12	61.19	20.83	6.55	0.37	0.87	1.21	3.91	0.871	0.058	0.130
BH-5-1	49.81	10.99	11.40	12.84	0.79	2.13	0.68	0.519	0.146	0.143
BH-5-2	61.23	17.39	8.12	0.34	0.82	1.91	3.00	0.771	0.078	0.123
BH-5-3	62.42	13.80	6.30	4.46	0.91	1.62	2.29	0.703	0.092	0.155
BH-5-4	57.30	20.41	6.82	0.43	0.40	1.65	4.24	0.912	0.036	0.084
BH-5-5	59.82	15.35	6.28	2.79	0.64	1.55	3.06	0.711	0.085	0.096
BH-5M-1	43.17	7.71	5.92	19.13	1.41	1.40	0.64	0.498	2.806	0.107
BH5M-4	61.94	13.94	6.07	2.88	1.55	1.79	2.71	0.776	1.689	0.047
K-6-2	48.07	9.00	3.26	19.02	0.59	0.76	1.72	0.373	1.956	0.071
K-6-3	31.03	5.80	1.90	30.36	0.27	0.64	0.97	0.245	2.655	0.048
K1	25.54	5.52	1.91	34.03	0.51	0.63	1.15	0.224	0.271	0.051
K2	61.86	10.13	2.87	0.98	1.16	0.61	2.71	0.374	8.232	0.064

تهران - انتبهای بلوار اشرف اصفهان - نیش کوجه شکوفه - بلاک ۱ - طبقه سوم جنوب

تلفن: ۰۲۱-۷۸۷۱۳۰۸۰ همراه: ۰۹۱۱

مشهد - رضاسپیر - حاشیه سنگو - بلاک ۱۵۰ تلفن: ۰۵۱-۰۴۴۶۸۷۷۵-۳۵۶ ص - ب

e-mail : [xrd@binaloud.com](mailto:xrd@binaloud.com) or [xrf@binaloud.com](mailto:xrf@binaloud.com)

<http://www.binaloud.com>



Sample	Cl	S	Sr	Rb	V	W	Y	Zr	Zn	Mo
	ppm	ppm	ppm	ppm	ppm	ppm	ppm	ppm	ppm	ppm
BH-2-1	290	23	105	78	68	0	17	121	63	0
BH-2-2	152	14	103	176	136	0	29	183	91	0
BH-2-3	128	15	67	21	29	0	11	65	25	0
BH-2-4	86	19	97	169	153	3	31	193	80	0
BH-2-6	72	12	106	138	120	2	26	166	97	0
BH-2-7	85	10	126	210	168	0	33	194	102	2
BH-2-8	92	12	106	132	113	0	26	148	64	0
BH-2-9	70	20	109	58	75	0	20	86	91	0
BH-2-10	55	181	111	154	143	0	27	155	103	0
BH-2-11	255	5811	107	62	82	0	16	64	177	8
BH-2-12	50	2409	115	161	135	0	29	170	117	1
BH-5-1	122	772	3913	35	62	0	17	188	100	2
BH-5-2	36	26	92	123	120	0	25	159	114	1
BH-5-3	111	108	791	101	98	32	24	200	86	0
BH-5-4	134	34	115	178	139	11	29	176	79	0
BH-5-5	91	148	263	134	108	45	26	197	89	0
BH-5M-1	1529	1262	1731	26	69	0	12	110	33	15
BH5M-4	1938	1869	512	102	116	0	23	177	80	9
K-6-2	39	15	485	63	38	0	17	133	80	4
K-6-3	357	24	352	39	36	0	14	62	113	8
K1	87	117	221	49	24	0	12	67	67	1
K2	171	343	1311	78	99	0	19	113	179	33

تبران - آنباری بلوار اشرفی اصفهانی - بیش کوچه شکوفه - بلاک ۱ - طبقه سوم جنوبی

تلفن: ۰۳۱۲۰۲۸۷۱۲ همراه: ۰۹۱۱۲۰۲۸۷۱۲

مشهد - رضاهبر - حاشیه سنگو - بلاک ۱۵۰ تلفن: ۰۹۱۷۷۵-۳۵۴ ۰۸۸۴۶۶۴ (۵۱۱)

e-mail : [xrd@binaloud.com](mailto:xrd@binaloud.com) or [xrf@binaloud.com](mailto:xrf@binaloud.com)

<http://www.binaloud.com>



Sample	Ba	Ce	Co	Cr	Cu	Nb	Ni	Pb	U	Th
	ppm	ppm	ppm	ppm	ppm	ppm	ppm	ppm	ppm	ppm
BH-2-1	140	34	7	140	5	5	30	15	1	4
BH-2-2	349	27	12	116	4	20	60	20	14	15
BH-2-3	60	15	5	123	9	4	1	27	7	1
BH-2-4	352	33	9	83	157	24	55	67	1	12
BH-2-6	339	20	14	71	3	17	43	16	1	10
BH-2-7	420	26	19	95	6	18	65	8	7	17
BH-2-8	312	28	12	89	332	16	49	115	5	12
BH-2-9	115	26	15	88	14	6	42	74	4	4
BH-2-10	288	16	21	84	5	15	55	18	8	19
BH-2-11	403	35	43	130	22	8	74	122	6	4
BH-2-12	359	45	31	81	30	14	44	38	2	15
BH-5-1	136	25	18	86	23	9	36	19	1	2
BH-5-2	310	62	18	68	48	17	61	25	5	16
BH-5-3	286	24	13	73	28	16	48	20	1	8
BH-5-4	390	38	17	75	5	18	59	2	6	11
BH-5-5	346	20	14	71	24	8	61	14	10	12
BH-5M-1	1041	42	28	116	17	7	48	163	1	1
BH5M-4	965	5	28	85	7	17	56	29	1	7
K-6-2	300	32	0	52	948	11	9	1630	1	1
K-6-3	246	15	2	27	19692	7	13	1138	10	1
K1	201	4	4	17	38	11	58	74	1	6
K2	2603	25	26	97	49142	8	38	13577	1	49

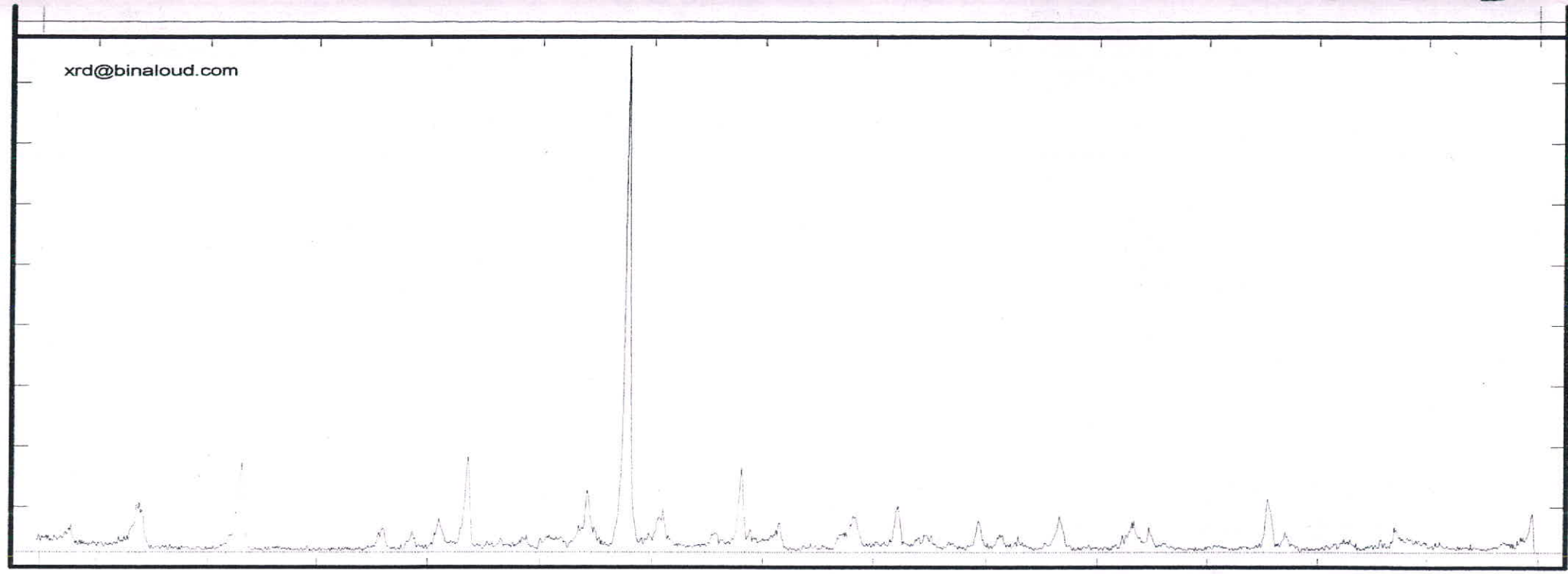
تهران - انتهای بلوار اشرفی اصفهانی - بیش کوچه شکوفه - پلاک ۱ - طبقه سوم جنوبی

تلفن: ۰۹۱۲۰۷۸۷۱۲ - همراه: ۰۹۰۱۸۸۸

مشهد - رضامهر - حاشیه سنتو - پلاک ۱۵۰ - تلفن: ۰۵۱(۸۷۸۴۶۶۴) من - ب ۹۱۷۷۵-۳۵۴

e-mail: [xrd@binaloud.com](mailto:xrd@binaloud.com) or [xrf@binaloud.com](mailto:xrf@binaloud.com)

<http://www.binaloud.com>



Sample:	BH. 2/8
---------	---------

Angle 2 Theta	d-value Angstrom	Rel. int. %
6.205	14.232	3
8.685	10.173	8
8.845	9.989	8
12.550	7.047	15
17.725	5.000	4
18.840	4.706	3
19.805	4.479	6
20.845	4.258	18
22.005	4.036	2
22.865	3.886	2

Date :	20/4/2002
--------	-----------

kV = 40
mA = 30
Ka. = Cu
Fil. = Ni

Angle 2 Theta	d-value Angstrom	Rel. int. %
23.730	3.746	3
25.190	3.532	12
26.630	3.345	100
27.945	3.190	6
29.885	2.987	3
30.820	2.899	15
32.170	2.780	4
34.445	2.602	3
34.995	2.562	6
36.545	2.457	9

Angle 2 Theta	d-value Angstrom	Rel. int. %
37.635	2.388	2
38.455	2.339	1
39.475	2.281	6
40.305	2.236	3
40.930	2.203	2
42.450	2.128	7
45.165	2.006	4
45.795	1.980	4
48.265	1.884	1
50.090	1.820	10

Major Phase(s)  
Quartz (33-1161)  
SiO<sub>2</sub>

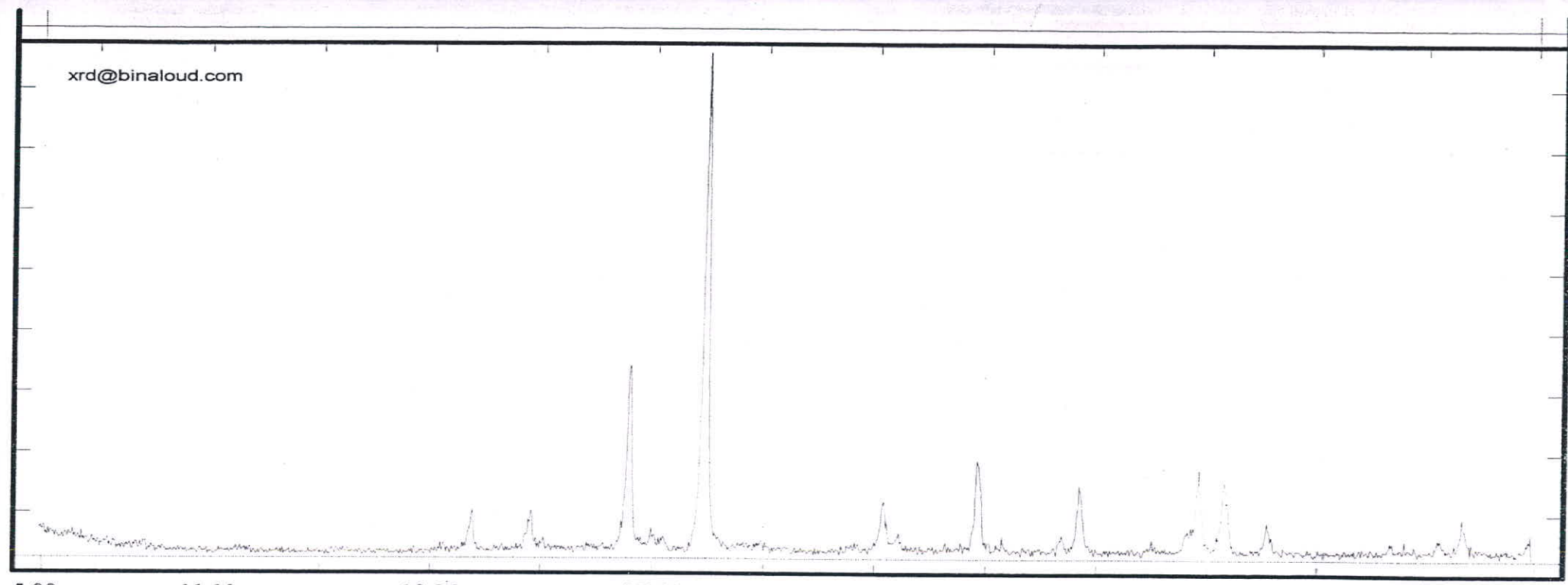
Minor Phase(s)  
Albite (09-0466)  
NaAlSi<sub>3</sub>O<sub>8</sub>

Chlorite (29-0701)  
(Mg,Fe)6(Si,Al)4O10(OH)8

Muscovite (07-0025)  
KAl<sub>2</sub>Si<sub>3</sub>AlO<sub>10</sub>(OH)2

illite (26-0911)  
(K,H<sub>3</sub>O)Al<sub>2</sub>Si<sub>3</sub>AlO<sub>10</sub>(OH)2

xrd@binaloud.com



Sample:  
K - 6 / 3

Date :  
17/4/2002

kV = 40

mA = 30

Ka. = Cu

Fil. = Ni

Angle 2 Theta	d-value Angstrom	Rel. int. %
12.335	7.170	1
16.060	5.514	1
20.895	4.248	7
21.890	4.057	1
23.075	3.851	8
26.660	3.341	38
27.520	3.238	2
27.930	3.192	3
29.425	3.033	100
31.420	2.845	1

Angle 2 Theta	d-value Angstrom	Rel. int. %
34.880	2.570	1
35.970	2.495	10
36.590	2.454	2
39.435	2.283	18
40.330	2.234	2
42.510	2.125	3
43.175	2.094	14
45.745	1.982	1
47.535	1.911	14
48.505	1.875	14

Angle  
2 Theta

d-value  
Angstrom

Rel. int.  
%

Major Phase(s)  
Calcite (05-0586)

CaCO<sub>3</sub>

Minor Phase(s)  
—

Quartz (33-1161)  
SiO<sub>2</sub>

Trace Phase(s)  
Albite (09-0466)  
NaAlSi<sub>3</sub>O<sub>8</sub>  
Kaolinite (29-1488)  
Al<sub>2</sub>Si<sub>2</sub>O<sub>5</sub>(OH)<sub>4</sub>  
Muscovite (07-0025)  
KAl<sub>2</sub>Si<sub>3</sub>AlO<sub>10</sub>(OH)<sub>2</sub>

5.00

11.11

19.26

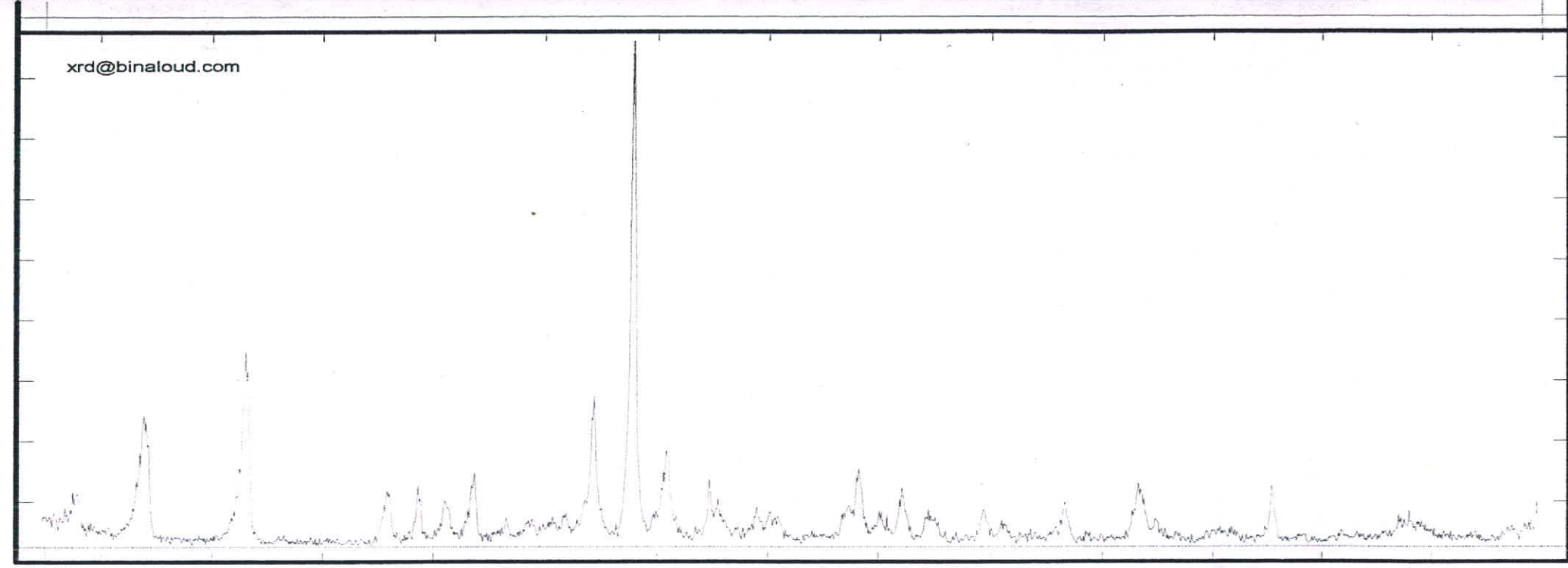
27.41

35.56

43.70

51.85

60.00



Sample:	BH. 2/4
Date :	20/4/2002

kV = 40

mA = 30

Ka. = Cu

Fil. = Ni

Angle	d-value Angstrom	Rel. int.
2 Theta		%
6.295	14.029	6
8.760	10.086	25
8.905	9.922	20
12.535	7.056	32
13.810	6.407	1
17.720	5.001	9
18.840	4.706	8
19.790	4.482	8
20.875	4.252	14
22.065	4.025	4

Angle	d-value Angstrom	Rel. int.
2 Theta		%
22.920	3.877	4
24.215	3.672	5
25.225	3.528	29
26.650	3.342	100
27.910	3.194	18
29.485	3.027	13
31.200	2.864	7
31.885	2.804	4
34.490	2.598	6
34.935	2.566	12

Angle	d-value Angstrom	Rel. int.
2 Theta		%
35.760	2.509	4
36.515	2.459	11
37.400	2.403	5
37.780	2.379	3
39.455	2.282	6
40.105	2.247	2
42.445	2.128	8
45.160	2.006	12
45.825	1.979	4
47.895	1.898	2

Major Phase(s)
Quartz (33-1161)
SiO <sub>2</sub>

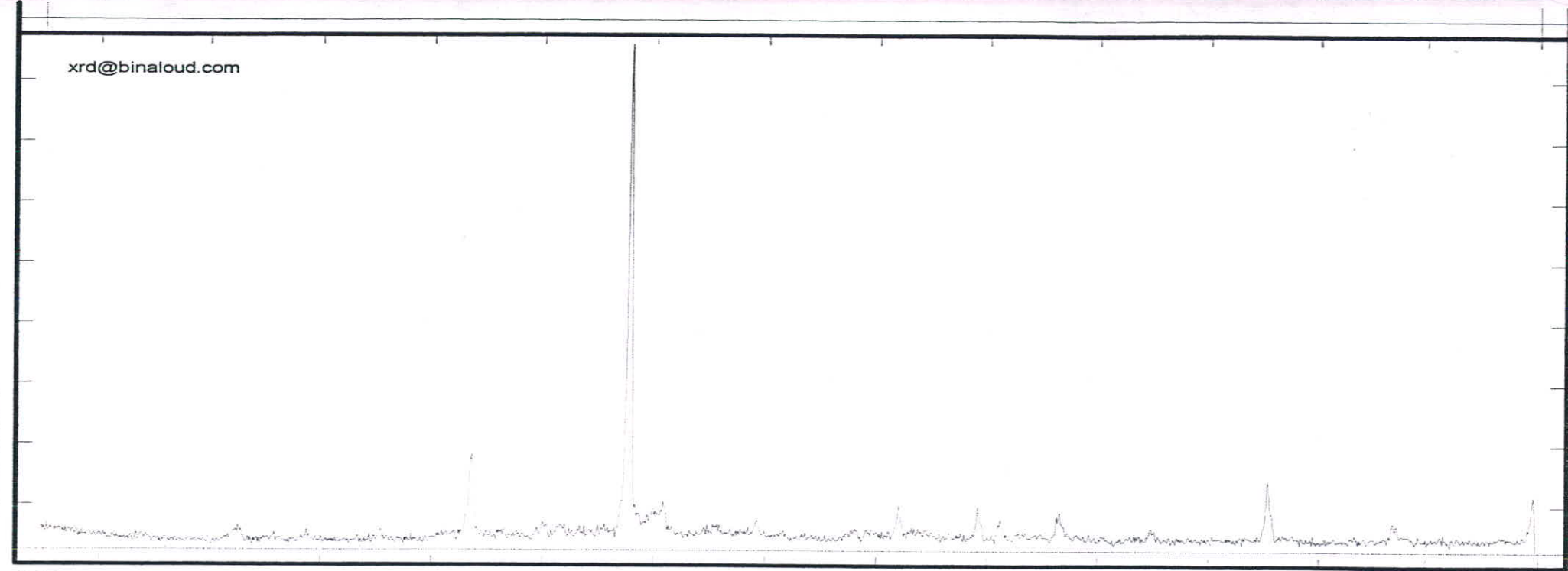
Chlorite (29-0701)
(Mg,Fe)6(Si,Al)4O10(OH)8

Muscovite (07-0025)
KAl <sub>2</sub> Si <sub>3</sub> AlO <sub>10</sub> (OH) <sub>2</sub>

illite (26-0911)
(K,H <sub>3</sub> O)Al <sub>2</sub> Si <sub>3</sub> AlO <sub>10</sub> (OH) <sub>2</sub>

Minor Phase(s)
Albite (09-0466)
NaAlSi <sub>3</sub> O <sub>8</sub>

Calcite (05-0586)
CaCO <sub>3</sub>



Sample:	K - 2
---------	-------

Angle	d-value	Rel. int.
2 Theta	Angstrom	%
8.760	10.086	1
12.315	7.181	3
13.565	6.522	1
14.770	5.993	1
17.495	5.065	2
20.825	4.262	17
21.955	4.045	1
23.480	3.786	3
24.135	3.684	2
26.630	3.345	100

Date :	17/4/2002
--------	-----------

kV = 40
mA = 30
Ka. = Cu
Fil. = Ni

Angle	d-value	Rel. int.
2 Theta	Angstrom	%
27.920	3.193	6
29.665	3.009	2
31.260	2.859	3
32.250	2.773	1
34.715	2.582	1
36.500	2.460	7
39.405	2.285	7
40.225	2.240	4
42.390	2.131	4
45.715	1.983	2

Angle	d-value	Rel. int.
2 Theta	Angstrom	%
50.085	1.820	12
54.820	1.673	4

Major Phase(s)
Quartz (33-1161)
SiO <sub>2</sub>

Minor Phase(s)
Albite (09-0466)
NaAlSi <sub>3</sub> O <sub>8</sub>

Kaolinite (29-1488)
Al <sub>2</sub> Si <sub>2</sub> O <sub>5</sub> (OH) <sub>4</sub>

Trace Phase(s)
Muscovite (07-0025)
KAl <sub>2</sub> Si <sub>3</sub> AlO <sub>10</sub> (OH) <sub>2</sub>



## فصل هفتم

### نتیجه گیری و پیشنهادات

۲ -۷	طرح اکتساف نیمه نفصیلی جبوه شوراب کاشمر فصل هفتم - نتیجه گیری و پیشنهادات	 کارشناسی کاشمر
------	--	-----------------------

## فصل هفتم - نتیجه گیری و پیشنهادات

### ۱-۷- نتیجه گیری

با توجه به کلیه فعالیتهای انجام شده جهت اکتساف جبوه در منطقه شوراب کاشمر که شروع آن به مشاهده جبوه در مسیر یک کانال آب در شمال روستای شوراب کاشمر در سال ۱۳۶۷ بر میگردد و پس از این واقعه موضوع اکتساف جبوه در منطقه مطرح و فعالیتهای زیادی بمنظور پی جوئی، اکتساف و استحصال جبوه در این محدوده صورت یدبرفته که از آن جمله می توان به فعالیتهای تحقیقاتی شرکت توسعه علوم زمین، گروه کارشناسان طرح اکتساف سراسری فلزات غیرآهنی، تنبیه چند از کارشناسان خارجی از کشورهای چکسلواکی، کانادا و آذربایجان و تعدادی از کارشناسان داخلی و سپس شرکت مهندسین مشاور کاوش کنسار اشاره نمود که اهم نتایج بشرح ذیل می باشد:

- ۱- لیتولوژی منطقه شامل یک سری سنگهای اسلیتی، اسلیت - ماسه و ماسه سنگ دگرگون شده به رنگ سیاه، قرمز و خاکستری متمایل به سبز در منطقه می باشد.
- ۲- درجه دگرگونی این سنگها در حد رخساره شیست سبز می باشد.
- ۳- در اثر عملکرد تنشهای وارد و انجام واکنشهای آبردایی و ته نشینی سیلیس در درزه ها و فضاهای به وجود آمده، تعدادی رگه های سیلیسی با منشا دگرگونی ایجاد شده است.
- ۴- درزه های فوق الذکر با مقادیری از اکسید آهن و منگنز و در موارد نادری با کانه زائی پیریت پرشده و همراه می باشند.
- ۵- کلیه درزه ها و رگه های حاوی آهن، منگنز و پیریت فاقد بتانسیل معدنی می باشند.

با توجه به نمونه برداری های رئوسمیابی به کمک دستگاه جبوه سنج در مقیاسهای ۱:۱۰۰۰ و سپس در مقیاس ۱:۱۳۷۹ و دستیابی به آنومالیهای حاصل از اعداد و یارانهای دستگاه دیحتال جبوه سنج، تعداد ۶ حلقه چاه در مجموع ۳۵۰ متر حفاری صورت گرفت و به موازات عملیات حفاری، تعدادی چاهک نیز حفر شد تا مکمل کارهای مطالعاتی باشد

۳-۷	<b>طرح اکسیاد سمه نفلزی جیوه شوراب کاشمر</b> <b>فصل هفتم - نتیجه گیری و پیشنهادات</b>	
-----	--	---

۶- علیرغم مشاهده و روان شدن جیوه در گذشته های نه چندان دور در منطقه؛ همچنین

دستیابی به آنومالیهای جیوه توسط دستگاه جیوه سنج، هیچگونه شواهد زمین شناسی دال بر وجود جیوه در منطقه دیده نشده است.

۶- بررسی و مطالعه معزه ها، نتایج آنالیز شیمیایی XRF و XRD، مطالعه تیغه های نازک و مقاطع

صیقلی همگی مؤید آنند که شواهد روشنی از کانه زایی جیوه در منطقه وجود ندارد.



## ۲-۷- پیشنهادات

با توجه به نتایج فوق الذکر باید فرض کرد که عواملی غیر از موضوعات مطرح شده تاکنون که هنوز برایمان ناشناخته هستند کانه زایی و حرکت جیوه را در منطقه کنترل می نمایند. برای دستیابی و نیل به این هدف ( موضوع اکتشاف و استحصال جیوه ) با توجه به مستندات موجود از جمله مشاهده جیوه فلزی توسط برخی افراد و زمین شناسان در منطقه و همچنین وجود آنومالی های جیوه توسط دستگاه جیوه سنج، مسیر مطالعات زمین شناسی و رئوژیمیابی انجام یافته تاکنون باید قدری تغییر یابد لذا این مهندسین مشاور پیشنهادات زیر را ارائه می نمایند:

۱- منطقه مورد مطالعه جیوه در ناحیه شوراب کاشمر در وسعتی معادل ۲۰۰ کیلومتر مربع مورد بازدید و بازبینی شواهد زمین شناسی در مقیاس بزرگ و کنترل عوامل زمین شناسی قرار

گیرد.

۲- نشانه ها و شواهد زمین شناسی کانسار های جیوه در منطقه کاشمر و سایر نقاط ایران مورد بررسی و با کانسارهای جیوه در کشور های همجاور یا سایر کشورها مقایسه شود.

۳- دستگاه جیوه سنج با حضور کارشناسان مهندسین مشاور کاوش کانسار و کارشناس ناظر طرح از سازمان صنایع و معادن به کشور سازنده آن ( چین ) پس از مکاتبات و هماهنگی های مقدماتی حمل گردد.

۴- دستگاه جیوه سنج و کارکرد عملی آن در کشور چین با حضور کارشناسان اعزامی شرکت مشاور و سازمان صنایع و معادن بررسی و رسیدگی شود و مجدداً کالیبره شود.

۵- دستگاه جیوه سنج پس از کالیبره شدن، در چند معدن جیوه کشور چین مورد آزمایش و برداشت نمونه قرار گیرد و همچنین به موازات آن سابقه کانسارهای جیوه در کشورهای همسایه مورد مطالعه قرار گیرد.

۵ - ۷	طرح اکتشاف نیمه تفصیلی جبوه شوراب کاشمر فصل هفتم - نتیجه گیری و پیشنهادات	
-------	--	---

۶- اطلاعات حاصله از مسافت و اخذ پارامترها و حساسیت دستگاه در محیط‌های مختلف دارای

پتانسیل جیوه در کشور از جمله منطقه شوراب کاشمر مورد ارزیابی مجدد و آزمایش قرار

گیرد.

۷- در نهایت این مهندسین مشاور طرح تحقیقاتی اکتشاف جیوه در سراسر کشور را پیشنهاد

می نماید. این طرح بعنوان پایه و اساس کلیه فعالیت‌ها در جهت پی جوئی، اکتشاف و در

نهایت استحصال جیوه در کل کشور می تواند مورد توجه قرار گیرد.

## منابع و مأخذ

امامعلی پور، علی(۱۳۷۵) بررسی کانه‌زایی جیوه در منطقه ماکو (پایان نامه کارشناسی ارشد)

دانشگاه شهید بهشتی، دانشگاه علوم زمین.

درویش زاده، علی؛ (۱۳۷۰) زمین‌شناسی ایران، انتشارات نشر دانش امروز (ندا)

صفحه.

شرکت اکتشافات سراسری فلات غیرآهنجی(۱۳۷۲) گزارش زمین‌شناسی و پتانسیل یابی

منطقه سوراب.

شرکت مهندسی کاوش کانسار(۱۳۷۹) گزارش نهایی اکتشاف نیمه‌تفصیلی جیوه شوراب

کاشمر در استان خراسان.

صالحی سیاوشانی، حسن؛ عشق‌آبادی، مرتضی؛ (۱۳۷۶) گزارش پی‌گردی نسوز در البرز

غربی، کپه‌داغ و جیوه در شمال قوچان، ۱۸ صفحه + سه نقشه.

علیرضائی، سعید(۱۳۷۸) زمین‌شناسی کانسارها(تألیف جان، م - گیلبرت)، انتشارات نشر

دانش امروز (ندا).

قربانی، منصور(۱۳۷۴) آنتیموان، آرسنیک، جیوه، ۱۳۵ صفحه، انتشارات طرح تدوین کتاب

زمین‌شناسی ایران

کنعانیان، علی؛ قاسمی، حبیب الله؛ آسیابانه‌ها، عباس؛ (۱۳۷۲) مبانی پترولوزی

دگرگونی(تألیف بروس، یاردلی، ۱۹۹۱)، ۴۱۰ صفحه، مؤسسه انتشارات جهاد دانشگاهی (ماجد).

کوثری، سلیمان(۱۳۶۳) مکانیسم کانی‌سازی جیوه، ۱۰۵ صفحه، انتشارات سازمان

زمین‌شناسی کشور.

مؤمن زاده و همکاران(۱۳۶۶) معرفی طلا و جیوه خونیروود از دو دیدگاه معدنی و

باستان‌شناسی، سازمان زمین‌شناسی کشور.

ولی‌زاده، محمد ولی؛ صادقیان، محمود(۱۳۷۹) پترولوزی دگرگونی (تألیف آکیهو

میاشیرو، ۱۹۹۴)، ۵۰۳ صفحه، انتشارات دانشگاه تهران.

ولی‌زاده، محمد ولی؛ صادقیان، محمود (۱۳۷۹) پترولوزی سنگهای دگرگونی (تألیف کورت

بوخر و مارتین فری، ۱۹۹۴)، ۴۰۴ صفحه، انتشارات دانشگاه تهران.